

**629**

инж. В. Н. МОЖАЕВ

ДЕП

**М74**

**ЭЛЕКТРООБОРУДОВАНИЕ  
ТРАКТОРОВ и АВТОМОБИЛЕЙ**

ЛН. 64431



**ОГИЗ · СЕЛЬХОЗГИЗ · 1934  
МОСКВА · ЛЕНИНГРАД**

59931

Инж. В. Н. Можаев

# Электрооборудование тракторов и автомобилей

РЕСПУБЛИКАНСКАЯ  
НАУЧНО-ТЕХНИЧЕСКАЯ  
БИБЛИОТЕКА

ОГИЗ 1984

ГОСУДАРСТВЕННОЕ ИЗДАТЕЛЬСТВО  
КОЛХОЗНОЙ И СОВХОЗНОЙ ЛИТЕРАТУРЫ  
МОСКВА — ЛЕНИНГРАД



Предлагаемая книга „Электрооборудование тракторов и автомобилей“ содержит в себе описание электроаппаратуры, устанавливаемой на распространенных в СССР тракторах и автомашинах. Кроме описания дается теоретическое и физическое обоснование явлений, дефекты оборудования, наиболее часто встречающиеся неполадки и методы их устранения.

Книга рассчитана на инженерно-технический персонал совхозов и МТС и может служить учебным пособием для вузов.

Издательство

Издательство  
Министерства сельского хозяйства СССР  
Московский областной УИЗ

## ОТДЕЛ ПЕРВЫЙ

### ПРОЦЕССЫ ЭЛЕКТРИЧЕСКОГО ЗАЖИГАНИЯ

#### ФИЗИЧЕСКИЕ ПРОЦЕССЫ ЭЛЕКТРИЧЕСКОГО ЗАЖИГАНИЯ РАБОЧЕЙ СМЕСИ В ДВИГАТЕЛЯХ ВНУТРЕННЕГО СГОРАНИЯ

В большинстве двигателей внутреннего сгорания (быстрого сгорания) воспламенение рабочей смеси достигается электрическим искровым разрядом, происходящим в сфере сжатой газовой смеси.

Получение искрового разряда достигается двояко: или путем размыкания внутри цилиндра цепи электрического тока, имеющей большой коэффициент самоиндукции (так называемое зажигание на отрыв), или путем создания электрической искры между двумя электродами (помещенными во внутрь цилиндра) вследствие подведенного к ним высокого напряжения.

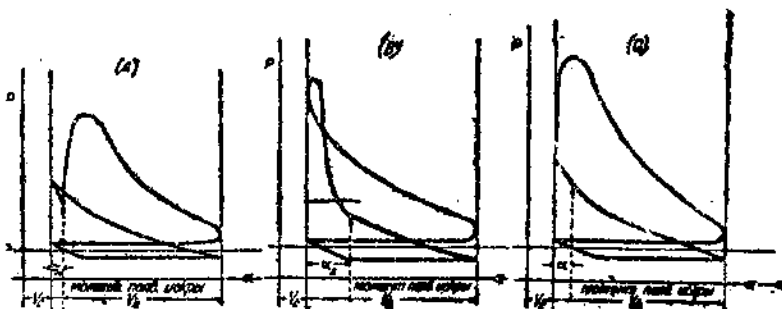


Рис. 1

Первый способ, т. е. зажигание смеси током низкого напряжения, за последние двадцать пять лет почти вышел из употребления и если встречается сейчас, то только на двигателях с малым числом оборотов коленчатого вала.

Второй способ, т. е. зажигание смеси током высокого напряжения, имеет в данное время наибольшее распространение. Для уяснения основных требований, предъявляемых к приборам зажигания газовой смеси, необходимо рассмотреть индикаторные диаграммы, снятые с двигателя, работающего при четырехтактном рабочем процессе (рис. 1 А).

На рис. 1 А представлена индикаторная диаграмма, снятая с двигателя, причем появление искрового разряда происходит, когда поршень пройдет свое крайнее положение, соответствую-

щее концу тягта сжатия (так называемую верхнюю мертвую точку).

Из диаграммы видно, что максимальная ордината далеко отстоит от верхней мертвой точки и если ось абсцисс будет представлена не объемами, а углом поворота кривошипа (ход поршня соответствует повороту кривошипа на угол  $180^\circ$ ), то можно сказать, что момент подачи воспламенения отсекает на оси абсцисс отрезок  $\alpha_1$ , который характеризует угол поворота кривошипа. В этот момент, вследствие увеличения объема, давление газов в цилиндре сильно возрастет не сможет и мощность, развивающаяся двигателем в этом случае, будет меньше той, которую возможно получить при своевременном воспламенении смеси.

В связи с тем, что скорость горения рабочей смеси примерно равна  $20-30$  м. в сек. и зависит от состава ее, температуры и других причин, то появление искрового разряда при положении поршня в мертвой точке или пройдя ее оказывается запоздавшим, так как вся смесь будет воспламенена позднее. Этот момент подачи воспламенителя называют поздним зажиганием.

На рис. 1B представлена индикаторная диаграмма, снятая с двигателя при чрезмерно раннем появлении искрового разряда. Из диаграммы видно, что воспламенитель был подведен много раньше, чем поршень успел достигнуть верхней мертвой точки, вследствие чего максимальное значение давления в цилиндре двигателя было достигнуто тогда, когда еще поршень двигался вверх.

Такое повышение давления препятствовало движению поршня и когда он достиг крайнего своего положения, то давление стало уменьшаться вследствие теплоотдачи газов стенкам камеры сжатия. Линия расширения газов пересечет линию увеличения давления. Площадь, заключенная в верхней петле, имеет отрицательное значение работы и мощность, полученная от двигателя, при этом будет меньше той, которую смогли бы мы получить. Отрезок оси абсциссы  $\alpha_2$  характеризует угол опережения подачи воспламенителя. Этот момент воспламенения смеси мы называем чрезмерно ранним зажиганием.

На рис. 1c представлена индикаторами диаграмма, снятая с двигателя при моменте появления искрового разряда, с учетом скорости горения газовой смеси и скорости движения поршня.

Из диаграммы видно, что момент подачи воспламенителя имеет некоторое опережение, но оно такого по величине, что петля не образуется, и максимальное значение ординаты давления находится близко к верхней мертвой точке.

Сравнивая площади трех индикаторных диаграмм, мы найдем, что наибольшая площадь будет получена в третьем случае с, а следовательно и мощность будут максимальны. Помимо повышения мощности нам удастся обнаружить, что нагрев двигателя в третьем случае будет меньше, чем в первых двух случаях.

Объяснение этому явлению можно дать следующее: в первом случае, т. е. при позднем зажигании, воспламенение смеси про-

исходит в момент, когда давление в цилиндре сжатой газовой смеси уменьшилось и скорость горения ее понизилась, вследствие чего смесь продолжает гореть в цилиндре, а не в камере сгорания и отдает большое количества тепла стенкам, вызывая перегрев двигателя.

Во втором случае, т. е. при чрезмерно раннем зажигании, появляются стуки в двигателе, слышимые в цилиндре и характерные металлическим звуком. Этот звук вызывается быстрым повышением давления на поршень при движении его вверх.

Перегрев двигателя при чрезмерно раннем зажигании надо отнести за счет того, что горение происходит при повышенном объеме, так же как и в первом случае.

В связи с необходимостью иметь всегда точную согласованность между моментом подачи воспламенителя и положением поршня требуется осуществление такого привода, при котором нарушение синхронизма в работе не могло иметь места. Привод той части прибора зажигания, от которой зависит момент появления искрового разряда, может быть цепным, зубчатым или винтовым. Фрикционные передачи для этой цели абсолютно непригодны.

### ОБЩИЕ ТРЕБОВАНИЯ К ПРИБОРАМ ЗАЖИГАНИЯ

Двигатели внутреннего сгорания, устанавливаемые на автомобиле, тракторе и мотоцикле, имеют большой диапазон изменения числа оборотов коленчатого вала.

Если допустить, что скорость горения газовой смеси не изменяется при различном числе оборотов коленчатого вала, то можно сказать, что чем двигатель быстрееходнее, тем меньшее время поршень находится в верхней мертвоточке, и для того, чтобы вся газовая смесь была воспламенена при крайнем положении поршня, необходимо подводить воспламенитель с большим опережением при большем числе оборотов и меньшим опережении при малом числе оборотов коленчатого вала.

Зависимость между моментом появления искрового разряда и числом оборотов коленчатого вала представлена на рис. 2.

Из характеристики видно, что только на участке  $b-c$  имеется прямолинейная зависимость. На участке  $a-b$  и  $c-d$  эта зависимость нарушена, на что повлияла скорость горения газовой смеси, а также и конструкция двигателя.

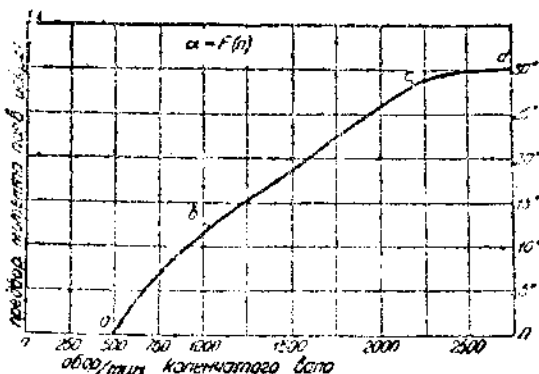


Рис. 2

Кривая  $a = F(n)$  показывает нам, что прибор зажигания должен допускать возможность регулирования подачи момента воспламенителя.

Данное регулирование в современных приборах зажигания достигается или под действием руки или действием автомата. По условиям эксплоатации механического транспорта желательно иметь и то и другое.

За последние годы особенно широкое применение получают двигатели, имеющие большое число оборотов коленчатого вала, так как при том же рабочем объеме цилиндра имеется возможность получить большую эффективную мощность. Нередко можно встретить двигатели с числом оборотов коленчатого вала  $3000 \div 6000$  об/мин., и время, необходимое для горения смеси, оказывается недостаточным. С целью уменьшения времени горения воспламеняют газовую смесь не в одной точке, а в двух диаметрально противоположных. Применение двигателей с большим числом оборотов вала и большим числом цилиндров повысило требование к конструкции приборов зажигания, так как потребное число искровых разрядов доходит до  $16000 \div 30000$  в мин. с точностью момента воспламенения до  $1^\circ \div 2^\circ$ .

О получении такого большого числа воспламенений в приборах низкого напряжения не может быть и речи, так как инерционные свойства системы прерывания слишком велики. С другой стороны, поместить прерыватель в камеру горения—значит подвергнуть его действию высоких температур, но его детали должны обладать достаточной теплопроводностью, чтобы они не накалились до такой температуры, при которой может возникнуть калильное зажигание.

Достаточную теплопроводность можно получить применением соответствующего металла, снабжая детали достаточным сечением. Это также увеличивает массу, имеющую возвратно-поступательное движение.

Действие высоких температур вызывает окисление металла контактов прерывателя, следствием чего восстановить электрическую цепь становится невозможным и прибор зажигания отказывается работать.

Большим недостатком также является необходимость в механическом приводе к прерывателю каждого цилиндра, что в значительной мере усложняет конструкцию прибора зажигания на отрыв.

Вышеупомянутые недостатки удалось устранить только применением тока высокого напряжения.

Искровой разряд высокого напряжения происходит между электродами запальной свечи, расстояние между которыми  $0,5 \div 0,8$  мм.

Для получения искрового разряда на электродах свечи требуется различная величина приложенного напряжения. На нее влияет расстояние между электродами, форма их, давление газов, в среду которых помещены электроды, температура и химический состав этих газов. Зависимость величины пробивного напряжения от расстояния между электродами найдена опытным

путем и подтверждает закон Пашена на основании которого

$$V_2 = F(P \cdot l)$$

(при постоянной температуре и постоянном химическом составе)  
где

$P$  — давление в атмосферах,

$l$  — расстояние в м/м,

$V_2$  — напряжение на электродах.

Зависимость между необходимой величиной пробивного напряжения на электродах свечи и давлением газа внутри цилиндра двигателя при  $l = 0,5$  мм представлена в виде четырех кривых, построенных для различных температур (см. рис. 3).

Из кривых видно, что при пониженных температурах газа и при повышенном давлении требуется напряжение на электродах значительно выше. Для двигателя с нормальной степенью сжатия значение приложенного напряжения к электродам свечи меняется

на 100% в зависимости от температуры сжимаемых газов.

На основании кривых можно заключить, что в самых благоприятных условиях, при отсутствии копоти на изоляторе свечи, необходимое минимальное напряжение должно быть не ниже 10000 вольт, если двигатель в холодном состоянии и имеет нормальную степень сжатия.

В нормальных условиях работы свечи образование нагара, хотя в самом незначительном количестве, имеет место, а так как копоть является токопроводящим веществом и шунтирует электроды свечи, то для получения искрового разряда требуется напряжение порядка 15 000—20 000 вольт. Получение таких высоких напряжений мы и рассмотрим.

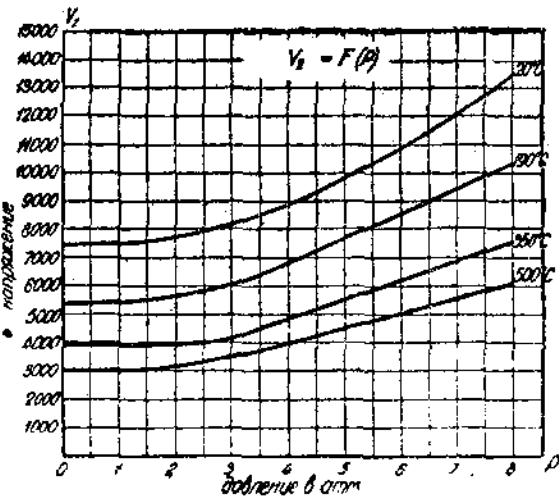


Рис. 3

## ОТДЕЛ ВТОРОЙ

### ПРИБОРЫ ЗАЖИГАНИЯ ВЫСОКОГО НАПРЯЖЕНИЯ

#### ПОЛУЧЕНИЕ ВЫСОКОГО НАПРЯЖЕНИЯ И ТЕОРИЯ ИСКРЫ

Чтобы представить себе работу прибора зажигания, в котором при помощи спирали Румкорфа получается высокое напряжение, воспользуемся принципиальной схемой (см. рис. 4). При замыкании контактов в прерывателе, в первичной обмотке появляется ток, вызванный Э. Д. С. аккумуляторной батареи. Появившийся ток создаст магнитное поле в железном сердечнике. Если произвести размыкание первичной цепи, запасенная электромагнитная энергия частично устремится к месту разрыва цепи.

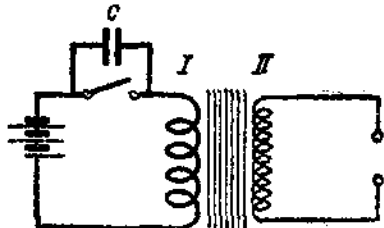


Рис. 4

Эта часть энергии в свою очередь так же разделится, часть ее пойдет на заряд конденсатора *c*, а часть перейдет в энергию разряда в месте разрыва цепи. Та часть электромагнитной энергии, которая перейдет во вторичную обмотку, индуцирует Э. Д. С. в ней и произведет зарядку вторичных емкостей (в данном случае двух шаров, расположенных на концах вторичной обмотки).

При этом потенциал заряда шаров настолько повышается, что происходит искровой разряд между ними. Время, за которое происходит заряд вторичных емкостей, настолько мало, что измеряется микросекундами.

Рассмотрим подробнее искровой разряд.

При повышении потенциала шаров пространство между ними ионизируется вначале незначительно, и проводимость его почти не изменяется. Так как напряжение на зажимах вторичной обмотки продолжает увеличиваться, то и сила тока повышается. Повышение силы тока достигает предельного значения так называемого тока насыщения, и если напряжение еще повысить, то сила тока резко повысится. Это вызвано быстрым повышением проводимости пространства, в котором вследствие большой скорости ионов происходит ионизация молекул газа.

При дальнейшем повышении напряжения на шарах, положительные ионы приобретают большие скорости и повышают ионизацию пространства. Одновременно с этим значительно повысится поток электронов, принимая вид искры. Кривая изме-

нения силы тока в газовом пространстве между шарами представлена на рис. 5.

После появления искры через несколько стотысячных долей секунды поверхность электродов приобретает такую высокую температуру, что металл их испаряется и еще увеличивает ионизацию. Вследствие колебательного ряда конденсатора в первичной обмотке, во вторичной цепи появляется переменный ток, вызванный переменной Э.Д.С. вторичной обмотки. Переменный ток питает вольтову дугу, возникающую в ионизированном пространстве после искрового разряда. Длительность дугового разряда значительно больше искрового разряда и измеряется тысячными долями секунды.

Как искровой, так и дуговой разряды не подчиняются закону Ома, так как с увеличением силы тока ионизация пространства увеличивается, проводимость его повышается и напряжение на электродах быстро падает.

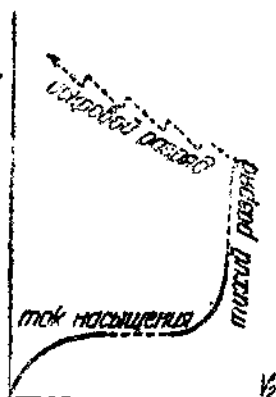


Рис. 5

### ПРОЦЕСС ПОЛУЧЕНИЯ ВЫСОКОГО НАПРЯЖЕНИЯ ПРИ БАТАРЕЙНОМ ЗАЖИГАНИИ

#### Создание магнитного потока в сердечнике катушки

На рис. 6 представлена схема соединений первичной обмотки трансформатора с аккумуляторной батареей. При замыкании предварителя первичной обмотки трансформатора появляется ток, изменяющийся от  $O$  до  $I$ . В связи с этим магнитный поток изменяется от  $O$  до  $\Phi$ . При изменении магнитного потока в обмотке будет индуцироваться Э.Д.С., величина которой

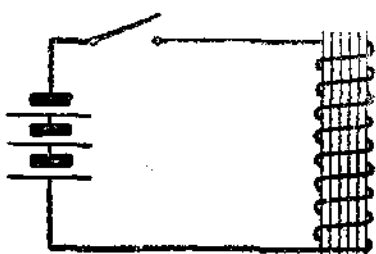


Рис. 6

$$E_s = -W \frac{d\phi}{dt} 10^{-6}$$

или

$$E_s = -L \frac{di}{dt}$$

Следовательно в период изменения силы тока в нашем замкнутом контуре будут действовать две электродвижущие силы

$E_a$  — Э.Д.С. аккумуляторной батареи.

$E_b$  — Э.Д.С. самоиндукции,

$L$  — коэффициент самоиндукции.

На основании второго закона Кирхгофа находим для нашего

контура

$$E_a - L \frac{di}{dt} = iR$$

где

$i$  — мгновенное значение силы тока,  
 $R$  — омическое сопротивление контура.

Перепишем уравнение так:

$$L \frac{di}{dt} = E_a - iR$$

Разделяя переменные, получим

$$\frac{dt}{dt} = \frac{E_a - iR}{di}$$

не нарушая равенства можно написать

$$\frac{dt}{L} = \frac{di}{E_a - iR}$$

Интегрируя выражение от 0 до  $t$  и 0 до  $i$ , получим зависимость изменения силы тока от времени замкнутого состояния цепи

$$\int_0^t \frac{dt}{L} = \int_0^i \frac{di}{E_a - iR}$$

откуда

$$\frac{t}{L} = -\frac{1}{R} \ln \frac{E_a - iR}{E_a}$$

или

$$\frac{E_a - iR}{E_a} = e^{-\frac{R}{L} t}$$

и в окончательном виде

$$i = \frac{E_a}{R} \left( 1 - e^{-\frac{R}{L} t} \right) \quad (1)$$

На основании полученного уравнения заключаем: чем меньшее время контакты прерыватели находятся в замкнутом состоянии, тем меньшего значения достигает сила тока.

Из рассмотренной схемы 4 мы установили, что появление искрового разряда высокого напряжения возможно только при размыкании контактов прерывателя, и необходимое число размыканий первичной цепи находится в зависимости от числа оборотов коленчатого вала двигателя, числа цилиндров его и рабочего процесса данного двигателя (т. е. четырехтактный или двухтактный).

Число замыканий не может быть неравным числу размыканий, но из этого нельзя заключить, что время замкнутого состояния контактов равно времени разомкнутого состояния их.

На рис. 7 представлен механический прерыватель первичной цепи. В этом прерывателе кулачковая шайба  $Ш$  получает привод от четырехцилиндрового четырехтактного двигателя и форма ее ясно показывает, что контакты находятся большее время  $t$  в замкнутом состоянии, чем в разомкнутом.

Обозначим

$n$  — число оборотов коленчатого вала в минуту,

$z$  — число цилиндров.

Тогда  $f_s$  — число размыканий и замыканий в минуту будет равно

$$f_s = \frac{nz}{2}$$

(Цифру —2 в знаменатель ставят при четырехтактных двигателях).

В одну секунду

$$f_s = \frac{nz}{60 \cdot 2}$$

Так как число периодов (т. е. замыканий и размыканий в одну секунду) равно  $f_s$ , то время  $T$  приходящееся на один период, будет равно обратной величине, т. е.

$$T = \frac{1}{f_s}$$

или

$$T = \frac{60 \cdot 2}{nz}$$

Обозначим отношение времени замкнутого состояния контактов  $t$  к полному периоду  $T$  через  $\sigma$ , т. е.

$$\frac{t}{T} = \sigma \quad t = \sigma T \quad (2)$$

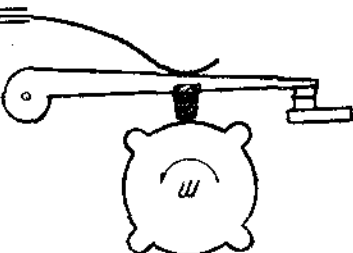


Рис. 7

Причем коэффициент  $\sigma$  для прерывателей находится в пределах 0,3—0,8.

Подставим значение  $T$  в уравнение 2, тогда

$$t = \sigma \frac{120}{nz}$$

и значение  $t$  подставим в формулу (1)

$$i = \frac{E_a}{R} \left( 1 - e^{-\frac{R \cdot 120}{L \cdot n \cdot z} \sigma} \right)$$

На основании полученного выражения можно сделать следующий вывод:

1. Чем больше Э.Д.С. аккумуляторной батареи, тем больше сила тока в первичной обмотке.

2. При меньшем числе оборотов вала двигателя и меньшем числе цилиндров, обслуживаемых прерывателем, сила тока в первичной обмотке больше, так как контакты прерывателя длильнее находятся в замкнутом состоянии.

### 3. Увеличение коэффициента самоиндукции способствует уменьшению силы тока в первичной обмотке.

В подтверждение полученных результатов приводим осцилограммы, снятые при различном числе оборотов двигателя см. рис. 8, а также кривую зависимости между силой тока в первичной обмотке и числом оборотов автомобильного двигателя фирмы Форд, Мод. А. А (см. рис. 9).

Осциллографы и кривая изменения силы тока, снятая при работе бобины "Форд", показывают уменьшение силы тока в первичной обмотке, а следовательно и уменьшение величины магнитного потока, вызывая уменьшение запасенной энергии сердечником. Это вызывает уменьшение напряжения на электродах свечи и ослабевает искровой разряд.

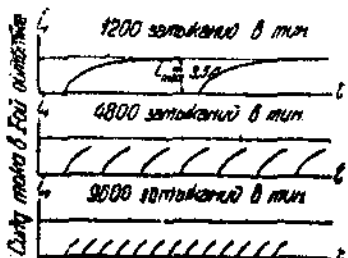


Рис. 8

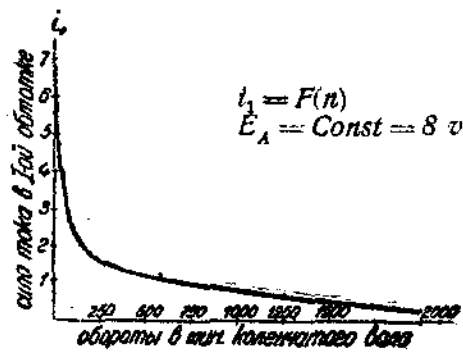


Рис. 9

Воспрепятствовать уменьшению силы тока, которая должна восстановиться в катушке к моменту размыкания контактов, можно различными способами, а именно:

1. Приданием соответствующей формы кулачковой шайбе в целях увеличения коэффициента  $\sigma$ .
2. Установкой двух прерывателей, параллельно включенных между собою и работающих поочередно.
3. Уменьшением активного сопротивления.
4. Уменьшением числа обслуживаемых цилиндров одной бобиной.
5. Уменьшением коэффициента самоиндукции первичной обмотки.

Рассмотрим каждый способ в отдельности и дадим оценку.

1. На рис. 10 представлены три кулачка с различным очертанием. Кулачок  $a$  дает явно выраженную характеристику кратковременности разомкнутого состояния контактов. Благодаря быстрому подъему при размыкании и крутым спуску при замыкании происходит вибрация молоточка прерывателя, когда последний своим контактом касается контакта наковальни. Вибрация контактов препятствует восстановлению первичной цепи и такое очертание кулачка не может удовлетворить поставленным целям. Частично уменьшить вибрацию контактов можно, применяя более

пружину, но тогда выступает новый недостаток — быстрое разрушение металла контактов.

Более рациональным очертанием снабжен кулачок, представленный на рис. 10 б, так как эта форма выступов дает более плавное опускание молоточка.

На рис. 10 с представлен кулачок, устанавливаемый на двигателье, для которого число искр не требуется свыше 4000—4500 в мин.

2. Если при том же числе цилиндров и том же числе оборотов в минуту коленчатого вала уменьшить число выступов на кулачковой шайбе вдвое и поставить два прерывателя (см. рис. 11), работающие поочередно, причем, если один молоточек подымается, то другой опускается для замыкания, и время замкнутого состояния цепи увеличивается, а так как число качаний каждого молоточка меньше, то возможность вибрации уменьшается и цепь восстанавливается полностью. Этот способ способствует сохранности контактов и улучшает восстановление тока.

3. Для уяснения третьего способа допустим такое упрощение. Будем считать, что в первичной обмотке ток изменяется синусоидально.

Тогда из понятий о переменном токе можем сказать, что в первичной обмотке при различном числе периодов будет и различное сопротивление, т. е.

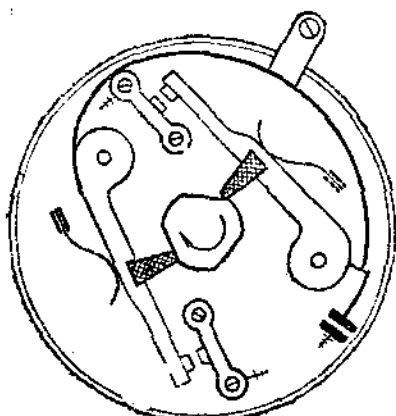


Рис. 11

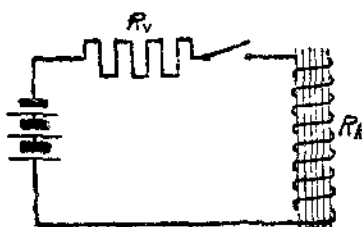


Рис. 12

$$Z = \sqrt{R^2 + X^2}$$

$Z$  — полное или кажущееся сопротивление цепи,  
 $R$  — активное: сопротивление первой обмотки,  
 $X$  — индуктивное сопротивление ее.

Если последовательно с первичной обмоткой включить омическое сопротивление  $R_y$ , изготовленное из материала с большим температурным коэффициентом (напр., из железа) (см. рис. 12), то при малом числе размыканий индуктивное сопротивление будет незначительно. Активное сопротивление катушки возьмем очень малым, но так как последовательно с ним включено дополнительное сопротивление, то сила тока не достигнет больших значений.

На основании закона Ома для цепи переменного тока можно написать

$$I = \frac{V}{Z}$$

На рис. 13 представлен треугольник сопротивлений, где

$R_k$  — активное сопротивление первичной обмотки,  
 $X''$  — индуктивное сопротивление при малом числе размыканий,  
 $Z''$  — кажущееся сопротивление при малом числе размыканий,  
 $R_y''$  — сопротивление реостата при большой силе тока,  
 $X'$ ,  $Z'$ , и  $R'_y$  при большом числе размыканий.

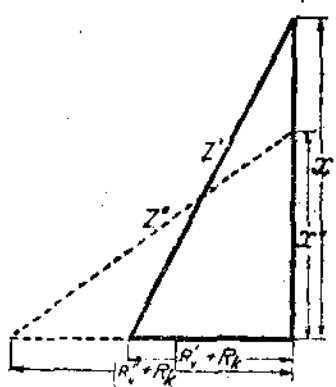


Рис. 13

Вследствие малого индуктивного сопротивления сила тока будет достаточно, чтобы выделенное количество тепла, равное по закону Джоуля  $Q = 0,24 I^2 R t$ , повысило температуру дополнительного сопротивления.

Вследствие большого температурного коэффициента проволоки реостата его сопротивление увеличится и не допустит появления чрезмерной силы тока в первичной обмотке, способной нагреть ее.

Если повысить число размыканий, то индуктивное сопротивление повысится, кажущееся сопротивление также возрастет. И так как Э. Д. С. аккумуляторной батареи остается прежней,

то сила тока в цепи уменьшится и температура реостата понизится.

При понижении температуры активная проводимость увеличится и сила тока примет прежнее значение.

Этот железный реостат называется вариатором, так как он варьирует силу тока.

Можно так подобрать вариатор и активное сопротивление катушки, что величина кажущегося сопротивления всей цепи останется почти неизменной при различном числе размыканий, т. е. гипотенуза  $Z$  будет менять положение в координатной системе, мало изменяясь по величине.

Иметь силу тока постоянной в первичной обмотке практически и не требуется, так как при повышении числа оборотов

двигателя температура сжимаемой газовой смеси повышается, она воспламеняется легче и необходимое напряжение на электродах свечи требуется значительно ниже.

Помимо основной регулирующей роли вариатор выполняет и роль предохранителя, так как при остановлении двигателе и замкнутых контактах прерывателя индуктивное сопротивление равно нулю и нагрев вариатора настолько велик (а следовательно велико его сопротивление), что бобина не нагревается выше  $70\text{--}80^{\circ}\text{C}$  и ее изоляции не грозит опасность.

Нередко в таких случаях вариатор даже перегорает, но бобина остается неповрежденной.

4. На современных многоцилиндровых двигателях в целях восстановления тока устанавливают две бобины и два прерывателя (напр. автомобиль Линкольн). В этом случае условия работы каждого прерывателя и каждой бобины остаются те же, какие были и на двигателе с малым числом цилиндров, так как количество обслуживаемых цилиндров, приходящееся на один прерыватель, не изменилось.

5. Уменьшение коэффициента самоиндукции невыгодно, так как от его величины зависит индуцированная Э.Д.С. во вторичной обмотке и его не стараются уменьшать.

### Получение высокого напряжения на зажимах вторичной обмотки

Если произвести размыкание цепи, в которой восстановили ток, то в первичной обмотке появится вновь Э.Д.С. самоиндукции, но имеющая то же направление, что и убывающий ток.

Величина Э.Д.С. самоиндукции при размыкании будет равна

$$E_s = -L \frac{di}{dt}$$

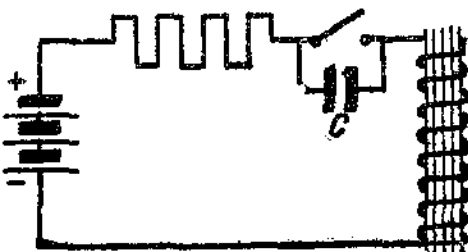


Рис. 14

и так как длительность размыкания ничтожно мала, то скорость убывания тока

будет велика. Возникшая Э.Д.С. самоиндукции создаст на разомкнутых контактах прерывателя достаточное напряжение, чтобы вызвать искровой разряд в пространстве между ними.

В целях повышения Э.Д.С. во вторичной обмотке желательно иметь максимальную скорость изменения магнитного потока в сердечнике трансформатора.

Появление искры в пространстве между контактами прерывателя показывает наличие тока в обмотке, а следовательно и наличие магнитного поля в сердечнике.

С целью ускорить убывание тока в первичной обмотке, контакты прерывателя шунтируют емкостным сопротивлением (конденсатором *c*) (см. рис. 14).

Емкость конденсатора берется значительно больше емкости воздушного промежутка, заключенного между разомкнутыми контактами прерывателя, а следовательно (на основании первого закона Кирхгофа), в шунт ответвится большая сила тока размыкания (экстраток) и возможность появления искрового разряда между контактами уменьшится.

Полученный заряд конденсатором вызовет появление емкостного тока в первичной обмотке, но так как при первом импульсе разряда, его направление будет обратно тому, которое имел ток при заряде, то процесс размагничивания сердечника ускорится, тем самым способствуя повышению напряжения на электродах свечи.

При разомкнутых контактах прерывателя, катушка самоиндукции (первичная обмотка трансформатора) включена последовательно с емкостью. Аккумуляторная батарея в это время является токопроводящим участком цепи и ее Э.Д.С. мы пренебрегаем, так как она ничтожно мала по сравнению с Э.Д.С. самоиндукции.

Из курса электротехники известно, что наличие емкости и самоиндукции в цепи создает колебательный контур, в котором циркулирует ток, представляющий колебательный разряд конденсатора.

Активное сопротивление в контуре вызывает потерю электромагнитной энергии, преобразуя ее в Джоулево тепло, следствием чего колебательный разряд имеет затухающую характеристику.

Для получения большей индуктированной Э.Д.С. во вторичной обмотке необходимо иметь большую Э.Д.С. в первичной обмотке (при том же отношении числа витков вторичной обмотки  $W_2$  к числу витков первичной  $W_1$ ).

Но величина Э.Д.С. самоиндукции в первичной обмотке прямо пропорциональна силе тока, восстановленной в ней к моменту размыкания, прямо пропорциональна коэффициенту самоиндукции и обратно пропорциональна емкости конденсатора, шунтирующего разрыв цепи. Откуда следует, что увеличивать емкость конденсатора невыгодно, так как это вызовет уменьшение вторичной Э.Д.С.

Следовательно емкость конденсатора должна быть по возможности меньше, однако не допуская появления искры, которая замедлит убытие тока, и разрушительно влияет на металлы контактов.

Увеличение Э.Д.С. самоиндукции в первичной обмотке путем увеличения коэффициента самоиндукции не выгодно, так как повысить его можно за счет увеличения числа витков, а это уменьшит коэффициент трансформации, а так же затруднит возможность восстановления тока к моменту размыкания первичной цепи (за тот же промежуток времени).

Величина коэффициента самоиндукции должна быть таковой, чтобы удовлетворить требования, предъявляемые к выбору зажигания при большом числе оборотов коленчатого вала.

## Факторы, влияющие на величину напряжения на электродах свечи

Электроды, между которыми появляется искровой разряд, располагаются в запальной свече. Запальная свеча состоит из металлического корпуса, ввертываемого в камеру сгорания. В корпусе укреплен изолятор, в который заключен центральный электрод. Второй электрод укреплен к металлическому корпусу свечи.

Величина напряжения на электродах свечи зависит не только от величины Э.Д.С., индуктированной во вторичной обмотке, но и от состояния самой свечи.

Так как изолятор свечи имеет соприкасание с горящими газами в цилиндре двигателя, то его поверхность покрывается слоем копоти. Этот слой является токопроводящим и шунтирует электроды свечи. Чем больше будет отложение нагара на изоляторе, тем большая проводимость у шунта. Увеличение проводимости уменьшает разность потенциалов на электродах. Уменьшение сопротивления свечи способствует преждевременному появлению тока во вторичной обмотке, и поле, созданное им, будет препятствовать убыванию основного магнитного потока, созданного током в первичной обмотке до момента размыкания.

Это вызывает уменьшение индуктированной Э.Д.С. во вторичной обмотке. Казалось достаточным повысить число витков вторичной обмотки и можно было бы компенсировать уменьшение Э.Д.С., но увеличить число витков вторичной обмотки значит, что при том же вторичном токе, какой был при малом сопротивлении свечи, мы имели бы большее число ампервитков, препятствующих убыванию магнитного потока сердечника.

Различное состояние свечи предъявляет и различные требования к прибору зажигания. При работе с незагрязненными свечами, чем больше отношение  $\frac{W_2}{W_1}$ , тем выше напряжение на электродах. При работе со свечами, изолятор которых имеет пониженное сопротивление, желательно иметь меньшее отношение.

Эти два противоречивых требования удается разрешить введением во вторичную цепь дополнительного искрового промежутка, расположенного вне цилиндра двигателя.

Наличие дополнительного промежутка вследствие его большого сопротивления препятствует преждевременному появлению тока во вторичной обмотке и устраниет возможность появления поля обмотки, препятствующего убыванию основного магнитного потока сердечника трансформатора, благодаря чему повышается напряжение на зажимах вторичной обмотки и вторичная емкость (представленная воздушным промежутком между проводами высокого напряжения и „массой“) будет заряжена.

Как только напряжение окажется достаточным, чтобы пробить дополнительный промежуток, появляется искровой разряд, причем количество электричества, запасенное во вторичной емкости, в течении нескольких стотысячных долей секунды расходуется.

между электродами дополнительного промежутка и в шунтирующем сопротивлении свечи  $R_{\text{ш}}$ .

Так как по шунту проходит значительная сила тока, то разность потенциалов на электродах свечи повышается и пространство между ними настолько ионизируется, что появляется искра. Проходящий ток по шунту вызывает выделение тепла, достаточное для сжигания копоти, и происходит очищение изолятора свечи.

Величина дополнительного промежутка бывает в пределах  $0,5 \pm 1,5$  мм и увеличивать его не следует, так как напряжение может достигнуть таких значений, при которых изоляция вторичной обмотки будет пробита и прибор зажигания откажется работать.

### ПРОЦЕСС ПОЛУЧЕНИЯ ВЫСОКОГО НАПРЯЖЕНИЯ ПРИ ЗАЖИГАНИИ ОТ МАГНЕТО

Мы видели, что для получения высокого напряжения от бобины необходимо иметь источник электрической энергии, питающий первичную обмотку. Недко желательно иметь прибор зажигания, который давал бы возможность получить высокое напряжение независимо от посторонних источников электрической энергии. Таким прибором зажигания является магнето высокого напряжения.

Магнето представляет комбинацию двух машин в одном агрегате: машины генератора с трансформатором. Генерирование электрической энергии в первичной обмотке трансформатора достигается путем изменения величины магнитного потока в его сердечнике, созданного постоянными магнитами. Работа позиционно его трансформатора почти ничем не отличается от работы бобины.

Кратко весь процесс получения высокого напряжения в магнето заключается в следующем: при изменении величины магнитного потока в сердечнике трансформатора, в первичной обмотке индуцируется Э.Д.С. Если произвести замыкание этой обмотки, то под действием Э.Д.С. в ней появится электрический ток, создающий в сердечнике свое поле. При размыкании контактов прерывателя первичной обмотки возникает Э.Д.С. самоиндукции, превышающая в несколько раз основную, индуцированную Э.Д.С. от магнитного потока постоянных магнитов.

При соответствующем коэффициенте трансформации, во вторичной обмотке индуцируется Э.Д.С., достаточная для получения искрового разряда на электродах свечи.

### Магнето с неподвижными обмотками

Рассмотрим процесс получения Э.Д.С. в первичной обмотке неподвижно установленного трансформатора.

На рис. 15 представлены магнитная цепь и первичная обмотка магнето, имеющего неподвижный трансформатор и вращающийся магнит.

На рис. 16 изображены четыре положения магнита и соответствующие этим положениям величины и направление магнитного потока в сердечнике трансформатора.

**Разомкнутое состояние первичной обмотки.** Из курса электротехники известно, что при всяком изменении величины магнитного потока в сбомтке индуцируется Э.Д.С., значение которой определяется по формуле

$$E = -W \cdot \frac{d\phi}{dt} \cdot 10^{-8} \text{ вольт} \quad (1)$$

Так как магнитный поток в сердечнике изменяется по величине и по направлению, то и индуцированная Э.Д.С. будет так же меняться и по величине и по направлению.

На рис. 16 представлена кривая изменения величины магнитного потока в сердечнике трансформатора, как функция угла  $\alpha$  поворота магнита (при разомкнутой первичной обмотке).

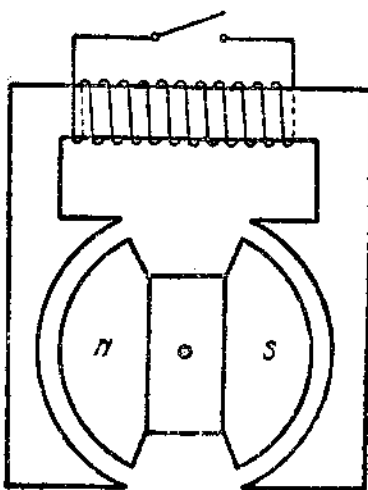


Рис. 15

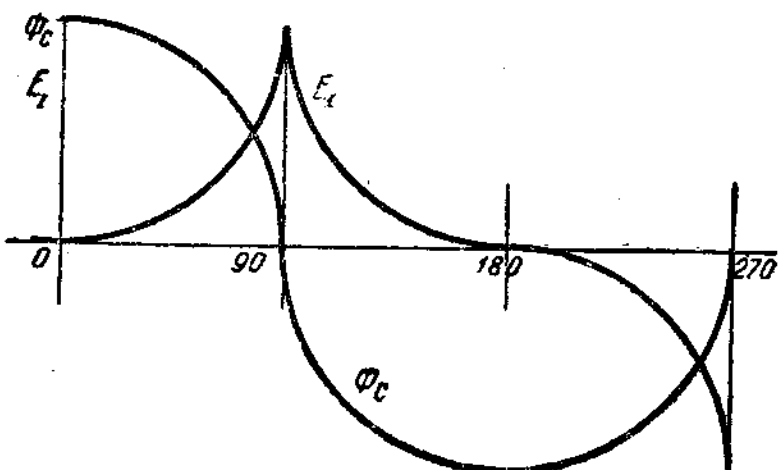
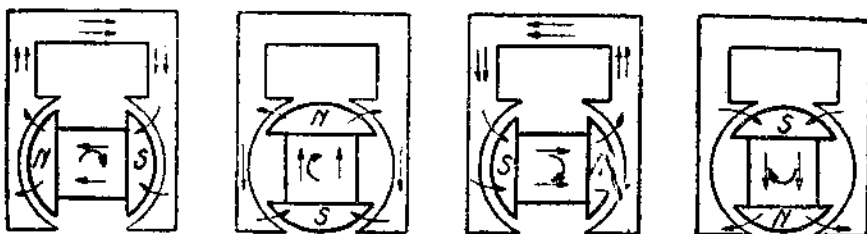


Рис. 16

Если выразим время  $t$  через угловую скорость вращения магнитного потока, т. е.

$$\omega = \frac{\alpha}{t}, \text{ откуда } t = \frac{\alpha}{\omega}$$

и подставим значение  $t$  в формулу (1), то

$$E = -\omega W, \frac{d\phi}{da} 10^{-8}$$

Если известна кривая изменения магнитного потока, то легко построить кривую изменения Э.Д.С. в зависимости от угла поворота магнита. Ее вид представлен на рис. 16.

Значение амплитуды Э.Д.С. в первичной обмотке современных магнето равно  $20 \div 40$  вольт.

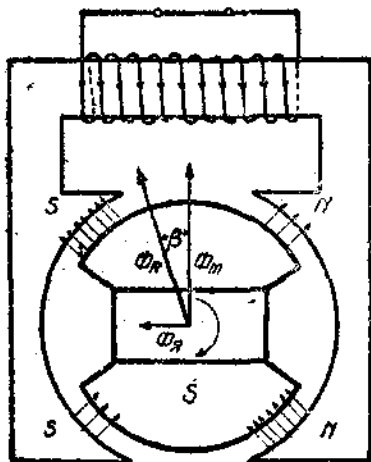


Рис. 17

**Замкнутое состояние первичной обмотки.** При замкнутых контактах прерывателя в первичной обмотке под действием Э.Д.С. появляется ток, создающий собственное магнитное поле в сердечнике трансформатора.

Наличие двух магнитных потоков, т. е. поток магнита и поток сердечника, вызывает появление результирующего поля, которое сдвинуто на угол  $\beta$  относительно поля магнита в сторону, обратную вращению. Это явление называется реакцией якоря. Его мы и рассмотрим.

На рис. 17 представлена магнитная система с расположенной на сердечнике замкнутой первичной обмоткой. При повороте магнита в сердечнике изменяется магнитный поток и индуцированная Э.Д.С. в обмотке вызывает появление тока, имеющего направление, указанное на рисунке стрелками. При этом сердечник трансформатора приобретает полярность: справа  $N$  и слева  $S$ .

Изобразим вектором  $\Phi_g$  — магнитный поток, созданный током в обмотке, и вектором  $\Phi_m$  — магнитный поток постоянного магнита. Направление их известно, величина же их также может быть определена. Достаточно произвести геометрическое суммирование, чтобы найти величину и направление результирующего потока  $\Phi_R$ .

В связи с этим максимальное значение напряжения в первичной обмотке будет при повороте магнита от горизонтали на угол  $90^\circ + \beta$ . Но первичная обмотка обладает самоиндукцией, наличие которой вызывает сдвиг на угол  $\varphi$  между током и напряжением и максимальное значение силы тока в обмотке будет при повороте магнита на угол  $90^\circ + \beta + \varphi$ . Обозначим  $\beta + \varphi = \alpha$ .

Помимо смещения магнитного потока произойдет перераспределение магнитного поля в полюсных наконечниках постоянного магнита, причем на верхнем полюсном наконечнике слева магнитная индукция будет больше чем справа, а на нижнем полюсном наконечнике — наоборот.

Перераспределение магнитной индукции повлияет на кривую изменения напряжения в первичной обмотке, а также на кривую силы тока в ней.

На рис. 18 представлена характеристика  $\Phi_R$ ,  $V_I$  и  $i_I$  в зависимости от угла поворота магнита, причем эффективное значение силы тока почти не изменяется при изменении числа оборотов магнита в пределах 400–4000 об/мин. Объясняется это тем, что

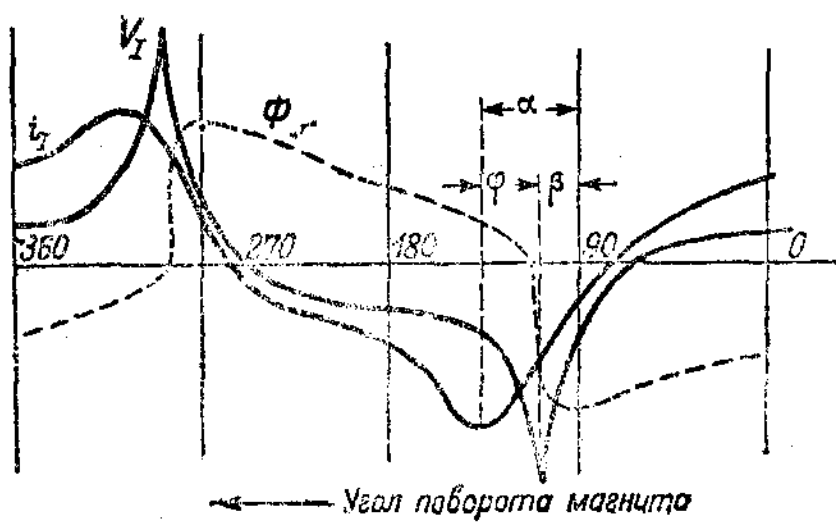


Рис. 18

с увеличением числа оборотов, т. е. с увеличением частоты, индуцированная Э.Д.С. в обмотке увеличивается, но одновременно увеличивается индуктивное сопротивление, находящееся также в прямой зависимости от частоты.

**Размыкание первичной обмотки.** Процессы, протекающие при размыкании первичной обмотки, почти не отличаются от процесса, происходящего в бобине, которые будут рассмотрены подробно в дальнейшем. Причем величина вторичного напряжения в магнето находится в той же зависимости, что и в бобине.

Для получения максимального значения вторичного напряжения необходимо производить размыкание первичной цепи, когда мгновенное значение силы тока так же максимально, и наилучший момент размыкания цепи будет отстоять от горизонтали на угол  $(90 + \alpha)$ , т. е. когда полюсный наконечник магнита отойдет на некоторую величину от сердечника трансформатора (см. рис. 19).

По условиям эксплоатации двигателей внутреннего сгорания на тракторах, автомобилях и мотоциклах, им приходится работать при различном числе оборотов коленчатого вала, вследствие чего необходимо изменять момент воспламенения газовой смеси. Достигается это различно: или путем смещения магнита относительно коленчатого вала, или перемещением прерывателя относительно магнита.

Примечание. Первый способ будет рассмотрен в дальнейшем, так как не имеет электрической и магнитной связи. Второй же способ имеет тесную связь с изменением величины магнитного потока, его (способ) мы и рассмотрим.

На рисунке 20 представлено несколько кривых изменения силы тока, снятых при различном числе оборотов и различном

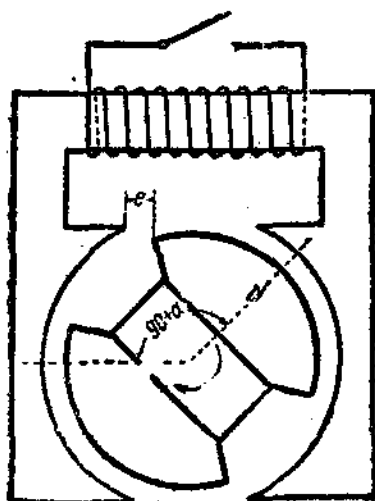


Рис. 19

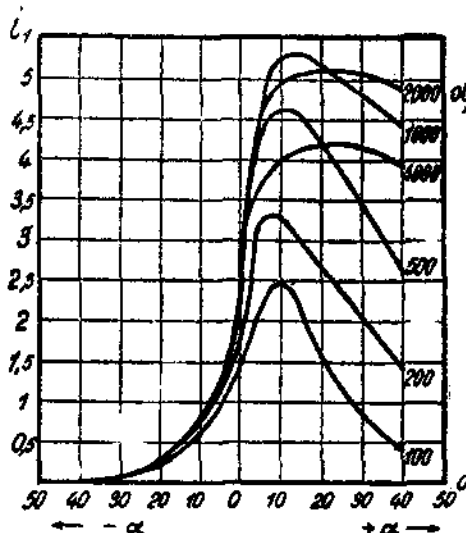


Рис. 20

положении ротора (вращающаяся часть магнето) в момент размыкания контактов прерывателя. Все кривые имеют ярко выраженный характер возрастания силы тока при положении ротора, отличном от горизонтали на угол  $\sim 90^\circ$ . На графике 0 соответствует говороту магнита на  $\angle 90^\circ$ .

Из характера кривых видно, что максимальное значение силы тока сдвинуто на угол  $\alpha \approx 5 \div 10^\circ$ .

Если произвести размыкание в  $1/2$  тактов, когда  $\angle \alpha \approx 20 \div 40^\circ$ , то сила тока становится настолько малой (в особенности при числе оборотов  $100 \div 200$  в мин.), что получить напряжение, достаточное для создания искрового разряда на электродах свечи, становится чудильным.

Известно, что при пуске двигателя необходимо установить позднее зажигание, чтобы не получить обратного удара, но пусковое число оборотов находится в пределах  $80 \div 100$ , следовательно обеспечить пуск можно или повышением числа

оборотов ротора (применение импульсатора) или придаванием соответствующего характера изменению силы тока.

Примечание. Применение в устройство импульсаторов (ускорителей) будет изложено дальше.

Придание соответствующей характеристики изменению силы тока достигается применением рассеивателей магнитного потока, благодаря которым удается по учесть более пологую кривую. Повышение силы тока в магнето с рассеивателями, при больших углах зазадывания момента размыкания контактов прерывателя, приобретается ценой уменьшения максимальной ординаты не только при раннем прерывании, но и вообще при всех моментах прерывания при перестановке зажигания.

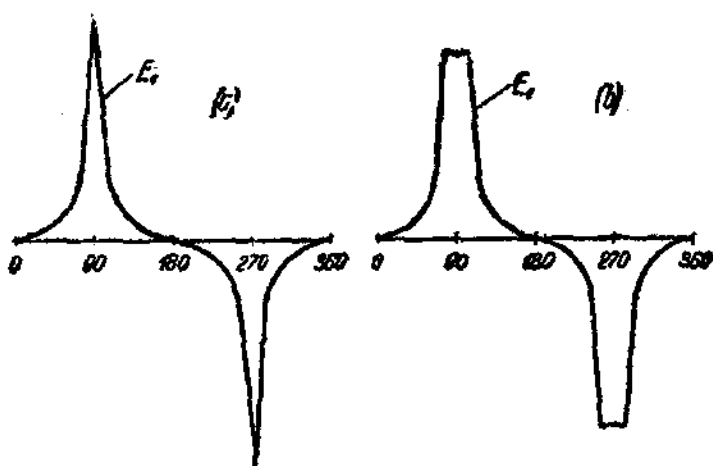


Рис. 21

Такое уменьшение ординаты силы тока при большом опережении не может вызвать перебоев в работе прибора зажигания, так как опережение дается при большом числе оборотов коленчатого вала, а следовательно при большом числе оборотов ротора. И величина индуцированной Э.Д.С. в обмотках, находясь в прямой зависимости от угловой скорости изменения магнитного потока, так же будет больше. На рис. 21 представлены две кривые изменения первичной Э.Д.С.: а) при отсутствии рассеивателей так называемая пикообразная кривая, б) при наличии рассеивателей так называемая седлообразная кривая. Кривые сняты при разомкнутой обмотке.

Достигнуть рассеивания в магнето с врачающимся магнитом можно придаением соответствующей формы полюсным наконечникам. На рис. 22б представлены полюсные наконечники со склонными кромками, позволяющими более плавно изменяться магнитному потоку сердечника трансформатора, и на рис. 22а представлены полюсные наконечники, с резким изменением величины магнитного потока.

**Момент замыкания первичной обмотки.** При большом числе оборотов ротора магнето настолько часто чередуются замыкания и размыкания, что восстановление магнитного потока в сердечнике трансформатора довольно затруднительно. Для того, чтобы магнитный поток имел возможность достигнуть своего максимального значения, желательно как можно длительнее иметь разомкнутые и первичную и вторичную обмотки.

Это вытекает из того, что при наличии замкнутых контуров и изменяющемся магнитном потоке, в них под действием индуктированной Э.Д.С. появляется ток, поле которого противодействует изменению магнитного потока, которым вызвано появление Э.Д.С.

Для предупреждения возможности создания встречного магнитного потока, вызванного током в первичной обмотке, необходимо производить замыкание контактов прерывателя, когда

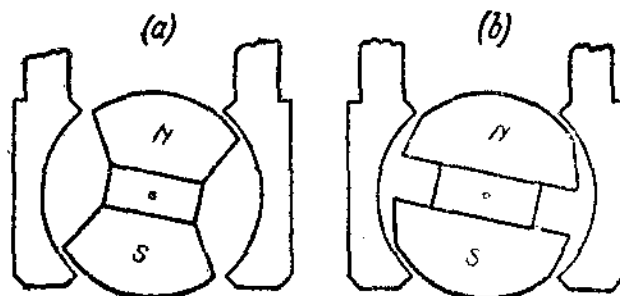


Рис. 22

в сердечнике трансформатора магнитный поток, созданный постоянным магнитом, будет максимальен.

Казалось бы, что вторичная обмотка и так всегда разомкнута в свече, но надо вспомнить, что после искрового разряда появляется дуговой разряд, который питается энергией конденсатора при его колебательном разряде (посредником является магнитное поле, создаваемое первичной обмоткой). С целью более быстрого прекращения дуги, следовательно и быстрого убывания силы тока во вторичной цепи, делают часть вторичной обмотки из проволоки, материал которой имеет большое удельное сопротивление.

Эту же цель можно достичь путем введением дополнительного искрового промежутка, который с одной стороны предупреждает преждевременное появление тока, в момент размыкания контактов, и, с другой стороны, способствует быстрому прекращению дуги на электродах свечи.

**Соединение обмоток.** В магнето обмотки чаще всего имеют автотрансформаторную связь, при которой, как нам известно, одна обмотка является продолжением другой. Необходимо помнить, что при размыкании первичной обмотки в ней Э.Д.С. самоиндукции направлена в ту же сторону, куда направлена и Э.Д.С., вызванная магнитным потоком постоянного магнита.

Так как Э.Д.С. во вторичной обмотке вызвана этим же потоком плюс Э.Д.С., вызванная уменьшающимся потоком первичной обмотки, то они имеют одно и то же направление. Следовательно обмотки должны быть так соединены, чтобы Э.Д.С. суммировались. Для этого достаточно соединить конец первичной обмотки с началом вторичной, не изменяя направления намотки.

### Магнето с неподвижными обмотками и неподвижным постоянным магнитом

Помимо рассмотренного типа существуют магнето, у которых трансформатор и магнит неподвижны.

Для того, чтобы иметь изменяющийся магнитный поток в сердечнике трансформатора, создают вращающееся магнитное поле. В этих типах магнето вращающийся магнитный поток получается двояко: или благодаря вращению полюсных наконечников, связанных магнитно каждый со своим полюсом неподвижного магнита (см. рис. 23), или благодаря ферромагнитному экрану, восстанавливающему и нарушающему магнитную цепь трансформатора (см. рис. 24).

Как в первом, так и во втором случае является необходимым иметь четыре между железных пространства, вместо двух, как это имело место в магнето с вращающимся магнитом.

Из электротехники известно, что магнитная проницаемость воздуха  $\mu = 1$  и для получения того же максимального магнитного потока в сердечнике трансформатора, в магнето, имеющем вместо двух четыре между железных пространства, необходимо иметь магнитодвигущую силу магната, в два раза большую (при равных зазорах и прочих равных параметрах магнитной цепи).

Соединение обмоток в этих типах магнето ничем не отличается от выше рассмотренного.

Необходимо отметить следующее: рассмотренные два типа магнето допускают возможность получить любое четное число искр за один оборот ротора. Например, изображенное магнето на рис. 25 позволяет иметь шесть искр, так как магнитный поток

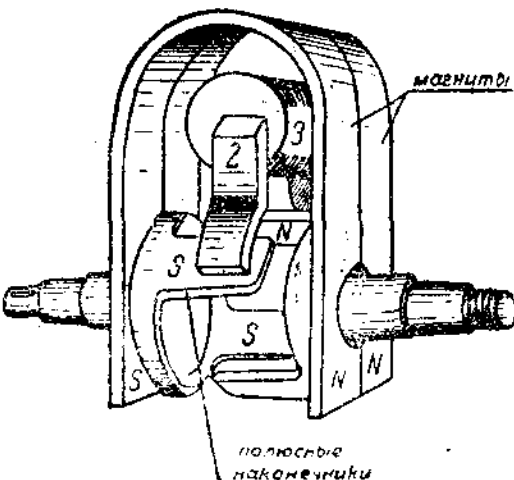


Рис. 23

2. Сердечник трансформатора
3. Катушка

за один оборот ротора шесть раз достигает максимального и шесть раз минимального своего значения.

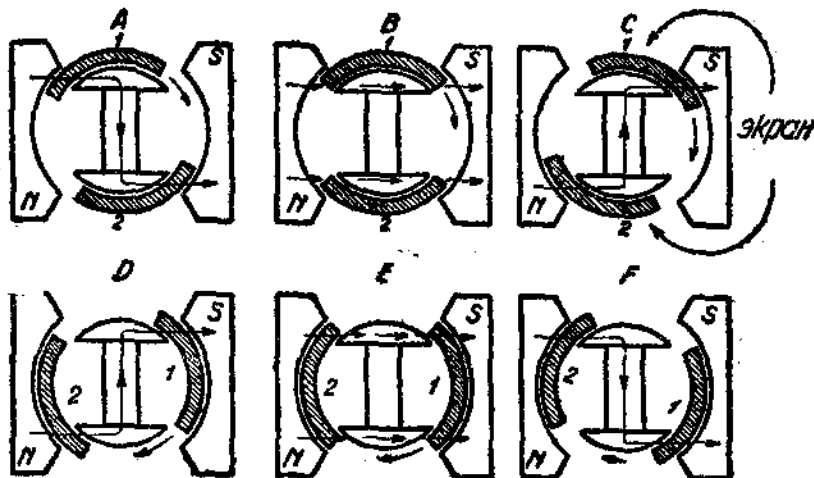


Рис. 24

На рис. 23 изображено магнето, позволяющее иметь четыре искры за один оборот ротора.

Возможность иметь большое число искр за один оборот ротора имеет колоссальное значение при применении магнето на многоцилиндровых двигателях, так как позволяет иметь угловую скорость ротора, равную угловой скорости коленчатого вала, или даже в два раза меньшую, т. е. равную угловой скорости газораспределительного вала.

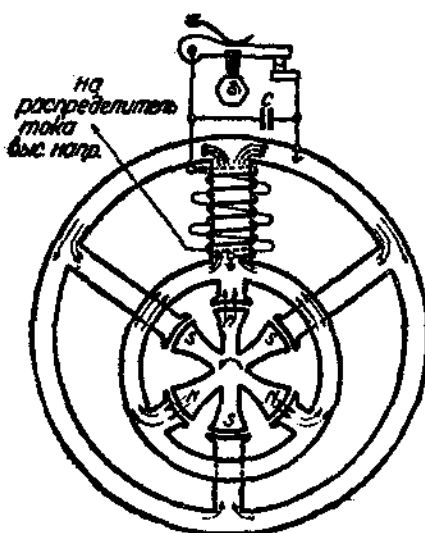


Рис. 25

Увеличение числа максимумов изменения поля, получаемых за один оборот ротора (что достигается увеличением числа полюсов), позволяет при меньшем числе оборотов ротора получить нужное количество вспышек в двигателе. Например, если установить на шестицилиндровый четырехтактный двигатель магнето, имеющее два максимума изменения поля за один оборот ротора, то для получения

шести искр (необходимых при двух оборотах коленчатого вала) требуется три оборота ротора. Следовательно угловая скорость вращения ротора должна быть в 1,5 раза больше

угловой скорости коленчатого вала и если необходимо дать опережение зажиганию  $30^\circ$ , то прервать первичную цепь надо с предварением на  $45^\circ$ .

Если на этот же двигатель установить магнето, имеющее шесть максимумов изменения поля за один оборот ротора, то для получения шести искр (необходимых при двух оборотах коленчатого вала) достаточно одного оборота ротора. Следовательно угловая скорость ротора будет в два раза меньше угловой скорости коленчатого вала и для получения опережения зажигания на  $30^\circ$  необходимо прерывать обмотку с предварением на  $15^\circ$ .

При применении магнето, у которого ротор позволяет иметь за один оборот число искр, равное числу цилиндров четырехтактного двигателя, не требуется редуцирования числа оборотов при передаче к распределителю тока высокого напряжения, что является большим преимуществом этого типа магнето (конструкция на стр. 61).

### Магнето с вращающимися обмотками

Наряду с большим распространением (в особенности за последние 5–6 лет) магнето с неподвижными обмотками, немалое применение имеют и магнето с вращающимися обмотками.

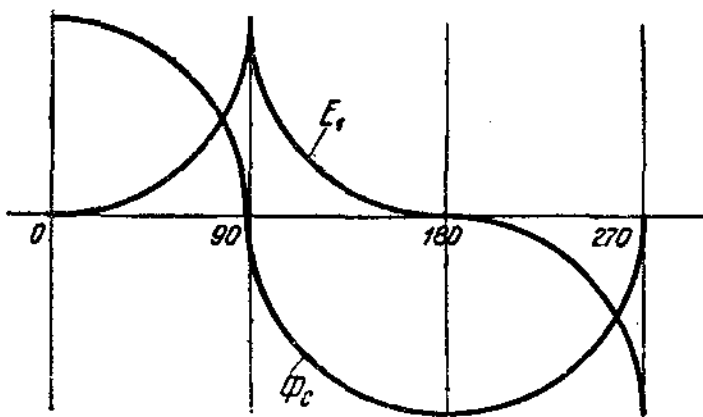
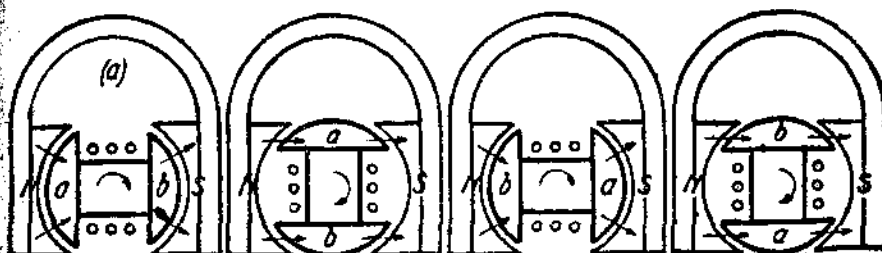


Рис. 26

В этом типе магнето постоянный магнит неподвижен, и обмотки расположены на железном сердечнике двутаврового сечения, который вращается в поле постоянных магнитов. На рис. 26 представлена магнитная цепь и распределение магнитного потока при различных положениях якоря. Кривая изображает характер изменения магнитного потока в сердечнике трансформатора в зависимости от положения его в поле постоянного магнита.

Рассмотрим физическую сторону процесса получения Э.Д.С. в первичной обмотке.

Когда якорь занимает положение в магнитном поле, изображенное на рис. 26а, в его сердечнике магнитный поток имеет максимальное значение и величина его претерпевает минимальное изменение. В это время величина индуцированной Э.Д.С. в пер-

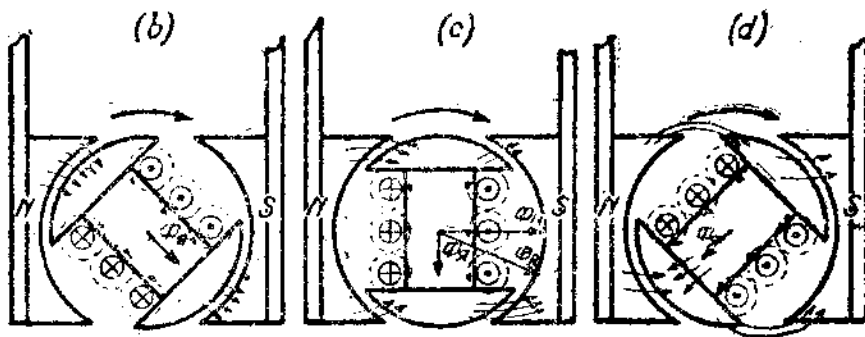


Рис. 27

вичной обмотке близка к нулю. При положении якоря (см. рис. 27 б) величина магнитного потока убывает и в обмотке появляется Э.Д.С., ее направление может быть легко определено правилом правой руки.

Найденное направление отмечаем в сечении проводников крестом  $\oplus$  уходящую от нас и точкой  $\ominus$  направленную к нам. Если при этом положении якоря обмотка будет замкнута, то в ней под действием Э.Д.С. появится ток и поле, созданное им, будет направлено в том же направлении, что и убывающий поток магнита.

При положении якоря (см. рис. 27с) в сердечнике трансформатора магнитный поток магнита должен был бы иметь минимальное значение (что имеет место при разомкнутой обмотке), но при наличии якорного поля происходит геометрическое суммирование двух полей, результирующая которых смещается в сторону вращения (см. векторную диаграмму на рис. 27с).

На рис. 27 д представлено положение якоря при максимальном значении силы тока, причем видно из рисунка, что поле якоря ослабляет поле постоянного магнита. Это явление вызывает размагничивание магнита и препятствует восстановлению магнитного потока в сердечнике трансформатора, создаваемого постоянным магнитом.

Если при этом положении якоря произведем размыкание обмотки, то получим Э.Д.С. самоиндукции большого значения, так как скорость убывания поля обмотки будет увеличена действием встречного поля магнита (подобное явление имеет место в предыдущих типах магнето). Контакты прерывателя так же шунтируются емкостью, цель установки которой та же, что и в батарейном зажигании.

Наведение напряжения во вторичной обмотке происходит так же, как и в рассмотренных ранее типах магнето.

Перестановка момента зажигания в магнето с вращающимися обмотками достигается различно. При ручной перестановке производят перемещение обоймы, снабженной выступами, о которые ударяется молоточек прерывателя.

Перекрытие

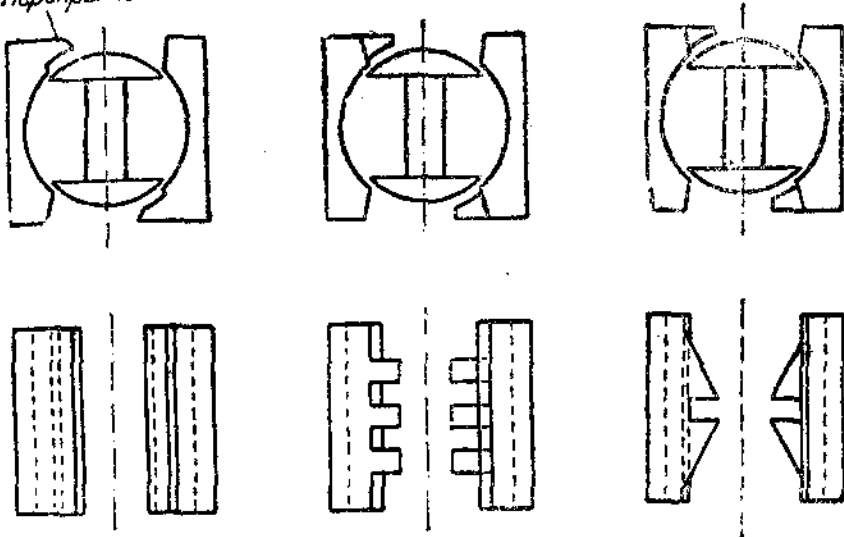


Рис. 28

При автоматической перестановке момента зажигания происходит перемещение якоря относительно коленчатого вала.

При первом способе изменения момента зажигания мы также сталкиваемся с необходимостью иметь рассеиватели для получения достаточного пробивного напряжения на свече, как при раннем, так и при позднем зажигании. Рассеиватели магнитного потока встречаются различных форм (см. рис. 28) и характеристики изменения силы тока имеют не остроконечную вершину, а тупую.

Независимо от типа магнето применение рассеивателей повышает коэффициент самоиндукции обмоток, вследствие увеличения угла обхвата полюсными наконечниками сердечника трансформатора, а также увеличивается поток рассеивания и максимальное значение ординаты силы тока уменьшается.

В некоторых типах магнето имеется перестановка момента зажигания от руки, но с сохранением угла  $\alpha$ , благодаря жесткой связи между магнитной системой и прерывающим устройством первичной цепи. В этих типах магнето можно пользоваться пикообразными характеристиками изменения силы тока и иметь любой угол опережения. Эти типы магнето подробно рассмотрены дальше.

### Особенности, вносимые в конструкцию магнето, применением врачающихся обмоток

Так как в магнето с вращающимися обмотками необходимо снимать напряжение с вращающейся части прибора, то требуется создать цепь из подвижного и неподвижного проводников. Для простоты рассмотрим цепь высокого напряжения „одноцилиндрового“ магнето.

Нам известно, что в момент размыкания контактов прерывателя во вторичной обмотке индуцируется ЭДС. Если конец вторичной обмотки будет соединен с контактным кольцом (коллектором), вращающимся вместе с обмоткой, и по кольцу будет скользить угольная щетка, то при помощи этого устройства осуществим электрическую связь между вторичной обмоткой и свечей. Но для наличия тока в свече необходимо ее второй электрод соединить с источником высокого потенциала, т. е. с началом вторичной обмотки. Раньше указывалось, что между обмотками имеется автотрансформаторная связь и начало вторичной обмотки соединено с концом первичной обмотки.

Во всех случаях в магнето начало первичной обмотки соединяют с „массой“, так как пользуются однопроводной системой. При наличии такого соединения ток, поступивший на центральный электрод свечи, через искровой промежуток ее, попадает на электрод, соединенный с „массой“. „Масса“ двигателя является неподвижной, а „масса“ якоря вращающейся. Единственным путем для прохождения тока остаются подшипники (при наличии резинового кольца между приводом двигателя и якорем магнето).

Появление тока высокого напряжения в подшипниках недопустимо вследствие выделения из воздуха искровым разрядом азотной кислоты, быстро разрушающей металл. При наличии шарикоподшипников поверхность шариков под действием паров азотной кислоты разрушается и их диаметр уменьшается. Это уменьшение диаметра шариков происходит настолько быстро, что срок службы шарико-подшипника сокращается в 10+20 раз.

Иногда указывают на обгорание шариков, вызванное тепловым действием тока высокого напряжения. Для того, чтобы происходило только быстрое разрушение шарикоподшипника, необходимо иметь большую силу тока, чем  $0.002+0.004$  ампера и основной причиной разрушения шарикоподшипника следует считать действие паров азотной кислоты (помимо нормального износа подшипника).

Предотвратить появление тока высокого напряжения в подшипниках возможно, устанавливая скользящий контакт между

подвижной „массой“ и вращающейся „массой“. Эти угольные щетки устанавливают с обратной стороны диска прерывателя дополнительно между якорем и корпусом магнето. Но необходимо предупредить и возможность разветвления первичного тока (при выключении зажигания), для чего наружное кольцо шарикоподшипника изолируют от неподвижной массы пресс-шлангом или фиброй.

Наличие скользящих контактов, соединяющих вращающуюся „массу“ с неподвижной, так же является обязательным при остановке двигателя путем выключения зажигания. Если соединить через скользящий контакт конец первичной обмотки с неподвижной „массой“, то первичная цепь будет замкнута на коротко и сколько бы контакты прерывателя ни размыкались, искры в свечах двигателя не будет, вследствие чего двигатель останавливается.

При отсутствии угольных щеток двигатель остановить не удается, так как электрическая связь первичной цепи между неподвижной „массой“ и подвижной „массой“ будет отсутствовать, это подтверждает наличие изоляции в подшипниках.

При отсутствии соединительных скользящих контактов (их называют заземляющими щетками) и при отсутствии изоляции между подшипником и неподвижной массой, во время остановки двигателя через подшипники будет проходить ток силой  $3 \div 5$  ампер, достаточный для разрушения поверхности шариков и обоим подшипников непосредственным тепловым воздействием.

#### ТРЕБОВАНИЯ, ПРЕДЪЯВЛЯЕМЫЕ К КОНСТРУКЦИЯМ ОТДЕЛЬНЫХ ДЕТАЛЕЙ И ИХ МАТЕРИАЛУ

##### Прерыватель

Из рассмотренных процессов в приборах зажигания наличие прерывателя является обязательным.

Для того чтобы предъявить требования к конструкции прерывателя, необходимо знать условия, в которых он работает. Раньше указывалось, что число прерываний первичной цепи зависит от числа оборотов в минуту коленчатого вала, числа цилиндров, обслуживающих прибором зажигания, рабочего процесса (двуихтактный или четырехтактный) и достигает 30 000 в минуту. Следовательно подвижная часть прерывателя должна обладать минимальной инерцией.

Известно, что обмотки трансформатора магнето могут быть вращающимися и неподвижными. При наличии вращающихся обмоток нецелесообразно иметь неподвижный прерыватель, так как возникла бы необходимость осуществить электрическую связь с ним через скользящий контакт.

Это увеличило бы сопротивление первичной цепи и внесло усложнение в конструкцию. Применение вращающегося прерывателя заставляет учитывать центробежные силы, могущие повлиять на работу подвижного контакта его.

На рис. 29а представлен прерыватель магнето, имеющего неподвижные обмотки, и на рис. 29б представлен прерыватель

магнита, имеющего вращающиеся обмотки. Прерыватель заключает в себе следующие детали: молоточек с контактом, являющийся подвижной частью прерывателя, наковальня с контактом, пружина, производящая замыкание контактов, и вращающаяся кулачковая шайба, производящая размыкание их.

Молоточек большей частью представляет равноплечий рычаг первого рода, имеющий центр качания относительно оси, указанной на рисунке. Шарнир снабжается фиброй буксой. Применение фибры вызвано двумя требованиями:

1. Недопустить появление ответственного тока в шарнирном соединении, оставив в роли проводника пружину, вызывающую замыкание контактов.

2. Иметь минимальный коэффициент трения и минимальный уход за смазкой буксы, так как фибра достаточно пориста и хорошо удерживает смазку.

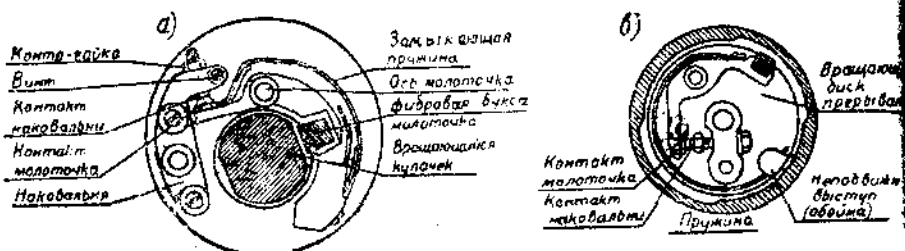


Рис. 29

Иногда молоточек устанавливают не шарнирно, а на пружину. Этот способ крепления молоточка имеет свои преимущества и недостатки. Преимущества следующие:

1. Отсутствует необходимость смазки шарнира.

2. Отсутствует трение контакта о контакт, что имеет место в случае применения шарнирного соединения при некотором износе буксы.

3. Отсутствует возможность заедания в шарнире, что имеет место при разбухании материала буксы.

Недостатками являются:

1. Довольно быстрая усталость материала пружины и ее поломки.

2. Склонность прерывателя выбиривать при большом числе размыканий, что в меньшей мере можно наблюдать при шарнирном креплении, вследствие успокаивания вибрации молоточка, вызываемого трением в буксе.

В прерывателях магнита чаще встречается электрическое соединение молоточка с «массой» и контакт, устанавливаемый на молоточек, укрепляется к последнему на резьбе. В целях уменьшения веса движущихся частей никогда не делают контакты молоточка регулирующимися, так как длина шпильки контакта с нарезкой должна быть больше и присутствие законтирающего приспособления является обязательным.

Все это увеличивает вес молоточка и в целях большего метчевия его изготавливают из алюминия или штампуют из тонкой стали. Иногда с этой целью молоточек заменяют пружиной с приклепанным к ней контактом, которую отводят специальный кулачок, не имеющий жесткой связи с пружиной.

Наковальня имеет контакт с нарезкой, позволяющей производить регулировку величины пространства между контактом наковальни и контактом молоточка, при максимальном подъеме последнего. После произведенной регулировки при помощи гайки контакт наковальни законтривается. Непосредственной электрической связи с „массой“ наковальня не имеет и крепится к остову прерывателя на изолирующих прокладках. Она соединяется с концом первичной обмотки.

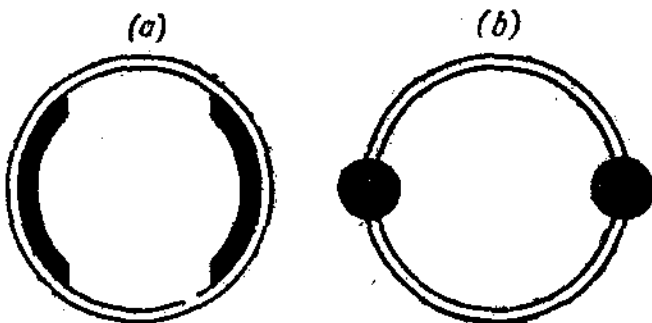


Рис. 30

О значении формы размыкающего выступа в батарейном зажигании мы уже познакомились, укажем, какие выступы применяют в прерывателях на магнето. Мы также установили, что при большом числе размыканий, особенно большое влияние на восстановление магнитного потока в сердечнике трансформатора оказывает момент замыкания контактов прерывателя, причем установили, что замыкать цепь следует при максимальном значении магнитного потока в сердечке. Откуда следует, что наивыгоднейшей формой размыкающего выступа обладает обойма прерывателя, изображенная на рис. 30 $a$  и в противоположность ей на рис. 30 $b$  представлена обойма тихоходного типа магнето.

Для правильной работы и сохранного состояния прерывателя необходимо оформить конструктивно прерыватель так, чтобы равнодействующая сила не проходила через центр качания молоточка. На рис. 31 вектором  $P_{\text{пр}}$  — представлена сила пружины, замыкающая контакты, ее величина в пределах  $500 \div 800$  г, вектором  $P^t$  — представлена сила, необходимая для преодоления силы пружины и силы трения в буксе, т. е.  $\bar{P}^t = \bar{P}_{\text{пр}} + \bar{P}_t$ .

Вектором  $P_t$  представлена сила трения молоточка о размыкающий выступ. Направление всех сил известно, суммируя их геометрически, найдем равнодействующую  $P_R$ .

Форма размыкающего выступа в начальный момент размыкания контактов влияет на направление  $P_B$  и если прерыватель вращать в противоположном стрелке направлении, то равнодействующая, проходя через центр качания, будет вызывать быстрый износ буксы.

Все высказанные положения о прерывателях магнето в той же мере относятся и к прерывателям батарейного зажигания и разница в конструкции заключается в том, что изолируют от "массы" не наковальню, а молоточек и контакты изготавливают не из платино-иридиевого сплава, а из вольфрама.

Платино-иридиевый сплав обладает следующими качествами и недостатками.

Качества: тугоплавкость и хорошая проводимость окислов этого сплава обеспечивают надежное восстановление цепи.

Недостатки: при постоянном направлении размыкающего тока сплав хорошо переносится с одного контакта на другой (с анода на катод).

Это имеет место на магнето, обслуживающих однцилиндровые двигатели, и на магнето, имеющих число размыканий цели, неравное числу максимумов значений поля сердечника трансформатора. Вторым недостатком платино-иридиевого сплава является его разрушение парами бензина.

Вольфрам обладает малой склонностью к переносу частиц металла в искровом разряде и его применяют

для контактов прерывателя в батарейном зажигании. Большим недостатком вольфрама является низкая токопроводимость его окислов, что вызывает необходимость частой очистки поверхности контактов.

Для надежной и длительной работы контактов желательно иметь такую структуру металла, чтобы удар, получаемый контактом во время замыкания, воспринимался волокнами металла вдоль своей оси, а не поперек.

Для этого необходимо контакты изготавливать из тянутой проволоки, разрезая ее в радиальном направлении на отдельные кружочки.

Контакты, изготовленные из листового металла, путем высечки под прессом, получают удар при замыкании контактов поперек волокон, так как листовой материал вальцован. Это вызывает его расслаивание и он отделяется в виде пленок.

Контакты припаиваются к стальному контактодержателю медным припоем.

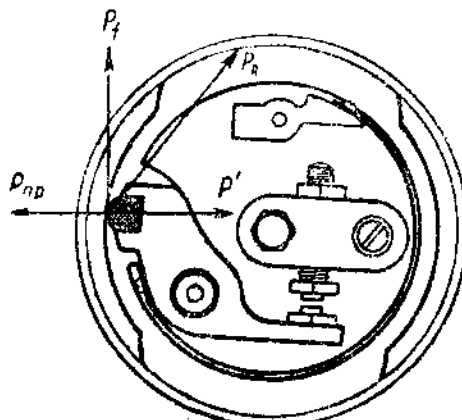


Рис. 31

## Конденсатор

О назначении конденсатора мы уже говорили. Рассмотрим его конструкцию. Конденсатор устанавливается в магнето с неподвижными обмотками неподвижно, в магнето с вращающимися обмотками он так же вращается. Необходимость жесткой механической и электрической связи между обмотками и конденсатором объясняется требованием минимального сопротивления проводах, соединяющих обмотки с конденсатором. На рис. 32 представлен слюдянный конденсатор в разобранном и собранном виде.

Конденсаторы изготавливаются из оловяной или алюминиевой фольги и диэлектриком являются слюда, эксцельсиор или параллакрированная бумага.

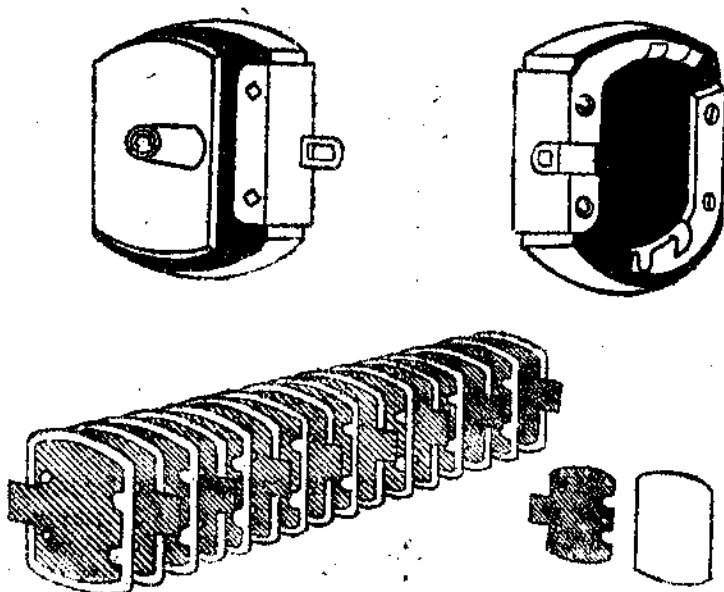


Рис. 32

Диэлектрик должен выдерживать пробивное напряжение 400 вольт. Конструкция самого конденсатора различна в зависимости от применения того или иного диэлектрика. Конденсаторы со слюдяным диэлектриком собираются из листов слюды толщиной 0,08 мм и листов фольги толщиной 0,025 мм.

Количество слюдянных листов равно количеству листов из фольги минус один. Для получения достаточной емкости конденсатора при минимальных его габаритах необходимо иметь максимальную площадь при минимальной толщине диэлектрика. Это видно из формулы, на основании которой можно определить емкость плоского конденсатора.

$$C = 0,884 \cdot 10^{-7} \cdot E \frac{S}{c} (n-1) \text{ mF.}$$

## Где

$C$  — Емкость конденсатора в микрофарадах,  
 $E$  — Диэлектрическая постоянная вещества, разделяющего обкладки,  
 $S$  — Площадь каждой пластиинки в кв. см.,  
 $e$  — Толщина диэлектрика в см.,  
 $n$  — Число фольговых пластин.

Отсюда ясно, почему в слюдяных конденсаторах магнето берется число фольговых пластин 50—300 и отчего берутся такие тонкие слюдяные прокладки.

Конденсаторы с диэлектриком из эксцельсиора или парафинированной бумаги свертываются большей частью в виде цилиндра и применяют их там, где габариты могут быть больше. Выбор того или иного диэлектрика диктуется экономическими соображениями и располагаемым местом для установки конденсатора, а также возможной величиной пробивного напряжения.

Чтобы представить значение диэлектрической постоянной емкость конденсатора, достаточно указать, что при одной и той же толщине диэлектрика, но в первом случае взята парафинированная бумага, а во втором случае слюда, то емкость во втором случае будет в 2—4 раза больше. Также во втором случае повышается и пробивное напряжение примерно в три раза. Все фольговые обкладки разбиты на две группы, причем в одной группе на одну обкладку больше чем в другой.

После сборки конденсатор помещают в вакуум, величина которого достигает 1 мм ртутного столба, для того чтобы удалить воздух, оставшийся между диэлектриком и обкладками. После чего в сосуд, в котором помещается конденсатор, выпускают изолирующий материал, шерлак, бакелит или парафин, которым и заполняются все поры, заключавшие до этого воздух.

По емкости конденсаторы, устанавливаемые на приборы зажигания, различны и встречаются от 0,05 до 0,3 микрофарады. Большим недостатком конденсаторов с диэлектриком из парафинированной бумаги является большая чувствительность их к повышению температуры и влажности окружающего воздуха, с повышением которой повышается активная проводимость конденсатора.

Если во время работы прибора зажигания появляется сильное искрение между контактами прерывателя, то необходимо проверить, не слишком ли мало расстояние между ними (оно не должно быть меньше 0,3 мм и больше 0,5 мм), не загрязнены ли они маслом. И если осмотр покажет исправное состояние прерывателя, то необходимо проверить, не отключился ли конденсатор.

В случае пробоя диэлектрика конденсатора, прибор зажигания откажется работать и в прерывателе никакой искры не будет, и так как разрыв зашунтирован в этом случае не емкостью, а омическим сопротивлением небольшой величины, то ток прерваться не будет, а следовательно и искры в свечах не будет.

## Сердечник трансформатора

Независимо от того, где установлен трансформатор, в батарейном зажигании или в магнето, он подвержен изменяющемуся магнитному потоку. Из курса электротехники известно, что особенно в массивных проводниках, подвергнутых изменяющемуся магнитному полю, возникают вихревые токи Фуко, вызывающие нагрев этих проводников, и если проводником является железный сердечник, то вихревые токи препятствуют быстрому размагничиванию и намагничиванию его.

В целях уменьшения токов Фуко сердечник трансформатора собирается или из листового железа толщиной  $0,3 \pm 0,5$  мм или из отожженной железной проволоки. Токи Фуко имеют очень незначительную величину индуцированной Э.Д.С., под действием которой они возникают, и необходимости в применении материалов с высокими изолирующими свойствами не имеется. В лучшем случае пластиинки железа или проволоку покрывают лаком. В последнее время отказались и от этого и используют окалину (окись железа), которая покрывает тонким слоем пластинку или проволоку во время отжига.

В связи с появлением вихревых токов в полюсных наконечниках магнитов их так же изготавливают из листового железа. На рис. 33<sup>a</sup> представлен сердечник вращающегося трансформатора и на рис. 33<sup>b</sup> представлен трансформатор в собранном виде, называемый якорем. Его составные части: контактное кольцо 2, конденсатор 4, коробка конденсатора 3 с задней запайкой и сердечник с обмотками.

**Типы сердечников.** В бобинах (трансформаторах батарейного зажигания) применяют сердечники разомкнутые и полузамкнутые

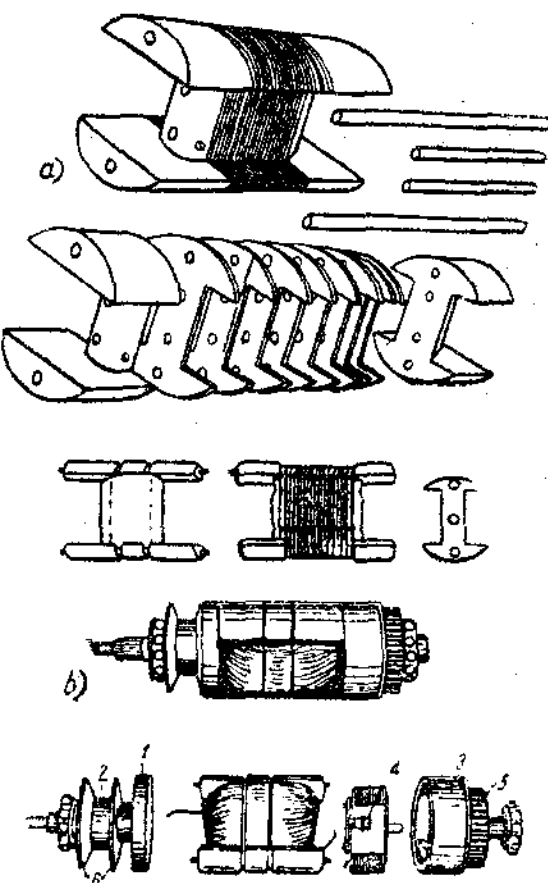


Рис. 33

тые. Первый тип требует большее число ампер-витков для создания магнитного потока, чем второй тип. Так как число витков остается постоянным, то в первом случае требуется большая сила тока, а следовательно сечение проволоки, идущей на первичную обмотку, необходимо увеличить, что крайне невыгодно, так как увеличиваются габариты катушки не только первичной но и вторичной.

Одновременно с увеличением сечения проволоки первичной обмотки необходимо увеличить и ее длину, для того чтобы омическое сопротивление не изменилось. Это еще в большей мере увеличит размеры катушки. Увеличение расхода меди очевидно и повышается стоимость трансформатора. Применение полузамкнутого сердечника немного увеличивает расход железа, но экономит цветной металл (медь).

**Изоляция обмоток и их материал.** Изготовленный сердечник покрывается изолирующим лаком и в бобинах его покрывают прессшпаном. После чего наматывается первичная обмотка из медной проволоки с эмалевой или шелковой изоляцией (большей частью эмалевой).

Диаметр проволоки первичной обмотки  $0,6 \pm 1$  мм.

Длина ее  $10 \pm 20$  метров и число витков  $150 \pm 250$ .

После того, как намотка первичной катушки закончена, ее покрывают изоляцией из кембрикового полотна и английского шелка и производят намотку второй катушки.

Проволока для вторичной обмотки берется медная с эмалевой изоляцией диаметр  $0,07 \pm 0,09$  мм, длиною  $1000 \pm 1500$  метров и числом витков  $10\,000 \pm 16\,000$ . Каждый ряд тщательно изолируется и по мере удаления от первичной обмотки число витков в каждом ряду уменьшают. Это делают в магнето с целью уменьшить возможность пробоя на „массу“, так как верхние ряды удалены от нее.

В бобинах иногда делают вторичную обмотку секционированной с целью понизить междурядное напряжение и устраниТЬ возможность пробоя изоляции между отдельными рядами. Поверхностная изоляция в магнето делается кембриковым полотном с последующей пропиткой капаловыми лаками. В бобинах поверхность изоляцию делают четвертом.

У всех трансформаторов батарейного зажигания начало и конец первичной обмотки выводят изолировано от массы на внешние зажимы. Начало вторичной обмотки чаще соединяют с „массой“, а иногда с концом первичной обмотки. Конец вторичной обмотки выводят на зажим, тщательно изолированный от „массы“.

В магнето чаще всего начало и конец первичной обмотки выводят изолировано от „массы“ и только во вре мя начала ее соединяют с „массой“ сердечника трансформатора. Иногда начало первичной обмотки непосредственно припаивается к сердечнику, после чего производят намотку ее.

Вторичная обмотка своим началом припаивается к концу первичной, прежде чем производят намотку. Конец вторичной обмотки выводят изолировано от „массы“ и соединяют с контактным кольцом или с токоприемником.

Контактное кольцо тщательно изолировано от „массы“, путем установки его на эbonитовый барабан. Эbonит, применяемый для этих целей, берется высшего качества и после изготовления поверхность барабана полируется, чтобы препятствовать удержанию влаги, являющейся хорошим проводником электрического тока. Эbonитный барабан с контактным кольцом, изготовленным из бронзы, называется коллектором.

В магнето, где трансформатор вращается, его устанавливают два бронзовых фланца, имеющих по концам цапфы для установки подшипников. Цапфы имеют удлинение для установки коллектора и шестерни, приводящей в движение распределитель тока высокого напряжения. В некоторых магнето один фланец имеет глубокое углубление для установки в нем конденсатора. В других же магнето для этой же цели коллектор делается внутри пустотелым, куда и помещают конденсатор. Фланцы изготавливают из бронзы с целью предотвратить шунтирование магнитной цепи сердечника.

### Магниты

Для получения в сердечнике трансформатора магнето магнитного потока пользуются постоянными магнитами.

Постоянным магнитом называется кусок закаленной стали, который после того как был подвергнут намагничиванию, сохранил магнитные свойства.

Основным качеством магнита является величина магнитного потока, создаваемого им (магнитом) в трансформаторе магнето, причем величина магнитного потока магнита как можно длительнее должна оставаться неизменной, т. е. магниты не должны быстро размагничиваться.

Не весь магнитный поток магнита  $\Phi_m$  проходит через сердечник трансформатора, а часть его рассеивается, т. е. проходит помимо сердечника.

При рассмотрении вопроса об индуктировании Э.Д.С. в первичной обмотке трансформатора установили наличие якорного поля при замкнутой первичной цепи, которое встречено направлено к полюю постоянных магнитов. Это явление вызывает размагничивание постоянных магнитов и уменьшение величины остаточного магнетизма в них.

В целях уменьшения размагничивающего действия увеличивают угол обхвата полюсным наконечником якоря магнето, благодаря чему якорный магнитный поток замыкается через полюсные наконечники, а не через магнит.

В этом отношении в магнето, снабженных рассеивателями, меньшее размагничивающее действие оказывает якорное поле.

В значительной мере надежная и длительная работа магнето зависит от качества постоянных магнитов. Качество последних в значительной мере зависит от состава стали и ее термической обработки.

Параметрами, характеризующими сталь, являются: величина остаточного магнетизма  $B_r$ , и коэрцитивная (задерживающая) сила  $H_c$ .

На рис. 34 приведен ряд характеристик для различных сталей, причем дать правильную оценку сталям, судя только по одной величине, т. е. или по коэрцитивной силе или по остаточному магнетизму, — нельзя.

Сравнение качества магнитных сталей следует производить по количеству запасенной магнитной энергии, которая находится в стали после ее намагничивания. Магнитная энергия постоянного магнита выражается

$$\frac{(B \cdot H)_{\max}}{8\pi} \text{ в эргах/см}^2$$

Замечено, что после того как действие размагничивающей силы прекращено, магнитные свойства в магните восстанавливаются. Это явление носит название магнитного возврата.

Магнитный возврат влияет на величину магнитного поля, а также на размеры самих магнитов, так как от него зависит величина остаточного магнетизма,

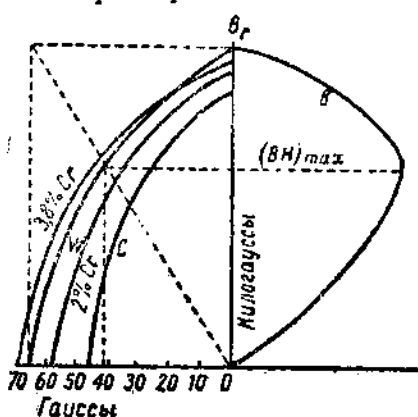


Рис. 34

а следовательно и величина магнитного потока в сердечнике трансформатора. В целях получения более устойчивого постоянного магнита, не боящегося сотрясений, его подвергают после намагничивания малому размагничиванию, помещая в магнитное поле с напряженностью  $H_1 = 5 \div 15$  гауссов.

С этой же целью подвергают магнит искусственному старению путем нагревания его до  $+100^\circ\text{C}$ , поддерживая эту температуру в течении

$6 \div 8$  часов. Это можно достигнуть, помещая магнит в кипящую воду.

Выше уже указывалось о влиянии состава стали на ее магнитные свойства. Для удобства сравнения приводим таблицу (табл. 1).

Температура закалки для разных сталей различная. Так напр.,

для вольфрамовой . . . . .	$t = +850^\circ\text{C}$
" кобальтовой . . . . .	$t = +950^\circ\text{C}$
" коэрцита . . . . .	$t = +850^\circ\text{C}$

Для намагничивания магнитов необходимая магнитодвижущая сила также зависит от сорта стали. Например: хромистые и вольфрамовые стали требуют  $400 \div 450$  ампервитков на один см длины магнита; кобальтовые стали требуют  $1000 \div 1100$  ампервитков на один см длины магнита.

На основании показателей сталей можно сделать следующий вывод: увеличение содержания кобальта уменьшает величину остаточного магнетизма  $B_r$ , но значительно повышает коэрцитивную силу. Увеличение содержания магния также вызывает

Таблица 1

## Состав сталей и их магнитное свойство

Название стали	% состав стали	$H_c$ гаусс	$B_r$ гаусс	$(H \cdot B)_{max}$
Хромовая . . . . .	Cr — 2 C — 1 W — 5	50 $\div$ 70	$11 \cdot 10^3 \div 8 \cdot 10^3$	$24 \cdot 10^4$
Вольфрамовая . . . . .	C — 0,75 Cr — 0,5 Co — 9	50 $\div$ 70	$11 \cdot 10^3 \div 8,6 \cdot 10^3$	$25 \cdot 10^4$
Кобальтовая литая . . .	Cr — 6,5 Mo — 2 C — 1	120 $\div$ 160	$9 \cdot 10^3 \div 6 \cdot 10^3$	$35 \cdot 10^4$
Кобальтовая вальцов-ванная . . . . .	Cr — 6,5 Mo — 2 C — 1 Co — 9	140 $\div$ 165	$9,5 \cdot 10^3 \div 7 \cdot 10^3$	$40 \cdot 10^4$
Кобальтовая вальцов-ванная . . . . .	Cr — 2,3 Mo — 2 Co — 30 W — 7	240	$10 \cdot 10^3 \div 8 \cdot 10^3$	$60 \cdot 10^4$
Коерцит . . . . .	Cr — 5 Mn — 2 C — 1	200 $\div$ 225	$9,5 \cdot 10^3$	$70 \cdot 10^4$

уменьшение величины остаточного магнетизма и повышает коерцитивную силу.

За последние годы особенно большое применение получила кобальтовая сталь, так как ее применение позволяет уменьшить размеры магнита, не вызывая уменьшения магнитодвижущей силы.

Применение магнитов меньшей длины позволило уменьшить габариты всего магнета, а также и уменьшить вес его. К большим недостаткам кобальтовой стали следует отнести появление больших натяжений в металле при закалке. Это вызывает необходимость придания простейших форм магниту, избегая выкруташек в металле под прямым или острым углом, заменяя их кривой, описанной большим или меньшим радиусом.

Закалка будущих магнитов, изготовленных из кобальтовой стали, производится с последующим охлаждением его в воде, но с предварительным проходом нагретого магнита через слой масла, с целью предотвратить появление больших натяжений на поверхности его (магнита).

## Токоприемные и токораспределяющие устройства

В магнете с неподвижными обмотками, а также и в батарейном зажигании токоприемное устройство высокого напряжения в значительной мере проще, чем в магнете с вращающимися обмотками. Объясняется это отсутствием необходимости в сколь-

зящем контакте. Как ранее уже указывалось, конец вторичной обмотки соединен с контактным кольцом, расположенным на эбонитовом барабане.

В последнее время широкое применение пластмасс заметно вытесняет применение эбонита, который часто заменяют бакелитом. Детали, изготовленные из бакелита, обладают не только высокими изолирующими качествами, но и большой механической прочностью. Помимо этого эбонит крайне чувствителен к нагреву, под действием которого он становится мягким. Этого нельзя сказать про детали, изготовленные из бакелита.

В тех случаях, когда число цилиндров, обслуживаемых магнето, не превышает двух, коллектор выполняет и роль распределителя тока высокого напряжения. Это достигается установкой на барабан, изготовленный из изолирующего вещества полукольца (вместо кольца) и в этом случае вместо одного токоприемника уст навливаются два, расположенные под углом 180°. Такое устройство позволяет в момент прерывания первичной цепи посыпать ток в тот цилиндр, свеча которого в данный момент соединена с концом вторичной обмотки через посредство полукольца. Второй же токоприемник в этот момент находится на изоляции барабана. Как только число цилиндров двигателя, обслуживающего магнето, будет больше двух, наличие специального токо распределителя является обязательным.

В основном токораспределитель высокого напряжения представляет вращающийся электрод, который поочередно проходит перед неподвижными электродами крышки. Число неподвижных электродов равно числу цилиндров, причем все они тщательно изолированы от "массы", чтобы предупредить возможность замыкания цепи помимо свечи. Вращающийся электрод называется ротором распределителя, он также изолирован от "массы" и электрически связан с токоприемником при помощи скользящего контакта.

Токораспределители встречаются двух типов: 1) скользящий и 2) искровой.

1. Токораспределитель скользящего типа или имеет на роторе угольную щетку и неподвижные сегменты или неподвижные угольные щетки (количеством, равным числу цилиндров двигателя) и вращающийся сегмент.

В первом случае неподвижные сегменты располагаются чаще в радиальном направлении и реже в аксиальном.

Во втором случае неподвижные угольные щетки располагаются всегда в аксиальном направлении.

В первом случае сила трения значительно меньше, чем во втором, так как число щеток значительно меньше, упругость же пружины одинаковая. Нагибание поверхности угольными щетками также в первом случае меньше, чем во втором, а следовательно образование мостика из угольной пыли более вероятно во втором случае.

Возможность создания мостика между сегментами вынудила отказаться от распределителей скользящего типа и перейти к искровому типу.

2. В искровом распределителе отсутствуют щетки и распределение тока происходит через искровой промежуток, заключенный между электродом ротора и электродом крышки. Отсутствие скользящего контакта устраивает возможность создания дуги между контактами распределителя и предупреждает разогревание тока.

Наличие воздушного промежутка между неподвижным и подвижным электродом распределителя (см. рис. 35) предупреждает преждевременное появление тока во вторичной обмотке и способствует увеличению напряжения на электродах свечи, обеспечивая получение искрового разряда на ее электродах. Искровой разряд в токораспределителе вызывает выделение из воздуха водной и азотистой кислот, которые разрушительно действуют на металлические части токораспределителя. В целях предупреждения этого явления токораспределители искрового типа снабжаются вентиляционными отверстиями, позволяющими удалять пары масел. Роль винтильатора выполняет ротор токораспределителя.

Ротор токораспределителя получает привод в различных приборах зажигания различно. В приборах батарейного зажигания ротор укрепляется непосредственно на кулачковой шайбе прерывателя и имеет ту же угловую скорость, что и кулачковая шайба. Подобное устройство имеет место и в магнето, где число максимальных значений магнитного потока равно числу цилиндров (магнето „Вертекс“ фирмы Спинтилла, см. стр. 61).

Во всех других магнето, обслуживающих число цилиндров больше двух (касается магнето с вращающимися обмотками), ротор имеет угловую скорость, меньшую угловой скорости вращающейся части прерывателя, причем во столько раз, во сколько число сегментов токораспределителя больше числа прерываний первичной цепи, совершаемых за один оборот вращающейся частью прерывателя.

Например: якорь магнето имеет два максимума изменения поля. Число цилиндров, обслуживаемых магнето, равно шести. Тогда определим  $\frac{\omega_1}{\omega_2} = \frac{6}{2} = 3$

$\omega_2$  — угловая скорость ротора токораспределителя.  
 $\omega_1$  — угловая скорость вращающейся части прерывателя.

Откуда видно, что ротор распределителя вращается в три раза медленнее подвижной части прерывателя.

На основании этого заключаем, что передача, редуцирующая число оборотов, должна иметь передаточное число  $i = 1:3$ .

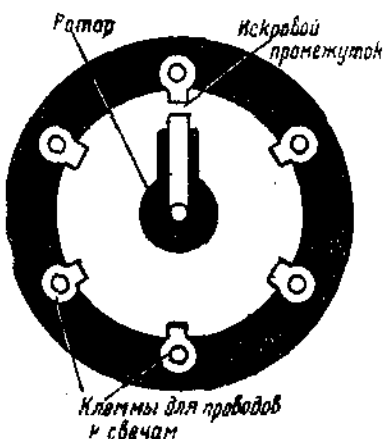


Рис. 35

Передачи встречаются зубчатые и винтовые. В случае применения зубчатой передачи, в целях бесшумности и уменьшения коэффициента трения, одну из шестерен изготавливают из фибры или пластмассы. Устанавливаются шестерни токораспределителя чаще всего на подшипниках скользящего типа и имеют фитильную смазку.

### Искровой предохранитель

Все без исключения магнето высокого напряжения снабжаются искровым предохранителем, назначение которого — предохранить изоляцию вторичной обмотки от пробоя, могущего последовать при перенапряжении на зажимах вторичной обмотки. Чрезмерное повышение напряжения может иметь место в следующих случаях:

1. При разрыве провода высокого напряжения, соединяющего токораспределитель со свечею (при условии, что часть оборвавшегося провода, идущая от токораспределителя, не коснулась „массы“).

2. В том случае, когда провод отсоединен от центрального электрода.

3. В случае чрезмерного увеличения пространства между электродами свечи (при чистом состоянии поверхности изолятора).

4. В случае образования капли масла в пространстве между электродами (при условии, что масло незагрязнено и не содержит металлической пыли, образующейся при износе деталей).

Искровой предохранитель представляет два электрода с воздушным промежутком в 8—10 мм, причем одним электродом является „масса“, а другим или непосредственно конец вторичной обмотки, или токоприемник высокого напряжения.

Во всех случаях установки искрового предохранителя на магнето его расположение делают в таком месте, чтобы искровой разряд не мог произвести воспламенения случайно пролитого на магнето бензина, последствием чего может явиться пожар.

В тех случаях, когда возможен доступ бензина или его паров к искровому предохранителю, его окружают металлической сеткой, материал которой имеет большую теплопроводность (меди или латунь). Известно, что передача пламени через металлическую сетку в окружающее пространство не может иметь места до тех пор, пока температура сетки не достигнет большого значения. Пользуясь этим свойством сетки, можно создать надежную защиту от возникновения пожара.

Современные магнето изготавливаются бронированными типа и возможность попадания бензина и его паров к искровому предохранителю абсолютно устранена, вследствие чего необходимость в сетке отпадает.

### Корпус магнето

Корпус магнето является остовом, на который крепятся магниты, устанавливаются обоймы шарикоподшипников, устанавливается или снят прерыватель или обойма, имеющая размыкаю-

и выступы, а также на корпус устанавливается и токорас-  
селяющее устройство.

Корпус магнето и его нижняя площадка изготавливаются из  
стали. Иногда корпус изготавливают из сплава алюминия  
бронзой и другими металлами, не имеющими ферро-магнит-  
ных свойств.

Наибольшее распространение в современных магнето (благо-  
дярия большой легкости) получили алюминиевые отливки, так  
как значительная часть металла в магнето приходится на корпус,  
вичем в тех местах, где приходится иметь трущийся контакт,  
и скользящий подшипник, в алюминиевую отливку впрессо-  
вываются бронзовые втулки. Места для болтового крепления  
еще всего изготовлены также из бронзы, куски которой встав-  
иваются в опоку перед заполнением ее расплавленным металлом.  
Необходимо заметить, что толщина нижней площадки не должна  
быть меньше  $10 \pm 15$  мм с целью устранить возможность за-  
мыкания магнитного потока постоянных магнитов через поста-  
нент, на который устанавливается магнето (в случае изготов-  
ления его из ферро-магнитного металла.)

### ПРИСПОСОБЛЕНИЯ, ОБЛЕГЧАЮЩИЕ ПУСК ДВИГАТЕЛЯ ВНУТРЕННЕГО СГОРАНИЯ

При рассмотрении принципов работы магнето мы установили,  
что величина вторичного напряжения зависит от положения  
ютора в момент прерывания  
первичной цепи, а также и от  
числа оборотов ротора магнето.

Мы установили, что при нали-  
чии изменения Э.Д.С. по пико-  
образной кривой для получения  
остаточного напряжения на  
электродах свечи в положении  
позднего зажигания требуется  
число оборотов  $100 \pm 120$  в мин.

На рис. 36 представлена кри-  
вая зависимости минимального  
числа оборотов при различных  
углах  $\alpha$ , при котором можем  
получить силу тока в первичной  
обмотке к моменту размыкания,  
равную 1,7 ампер. Значение си-  
лы тока в момент прерывания  
занято таким, при котором вто-  
ричное напряжение обеспечит  
появление искрового разряда на

электродах свечи, при расстоянии между ними 0,5 мм.

На графике линия  $a-a_1$  является границей раннего размы-  
кания контактов и линия  $b-b_1$  позднего размыкания их. Отрезок  
оси абсцисс, ограниченный этими линиями, представляет предел  
перестановки момента прерывания первичной цепи. На графике

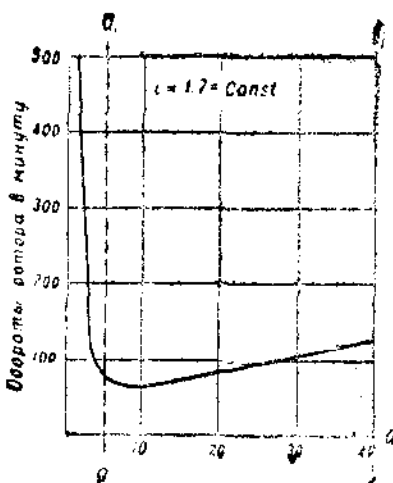


Рис. 36

видно, что для получения предельной силы тока, равной 1,7 ампер при раннем прерывании, т. е. когда угол  $\alpha = 8^\circ - 10^\circ$ , достаточно ротору магнето сообщить число оборотов в минуту  $n_{\min} = 75$ .

При позднем прерывании значение максимального числа оборотов повышается и достигает  $n'_{\min} \approx 120$  об/мин. Выше уже указывалось, что применение рассеивателей магнитного потока значительно уменьшает этот недостаток в магнето, но полностью не может удовлетворить получение необходимого напряжения в случае невозможности дать при пуске число оборотов ротору, при котором  $i_1 = 1,7$  ампера, что может иметь место в многогорячих двигателях, устанавливаемых на тракторах. Выход из затруднения дает применение сдвоенной системы зажигания или ускорителей, называемых импульсаторами.

### Сдвоенная система зажигания

В сдвоенных системах зажигания для получения достаточного напряжения на электродах свечи при пуске двигателя пользуют величину Э.Д.С. самоиндукции, возникающую при раз-

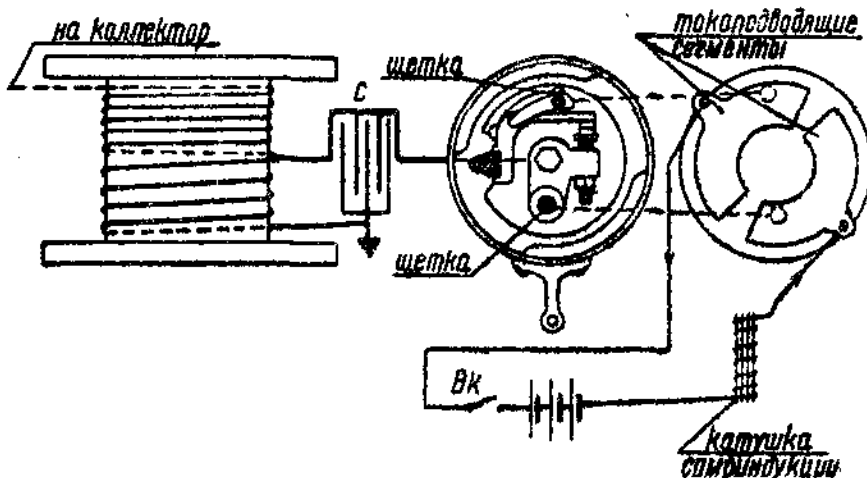


Рис. 37

мыкании контактов прерывателя. Известно, что величина  $V_{1\max}$ , т. е. максимальное значение вторичного напряжения зависит от отношения  $\frac{W_2}{W_1}$  и величины напряжения на зажимах первичной обмотки. Известно также, что  $V_{1\max}$  зависит от силы тока в первичной обмотке и коэффициента самоиндукции.

На основании этого можно сказать, если удастся увеличить силу тока в первичной обмотке магнето или повысить напряжение на зажимах первичной обмотки в момент размыкания цепи, то мы получим искровой разряд на электродах свечи, способный воспламенить газовую смесь. На рис. 37 представлена принципиальная схема сдвоенного зажигания.

Конструктивное отличие данного магнето от нормального магнето с вращающимися обмотками заключается в том, что прерыватель снабжен двумя угольно-медными щетками, замыкающими через посредство токопроводящих сегментов.

Принцип действия такого устройства заключается в следующем: если выключатель *Vk* будет включен, то при замкнутых контактах прерывателя магнето в обмотке катушки самоиндукции появится ток и сердечник ее будет намагничен. Вращаясь вокруг магнето, молоточек ударится о выступ обоймы прерывателя и произведет размыкание контактов. Сопротивление в цепи катушки самоиндукции вследствие этого повысится, сила тока в ней уменьшаясь вызовет появление Э.Д.С. самоиндукции, которая, суммируясь с Э.Д.С. самоиндукции первичной обмотки трансформатора, вызовет увеличение напряжения на электродах свечи.

Наличие сегментного коммутатора вызвано необходимостью переключения дополнительной катушки самоиндукции в зависимости от направления Э.Д.С. самоиндукции в обмотках трансформатора, с тем чтобы происходило суммирование Э.Д.С. обеих катушек, так как в первичной обмотке трансформатора направление тока при повороте его на  $360^\circ$  меняется дважды. Помимо этого сегментный коммутатор устраняет возможность размагничивания постоянных магнитов, что имело бы место при его отсутствии, так как направление тока, создаваемого аккумуляторной батареей в первичной обмотке трансформатора, осталось бы постоянным.

Из вышеизложенного вытекает, что приключение аккумуляторной батареи должно быть согласовано с направлением тока, индуцированного в первичной обмотке трансформатора. В последние годы от данного устройства отказались, так как необходимость постороннего источника очевидна.

### Импульсатор

Применение импульсатора проще разрешает проблему пуска двигателей при зажигании от магнето, без наличия посторонних источников электрической энергии. Рассмотрим принцип действия импульсаторов.

Принцип действия импульсатора (см. рис. 38) заключается в следующем: при пуске двигателя мы вращаем коленчатый вал, в это время ротор магнето при помощи специальной защелки удерживается в положении максимального значения магнитного потока в сердечнике трансформатора. Так как между ротором и двигателем установлена связь посредством пружины,

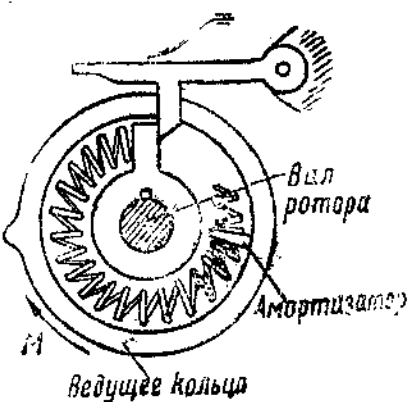


Рис. 38

то момент, приложенный к приводу магнето, будет производить заводку пружины и когда поршень достигнет верхней мертвой точки (в конце такта сжатия), удерживающий выступ освободит защелку, удерживающую ротор. Вследствие освобождения ротора энергия, запасенная в пружине, сообщит большое ускорение ротору, причем угловая скорость будет соответствовать скорости при числе оборотов двигателя 400-500 в мин.

При такой скорости ротора, даже в магнето с ярко выраженной пикообразной характеристикой  $E_1$  и при позднем прерывании, величина вторичного напряжения окажется вполне достаточной для создания мощного искрового разряда и пуск двигателя будет обеспечен. После того, как двигатель стал работать, потребность в импульсаторе отпадает и он выключается из действия автоматически.

Конструктивное оформление импульсаторов различными фирмами различно, но принцип действия остается тот же. Рассмотрение различных конструкций импульсаторов дано при описании магнето различных фирм (см. стр. 60 и 66).

### АВТОМАТЫ, РЕГУЛИРУЮЩИЕ МОМЕНТ ВОСПЛАМЕНЕНИЯ ГАЗОВОЙ СМЕСИ

В начале отдела „Зажигание“ нами было установлено, что на мощность двигателя оказывает большое влияние момент воспламенения смеси. Также отмечалось, что угол опережения момента воспламенения зависит от скорости горения смеси и числа оборотов коленчатого вала. В целях получения согласованности момента подачи воспламенителя при различном числе оборотов коленчатого вала устанавливается автомат.

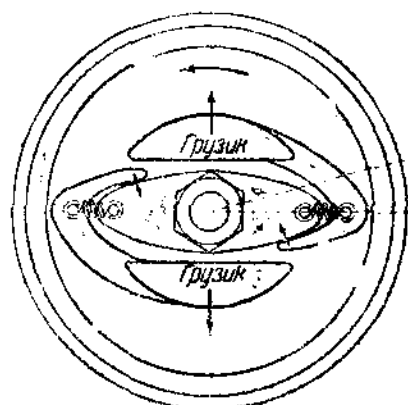


Рис. 39

В большинстве случаев устанавливается центробежный автомат между ротором магнето (и кулачковой шайбой в батарейном зажигании) и ведущим валиком двигателя.

Принцип действия автомата заключается в следующем (см. рис. 39): при увеличении числа оборотов коленчатого вала центробежная сила преодолевает упругость пружин, сдвигающих грузики и вызывает перемещение их в автомате, тем самым вызывая поворот вращающейся части прибора зажигания, причем пара сил направлена так, что вращающаяся часть прибора по-

тывается вперед по ходу вращения. Это способствует более раннему размыканию контактов прерывателя, благодаря чему достигается опережение зажигания.

При уменьшении числа оборотов коленчатого вала величина центробежной силы, приложенной к грузикам, уменьшается и они под действием пружин занимают первоначальное положение. Вращающаяся часть прибора зажигания повертыивается против хода и прерывание первичной цепи будет позднее, тем самым вызывая запаздывание зажигания.

Работа центробежного регулятора связана с числом оборотов коленчатого вала и угол опережения зажигания будет меняться, так функция числа оборотов. Необходимо отметить, что на потребную величину угла опережения оказывает большое влияние количество поступающей газовой смеси в цилиндр.

Из курса «Двигатели внутреннего сгорания» известно, что число оборотов коленчатого вала зависит не только от величины по-

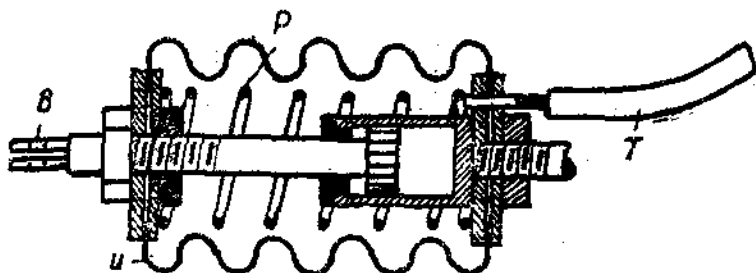


Рис. 40

дачи рабочего вещества (открытия дроссельной заслонки), но и от величины приложенного реактивного момента к валу двигателя (нагрузки). Следовательно при изменении нагрузки необходимо изменять положение дроссельной заслонки. Это в свою очередь вызывает изменение величины разряжения в смесительной камере.

Для целей автоматической перестановки момента воспламенения можно использовать зависимость между величиною разряжения и нагрузкой двигателя. В этом случае автомат зажигания, действующий разряжением, будет реагировать на все изменения нагрузки и испытание его на двигателе показало большие преимущества перед автоматом центробежного типа.

На рис. 40 представлен пневматический автомат, регулирующий момент воспламенения газовой смеси, изготавливаемый фирмой Делько-Реми. Он состоит из цилиндра  $U$ , изготовленного из прорезиненной ткани, с гофрировкой, позволяющей ему сокращаться подобно меxу гармони.

Внутри цилиндра установлена пружина  $P$ , стремящаяся растянуть его. Внутренняя полость цилиндра соединяется посредством трубки  $T$  со всасывающей трубой. Фланец, в который пропущена трубка, жестко укреплен к двигателю. Противоположный фланец соединяется посредством вилки  $B$  с подвижной

частью прибора зажигания, от перемещения которой зависит момент появления искрового разряда.

В большинстве приборов зажигания, снабженных автоматической перестановкой и работающих на принципе центробежного регулятора, вводят и ручную перестановку. Наличие ручной регулировки момента воспламенения позволяет корректировать работу автомата, что в значительной степени повышает гибкость работы двигателя и его экономичность.

### КОНСТРУКТИВНОЕ ВЫПОЛНЕНИЕ ПРИБОРА ЗАЖИГАНИЯ ОТ БОБИН И МАГНЕТО НИЗКОГО НАПРЯЖЕНИЯ

Фирмою Форд изготавливается прибор зажигания, устанавливаемый на автомобиле модель Т и тракторе Фордзон. Характерной особенностью зажигания фирмы Форд является отсут-

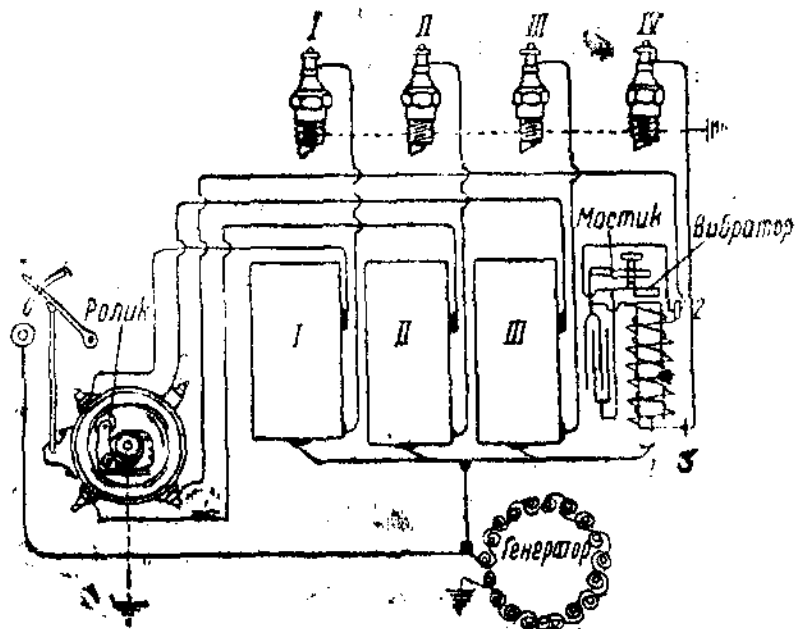


Рис. 41

ствие механического прерывателя, отсутствие токораспределительного устройства высокого напряжения и источником электрической энергии является не аккумуляторная батарея, а генератор переменного тока, называемый магнето низкого напряжения. Отсутствие двух механизмов, т. е. токораспределителя высокого напряжения и механического прерывателя, вызвало необходимость установки бобин количеством, равным числу цилиндров, и для очередности их работы введение токораспределителя низкого напряжения (коммутатор).

На рис. 41 представлена схема зажигания фирмы Форд (подобную схему зажигания имеет трактор Фордзон Путиловский).

Питание бобин электрической энергией происходит от генератора переменного тока. Устройство его следующее.

На маховике двигателя установлены шестнадцать магнитов V-образной формы. Магниты располагаются так, что одноименные полюсы двух соседних магнитов находятся вместе под одним полюсным наконечником. Благодаря такому расположению получается шестнадцать полюсов с чередованием  $N$ ,  $S$ ,  $N$ ,  $S$ ... и т. д. Против полюсных наконечников устанавливается ферромагнитный диск с шестнадцатью сердечниками, на которых помещена медная обмотка, прямоугольного сечения  $4 \times 0,2$  мм в виде ленты. Каждая катушка имеет двадцать пять витков и все катушки включаются так, чтобы мгновенные значения Э. Д. С. каждой катушки суммировались (их соединение показано на схеме).

При вращении маховика против катушек проходят полюсы постоянных магнитов и в сердечниках катушек появляется изменяющийся по величине и направлению магнитный поток. Это вызывает индуктирование Э. Д. С. в обмотках катушек, которая изменяется также по величине и направлению.

Так как величина индуктированной Э. Д. С. зависит от угловой скорости вращения магнитного потока, что видно из формулы

$$E = -\omega W \frac{df}{da} 10^{-5}$$

то, повышая число оборотов маховика, будет повышаться и Э.Д.С.

Такой генератор при 1000 об/мин. позволяет иметь эффективное значение Э. Д. С., равное 20 вольтам. Начало всех шестнадцати катушек соединяется с „массой“ и конец выведен на токоприемник, который в свою очередь соединен с началом первичных обмоток четырех бобин.

Каждая бобина имеет железный сердечник, собранный из железной проволоки, на который намотана первичная обмотка с числом витков 224. Поверх ее, тщательно изолированно, наматывается вторичная обмотка в виде двух секций, каждая по 8200 витков, последовательно включенных. Всего число витков вторичной обмотки 16 400. Секционирование обмотки сделано с целью понизить величину пробивного напряжения между двумя соседними рядами. Каждый трансформатор заключен в деревянный ящик, в который помещают также конденсатор. На ящик выведены три контакта: контакт 1 представляет начало первичной обмотки, конец же ее соединяется с мостиком. Мостик соединен через вольфрамовые контакты с вибратором, который соединен с контактом 2 и через провод с сегментом IV токораспределителя низкого напряжения. Вторичная обмотка началом соединена с контактом 2 и концом с контактом 3, который соединен проводом с центральным электродом свечи.

Если при вращении маховика ролик коммутатора накатится на сегмент IV, то контакт 2 соединится с „массой“, т. е. с началом обмотки генератора, следствием чего первичная обмотка бобины будет включена в цепь генератора и появив-

шийся ток в обмотке создаст магнитное поле в сердечнике трансформатора.

Напряженность поля сердечника окажется достаточной, чтобы вызвать притяжение вибратора. Когда вибратор притягивается, вольфрамовые контакты разомкнутся и прервут первичную цепь. В это время во вторичной обмотке индуцируется Э.Д.С. и появляется искровой разряд на электродах свечи. Вследствие прерывания первичной цепи магнитный поток в сердечнике уменьшится и вибратор под действием упругости пружины замкнет контакты. Вновь появится ток и вновь цепь разомкнется и т. д., пока ролик коммутатора катится по сегменту. При каждом разрыве контактов появляется искровой разряд в свече. После работы бобины IV ролик включит в работу бобину III, затем бобину I и бобину II. Порядок работы цилиндров 1, 2, 4, 3 и в этой же последовательности работают бобины.

Изменяя положение коммутатора, его ролик будет накатываться на сегменты раньше или позже, а следовательно и появление искры на электродах свечи будет в этой же последовательности. Таким образом мы осуществляем регулирование момента воспламенения газовой смеси.

Большим недостатком этой системы зажигания является аксиальное расположение междужелезного пространства (между полюсными наконечниками и сердечниками катушек). При износе торцевых наливавок в подшипнике, расположенным около маховика, при пуске двигателя маховик с магнитами удаляется от сердечника катушек, вследствие давления на заводную ручку в радиальном и осевом направлении.

Величина магнитного потока в сердечнике при увеличении междужелезного пространства уменьшается, а так как и угловая скорость поля незначительна, то пуск двигателя становится крайне затруднительным, а иногда и невозможным. К большим недостаткам следует отнести и крайне затруднительный доступ к частям генератора, так как в этом случае необходимо разъединить двигатель от коробки передач (на автомобиле) и отделить двигатель от заднего моста (на тракторе).

## КОНСТРУКТИВНОЕ ВЫПОЛНЕНИЕ ПРИБОРОВ БАТАРЕЙНОГО ЗАЖИГАНИЯ

### Система зажигания фирмы Делько-Реми

На рис. 42 представлена схема зажигания фирмы Делько-Реми, устанавливаемая на тракторы Клетрак-40. В этой установке бобина питается от аккумуляторной батареи с напряжением 12 вольт.

При замкнутом выключателе Вк и замкнутых контактах прерывателя, ток поступает от + зажима аккумуляторной батареи по «массе», в наковальню прерывателя, через вольфрамовые контакты, в молоточек, по пружине в конец первичной обмотки, по обмотке, через вариатор, выключатель зажигания, амперметр и к — зажиму аккумуляторной батареи. Если вращать коленчатый вал, то шестигранная кулачковая шайба своим выступом

разомкнет контакты прерывателя и экстраток размыкания разрядит конденсатор С. В это время индуктированная Э. Д. С. во вторичной цепи создаст достаточное напряжение и произойдет искровой разряд в искровом промежутке токораспределителя и на электродах свечи.

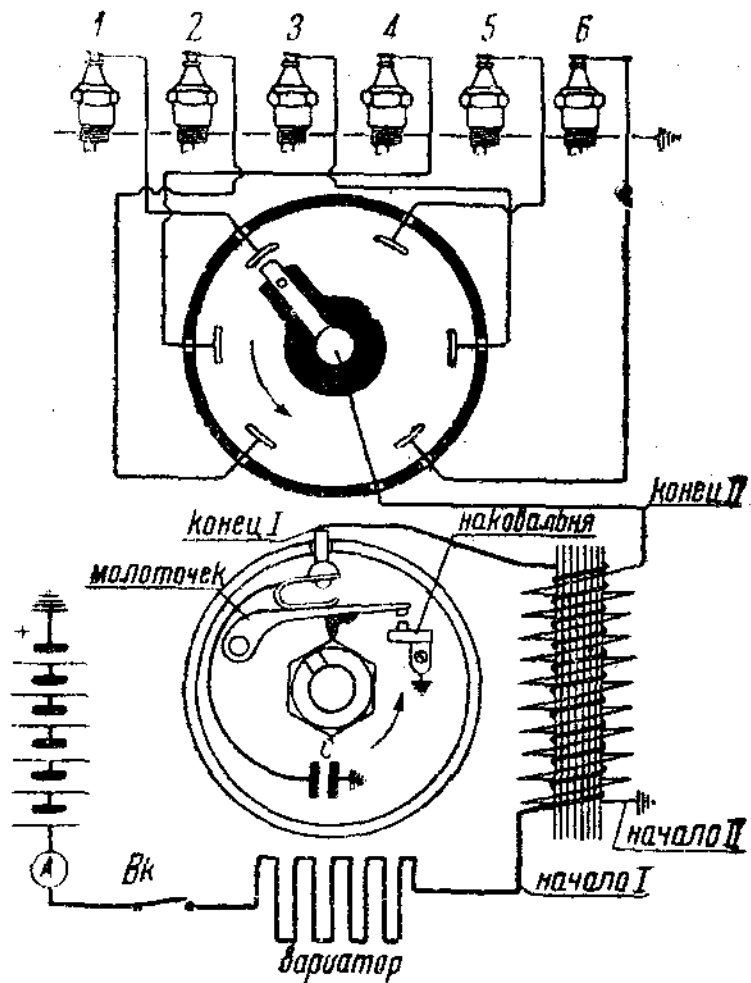


Рис. 47

В зависимости от порядка работы цилиндров производят соответствующее включение проводов к токораспределителю. На схеме изображен порядок работы 1, 4, 2, 6, 3, 5, но в шестицилиндровых двигателях можно встретить и другой порядок работы, а именно 1, 5, 3, 6, 2, 4. При этом порядке необходимо произвести соответствующее переключение проводов, соединяющих свечи с токораспределителем.

Так как в системе зажигания представлен прерыватель одинарный, то для обслуживания шести цилиндров кулачковая шайба снабжена шестью гранями и вращается со скоростью газораспределительного вала. Ротор токораспределителя имеет ту же угловую скорость, что и шестигранник, благодаря чему его непосредственно жестко соединяют с шестигранником.

Для того чтобы ротор не мог сместиться относительно шестигранника, в нем имеется фиксирующая шпонка. Фирма Делько-Реми устанавливает дистрибутор (т. е. прерыватель и распределитель) или на отдельном постаменте для того, чтобы без всяких переделок в двигателе можно было заменить магнето батарейным зажиганием и наоборот, иногда укрепляя к этому же постаменту и бобину. Или же дистрибутор устанавливается на заднюю крышку динамомашины, причем передко и бобина крепится к динамомашине.

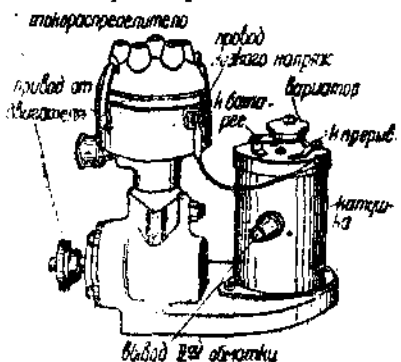


Рис. 43

На рис. 43 представлен дистрибутор с бобиной. Дистрибутор снабжен центробежным автоматом опережения зажигания, который изображен на рис. 39. Угол  $\alpha = 18^\circ$ , так как коленчатый вал вращается в два раза быстрее, то максимальное опережение, получаемое валом, равно  $36^\circ$ .

Система батарейного зажигания на автомобилях Форд модель А и AA незначительно отличается от вышеописанной, а именно:

отсутствует автоматическое опережение и вариатор и аккумуляторная батарея имеет напряжение 6 вольт. Конструкция бобины автомобиля Форд А отличается от бобины Делько Реми расположением обмоток, так как вначале на сердечник намотана вторичная обмотка и поверх ее первичная. Обмотки включены обе последовательно.

## КОНСТРУКТИВНОЕ ВЫПОЛНЕНИЕ МАГНЕТО ВЫСОКОГО НАПРЯЖЕНИЯ РАЗЛИЧНЫМИ ФИРМАМИ

### Магнето Электрозвавода (Сцинтилла)

В связи с тем, что данный тип магнето изготавливается в СССР и получил большое распространение, мы особо но подробно остановимся на его конструкции. Магнето имеет неподвижный трансформатор и вращающийся магнит.

На рис. 44 хорошо видно, что магнит имеет колоколообразную форму, причем число полюсов такого магнита бывает различно от 2 до 8, в зависимости от числа цилиндров, обслуживаемых магнето.

Независимо от числа полюсов, каждый из них слабится полюсным наконечником, собранным из листового железа с целью

уменьшить величину токов Фуко. Полюсные наконечники имеют форму, при которой получается достаточное рассеивание магнитного потока, придающее тупоконечный вид кривой изменения Э.Д.С. в первичной обмотке. Это позволяет изменять угол опережения зажигания в пределах от  $0^\circ$  до  $30^\circ$  (для магнитов с двумя полюсами) от  $0^\circ$  до  $25^\circ$  (для магнитов с четырьмя полюсами) и от  $0^\circ$  до  $10^\circ$  (для магнитов с восьмью полюсами).

В тех случаях, когда требуется автоматическая перестановка момента зажигания (см. рис. 45), внутрь магнита устанавлива-

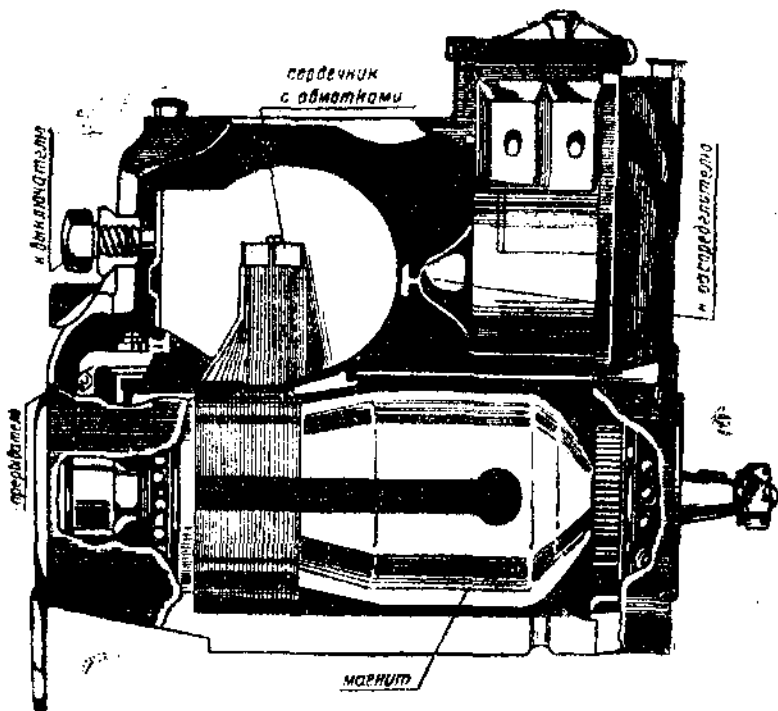


Рис. 44

ются два грузика, которые под действием центробежной силы удаляются от центра магнита.

Автоматы опережения, устанавливаемые на магнето фирмой Синтилла, встречаются двух типов: первый тип (см. рис. 45) имеет следующее устройство: магнит *A* свободно может вращаться на валике *b*. Для осуществления его привода в магните установлены две шпильки *9*, которые упираются в толкатели *8*, расположенные внутри пружин. Пружины в свою очередь имеют упор в выступы диска *D*, жестко укрепленного к валику *b*. Валик *b* имеет фрезерованные зубья *3*, помощью которых он связан с грузиками *4*.

Вращая приводной валик *b*, вращающийся момент передается от него через выступы диска *D* шпилькам *9* и магнит будет

вращаться с той же угловой скоростью, что и валик 5. Когда число оборотов магнита повысится, грузики 4 будут удаляться от центра, стремясь повернуть валик 5 в сторону, противоположную вращению, т. е. против часовой стрелки, а так как повернуть валик 5 невозможно, вследствие приложенного крутящего момента от двигателя, то произойдет перемещение магнита относительно диска D в сторону направления приложенного момента, и так как магнит переместился вперед относительно валика 5, то кулачковая шайба 10, жестко связанная с магнитом, также переместится вперед на ту же величину, тем самым произведя раньше размыкание контактов прерывателя, вызывая опережение момента зажигания.

При перемещении магнита относительно диска D под действием силы, приложенной толкателем 8, пружины сократились

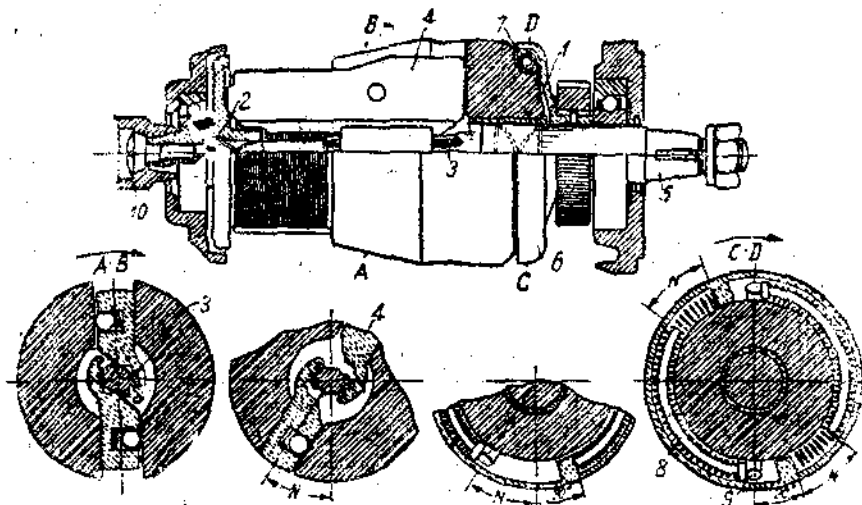


Рис. 45

и если понизить число оборотов магнита, то центробежная сила грузиков уменьшится и пружины повернут магнит в сторону, противоположную приложенному моменту. Это положение магнита будет соответствовать меньшему углу опережения зажигания.

Данное устройство автоматического регулирования момента зажигания позволяет пользоваться остроконечной кривой Э. Д. С. в первичной обмотке, так как положение магнита относительно сердечника трансформатора в момент размыкания контактов остается постоянным, т. е. расстояние  $e$  (см. рис. 19) остается неизменным.

На рис. 45 в грузиках видны шарики с пружинками. Цель установки их — устранить возможность свободной игры грузиков в магните, удерживая всегда плотно прижатым грузик к магниту. Это преследует две цели: 1) создать бесшумность работы автомата

2) предотвратить возможность размагничивания вследствие даров грузика по магниту.

Второй тип автоматического опережения момента воспламенения представлен на рис. 46, причем внешне он напоминает первый тип, но действие его и устройство значительно отличаются от вышерассмотренного типа. В отличие от предыдущего типа валик 1 жестко соединен с магнитом и кулачковая шайба К не имеет жесткой связи с магнитом. Она установлена на валике, связанном шарнирно с грузиками G, которые под действием пружин Р прижимаются к центру магнита. При увеличении числа оборотов центробежная сила стремится удалить грузики от центра и, преодолевая упругость пружин Р, через посред-

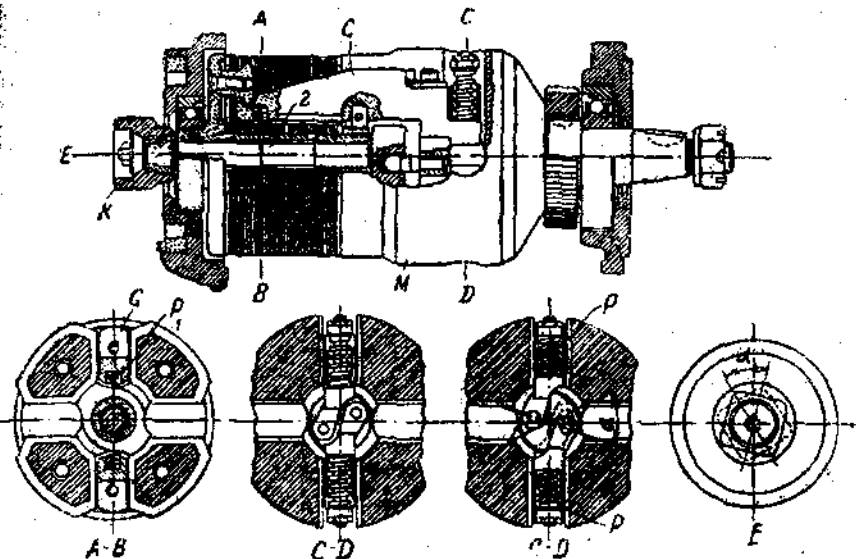


Рис. 46

ство шарниров поворачивает валик 2. Валик 2 поворачивается относительно магнита в сторону его вращения, а так как на нем укреплена кулачковая шайба, то и она поворачивается на этот же угол. Это вызывает более раннее размыкание контактов прерывателя, чем достигается опережение момента воспламенения.

Из сказанного видно, что кулачковая шайба меняет положение относительно магнита, а следовательно его положение относительно сердечника трансформатора в момент размыкания контактов меняется и величина промежутка  $e$  (см. рис. 19) не остается постоянной. Это вызывает необходимость иметь рассеиватели с целью получить тупообразную кривую изменения Э.Д.С. в первичной обмотке. В противном случае пуск двигателя будет затруднителен. Наличие рассеивателей видно из рис. 46. В данном автомате грузики имеют также пружинки Р<sub>1</sub>, препятствующие созданию игры, вызывающей шум в работе автомата.

Как видно из рисунка, оба типа автоматов не вызывают увеличение габаритов магнето. Давая оценку автоматам обоих типов, следует отметить преимущество первого перед вторым, так как угол перестановки опережения может быть очень большим, не вызывая уменьшения вторичного напряжения. Перейдем к рассмотрению трансформаторов.

параллель работы 1, 2, 4, 5

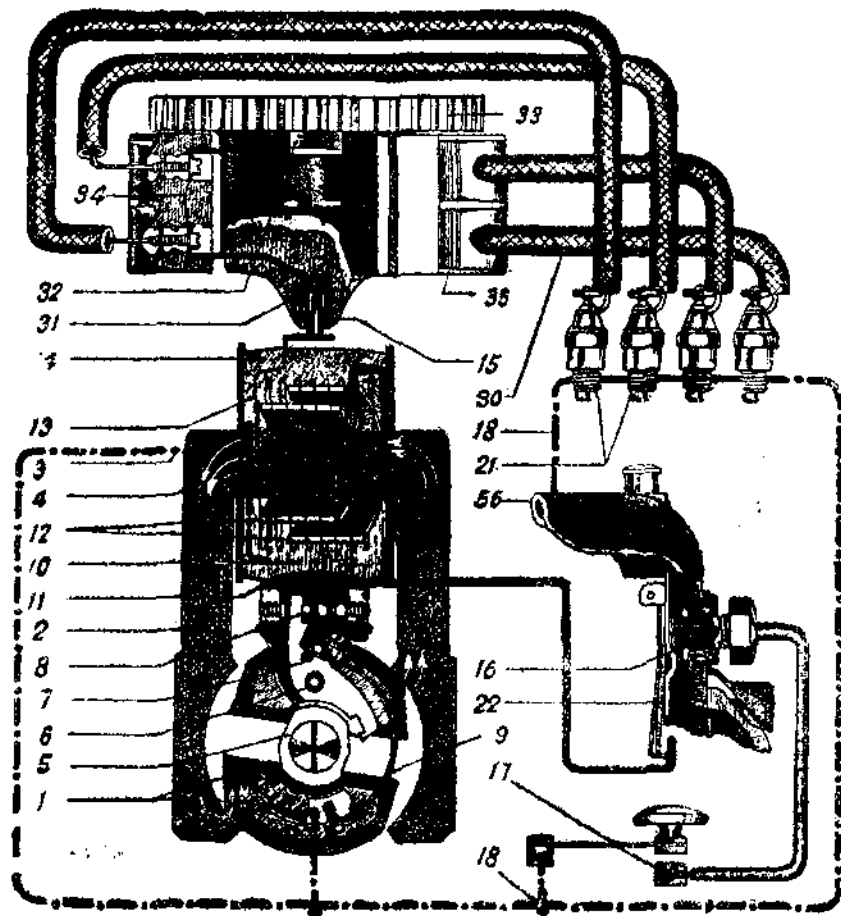


Рис. 47

Сердечник трансформатора 3 собран из листового железа с целью уменьшить токи Фуко. Он покрыт тонким слоем изоляции, поверх которой намотана первичная обмотка (см. рис. 47). Первичная обмотка выполнена медной проволокой с эмалевой изоляцией диаметром  $d_1 = 1$  мм и числом витков  $155 \pm 17$ . Начало первичной обмотки 4 соединено с „массой“ и конец ее 10 соединен с наковальней неподвижного прерывателя. Поверх первичной обмотки расположен конденсатор, который в виде лент

(двух станиловых и двух из парафинированной бумаги) намотан на первичную обмотку. Емкость конденсатора  $0,135 \pm 0,152 \text{ mF}$ . После намотки конденсатора 12 наматывается вторичная обмотка из медной проволоки с эмалевой изоляцией диаметром  $d_2 = 0,07 \text{ mm}$  с числом витков  $11000 \pm 900$ , расположенных в 30 рядах.

порядок работы 1,7,3,5,2,8,4,6

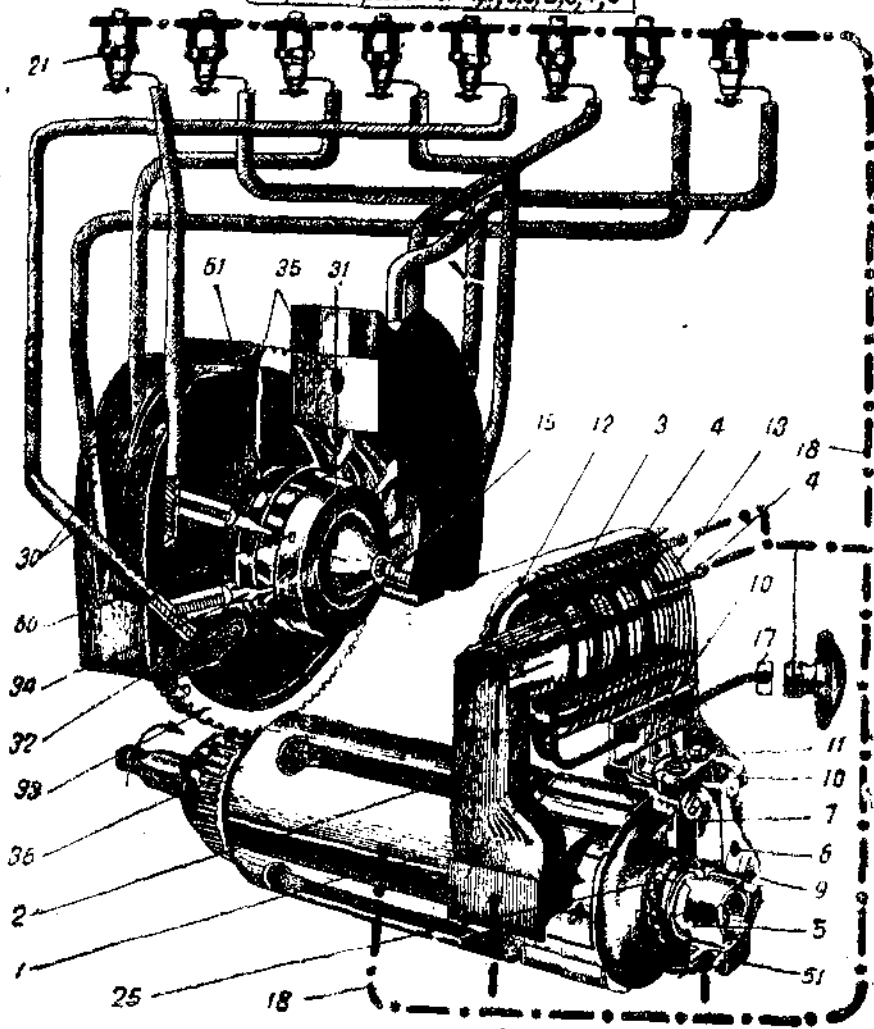


Рис. 48

Начало вторичной обмотки соединено с концом первичной и направление намотки, как в первичной, так и во вторичной одно и то же (связь автотрансформаторная), конец вторичной 18 соединяется через скользящий контакт 15 с ротором искрового токораспределителя 31, причем на рис. 48 на роторе токораспределителя имеется кольцо 61, подающее ток высокого напря-

жения от пускового магнето (это приспособление используют в авиационных двигателях).

Ротор токораспределителя получает привод от магнита через посредство зубчатой пары шестерен 33 и 36. Скользящий контакт подводит ток высокого напряжения к двум боркам 32, от них на борны секторов токораспределителя и по проводам в свечи. В случае необходимости выключить зажигание пользуются контактом 17, при замыкании которого с „массой“ прекращается прерывание первичной цепи, хотя прерыватель продолжает размыкаться.

Электрозвад и фирма Сциентилла выпускают магнето для тракторов, снабженные импульсаторами.

Устройство импульсатора представлено на рис. 49. Импульсатор состоит из неподвижно укрепленного кольца 3, в котором имеются выступы 2. Внутри этого кольца вращается флянец 7,

на котором укреплены две защелки 1—1. Флянец 7 жестко связан с валом магнита. Ведущее кольцо 4, получающее вращение от двигателя, снабжено двумя выступами 5—5 и посредством пружины, укрепленной в точке A к ведущему кольцу 4 связано с флянцем 7 в точке B. Если вращать ведущее кольцо 4,

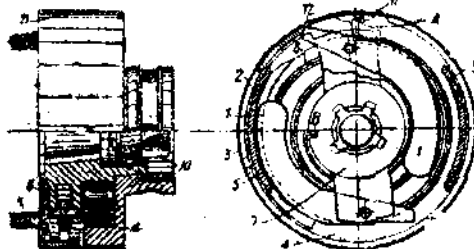


Рис. 49

то вследствие собственного веса защелка 1 приблизится к неподвижному кольцу 3 и получит упор в выступ 2.

Дальнейшее вращение ведущего кольца будет заводить пружину и когда выступ 5 выведет защелку 1 из зацепления, флянец 7 освободится и быстрым движением повернет магнит. Если двигатель запустился, то число оборотов ведущего кольца повысится и примерно при  $100 + 150$  об/мин. центробежная сила прижмет защелки к выступам 5 и импульсатор будет работать, как обыкновенная промежуточная муфта.

### Магнето фирмы Сциентилда „Вертекс“

В последние годы распространение получили приборы батарейного зажигания сначала в Америке, а затем и в Европе. При изучении батарейного зажигания подробно был рассмотрен вопрос о восстановлении силы тока, которое становится более затруднительным при большом числе размыканий. При рассмотрении магнето мы установили, что сила тока в первичной обмотке его остается почти неизменной при среднем и большом числе оборотов. Это дает обеспеченность в получении искрового разряда, способного воспламенить рабочую смесь.

Фирма Сциентилла выпустила магнето называемое „Вертекс“. На рис. 25 представлена принципиальная схема магнитной цепи,

моток трансформатора и прерывателя. Из принципиальной схемы видно, что все полюсы одновременно участвуют в создании магнитного потока в сердечнике трансформатора. Это неизвестно позволяет иметь большое значение индуктированной Э.Д.С. в первичной обмотке и следовательно Э.Д.С. во вторичной обмотки.

Нам известно, что число изменений магнитного потока прямо пропорционально числу пар полюсов. Следовательно при меньшем числе оборотов многощипкового ротора мы сможем иметь ту же величину индуктированной Э.Д.С., что и при большем числе оборотов ротора с малым числом полюсов. Уменьшение числа оборотов ротора уменьшает механические напряжения в металле магнита, а следовательно, оставляя прежние значения допустимых механических напряжений, можно обслуживать двигатель с большим числом оборотов коленчатого вала. Удачная конструкция магнитной цепи в магнето „Вертекс“ позволила значительно уменьшить габариты магнето, а также на уменьшение габаритов повлияло и отсутствие необходимости редукции числа оборотов ротора корокраспределителя.

В магнето „Вертекс“ (см. рис. 50) конструкция прерывателя и токораспределителя ничем не отличается от конструкции деталей батарейного зажигания и так как число полюсов ротора равно числу цилиндров двигателя, то его скорость равна скорости газораспределительного вала. Это позволяет устанавливать магнето „Вертекс“ без всяких переделок на место дистрибутора батарейного зажигания. Процесс получения Э.Д.С. в тока высокого напряжения нами был ранее подробно рассмотрен и мы вновь на этом останавливаться не будем.

На рис. 50 цифрами обозначены следующие детали: шестиполюсный ротор 1 с полюсными наконечниками 30, собранными из листового трансформаторного железа. Части магнитной цепи трансформатора 2, 3, 4, 5, 6. Конец первичной обмотки

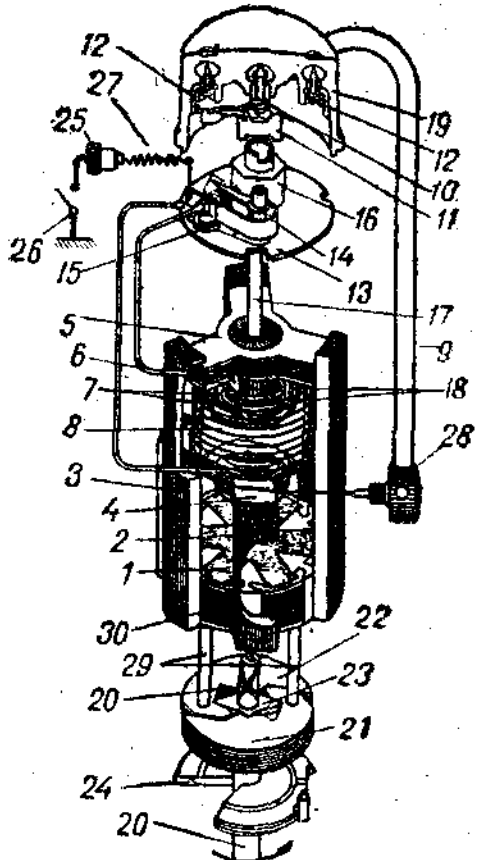


Рис. 50

7 соединен с молоточком прерывателя 14. Начало первичной обмотки соединено с „массой“ и через нее с наковальней 15 (она не изолирована от „массы“), молоточек размыкает шестигранник 16, на который одевается ротор токораспределителя 11. К концу первичной обмотки присоединен конденсатор, который также расположен над первичной обмоткой и к этой же точке присоединено начало вторичной обмотки. Конец ее соединен с токоприемником 28 и через посредство провода 9 в скользящий контакт 10 с ротором токораспределителя. В этом магнето токораспределитель искрового типа. В случае необходимости выключить зажигание замыкают контакт 25 на „массу“ 26. Замыкание на „массу“ первичной обмотки производится через дополнительное сопротивление 27, цель которого предотвратить размагничивание магнитов, что вызывается реактивным полем трансформатора при отсутствии размыкания первичной обмотки.

Это наблюдается и при нормальных условиях работы прибора зажигания, но в слабой форме и компенсируется магнитным возвратом.

Магнето „Вертекс“ снабжено центробежной автоматической и ручной перестановкой момента воспламенения. Особенностью автомата является отсутствие пружин, усталость металла которых изменяет характеристику центробежного регулятора. Ранее мы указывали, что пружины необходимы для установки прибора зажигания в положении позднего воспламенения смеси, а также для возврата грузиков в первоначальное положение, когда действие на них центробежной силы уменьшилось.

В магнето „Вертекс“ это достигается за счет реактивного момента, создаваемого полем трансформатора, которое препятствует вращению магнитов.

На рис. 50 показано направление приложенного момента со стороны двигателя. В этом случае кулачки 23, укрепленные к валу 20, будут стремиться прижать грузики 21, 22 к центру.

При увеличении числа оборотов вала 20 под действием центробежной силы грузики будут расходиться и, имея упор в кулачки 23, будут перемещать в сторону приложенного момента шпильки 29. Это вызовет смещение ротора с кулачковой шайбой 16 относительно коленчатого вала и контакты прерывателя будут раньше размыкать первичную цепь, тем самым вызывая опережение момента воспламенения.

При уменьшении числа оборотов коленчатого вала величина центробежной силы, действующей на грузики, уменьшится и они будут приближаться к центру, позволяя ротору возвратиться в первоначальное положение. Грузики собраны из отдельных пластинок и каждая из них имеет различную конфигурацию, благодаря чему по мере увеличения числа оборотов ротора некоторые пластины получают упор и их масса перестает воздействовать на кулачки 23. Этим достигается возможность получения любой характеристики изменения угла опережения в зависимости от требований, предъявляемых двигателями.

ручная перестановка зажигания в магнето „Вертекс“ аналогична с перестановкой в приборах батарейного зажигания. На рис. 51 дан общий вид разобранного и собранного магнето „Вертекс“. Магнето „Вертекс“ изготавливается для четырех-, шести-, восьми- и двенадцатицилиндровых двигателей.

### Магнето фирм Дикси и Сплитдорф

Оба типа магнето имеют невращающийся трансформатор и неподвижные магниты. На рис. 52А представлена схема соединения обмоток и магнитная цепь магнето „Дикси“. В этом магнето магнитная цепь довольно сложна и изобразить в одной проекции невозможно. Для того, чтобы представить всю магнитную цепь, на рис. 52Б представлен разрез по линии  $a-b$  в горизонтальной и вертикальной плоскостях.

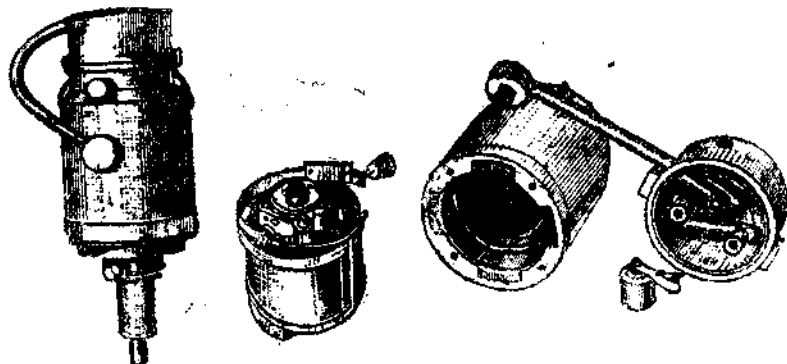


Рис. 51

Принцип создания в сердечнике трансформатора переменного тока величине и направлению магнитного потока заключается в следующем: два магнита  $M, M$  расположены неподвижно вдоль оси вращения ротора. Ротор представляет два Г-образных полюсных наконечника  $PN, PN$ , которые связаны магнитно с полюсами: один с  $N$  и другой с  $S$ . Благодаря такому устройству независимо от положения Г-образного полюсного наконечника (относительно оси вращения) один будет всегда иметь полярность  $N$  и другой  $S$ .

Между собою Г-образные наконечники скреплены механически, посредством латунной прокладки и латунной заклепки. Применение диамагнитного металла, в данном случае латуни, вызвано необходимостью предупредить замыкание магнитной цепи полюсов, что имело бы место в случае применения ферро-магнитного металла.

При изменении положения полюсных наконечников относительно сердечника трансформатора в нем будет изменяться величина магнитного потока и в первичной обмотке трансформатора появится индуцированная Э. Д. С. Весь дальнейший процесс ни чем не отличается от процесса, рассмотренного ранее — мы описания его здесь не даем.

Необходимо отметить, что форма полюсных наконечников такова, что магнитное сопротивление цепи резко изменяется во времени и кривая изменения Э. Д. С. в первичной обмотке имеет пикообразный характер. Так как при таком характере изменения Э. Д. С. становится затруднительным получить мощную искру при положении позднего зажигания, то в данном типе магнето одновременно с поворотом прерывателя повертывается на эту же величину и трансформатор (они имеют жесткую связь). Такое устройство позволяет иметь величину  $e$ , т. е. пространство между магнитом и сердечником (см. рис. 19) неизменной, а следовательно имеется возможность размыкать первичную обмотку, когда сила тока в ней максимальна.

Большим недостатком в магнето с неподвижным трансформатором и неподвижным магнитом является наличие четырех междужелезных пространств (два в радиальном и два в аксиальном направлениях). В связи с этим хотя размеры магнитов и больше, чем в предыдущем магнето, значение  $\Phi_{\text{тек}}$  в сердечнике трансформатора меньше и напряжение на электродах

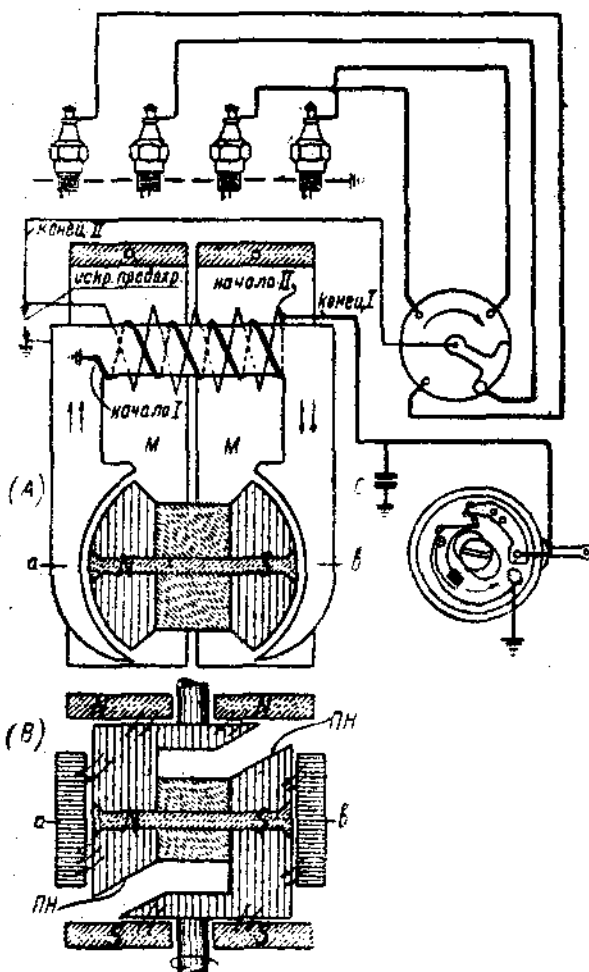


Рис. 52

свечи значительно уменьшается при извлечении колпачка из изолятора свечи, что ухудшает работу прибора зажигания.

Токораспределитель выполнен со скользящей щеткой и требует довольно частой чистки, так как образующаяся угольная пыль на роторе токораспределителя способствует разветвлению тока во все свечи и ослабляет искровой разряд в свече, работающей в данный момент.

## Магнето фирмы Сплитдорф модель аэро

Эта фирма выпускала магнето с вращающимися обмотками после слияния с фирмой Дикси приступила к выпуску магнето с невращающимся трансформатором и неподвижным магнитом. На рис. 23 представлена магнитная цепь такого магнето, единственным отличием от магнето фирмы Дикси является наличие на роторе не Г-образных полюсных наконечников, а U-образных, а так же сердечник трансформатора укорочен, какой ротор имеет четыре вращающихся полюса: два  $N$  и два  $S$ , что позволяет иметь четыре изменения поля, а следовательно дает возможность получить четыре искры при повороте ротора на  $360^\circ$ . Данный тип магнето выпускался для восьмицилиндровых двигателей и имел передаточное число между ротором и токораспределителем 1:2.

К нам в СССР это магнето было ввезено с тракторами „Интернационал“ 10—20 и 15—30 HP, которые снабжены четырехцилиндровыми четырехтактными двигателями. В связи с установкой магнето на четырехцилиндровые двигатели, у которых передаточное число между коленчатым валом и валиком, дающим привод ротору магнето, равно 1:1; два максимума изменения поля использовать не приходится. В связи с этим четырехкулачковая шайба прерывателя была заменена двухкулачковой и восьмиконтактная крышка токораспределителя заменена четырехконтактной.

Такая переделка магнето (сделанной фирмой „Сплитдорф“) создала неблагоприятные условия для работы контактов прерывателя, так как оба размыкания первичной обмотки, происходящие при одном обороте ротора, происходят при одном направлении тока в обмотке. Это способствует быстрому пересению платино-иридевого сплава с одного контакта на другой (имеем это же в батарейном зажигании) и прерыватель довольно быстро отказывается работать. Замена материала контактов вольфрамом нежелательна, так как его окислы плохо проводят ток и приходится чаще их чистить.

Единственным преимуществом применения четырехполюсного ротора в данном случае заключается в том, что при механической угловой скорости его, равной скорости коленчатого вала, число изменений магнитного поля в трансформаторе в два раза больше и значение индуцированной Э. Д. С. в первичной и вторичной обмотках будет больше. Это особенно ценно при пуске двигателя и его работе при малом числе оборотов коленчатого вала.

Данные трансформатора магнето фирмы „Сплитдорф“ модель аэро следующие:

Первичная обмотка изготовлена из медной проволоки с эмалевой изоляцией:

Диаметр ее  $d_1 = 0,7$  мм,  
Число витков  $W_1 = 160$ ,  
Сопротивление  $r_1 = 0,55$  ома,  
Длина  $l_1 = 11,4$  метра.

Вторичная обмотка изготовлена из медной проволоки с эмалевой изоляцией.

Диаметр  $d_2 = 0.09$  мм,  
Число витков  $W_2 = 10300$ ,  
Сопротивление  $r_2 = 2100$  ом,  
Длина  $l_2 = 1182$  метра.

Данный тип магнето так же имеет пикообразную характеристику изменения Э. Д. С. в первичной обмотке и прерыватель перемещается вместе с трансформатором при изменении угла опережения.

В целях облегчения пуска тракторных двигателей магнето фирмы Салитдорф снабжается импульсатором.

На рис. 53а представлена ведомая часть импульсатора „Салитдорф“, жестко укрепляемая к валу ротора магнето. На рисунке видны две пружины: одна из проволоки малого сечения, передающая импульс ротору, и другая из проволоки большего сечения, являющаяся амортизатором, смягчающим удар, когда

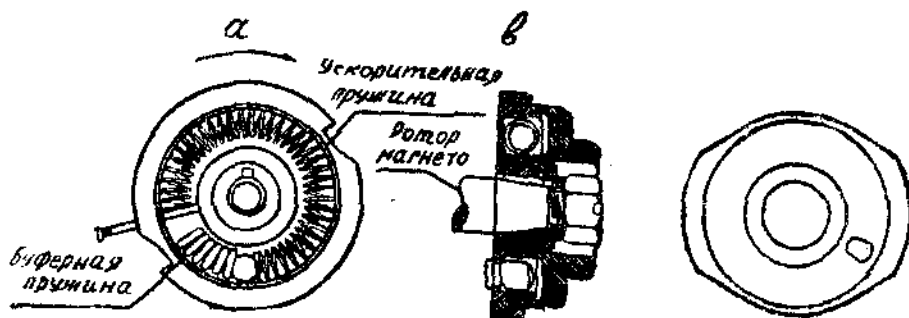


Рис. 53

ведущая часть догоняет ведомую. На ведомой части видны два выреза для защелки, которая укрепляется к корпусу магнето и служит для удержания ротора в положении, соответствующем максимальному магнитному потоку в сердечнике трансформатора.

На рис. 53с представлена ведущая часть импульсатора, получающая привод от двигателя. На ней имеются два выступа, поднимающие защелку, когда пружина будет заведена полностью и поршень достигнет верхней мертвой точки в конце такта сжатия. На рис. 53в представлен разрез импульсатора.

### Конструктивное выполнение магнето с вращающимся трансформатором и неподвижным магнитом

К этой категории можно отнести магнето, изготавливаемые следующими фирмами: Эйземан, „Интернационал“, Роберт-Бош Америкэн-Бош, Марелли, S. A. V., B. T. H. (Бритиш Томсон Гаустон) и другими.

Все магнето вышеуказанных фирм настолько незначительно отличаются по конструкции, что достаточно рассмотреть одно из них, а именно магнето „Эйземанн“.

На рис. 54 представлен продольный разрез по вертикали магнето „Эйземанн“. Сердечник трансформатора *ст* собран из листового железа с целью уменьшить токи Фуко. Боковые его части *a*, *a*, *a*, *a* изготовлены из мягкого железа или из серого чугуна.

На сердечнике расположена первичная обмотка *I* из медной проволоки с эмалевой изоляцией:

Диаметр ее  $d_1 = 0,9$  мм,  
Число витков  $W_1 = 280$ ,  
Длина  $l_1 = 17,5$  метра,  
Сопротивление  $r_1 = 0,6$  ом.

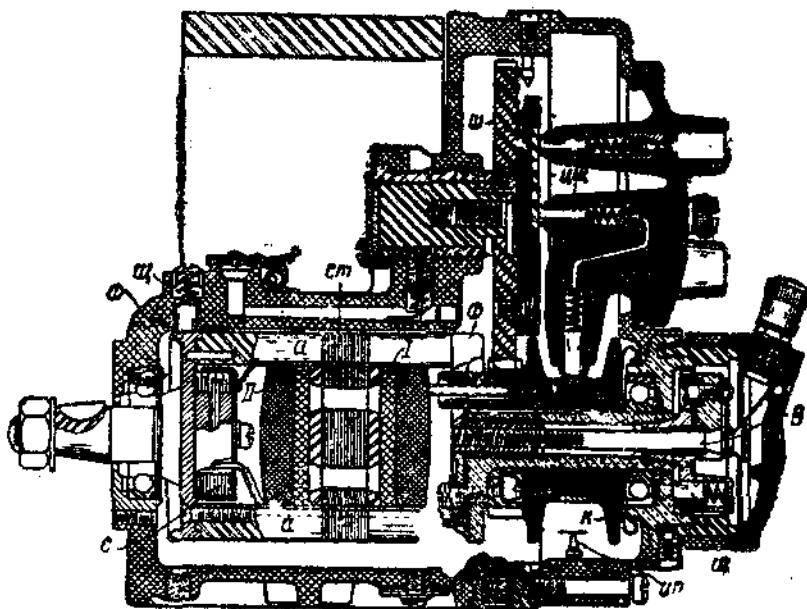


Рис. 54

Поверх ее расположена вторичная обмотка также из медной проволоки с эмалевой изоляцией

Диаметр ее  $d_2 = 0,07$  мм,  
Число витков  $W_2 = 11\,150$ ,  
Длина  $l_2 = 1\,240$  метров,  
Сопротивление  $r_2 = 3\,750$  ом,

Намотанный и тщательно покрытый изоляцией трансформатор укрепляется к двум бронзовым фланцам *ФФ*. По одному из них (левому) скользит щетка *W*, соединяющая неподвижную и подвижную „массы“. Обоймы шарикоподшипников изолированы. К левому фланцу укреплен конденсатор *C*, у которого одна из групп пластин соединена с „массой“ якоря. В этом

магнето начало первичной обмотки присоединено к „массе“ якоря через металлический корпус конденсатора. Конец первичной обмотки выведен наружу в виде двух проводников, один присоединен ко второй группе пластин конденсатора и второй проводник присоединен к гайке, изолированной от „массы“, в которую ввинчивается центральный винт прерывателя *B*. Винт несет две функции: 1) укрепляет прерыватель к якорю и 2) является токопроводником, соединяющим конец первой обмотки с наковальней прерывателя, которая тоже изолирована от „массы“ и может соединиться с ней через контакты прерывателя, молоточек и пружину. В корпусе прерывателя также помещается щетка *Щ*, соединяющая подвижную и неподвижную „массы“ и работающая параллельно с первой щеткой. Токораспределитель имеет угольные щетки количеством, равным числу цилиндров плюс одна.

Центральная щетка *ЦЩ* получает ток высокого напряжения от щетки, скользящей по контактному кольцу коллектора *K* и передает металлической пластинке, укрепленной изолированно к шестерне *Ш*, изготовленной из ткани с пропиткой бакелитом. В зависимости от положения пластинки токораспределителя, она замыкает тот или иной уголок, соединенный проводом с центральным электродом свечи.

В целях предохранения изоляции вторичной обмотки от пробоя при перенапряжении установлен искровой предохранитель *ИП*. Магнето фирмы „Интернационал“ конструктивно ничем не отличается от магнето Эйземан и имеет следующие данные трансформатора:

Первичная обмотка выполнена медной проволокой с эмалевой изоляцией:

Диаметр ее  $d_1 = 0,7$  мм,  
Число витков  $W_1 = 200$ ,  
Длина  $l_1 = 15$  метров,  
Сопротивление  $r_1 = 0,85$  ома.

Вторичная обмотка частично выполнена из медной проволоки и частично из никелевина:

Медная проволока с эмалевой изоляцией:

Диаметр ее  $d_{2m} = 0,07$  мм.

Никелевиновая проволока с эмалевой изоляцией:

Диаметр ее  $d_n = 0,08$  мм.

Суммарное число витков во вторичной обмотке  $W_2 = 10\,880$ :

Длина ее  $l_2 = 1\,200$  метров,  
Сопротивление ее  $r_2 = 4\,200$  ом.

Магнето фирмы Р-Бош конструктивно незначительно отличается от вышерассмотренного. Данные трансформатора следующие:

Проволока с эмалевой изоляцией (медная):

Диаметр ее  $d_1 = 0,77$  мм,  
Число витков  $W_1 = 235$ ,  
Длина  $l_1 = 20$  метров,  
Сопротивление  $r_1 = 0,7$  ом.

Вторичная обмотка изготовлена из медной проволоки с эмалевой изоляцией:

Диаметр ее  $d_2 = 0,08$  мм.  
Число витков  $W_2 = 10\,600$ .  
Длина  $l_2 = 1060$  метров.  
Сопротивление  $r_2 = 2\,750$  ом.

Применение никелевой проволоки для вторичной обмотки преследует цель ускорить исчезание дугового разряда на электродах свечи, что особенно желательно на быстроходных двигателях.

### СРАВНИТЕЛЬНАЯ ОЦЕНКА ПРИБОРОВ ЗАЖИГАНИЯ

Рассмотрение процессов получения вторичного напряжения в батарейном зажигании и в магнето позволяет сделать следующий вывод: батарейное зажигание имеет преимущество над зажиганием от магнето при пуске двигателя и его работе при малых оборотах коленчатого вала.

Пуск двигателя значительно легче при батарейном зажигании чем при магнето. При работе двигателя с малым числом оборотов, что имеет место при эксплоатации автомашин в городе, батарейное зажигание обеспечивает бесперебойность работы двигателя, вследствие очистки свечи от нагара, благодаря повышенной мощности вторичной обмотки. Приборы батарейного зажигания значительно дешевле магнето.

Наличие же аккумуляторной батареи на современных автомашинах обязательно и в случае питания бобины достаточно повысить емкость аккумуляторной батареи на 3-5 ампер-часов.

При батарейном зажигании изменение угла опережения момента воспламенения не вызывает изменения величины вторичного напряжения, но этот недостаток на современном магнето так же изжит. Зависимость батарейного зажигания от состояния аккумуляторной батареи и проводки уменьшает надежность работы по сравнению с магнето, а также работа батарейного зажигания удовлетворительна в пределах увеличения числа оборотов максимум  $3\,000 - 3\,500$  об/мин., в то время как магнето исправно работает в пределах до 8 000 об/мин. К большому недостатку батарейного зажигания следует отнести невозможность применения платино-иридиевых контактов, вследствие одного направления тока в момент размыкания, что вынуждает применять вольфрам, контакты из которого требуют большего ухода.

### ДВУХЬИСКОВОЕ МАГНЕТО

Двухъискровым магнето называется такое магнето, у которого при одном прерывании первичной цепи получаются одновременно две искры. Это достигается тем, что начало вторичной обмотки выведено на один коллектор и конец вторичной обмотки выведен на второй коллектор. Каждый коллектор соединен

няется с одной свечей, благодаря чему „масса“ двигателя является проводником, соединяющим корпуса двух свечей.

В момент прерывания первичной обмотки ток поступает с одного коллектора на токоприемник, в провод, центральный электрод первой свечи, на массу, по „массе“ через искровой промежуток второй свечи на центральный электрод и по проводу и токоприемник на второй коллектор. Такое магнето устанавливают на двухцилиндровые двигатели с расположением их под углом 180°, причем воспламенение должно происходить в них одновременно.

Данный тип двигателя, называемый лодочным забортным, требует апозитного расположения цилиндров и одновременного воспламенения газовой смеси в них, с целью уменьшения расщатывания корпуса лодки. Двухискровое магнето также ставится на гоночные двигатели в целях более быстрого сгорания смеси, так как газовая смесь поджигается в двух точках.

### МАГНЕТО И ГЕНЕРАТОР ПЕРЕМЕННОГО ТОКА

На двухтактных двигателях одноцилиндровых и двухцилиндровых с расположением цилиндров под углом 180° часто применяют магнето, представленное на рис. 55.

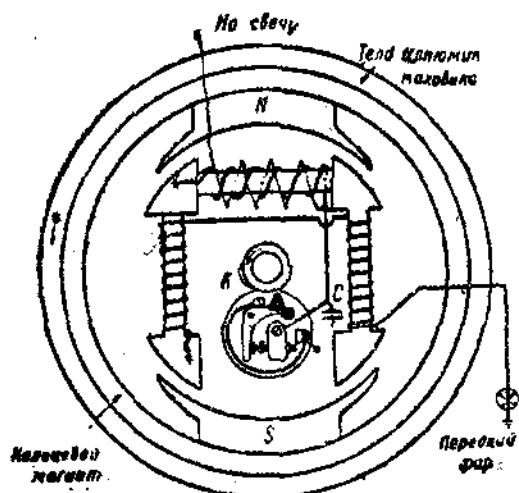


Рис. 55

Конструкция этого прибора зажигания следующая: к картеру двигателя укрепляется П-образный сердечник, собранный из листового железа. На верхней части сердечника расположены две обмотки: первичная и вторичная, соединения их ничем не отличаются от соединений в рассмотренных нами магнето.

Так как обмотки трансформатора неподвижны, то и прерыватель с конденсатором также неподвижны. На боковых частях

сердечника помещены две катушки, питающие энергией одну лампочку 5-10 ватт. Магнитный поток в сердечнике создается постоянным магнитом кольцеобразной формы, укрепленным в алюминиевом маховике. К маховику укреплена кулачковая шайба КШ. Принцип получения индукционной Э. Д. С. ничем не отличается от принципа выше рассмотренных магнето.

Данное магнето с таким же успехом может быть использовано на четырехтактных одноцилиндровых двигателях и так как магнит будет вращаться со скоростью коленчатого вала двигателя, то один искровой разряд будет происходить в конце такта сжатия, а другой в конце выхлопа. Последний никакого влияния на работу двигателя не окажет. Это магнето устанавливалось на лодочные двигатели фирм „Архимедес“ и „Овенруд“, на мотоциклы фирм „Ковентри Игл“ и D.K.W.

### ЗАПАЛЬНЫЕ СВЕЧИ

Как уже ранее указывалось, для получения искрового разряда внутри цилиндра, в камеру сжатия ввертывается запальная свеча. Она имеет следующие составные части:

1. Центральный электрод.
2. Изолятор, в котором укреплен центральный электрод.
3. Электрод, соединенный с „массой“.
4. Корпус, скрепляющий все части свечи, а так же позволяющий укрепить свечу в головке цилиндра.

### Изолятор

Наиболее ответственной частью свечи является изолятор центрального электрода. Условия работы изолятора самые тяжелые, так как он соприкасается внутри цилиндра с газами, имеющими различную температуру при различных тахах рабочего процесса.

Температура газов в камере сгорания изменяется в больших пределах, а именно:

В начале всасывания газов, их температура . . . . .	70-80° С
В конце сжатия она достигает . . . . .	330-350° С
В момент воспламенения . . . . .	1500-1800° С
В момент выхлопа . . . . .	400-500° С

Такие резкие изменения температуры вызывают большие внутренние напряжения в материале изолятора и нередко вызывают появления трещин в нем. Наличие трещин создает возможность появления тока не в пространстве между электродами, а в месте повреждения изолятора.

Повышение температуры самого изолятора неизбежно, так как его внутренняя поверхность соприкасается с газами, температура которых достигает 1500-1800° С. При нормальной работе запальной свечи температура изолятора в средней его части достигает 400-500° С. Она зависит не только от температуры газов, но и от величины поверхности изолятора, соприкасающейся с горячими газами, и от величины поверхности изолятора, соприкасающейся с внешним воздухом, который охлаждает изолятор.

Температура изолятора зависит также от поверхности изолятора, соприкасающейся с корпусом свечи, которому изолятор отдает часть теплоты. Помимо малой чувствительности к измене-

нию температур, изолятор должен обладать достаточной электрической прочностью, т. е. должен выдерживать высокие напряжения, не допуская пробоя.

Наряду с электрической прочностью изолятора он должен иметь достаточную механическую прочность, чтобы противостоять давлению газов в 17-25 атмосфер. Этим требованиям отвечают фарфор и слюда.

В автотракторной промышленности для изоляторов свечей чаще применяют фарфор. В двигателях с воздушным охлаждением, напр. мотоциклетные, некоторые авиационные и танковые, применяют слюду для изготовления изолятора свечи. Объясняется это тем, что в двигателях с воздушным охлаждением температура свечи выше; фарфор же с повышением температуры теряет электрическую прочность и при меньших напряжениях подвергается пробою. Эта зависимость представлена на рис. 56.

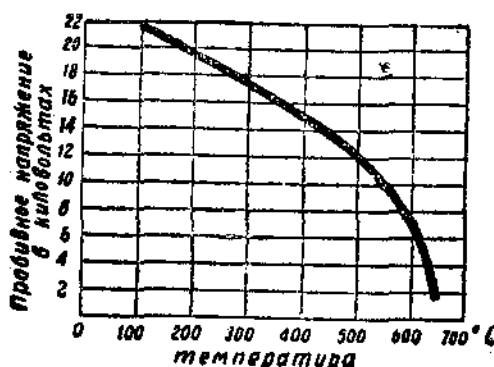


Рис. 56

стержень обтачивают, придавая ему нужные размеры, после чего его подвергают обжигу и глазуревке, с целью дать плотную, глянцевую поверхность, препятствующую проникновению влаги, масла и копоти вглубь изолятора.

Из кривой, представленной на рис. 56, видно, что повышение температуры уменьшает способность изолятора противостоять высоким напряжениям. Способность изолятора сохранять изолирующее свойство при повышении температуры характеризуется „эффективным температурным значением“. Под „эффективным температурным значением“ подразумевают ту температуру, при которой удельное сопротивление одного куб. см равно 1 000 000 ом. Величина „эффективного температурного значения“ для материала изоляторов свечей автомобильных и тракторных двигателей  $650^{\circ}\text{C}$  и для авиационных  $490^{\circ}\text{C}$ .

Ранее было установлено, какое вредное влияние на процесс зажигания оказывает образование копоти на изоляторе свечи. С целью предупредить образование копоти необходимо иметь температуру нижней части изолятора настолько высокой, чтобы копоть сгорала. Эта температура называется „темпер-

атурой сгорания копоти“. Для изоляторов из слюды эта температура равна  $650^{\circ}\text{C}$ , а для изоляторов из фарфора  $490^{\circ}\text{C}$ .

В последнее время фарфор в чистом виде имеет небольшое применение и изоляторы делаются из массы, в состав которой входят не только каолин и полевой шпат (составные части фарфора), но и такие вещества, как тальк, силиманит и циркон. Все эти вещества размалываются и из них приготавливается масса, которую формуют. После формовки производят просушку, просушенный

турой самоочищения свечи". Необходимо помнить, что чрезмерный нагрев изолятора может вызвать преждевременное воспламенение смеси и вызвать калильное зажигание; температура нижней части изолятора, соприкасающейся с газами, не должна поэтому превышать 500° С. Температура нижней части изолятора зависит от количества подведенного и отведенного тепла.

Количество подведенного тепла зависит от температуры газов в момент воспламенения, а следовательно и от степени сжатия. Оно также зависит от числа воспламенений в единицу времени и следовательно при одном и том же числе оборотов коленчатого вала изолятор свечи имеет более высокую температуру в двухтактном двигателе, чем в четырехтактном. Коли-

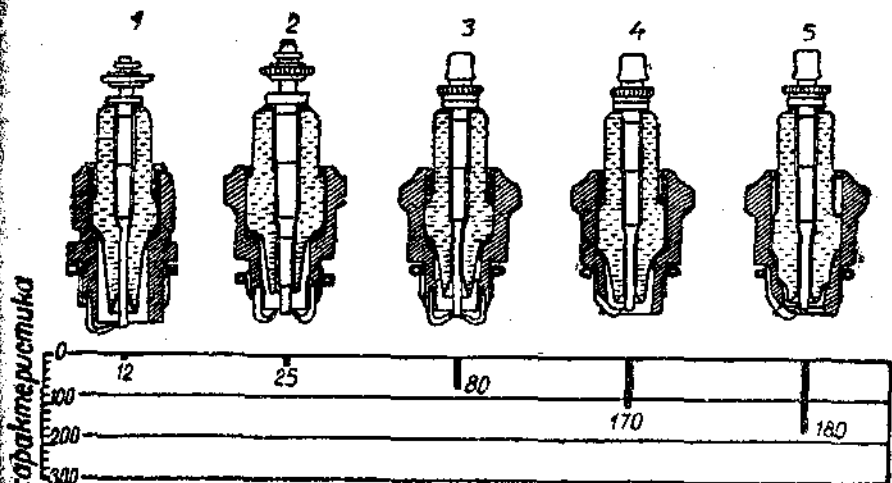


Рис. 57

чество отведенного тепла к корпусу свечи зависит от температуры последнего и в двигателях с воздушным охлаждением температура корпуса свечи выше и количество отводимого тепла от изолятора меньше.

Для получения постоянства температуры нижней части изолятора, при которой происходит самоочищение свечи, необходимо сбалансировать количество подведенного и отведенного тепла. Это достигается соотношением поверхностей, воспринимающих теплоту и отдающих ее. Наглядное представление дает рис. 57, из которого видно как изменяются соотношения поверхностей.

Необходимо отметить, что в двигателях с большим числом оборотов коленчатого вала, с высокой степенью сжатия и с воздушным охлаждением, приходится настолько уменьшать нижнюю часть изолятора, что путь для поверхностных токов по копоти и даже по чистому изолятору настолько сокращается, что может происходить разряд по поверхности, а не в пространстве между электродами свечи. Это ставит предел уменьшению поверхности,

воспринимающей тепло, и вызывает неоходимость увеличения поверхности, отдающей тепло. С этой целью увеличивают верхнюю часть изолятора, соприкасающуюся с внешним воздухом, а также снабжают корпус свечи ребрами.

### Электроды

Материалом для изготовления электродов служит никель или его сплавы Ni — 97%, Mg — 1,5%, Fe — 0,8% и Cu 0,4%. Применение никеля и его сплавов вызвано их высокой температурой плавления и ничтожно малым окислением поверхности. Сечение центрального электрода берется довольно большим, с целью улучшить отвод тепла. С этой целью часто электрод изготавливают из меди с приваркой к его нижней части никелевого наконечника. Верхнюю же часть его снабжают ребрами. Отвод тепла по центральному электроду необходимо иметь достаточным, так как его температура может повыситься настолько, что вызовет калильное зажигание.

Укрепление электрода в изоляторе имеет большое значение и зависит от объемного расширения металла электрода и самого изолятора. Наряду с полной герметичностью между электродом и изолятором возникает необходимость в такой конструкции укрепления, при которой расширение электрода не может вызвать трещин в изоляторе. С этой целью между электродом и изолятором оставляют некоторое пространство (по диаметру) и только в нижней части электрод имеет заточку на конус, упирающуюся на уплотняющую прокладку, или же электрод имеет на конце нарезку, помощью которой он укреплен в изоляторе. Больше всего электрод подвержен линейному удлинению при повышении температур и для получения плотного прилегания заточки к уплотняющему кольцу электрод затягивается гайкой с пружинной шайбой, которая и воспринимает на себя все изменения длины электрода при изменении его температуры.

Электрод, соединенный с „массой“, изготавливается из того же материала, что и центральный электрод. Условия его охлаждения значительно лучше, чем условия охлаждения центрального электрода. Форма электродов значительно влияет на величину необходимого напряжения для получения искрового разряда и их изгиб влияет на надежность работы свечи. При остроконечных электродах искровой разряд появляется при более низких напряжениях, но мощность искры значительно меньше, так как появляется истечение электричества, и во вторичной емкости накапливается меньшее его количество.

Наивыгоднейшая форма конца электрода представляет вид лопаточки и искровой разряд происходит при больших значениях напряжения на электродах, выделяя большее количество тепла, что обеспечивает бесперебойную работу двигателя. Изгиб электрода, соединенного с „массой“, должен иметь такую форму, при которой масло, попадающее на свечу, не собирается в виде капли между электродами. При работе свечи искровой разряд

так же переносит частицы металла с одного электрода на другой, подобно тому, как это имеет место на контактах прерывателя. Если свечи обслуживает прибор батарейного зажигания, то изнашивается или центральный электрод, когда он является анодом, или электроды, соединенные с „массой“, если они являются анодом.

При обслуживании свечей прибором зажигания магнето используются все максимальные значения генерированной силы тока, т. е. число прерываний за один оборот равно числу изменений поля, то 50% всех свечей имеют износ центрального электрода и 50% количества свечей имеют износ электрода, соединенного с „массой“. Меняя свечи, может быть достигнут равномерный износ тех и других электродов. Например: порядок работы 1, 4, 2, 6, 3, 5 достаточно раз в неделю, первые три свечи, т. е. 1, 2, 3, поставить в цилиндры 4, 5 и 6 и свечи 4, 5 и 6 вставить в цилиндры 1, 2 и 3. В целях получения равномерного износа центрального электрода его окружают двумя или тремя электродами, соединенными с „массой“. Как известно, разряд происходит в месте наименьшего сопротивления, т. е. там, где меньше расстояние между электродами, и так как в этом месте будет появляться искра, то часть металла переносится, и в работу вступает другой электрод, соединенный с „массой“.

Величина промежутка между электродами зависит от степени сжатия и применяемого топлива. На двигателях с высокой степенью сжатия величина пространства между электродами  $0,3 \leftarrow 0,4$  мм при работе двигателя на бензине, и при нормальной степени сжатия  $0,4 \leftarrow 0,5$  мм. При работе на керосине рекомендуется иметь пространство, равное  $0,6 \leftarrow 0,8$  мм, так как при малых промежутках легко образуются мостики из копоти, замыкающие электроды.

### Корпус свечи

Корпус свечи изготавливают из мягкой стали. Корпус свечи бывает различной конструкции, в зависимости от того, разборная свеча или нет. В первом случае корпус имеет помимо наружной нарезки (которая служит для укрепления свечи в головке цилиндра) и внутреннюю, необходимую для укрепления изолятора. Во втором случае имеется только наружная резьба, крепление же изолятора достигается путем завальцовки верхнего края корпуса.

Как в первом, так и во втором случаях под изолятор и на него ставят уплотняющие прокладки, в виде медно-асбестовых колец. Эти кольца допускают некоторые изменения размера изолятора, вследствие температурного расширения, не вызывая нарушения плотности и не вызывая разрушения изолятора. Внутренняя расточка корпуса всегда имеет больший диаметр, чем изолятор, что делается с целью большей сохранности изолятора.

Наружная нарезка имеет нормализованный диаметр и шаг резьбы. На европейских машинах принят наружный диаметр

нарезки 18 мм и шаг резьбы 1,5 мм. На американских машинах отверстия для свечей снабжаются дюймовой нарезкой с числом ниток на дюйм 18 и диаметр  $\frac{7}{16}$ , и с газовой резьбой, имеющей число ниток на дюйм 14 и диаметр  $\frac{1}{2}$  дюйма.

Для получения герметичности в месте скрепления свечи с головкой цилиндра применяют два способа: или устанавливают медно-асбестовую прокладку между свечей и головкой цилиндра, или снабжают отверстие для свечи конусной нарезкой, такую же нарезку имеет и корпус свечи.

### Выбор свечи и ее установка

В различных двигателях толщина стенки головки цилиндра в месте установки свечи различна. В связи с этим нарезку из корпусе свечи изготавливают различной длины. Необходимо выбрать свечу производить не только на основании тепловых показателей ее, но следует обращать внимание и на установку свечи в головке цилиндра. По тепловым качествам подбор свечи делается следующим образом: если при работе двигателя обнаружено, что свеча нагревается и вызывает калильное зажигание, или поверхность нижней части изолятора покрывается пузырями (плавится глазурь), необходимо такую свечу заменить свечей с большим отводом тепла и меньшей поверхностью, воспринимающей его.

В том случае, когда изолятор свечи покрывается копотью (при нормальном составе смеси и хорошем состоянии поршневых колец), то температура свечи слишком низка и ее (свечу) необходимо заменить свечей с меньшей поверхностью охлаждения и большей поверхностью нагрева.

Свечи, изготавливаемые фирмой Р-Бош, снабжаются буквенными и цифровыми показателями, выбиваемые из корпусе, значение их следующее:

$M$  — неразборная } свеча с миллиметровой резьбой (1,5 мм)  
 $DM$  — разборная }  
 $Z$  — неразборная } свеча с дюймовой нарезкой  
 $DZ$  — разборная }

Цифровые показатели дают тепловую характеристику свече, причем, чем больше цифра, тем данная свеча имеет меньший подвод теплоты и больший отвод ее.

Правильной установкой свечи считаем, когда ввернутая свеча имеет нижний срез на одном уровне с внутренней поверхностью камеры сжатия.

В тех случаях, когда устанавливают две свечи в камеру сгорания, а прибор зажигания позволяет иметь только один искровой разряд при одном прерывании, применяют одну свечу с двумя электродами, изолированными от "массы", вторая же свеча нормального типа и ее центральный электрод соединяют с одним из электродов первой свечи.

Другой же электрод ее соединяют с трансформатором высокого напряжения.

## УСТАНОВКА ПРИБОРОВ ЗАЖИГАНИЯ НА ДВИГАТЕЛЬ

Под установкой прибора зажигания понимают не просто укрепление агрегатов зажигания, но и точное согласование момента появления искрового разряда с положением поршней и клапанов. Прежде чем приступить к установке, необходимо иметь следующие данные:

1. Необходимо знать наибольший угол опережения, требуемый двигателем при полной мощности.

2. Необходимо знать максимальный угол перестановки опережения зажигания, допускаемый данным прибором.

3. Необходимо выяснить порядок работы цилиндров. Это можно произвести или по подъему клапанов или вместо свечей в отверстие вставляют бумажные пробки (но так, чтобы не могло втянуть их во внутрь цилиндра). Затем поворачивают коленчатый вал и наблюдают за порядком вылетания из отверстий пробок, выталкиваемых при такте сжатия.

4. Необходимо убедиться, что число прерываний первичной цепи, приходящихся на один оборот коленчатого вала, равно: а) для четырехтактных двигателей  $\frac{\text{числу цилиндр.}}{2}$ , б) для двухтактных двигателей — числу цилиндров. Имея эти данные, приступают к установке прибора зажигания. Ее можно производить двояко: или по раннему зажиганию или по позднему. В первом случае поступают так: устанавливают поршень первого цилиндра в положение верхней мертвой точки при закрытых клапанах (в конце такта сжатия).

Для точного определения мертвых точек на маховике имеются пометки *U. P.* (upper point) или *D. C.* (dead center) или *T. C.* (top center) и на неподвижной части двигателя устанавливается указатель. Например известно, что максимальное опережение, требуемое двигателем,  $35^\circ$ , то необходимо маховик повернуть на эту величину в противоположном направлении вращению коленчатого вала при его работе. Определить поворот кривошипа на угол  $35^\circ$  можно двояко: или, зная диаметр маховика, отложить на нем дугу, соответствующую углу  $35^\circ$ , или на основании номограммы. На рис. 58 представлена номограмма для двигателей, имеющих отношение длины шатуна к удвоенному радиусу кривошипа (ходу поршня)  $\frac{l}{s} = 2,25$ . Порядок определения ведут в такой последовательности:

1. На номограмме находят ход поршня двигателя, например  $S = 125$  мм.

2. Ведут линию до пересечения с линией  $35^\circ$  и на ординате находят точку 13,5. Эта величина показывает, что положение поршня, не доходя 13,5 мм до верхней мертвой точки, соответствует углу опережения  $35^\circ$ . Вращая маховик в обратном направлении, замечают по линейке, когда поршень опустится на 13,5 мм. Затем ставят подвижную часть прибора зажигания (от которой зависит момент раннего размыкания контактов прерывателя) в положение полного опережения и поворачивают ротор (в том направлении, которое он будет иметь на двигателе) до

момента начала размыкания контактов, после чего закрепляют муфту, передающую вращение ротору прибора зажигания.

Электрод распределителя, против которого находится ротор токораспределителя, соединяют со свечей первого цилиндра и остальные провода соединяют, в направлении вращения токораспределителя, со свечами цилиндров, в зависимости от порядка их работы. Если произведена установка из шестицилиндровый четырехтактный двигатель, магнето с двумя прерываниями за один оборот ротора, то угловая скорость его в 1,5 раза больше

угловой скорости коленчатого вала.

Допуская, что предел перестановки момента прерывания на магнето  $30^\circ$ , при передаточном числе  $1 : 1,5$  и сдвиге в положение позднего прерывания, коленчатый вал все же будет иметь опережение  $15^\circ$ .

Приборы зажигания с автоматическим опережением устанавливаются при положении поршня, соответствующем позднему зажиганию, учитывая максимальный угол опережения, требуемый коленчатым валом при полной мощности двигателя.

Приборы зажигания, снабженные импульсатором, устанавливают подобно вышерассмотренному, но вращают ротор

в противоположном направлении, так как защелки импульсатора не позволяют постепенно достигнуть момента начала размыкания контактов. В этом случае скрепление приводной муфты делают, когда молоточек прерывателя разомкнется и, пройдя размыкающий выступ, начнет замыкаться.

#### НЕИСПРАВНОСТИ, ИХ ОПРЕДЕЛЕНИЕ И УСТРАНЕНИЕ

В системах батарейного зажигания и от магнето бывают неисправности, общие для той и другой систем, их мы и рассмотрим.

**Неисправность:** двигатель нагревается и не развивает большого числа оборотов и не развивает полной мощности.

**Причина:** неправильная установка прибора зажигания, т. е. чрезмерно позднее или чрезмерно раннее размыкание контактов.

**Неправильность:** при исправном состоянии карбюрации и заданного механизма возникают выстрелы во всасывающей трубе («чихание» в карбюратор).

**Причина:** самовоспламенение или сбит порядок токораспределения. В первом случае следует обратить внимание на перегрев двигателя или чрезмерно нагреты свечи. Если свечи систематически перегреваются, следует заменить их свечами с более высокой тепловой характеристикой. Во втором случае необходимо установить правильную работу токораспределителя.

**Неправильность:** во время работы двигателя слышен металлический стук внутри цилиндров.

**Причина:** чрезмерно раннее зажигание или перегрев двигателя.

**Неправильность:** свеча перегревается и снаружи покрыта спотью.

**Причина:** нарушена герметичность или между изолятором и корпусом или корпусом и головкой цилиндра.

**Неправильность:** не все цилиндры работают при исправном состоянии двигателя.

**Причина:** 1) провода высокого напряжения соединяются с «массой», 2) нарушена вторичная цепь, 3) неисправное состояние свечи, 4) поврежден токораспределитель, 5) неисправен прерыватель.

**Неправильность:** двигатель работает с перебоями, на свечах слабая искра, в прерывателе сильное искрение.

**Причина:** слишком мало пространство между контактами прерывателя. Замаслены контакты прерывателя. Отключился конденсатор.

**Неправильность:** на электродах свечи отсутствует искровой разряд и в контактах прерывателя не наблюдается никакого искрения.

**Причина:** отсутствует ток в первичной обмотке (обрыв ее), конденсатор пробит.

**При батарейном зажигании. Неправильность:** слабый искровой разряд на электродах свечи.

**Причина:** разряжена аккумуляторная батарея.

**Неправильность:** отсутствует искра на электродах всех свечей.

**Причина:** 1) аккумуляторная батарея разряжена до недопустимых пределов, т. е. напряжение ниже 1,8 вольта на один аккумулятор, 2) сожжен вариатор или предохранитель, 3) нарушена первичная цепь, 4) провод, соединяющий бобину с прерывателем, соединен с «массой», 5) не замыкаются контакты прерывателя, 6) не размыкаются контакты прерывателя, 7) оборван провод, соединяющий вторичную обмотку с токораспределителем, 8) обломана пружинка на токораспределителе, 9) пробита изоляция вторичной обмотки бобины.

**Неправильность:** нерегулярное появление искры на электродах свечи.

**Причина:** 1) неплотные соединения в первичной цепи, 2) загрязнены контакты прерывателя, 3) износ фибринового выступа на молоточке.

**При зажигании от магнето.** Неисправность: борны токораспределителя получают искру через один.

Причина: износ одного выступа, размыкающего контакты.  
**Неисправность:** отсутствует искра на всех свечах.

Причина: 1) провод, выключающий зажигание, соединился с „массой”, 2) не замыкаются контакты вследствие разбухания буксы молоточка, 3) не размыкаются контакты вследствие износа фибрового выступа.

**Неисправность:** слабая искра на электродах всех свечей.

Причина: при скользящем токораспределителе возникли мостики из угольной пыли, замыкающие сегменты распределителя.

Наличие тока высокого напряжения в системе зажигания может быть определено при помощи вольтоскопа, представляющего собою стеклянную трубку с разреженным газом неоном или гелием, которые обладают свойством светиться под действием тока высокого напряжения. Судя по яркости свечения определяют насколько исправно работает прибор зажигания.

### Контрольные вопросы

1. Объясните процесс получения высокого напряжения на зажимах вторичной обмотки трансформатора.
2. Какую цель преследует установка конденсатора в приборах зажигания.
3. Какие факторы, влияют на величину напряжения на электродах свечи.
4. Какие меры способствуют восстановлению тока, в первичной обмотке трансформатора, при батарейном зажигании.
5. Перечислите причины, препятствующие восстановлению магнитного потока в сердечнике трансформатора магнето и укажите меры борьбы с ними.
6. По каким параметрам определяют качество магнитной стали и какие металлы, идущие в сплав, повышают их качества.
7. Изобразите принципиальные схемы соединения обмоток трансформаторов и укажите условия для суммирования индуктированных Э.Д.С.
8. От каких причин зависит величина необходимого напряжения на электродах свечи для получения искрового разряда.
9. Какие типы токораспределителей вы знаете и укажите их преимущества и недостатки.
10. Какие приспособления при зажигании от магнето облегчают пуск двигателя.
11. Дайте оценку магнитным цепям магнето.
12. Какие особенности входит в конструкцию магнето применение вращающегося трансформатора.
13. Дайте сравнительную оценку приборам зажигания,
14. Как производят подбор запальной свечи к данному двигателю.
15. Объясните способ установки приборов зажигания на двигатель.
16. Что неисправно в системе зажигания от магнето: а) при отсутствии искры в 1, 2, 3 свечах при порядке работы шестицилиндрового четырехтактного двигателя 1, 5, 3, 6, 2, 4?
17. Необходима ли замена каких-либо частей в магнето фирм Сцинтила и Эйзенман при перестановке их с правого на левое вращение.
18. В каких случаях допустимо иметь пикообразную кривую изменения Э.Д.С. и в каких случаях необходимо иметь рассеиватели магнитного поля.
19. Укажите способы автоматической перестановки момента воспламенения и дайте оценку их.

## ОТДЕЛ ТРЕТИЙ

### АККУМУЛЯТОРЫ И ЗАРЯДНЫЕ УСТАНОВКИ

По условиям эксплоатации автомобилей, тракторов и мотоциклов им приходится работать в различное время суток и пользоваться освещением не только при работающем моторе, но и при остановленном. В связи с этим в электроустановке обязательным является наличие аккумулятора, способного запасать электрическую энергию на время бездействия мотора, необходимость иметь запас электрической энергии, также диктуется и установкой электромотора (стартера), который служит для пуска двигателя внутреннего сгорания. При отсутствии магнето высокого или низкого напряжения аккумулированная энергия нужна для питания прибора зажигания (бобины).

На основании вышеизложенного наличие аккумуляторов в системе электрооборудования является обязательным. Наибольшее распространение в данное время на автотранспорте получил так называемый кислотный аккумулятор, его химический процесс и конструктивное выполнение и рассмотрим.

#### СВИНЦОВЫЙ ИЛИ КИСЛОТНЫЙ АККУМУЛЯТОР

Свинцовый аккумулятор получил название по металлу, идущему на изготовление пластин. Пластины в нем, как положительные так и отрицательные, изготовлены из свинца в виде решеток, заполненных активной массой, приготовленной из свинцового сурика  $Pb_2O_4$  и глета  $PbO$ ; для механической прочности пластин в свинец прибавляют сурьму (Stibium, уд. в 6,7 плав. +630° С) от 3% до 10%. Активная масса положительных пластин содержит 75%  $Pb_2O_4$  и 25%  $PbO$ . Активная масса отрицательных пластин содержит 75%  $PbO$  и 25%  $Pb_2O_4$ .

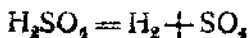
Приготовленные пластины свариваются в секции по несколько штук вместе и устанавливаются в кислотоупорном сосуде. Сосуд заполняют электролитом, приготовленным из серной кислоты и дистиллированной воды, после чего пластины подвергаются формированию электрическим током, путем нескольких циклов заряда и разряда. Рассмотрим химические процессы, протекающие в свинцовом аккумуляторе.

#### Химические процессы свинцового аккумулятора

В заряженном виде активная масса положительных пластин представляет двуокись свинца  $PbO_2$ , а активная масса отрицательных пластин в заряженном состоянии преобразована в чистый

свинец  $Pb$ , с большим количеством пор, почему его и называют губчатым свинцом. Если внешние зажимы аккумулятора замкнуть каким-либо проводником, то в цепи под действием Э.Д.С. поляризации появится электрический ток, причем во внешней цепи он будет иметь направление от положительного зажима к отрицательному, и во внутренней цепи от группы отрицательных пластин (катод) к группе положительных пластин (анод).

Под действием электрического тока, кислота разложится



и произойдет перемещение положительных ионов водорода ( $H_2$ ) на анод, а отрицательных ионов кислотного остатка ( $SO_4$ ) на катод. При этом процессе двуокись свинца ( $PbO_2$ ) положительных пластин переходит в сернокислый свинец ( $PbSO_4$ ) с выделением двух молекул воды ( $H_2O$ )

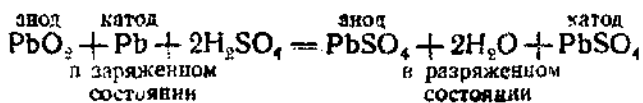


Одновременно на отрицательных пластинах кислотный остаток ( $SO_4$ ) соединится с губчатым свинцом ( $Pb$ )



При разряде электролит следовательно обогащается двумя молекулами воды и плотность его понижается.

Весь процесс разряда аккумулятора сокращенно можно представить так:



Если анод аккумулятора присоединить к  $+$  зажиму, а катод к  $-$  зажиму источника постоянного тока, Э.Д.С. которого больше Э.Д.С. поляризации аккумулятора, то в цепи появится зарядный ток. Направление силы тока во внутренней цепи аккумулятора будет от анода к катоду; в этом случае положительные ионы водорода  $H_2$  будут перемещаться на катод, а отрицательные ионы кислотного остатка  $SO_4$  на анод. При этом сернокислый свинец  $PbSO_4$  отрицательных пластин переходит в губчатый свинец  $Pb$  с выделением одной молекулы серной кислоты



Одновременно на положительных пластинах сернокислый свинец  $PbSO_4$  переходит в двуокись свинца  $PbO_2$  с выделением двух молекул серной кислоты



При заряде аккумулятора, как видно из химического процесса, электролит обогащается тремя молекулами серной кислоты и плотность его повышается.

Кратко весь процесс заряда аккумулятора можно представить в следующем виде:

в разряженном виде в заряженном виде



Сернокислый свинец может находиться в двух состояниях: морфном и кристаллическом. Первое состояние сернокислый свинец имеет при разряде аккумулятора до 1,8 вольта и второе при разряде ниже 1,8 вольта.

Допускать разряд аккумулятора до снижения напряжения заряда 1,8 вольта ни в коем случае недопустимо, так как при кристаллическом состоянии сернокислого свинца зарядить аккумулятор крайне затруднительно, а иногда и совершенно невозможно.

### **Емкость аккумулятора**

Под емкостью аккумулятора подразумевают способность накапливать при заряде и отдавать при разряде накопленную энергию.

Емкость измеряется в ампер-часах и представляет произведение разрядной силы тока на время разряда, причем напряжение в конце разряда не должно быть ниже 1,8 вольта. Для того, чтобы сравнивать емкость аккумуляторов различных фирм, усогласились производить разряд в течении 20 часов до напряжения 1,8 вольта на 1 элемент.

Рассмотрим от каких факторов зависит ёмкость аккумулятора.

1. При заряде аккумулятора в нем происходит химический процесс и так как по закону Фарадея количество выделенного вещества зависит от силы тока, времени его действия и электрохимического эквивалента  $M = at$ , то можно сказать: чем больше преобразуем  $PbSO_4$  в  $PbO_2$  и  $PbSO_4$  в  $Pb$ , тем больше запасом электрической энергии, так как при обратной реакции во время разряда будет участвовать большее количество вещества. Отсюда заключаем, что емкость аккумулятора зависит от количества активнодействующего вещества. Так как доступ к глубоким слоям активной массы затруднителен, то и стараются ее распределить на большей поверхности.

Увеличение силы зарядного тока допустимо в известных пределах, и в этом диапазоне можно сказать, что при одном и том же времени, но при различной силе тока, можно преобразовать различное количество вещества, а следовательно и запасы различное количество электрической энергии.

Дело в том, что при чрезмерном увеличении силы тока химический процесс не проникает в глубь активной массы, так что заряд заканчивается раньше, чем все количество вещества будет преобразовано.

Затем, при чрезмерной зарядной силе тока, возможно коробление пластины, главным образом положительной группы, что может вызвать выпадение из ячеек свинцового каркаса активной массы; это вызовет уменьшение количества действующего вещества, а следовательно, и понизит ёмкость аккумулятора.

2. На емкость аккумулятора также сильно влияет и величина разрядного тока; чем она больше, тем процесс разряда протекает энергичнее, но так как при разряде образуется вода (причем химически чистая), то ее изолирующее действие препятствует участию глубоких слоев активной массы и можно наблюдать, как после небольшого перерыва в пользовании аккумулятором он вновь способен отдавать энергию. Это показывает, что для диффузии, т. е. перемешивания воды с кислотой, необходимо определенное время.

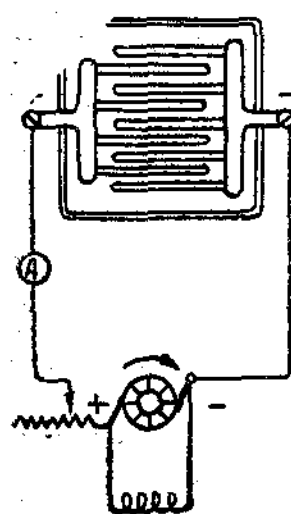


Рис. 59

3. Емкость аккумулятора также зависит от температуры электролита, причем чем выше температура, тем диффузия протекает быстрее. Замечено, что при повышении температуры на  $+1^{\circ}\text{C}$  емкость увеличивается примерно на  $1\%$  и наоборот.

### Заряд аккумулятора

Заряд аккумулятора, как уже было упомянуто выше, происходит под действием источника постоянного тока, причем анодную группу пластин аккумулятора соединяют с положительным зажимом динамомашины, или с другим источником постоянного тока, а катодную группу пластин соединяют с отрицательным зажимом (см. схему 59). Затем в координатах  $V$  и  $Ah$  (см. гра-

нурую группу пластин аккумулятора соединяют с положительным зажимом динамомашины, или с другим источником постоянного тока, а катодную группу пластин соединяют с отрицательным зажимом (см. схему 59). Затем в координатах  $V$  и  $Ah$  (см. гра-

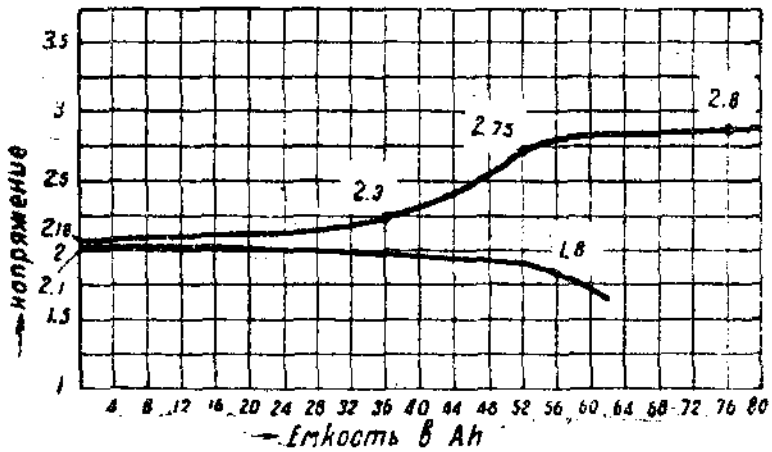


Рис. 60

фик 60) строим кривую заряда. Из кривой заряда видим, что при включении аккумулятора на заряд напряжение на зажимах его  $V_c = 2\text{v}$  вначале быстро достигает

$V_3' = 2,18v$ , после чего медленно поднимается до  $V_3'' = 2,3v$ . Затем, довольно быстро, поднимается до  $V_3''' = 2,75 \div 2,8v$ . Анализируя кривую заряда на участки  $V_3 - V_3''$ , постепенный подъем кривой можно объяснить постепенным повышением концентрации электролита и увеличением Э.Д.С. аккумулятора  $E_A$ , в связи с появлением все большего и большего содержания на пластинах перекиси свинца  $PbO_2$  на аноде и  $Pb$  на катоде. На участке  $V_3'' - V_3'''$  быстрый подъем кривой зарядного напряжения объясняется повышением внутреннего сопротивления за счет газирования электродов и электролита.

Повышение внутреннего сопротивления вызывает увеличение падения напряжения  $e = i_p r_{\text{внут}}$ , вследствие чего  $V_3 = E_A + i_p r_{\text{внут}} = V_3'''$ . Свободное выделение гремучего газа  $H_2 + O$  показывает, что процесс преобразования на пластинах почти окончен и зарядка почти прекратилась. В это время силу зарядного тока, который равнялся  $\frac{1}{10} \div \frac{1}{8}$  емкости стартерного аккумулятора или  $\frac{1}{15} \div \frac{1}{20}$  емкости светового аккумулятора, снижают на 50% и в течении одного или двух часов продолжают заряд. После того, как аккумулятор будет отключен от заряжающего источника, на зажимах установится Э.Д.С.  $E_A = 2,2v$ .

### Разряд аккумулятора

Если теперь производить разряд и значения  $V_p$  — напряжение при разряде откладывать в той же координатной системе, то  $V_p = E_A - i_p r_{\text{вн}}$ , где  $i_p$  — разрядный ток, а  $r_{\text{вн}}$  — внутреннее сопротивление. Совпадая вначале с осью ординат, кривая напряжения аккумулятора  $V_p' = 2,1v$  после продолжительного разряда, постепенно снижаясь, достигнет  $V_p'' = 1,8v$ , т.е. критического значения напряжения; дальнейшее снижение, в нормальных условиях, недопустимо, причем быстрота падения кривой достигает максимальной скорости. Анализируя кривую разряда, можем заключить, что на участке  $V_p' - V_p''$  напряжение уменьшается вследствие уменьшения концентрации электролита, а также вследствие уменьшения  $E_A$ , вызванного переходом  $PbO_2$  в  $PbSO_4$ .

Дальнейший участок кривой показывает, как сильно увеличивается внутреннее сопротивление в связи с появлением сернокислого свинца.

Примечание. Кривые заряда и разряда построены при  $I = Const$ .

### Работа и коэффициент полезного действия свинцового аккумулятора

На основании характеристик аккумулятора выводят понятие о работе и коэффициенте полезного действия. Площадь, заключенная между кривой заряда, осью ординат и осью абсцисс, представляет работу, затраченную на заряд. Площадь равна произведению средней величины зарядного напряжения на время

и силу тока, и работы

$$W_{\text{зар.}} = V_{\text{з. сред.}} \cdot I_{\text{s}} \cdot t_{\text{s}};$$

точно таким же путем определяют работу при разряде

$$W_{\text{раз.}} = V_{\text{р. сред.}} \cdot I_{\text{р.}} \cdot t_{\text{р.}}$$

Взятое отношение работы (в уатт-часах) при разряде к работе, при заряде даст нам значение коэффициента промышленной отдачи  $\eta_{\text{пр.}}$ .

$$\eta_{\text{пр.}} = \frac{\bar{W}_{\text{р.}}}{\bar{W}_{\text{s}}} = \frac{V_{\text{р. сп.}} \cdot I_{\text{р.}} \cdot t_{\text{р.}}}{V_{\text{s сп.}} \cdot I_{\text{s}} \cdot t_{\text{s}}}$$

причем его величина, для свинцовых аккумуляторов изменяется, в пределах  $\eta_{\text{пр.}} \approx 0,7 \div 0,8$ .

Коэффициент отдачи, по количеству электричества, менее применим для сравнения качеств аккумуляторов и представляет отношение ампер-часов разряда к ампер-часам заряда

$$\gamma_{\text{эл.}} = \frac{I_{\text{р.}} \cdot t_{\text{р.}}}{I_{\text{s}} \cdot t_{\text{s}}} \approx 0,9 \div 0,96$$

Выше уже упоминалось о плотности электролита, которая изменяется в зависимости от зарженности аккумулятора, причем было указано, что при разряде плотность электролита понижается, а следовательно, он более подвержен действию низких температур (см. таблицу 2).

Таблица 2

Боме	Плотность уд. вес	Приб. напр. элемента при разомкнут. цепи	Состояние батареи	Температура замерзания °C
32—34	1,28—1,30	2,15—2,2	Заряжена полн.	-65
30	1,26	2,1	на 75%	-50
24	1,215	2,0	50%	-29
22	1,18	1,9	25%	-18
19—16	1,15—1,11	1,8—1,7	разряжена	-6,5

Определение плотности электролита производят ареометром Боме (Beaumé).

Ареометр Боме представляет стеклянный или целлюлоидный поплавок со шкалой, градуировка которой произведена следующим образом: поплавок помещают в дистиллированную воду с температурой  $+4^{\circ}\text{C}$  (т. е. при наибольшей плотности), и на гранич. уровня воды с поплавком, наносят на шкалу нулевое значение; затем, помещают поплавок в 15%ный раствор поваренной соли. Вследствие увеличения плотности поплавок вспыляет; граница уровня соленого раствора наносится на шкалу цифрою 15 и все расстояние, между нулем и пятнадцатью, делят на 15 частей и таким масштабом градуируют всю шкалу.

Так как все отсчеты по шкале отнесены к температуре  $+15^{\circ}\text{C}$ , то при производстве замера плотности электролита, при других температурах, необходимо вводить поправочный коэффициент  $\gamma$ ; причем, если температура выше  $+15^{\circ}\text{C}$ , то  $\gamma = -7 \cdot 10^{-3}$  на каждый градус, если же ниже  $+15^{\circ}\text{C}$ , то  $\gamma = +7 \cdot 10^{-3}$ .

Если известна плотность по Боме и необходимо знать удельный вес с точностью 0,002, то для этой цели пользуемся эмпирической формулой  $\text{уд. вес} = \frac{144}{141 - n}$ , где  $n$  — число градусов Боме при  $+15^{\circ}\text{C}$ .

### Конструкция свинцовых аккумуляторов

По назначению аккумуляторы делятся на два класса: первый — аккумуляторы, предназначенные для световых целей, и следовательно, не подвергающихся хотя и кратковременной, но большой разрядной силе тока, и второй класс — аккумуляторы стартерные, которые допустимо кратковременно разряжать склоню тока, превосходящей зарядный ток в 25 и даже в 50 раз.

Стarterные аккумуляторы могут быть использованы и используются для питания световых установок. Аккумуляторы же световые ни в коем случае для питания стартера непригодны.

Дело в том, что пластины стартерных аккумуляторов должны иметь достаточную поверхность, чтобы при большой разрядной силе тока как можно большее количество активной массы участвовало в процессе, причем плотность тока, приходящаяся на дюйм<sup>2</sup>, не достигла таких размеров, при которых появляется возможность коробления пластин и высыпание активной массы. Этим и объясняется наличие большого числа тонких пластин с большой действующей поверхностью. Затем, в целях получения больших разрядных токов при минимальном падении напряжения внутри аккумулятора, стартерные аккумуляторы имеют очень малое расстояние между пластинами, и повышенную плотность электролита (вместо предельной 28° В доводят до 32° В).

Это еще имеет и другое значение, а именно: величина Э.Д.С. аккумулятора зависит от плотности электролита  $\nu$ , увеличивая ее, можно с единицы веса получить большую работу (в watt-часах). С другой стороны, повышение плотности электролита создает благоприятные условия для образования кристаллов серникоислого свинца при разряде, для предупреждения чего требуется держать аккумуляторы полностью заряженными.

Касаясь вопроса изоляции пластин между собою, с целью предотвратить замыкание их, выпадающей активной массой между пластинами ставят сепараторы из перфорированного (продырявленного) эбонита или специально обработанной деревянной фанеры, или же ставят и то и другое. В целях предупреждения замыкания между нижними кромками пластин на дне сосуда имеются специальные выступы, не позволяющие пластинам коснуться дна (см. рис. 61).

При эксплоатации аккумуляторов на автотранспорте напряжение одного элемента недостаточно и в зависимости от выбран-

ногого напряжения 6 вольт или 12 вольт отдельные аккумуляторы собирают в батарею, состоящую из 3 или 6 последовательно включенных элементов, причем надо помнить, что при последовательном соединении емкость батареи в ампер-часах будет такая же, какую имел один элемент; работа же ее в уатт-часах возрастет пропорционально числу соединенных элементов.

Элементы батареи могут быть установлены или в монолитный эбонитовый ящик с числом отделений, равным числу элементов, или же каждый элемент имеет свой сосуд и все вместе устанавливаются в деревянный ящик.

Сравнивая качества и недостатки этих двух способов, необходимо отметить следующее: так как монолитный ящик изготовлен из эбонита, то он не подвергается разрушению кислотою, а следовательно, следить за чистым состоянием (а оно крайне нужно, так как предупреждает самозаряд) значительно легче.

Первоначальная стоимость такого ящика выше, и в случае значительного повреждения одного из отделений требует замены всего ящика. В случае сборки батареи из элементов с отдельными сосудами в деревянном ящике все вышеупомянутые качества и недостатки отпадают; появляется же новый недостаток — увеличение габаритных размеров. В этом способе установки положительным является возможность замены отдельных сосудов.

Практика показала, что повреждение сосудов при первом способе сборки батареи значительно реже, чем при втором.

Ремонт сосудов сводится к вулканизации поврежденного места, которое предварительно расчищается, кромки трещины снимаются нанет, накладывается сырья резина и производится вулканизация.

Выходные стержни секций пластин должны иметь уплотняющие приспособления, причем желательнее из резины, так как непосредственная заливка их четвертоном и другими составами, под действием изменяющихся температур и тряски, быстро разрушается, что вызывает возможность расплескивания электролита, его потерю и разрушительное действие на близ расположенные металлические части.

Запорная пробка на сосуде аккумулятора должна также предупреждать расплескивание электролита и в то же время давать свободный доступ в атмосферу газам, выделяющимся при химическом процессе, дабы не создалось повышение давления в сосуде.

### *Отверстие для наполнения электролита*

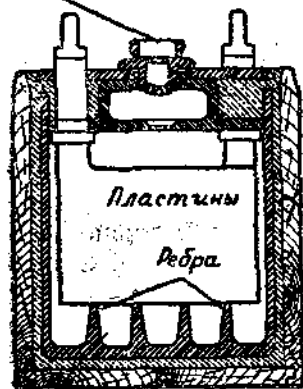


Рис. 61

## Приготовление электролита и заливка его в аккумулятор

Для приготовления электролита требуется химически чистая серная кислота и дистиллированная вода. Если имеющаяся в распоряжении кислота внушает сомнение в ее химически чистом состоянии, то рекомендуется проверить ее реактивами:

### 1. Определение присутствия хлора.

В 25 см<sup>3</sup> H<sub>2</sub>SO<sub>4</sub> 8° В. вливают 8 капель азотной кислоты HNO<sub>3</sub> 24° В. и 20 капель 20%-ного раствора азотнокислого серебра AgNO<sub>3</sub>, после чего содержимое взбалтывают и, если жидкость помутнеет, или же на дне окажется осадок белого цвета (хлористое серебро AgCl), который при вливании нашатырного спирта исчезает, то кислота содержит хлор.

### 2. Определение присутствия азотной кислоты.

В 25 см<sup>3</sup> серной кислоты с плотностью 40° В. вливают 5 см<sup>3</sup> раствора железного купороса FeSO<sub>4</sub> + 7H<sub>2</sub>O в дистиллированной воде, но так, чтобы жидкости не смешались. Если граница жидкости окрасится в бурый цвет, то серная кислота содержит азотную кислоту.

### 3. Определение присутствия растворенных металлов: железа Fe, меди Cu, никеля Ni и хрома Cr.

В 25 см<sup>3</sup> серной кислоты плотностью 16° – 30° В. вливают 1 см<sup>3</sup> азотной кислоты HNO<sub>3</sub> плотности 24° В., после чего необходимо прокипятить и остудить, затем вливают 3 см<sup>3</sup> желтой соли K<sub>4</sub>Fe(CN)<sub>6</sub> + 3H<sub>2</sub>O; в присутствии железа жидкость окрашивается в синий цвет, при наличии никеля, кобальта и хрома — в зеленый цвет, при присутствии меди и отсутствия железа — в желто-бурый цвет.

При приготовлении электролита влиять можно только кислоту в воду, а не наоборот, причем вливание кислоты производить постепенно. Заливку электролита в аккумулятор допустимо производить после предварительного охлаждения до температуры + 40° С и ниже. Плотность заливаемого электролита должна быть согласована с данными, рекомендуемыми фирмой, поставляющей аккумуляторы; в среднем она бывает при заливке в разряженный аккумулятор около 16° В. и в заряженной 28° – 32° В. при + 15° С.

## Выбор аккумуляторной батареи

При выборе емкости аккумуляторной батареи необходимо руководствоваться следующим:

1. Чем больше рабочий объем цилиндров двигателя, тем емкость батареи должна быть больше.

2. Чем ниже рабочее напряжение батареи, тем емкость ее должна быть больше (при установке на один и тот же двигатель внутреннего сгорания).

Следовательно, на автомобиле и тракторе емкость батареи определяется необходимой мощностью стартера и она бывает при напряжении в 6 вольт от 80 до 130 ампер-часов, и при напряжении 12 вольт от 40 до 120 ампер-часов. На мотоциклах емкость батареи определяется мощностью световой установки и ее величина при напряжении 6 вольт равна 15 – 30 ампер-часов.

## Установка, уход и ремонт аккумуляторных батарей

Выбор места для крепления батареи на автомашине имеет очень большое влияние на срок ее исправной работы; так как свинцовая аккумуляторная батарея чувствительна к тряске, то ее стараются расположить посередине шасси, но так как батарея нуждается в систематическом наблюдении и уходе, то вторым требованием к месту установки является легкий доступ к батарее.

Уход за батареей сводится к следующему:

1. Держать ее в состоянии полного и как минимум 50%-ного заряда.

2. При длительных дневных работах автомашин и большой зарядной силе тока происходит уменьшение объема электролита за счет выделения  $H_2$  и  $O$  в свободном виде; это вызывает повышение концентрации электролита, а понижение уровня его позволяет кислороду воздуха способствовать покрытию сернокислым свинцом верхней части пластин, что крайне разрушительно действует на механическую прочность их и понижает емкость. В этом случае понижение уровня электролита вызвано уменьшением процентного содержания воды, отчего и доливку необходимо произвести также водой (дестиллированной).

3. Если пластины аккумулятора покрыты сернокислым свинцом, то удаление его возможно различными способами. Первый способ заключается в следующем: аккумулятор подвергают длительной зарядке малой силой тока, а затем — длительной разрядке; иногда необходимо производить несколько таких циклов (заряд и разряд), после чего удается полностью удалить сернокислый свинец. Второй способ заключается в механическом удалении сернокислого свинца с помощью металлической щетки, которой его счищают с предварительно вынутых и обмытых пластин.

В случае частичной замены пластин в секции необходимо новые пластины соединять однородной сваркою, ни в коем случае не допуская пайки оловом или тритяком.

После ремонта батарею подвергают зарядке и производят определение ее разрядной емкости. Разряд ведут силою тока, равной  $\frac{1}{20}$  емкости, которую должна иметь батарея по заводским данным, и продолжают его до снижения напряжения до 1,7 вольта на элемент и плотности электролита примерно 16°B. Произведение силы разрядного тока на время даст нам емкость в ампер-часах.

Более точное испытание проводят с помощью кадмия.

### Испытание аккумуляторной батареи с помощью кадмия

Если в электролит погрузить пластинку кадмия и пластинку губчатого свинца и к ним присоединить вольтметр, то его показания будут равны 0,1 вольта, причем положительный потенциал будет у кадмия, а отрицательный — у губчатого свинца. При замене пластины губчатого свинца пластинкой с активной массой  $PbO_2$ , показания вольтметра будут равны 2,4 вольта, причем кадмий имеет в этом случае отрицательный потенциал, а  $PbO_2$  —

ожительный. Пользуясь этим свойством, легко можно проверить состояние пластин отрицательной и положительной секции, разбивая аккумулятора. Для проведения испытания необходимо иметь вольтметр со шкалой до 2,8 вольт с ценой деления 0,02 вольт, причем желательно, чтобы нуль шкалы находился в положении, отсекающем 0,3 вольта слева и 2,5 вольта справа. Испытания проводят как при заряде, так и при разряде аккумулятора.

**При заряде.** Допустим, что при заряде включенный вольтметр показал между катодом и анодом аккумулятора  $V_1 = +2,4$  вольт, между катодом и анодом  $V_2 = -0,1$  вольта (знак указывает отклонение прибора), то напряжение на зажимах между анодом и катодом должно равняться  $V_3 = V_1 + V_2 = 2,4 + 0,1 = 2,5$  вольта. Эту величину проверяем вольтметром, включая его между зажимами аккумулятора. Подсчитанная величина должна равняться показанию прибора  $\pm 0,03$ , где данная цифра показывает допустимую погрешность; если расхождение больше, то опыт надо повторить. Извлекая из аккумулятора  $V_1$  и  $V_2$ , заключаем, что аккумулятор находится в хорошем состоянии и группы пластин, как положительных, так и отрицательных, полностью заряжены. Если при измерении  $V_1 = +2,35$ , а  $V_2 = +0,1$ , тогда  $V_3 = V_1 - V_2 = 2,35 - 0,1 = 2,25$ , так как показания вольтметра  $V_2$  были от 0 также вправо, что указывает о неполном переходе  $PbSO_4$  в  $Pb$ . Это приходится наблюдать при замене положительных пластин новыми, в то же время секции отрицательных пластин находятся в сульфатированном состоянии.

**При разряде.** В цепь аккумулятора включается такое сопротивление, чтобы исправный аккумулятор разрядился через него в течении восьми часов до предельного напряжения 1,8 вольта. Сопротивление подбирается таким путем: зная емкость аккумулятора, например 60 А·ч, для разряда его в течении восьми часов необходима разрядная сила тока примерно  $\frac{60}{8} = 7,5$  А. Тогда

$$r = \frac{V_{\text{разр., сред.}}}{I_{\text{разр.}}} = \frac{2,2 + 1,8}{2 \cdot 7,5} = 0,226 \Omega$$

В первые четыре часа разряда показания вольтметра между  $PbO_2$  и катодом должны равняться  $V_1 = +2,15$  вольта, а между  $Pb$  и катодом  $V_2 = +0,12$  и тогда  $V_3 = 2,15 - 0,12 = 2,03$  вольта. К концу разряда напряжение  $V_1 = +2,05$  вольта, а  $V_2 = +0,25$  и напряжение  $V_3 = 2,05 - 0,25 = 1,8$  вольта. Значение  $V_3$  проверяется включением вольтметра между зажимами аккумулятора, причем оно должно быть равно  $V_3 = V_1 - V_2$  и отклонения не должны превышать 0,03 вольта. Если испытание при разряде показало  $V_1 = +2,05$ , а  $V_2 < +0,25$ , то это говорит о малой емкости положительных пластин.

В том случае, когда  $V_1 > +2,05$ , а  $V_2 = +0,25$ , это говорит о малой емкости отрицательных пластин.

В обоих случаях аккумулятор нуждается в длительной зарядке малой силой тока. После испытания аккумуляторной батареи длительным разрядом, который характеризует световые качества

батареи, ее подвергают испытанию для выявления стартерных качеств; опыт проводят кратковременными разрядами по 13 с кунд каждый, силою тока 210 А, повторяющимися через 15 минут. Причем, чем меньше разность между Э.Д.С. аккумулятора и его напряжением во время разряда, тем меньше, следовательно, сопротивление аккумуляторной батареи и тем более подходяща она для питания стартера.

Разрядная характеристика такой батареи будет менее наклонна к оси абсцисс и разность ординат между  $E$  и  $V_{\text{раз}}$  будет меньше. Стартерная батарея имеет два показателя: из них первый 100 А показывает световую емкость при двадцатичасовом разряде и второй показатель 100 А — разрядный стартерный ток в течении 20 минут.

### ЩЕЛОЧНЫЕ АККУМУЛЯТОРЫ

Щелочные аккумуляторы получили свое название по электролиту, которым заполнены сосуды. Электролит состоит из 20—21% KOH и дистиллированной воды. В аккумуляторах Эдисона к нему прибавляют 2% водной окиси лития (LiOH). Щелочные аккумуляторы изготавливаются у нас в СССР, в США аккумуляторы Эдисона и в Швеции аккумуляторы Юнгера.

### Конструкция щелочных аккумуляторов

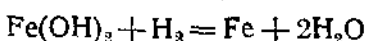
Каждая пластинка изготовлена из перфорированной листовой стали толщиною 0,12 мм с числом отверстий 300 на 1 см<sup>2</sup> и диаметром каждого отверстия 0,2 мм, в виде трубки, которая заполняется активной массой. Активная масса положительных пластин состоит из гидрата окиси никеля  $\text{Ni}(\text{OH})_2$  с примесью графита и мелко раздробленного никеля; последние две примеси введены в состав активной массы для увеличения проводимости. Активная масса отрицательных пластин состоит из гидрата окиси железа  $\text{Fe}(\text{OH})_2$  и окиси ртути (в аккумуляторах Эдисона), или из смеси железа и кадмия (в аккумуляторах Юнгера). После заполнения трубок активной массой они вставляются в стальные рамки, изготовленные из листовой стали толщиною 0,5 мм, где они запрессовываются.

Приготовленные таким способом пластины свариваются в секции, причем на одну отрицательную пластику приходится две положительных пластины. Это необходимо для того, чтобы при заряде и разряде вся активная масса отрицательных пластин участвовала в химическом процессе. Сваренные секции изолируются одна от другой эbonитовыми палочками диаметром 2,8 мм и, так как в пластинах имеются углубления, то расстояния между поверхностями пластин достигают максимум 1 мм. Такое близкое расположение пластин диктуется необходимостью уменьшить внутреннее сопротивление, которое в щелочных аккумуляторах довольно велико.

Себрачные пластины устанавливаются в стальной сосуд и верхняя крышка заваривается.

## Химический процесс щелочного аккумулятора

Действием электрического тока электролит разлагается  
 $\text{OH} + \text{H}_2\text{O} = \text{H} + \text{KOH} + \text{OH}$ . При заряде положительные водородные ионы перемещаются на отрицательные пластины, тем самым преобразуя гидрат окиси железа  $\text{Fe(OH)}_2$  в чистое железо Fe с выделением двух молекул воды

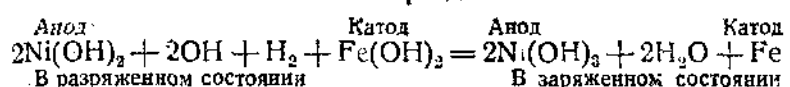


Отрицательные ионы гидроксила OH при заряде перемещаются на положительные пластины и соединяясь с гидратом окиси никеля  $\text{Ni(OH)}_2$ , преобразуют его в гидрат окиси никеля  $\text{Ni(OH)}_3$ .

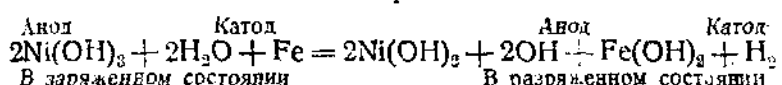


Химический процесс может быть представлен:

### Заряд



### Разряд



Из химического процесса видно, что выделенные две молекулы воды при разряде пополняют водный раствор KOH и плотность электролита остается прежней. При заряде освобожденный гидроксил, соединяясь с водородом, возвращает электролиту две молекулы воды и плотность его так же не меняется. Содержащееся количество едкого калия в электролите в процессе не существует и необходимо только для перемещения ионов гидроксила и водорода. Количество электролита может быть взято очень малым, отчего и размер сосудов щелочных аккумуляторов берется такой, чтобы только поместились пластины.

Каждый сосуд аккумулятора снабжается отверстием для заполнения его электролитом, причем отверстие закрывается пробкой, снабженной автоматическим клапаном, допускающим сообщение внутренней части сосуда с атмосферой, в случае повышения давления внутри него. Доступ воздуха внутрь сосуда крайне редко отзывается на составе электролита, так как в нем (возможно) содержатся углекислота и пары  $\text{H}_2\text{SO}_4$ .

Напряжение щелочных аккумуляторов различно: так у аккумулятора фирмы Эдисон V заряд, изменяется от 1,6 вольт до 1,8 вольт V разряд, от 1,5 вольт до 1,4 вольт; у аккумулятора Юнера V заряд, от 1,4 вольт до 1,75 вольт и V разряд, от 1,25 до 1,2 вольт. Из кривой заряда и разряда (см. рис. 62) видна очень большая разница между значениями V зар. и V разряд. Эта разность ординат вызвана большим внутренним падением напряжения. Большая разность между  $V_{\text{зар.}}$   $V_{\text{разр.}}$  препятствует применению аккумуляторов для целей освещения в случае совместной

работы аккумулятора с динамомашиной, так как вызывает перекал нитей в лампах и нередко их перегорание. Для обслуживания стартеров щелочные аккумуляторы также не нашли применения вследствие большого внутреннего сопротивления.

Коэффициент полезного действия щелочных аккумуляторов, или коэффициент отдачи по количеству электрическта (в ампер-часах)

$$\eta_a = \frac{I_p \cdot t_p}{I_3 \cdot t_3} \cong 0,72 \div 0,80$$

Коэффициент промышленной отдачи или коэффициент отдачи по энергии (в watt-часах).

$$\eta_{ap} = \frac{W_p}{W_3} = \frac{I_p \cdot V_p \cdot t_p}{I_3 \cdot V_3 \cdot t_3} \cong 0,52 \div 0,57$$

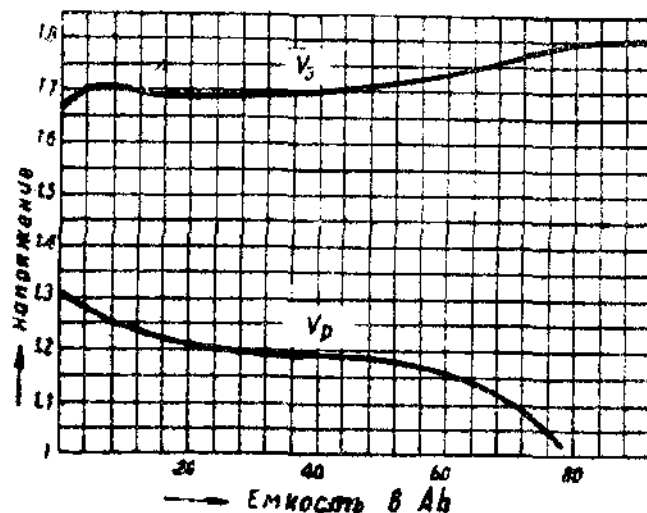


Рис. 62

### Качественная оценка кислотных и щелочных аккумуляторов

Сравнивая эти два типа аккумуляторов, можно сказать следующее:

1. Механическая прочность щелочных аккумуляторов, изготовленных из стали, значительно выше кислотных.
2. Внутреннее сопротивление щелочных аккумуляторов значительно выше кислотных.
3. Коэффициент полезного действия щелочных аккумуляторов на 25% ниже кислотных.
4. Стоимость щелочных аккумуляторов на единицу емкости выше кислотных.
5. Средний вес на единицу энергии в щелочных аккумуляторах больше чем в кислотных, так напр., для щелочного на 1 watt-час приходится 45,5 грамма, а для свинцовых на 1 watt-час приходится 28,5 грамма.

3. Щелочной аккумулятор не боится большой разрядной и зарядной силы тока и коротких замыканий, чего кислотный аккумулятор не допускает.

4. Щелочной аккумулятор может разряжаться до нуля и находиться в разряженном состоянии сколь угодно длительное время, кислотный же аккумулятор этого абсолютно не допускает.

### Зарядные установки

Зарядные станции, предназначенные для зарядки автомобильных, тракторных и мотоциклетных аккумуляторных батарей, оборудуются такими машинами и приборами, которые позволяли снять с зарядки или включить на зарядку батарею, не прерывая процесса заряда в других батареях.

В связи с этим выгоднее иметь рабочее напряжение в сети зарядных станций, которое позволяло бы включать 6-и 12-вольтовые батареи или непосредственно в линию или посредством последовательно введенного сопротивления в цепь батареи. Применение реостатов невыгодно, в чем можно убедиться на примере.

Если аккумуляторная батарея напряжением в 6 вольт требует зарядный ток 8 ампер и зарядку думаем производить, в первом случае, от сети с напряжением 110 вольт постоянного тока и, во втором случае, от сети с напряжением 8 вольт постоянного тока, то в первом случае требуется сопротивление

$$R_1 = \frac{V_{\text{сети}} - V_{\text{акк.}}}{I_{\text{зар.}}} = \frac{110 - 6}{8} = 13 \Omega$$

во втором случае сопротивление

$$R_2 = \frac{8 - 6}{8} = 0.25 \Omega$$

так как потеря мощности в сопротивлении  $P = I^2 R$ , то для первого случая  $P_1 = 8^2 \cdot 13 = 832$  уатта, то для второго случая  $P_2 = 8^2 \cdot 0.25 = 16$  уатт.

Примечание. В том и другом случае сопротивление аккумуляторной батареи и подводящих проводов не учитывается.

На основании вышеизложенного преимущества способа зарядки аккумуляторных батарей от сети низкого напряжения опровергимы. Рассмотрим основные типы преобразователей.

### Умформер

Умформером мы называем преобразователь, представляющий трегат, состоящий из электродвигателя и генератора постоянного тока. Электродвигатель может быть переменного однофазного, или трехфазного, тока, или же постоянного тока. Преобразователи встречаются одноагрегатные, в которых обе машины включены в общий кожух и двухагрегатные, имеющие на плате установленные две отдельные машины, связанные между собой

гибким или жестким соединением. Одноагрегатные делятся в свою очередь, на одноякорные (конверторы) и двухякорные. Оба типа установок преобразователей имеют свои качества и недостатки. Рассмотрим одноагрегатный преобразователь:

1. Так как обе машины заключены в общих кожухах, то габариты такого преобразователя незначительны.

2. Потери механические, электрические и магнитные (в конверторе) также невелики.

3. С другой стороны, повреждение одной из машин выводит из действия агрегат в целом. Кроме того ремонт одноякорных машин производить сложнее и дороже.

Двухагрегатные преобразователи лишены как первых двух качеств, так и недостатков одноагрегатных установок и, в случае повреждения одной из машин, ее можно заменить запасной.

При сравнении обоих типов преобразователей по стоимости изготовления и по весу преимущества остаются на стороне одноагрегатной установки.

### Требования, предъявляемые к генераторам постоянного тока

Одним из основных требований к динамомашине, обслуживающей зарядку, является постоянство напряжения на ее зажимах, независимо от количества включенных аккумуляторных батарей (конечно в пределах номинальной мощности).

Вторым требованием является возможность иметь одновременно два различных напряжения в 7,5 и 15 вольт, так как аккумуляторные батареи встречаются с рабочим напряжением и в 6 и 12 вольт. Это достигается или соединением двух якорей, с напряжением каждой в 7,5 вольт, или помещением двух параллельных обмоток на одном якоре с двумя коллекторами, расположенными на концевых частях якоря; при установке аккумуляторных батарей с напряжением 12 вольт на зарядку, обе обмотки якоря включаются последовательно.

Конструкция генератора, обслуживающего зарядную установку, как уже было упомянуто выше, должна быть такова, чтобы при различном количестве заряжаемых батарей напряжение на зажимах оставалось постоянным. Достигнуть постоянства напряжения при переменной нагрузке можно различными способами:

а) Регулированием числа оборотов генератора, что возможно только при коллекторных электродвигателях; при применении асинхронных машин пределы регулирования числа оборотов настолько малы, что не допускают их применения в таких умформерах, где генератор требует регулирования числа оборотов. Регулирование числа оборотов в коллекторных электродвигателях связано с потерями электрической энергии в регулирующих реостатах, что вызывает понижение к. п. д. установки.

б) Изменением силы тока в обмотке возбуждения генератора путем введения регулировочного реостата.

в) Применением компаундинирования и дополнительных полюсов.

Как вам известно, падение напряжения на зажимах шунтового генератора при увеличении нагрузки происходит главным образом от следующих причин:

1. Если поддерживать Э.Д.С. =  $E_a$  постоянной в обмотках якоря, то величина падения напряжения в нем  $e = i_a \cdot r_a$  зависит от нагрузки, где  $i_a$  — сила якорного тока, а  $r_a$  — сопротивление якорной обмотки, щеток и коллектора. Тогда напряжение на зажимах  $V_s = E_a - i_a \cdot r_a$ , т.е.  $V_s = E_a - e$ , причем увеличение якорного тока, при увеличении нагрузки, вызывает большее падение напряжения на зажимах.

2. С увеличением якорного тока возрастает реакция якоря, встречная составляющая якорного поля ослабляет основной магнитный поток индукторов, что вызывает уменьшение Э.Д.С. в якоре и уменьшение напряжения на зажимах.

3. Уменьшение напряжения на зажимах обмотки возбуждения, вызванное вышеупомянутыми двумя причинами, вызывает падение силы тока в цепи возбуждения и уменьшение Э.Д.С. в якоре.

Следовательно поддержание постоянства напряжения на зажимах генератора, при постоянном числе оборотов в якоре, может быть достигнуто (при изменяющейся нагрузке) только увеличением магнитного потока в такой степени, чтобы Э.Д.С. в якоре повышалась, компенсируя величину падения напряжения. Это достигается применением компаундной обмотки, однако в этом случае внешняя характеристика получается выпуклой и компаунд-машина не отвечает полностью поставленной задачи (иметь постоянство напряжения).

Очень хорошие характеристики имеют динамомашины, снабженные электромагнитным регулятором, действующим на величину силы тока возбуждения, или снабженные специальными добавочными полюсами с последовательной обмоткой и реостатами магнитного потока. Нормальная компаунд-динамомашнина, в случае ее питания от аккумуляторной батареи, может развить чрезмерное число оборотов, опасное для ее механической прочности. Разнос машины происходит вследствие уменьшения магнитного потока в индукторах, вызванного размагничивающим действием серийной обмотки.

Из формулы видно

$$n_a = \frac{V - I_a \cdot r_a}{C\Phi}$$

Число оборотов обратно пропорционально величине магнитного потока. Для предупреждения разноса генератора при работе его в качестве двигателя между генератором и аккумуляторными батареями включают реле (иначе называемое минимальным электромагнитным выключателем), которое не допускает длительное обратное движение тока из батарей в генератор с целью предотвратить разнос, а также с целью получить линзовую внешнюю характеристику, устанавливают дополнительные полюсы с железными перемычками, соединяющими дополнительный полюс с главным (см. рис. 63).

Принцип действия такого генератора мы и рассмотрим. При вращении якоря генератора без нагрузки магнитный поток главных полюсов разветвляется на две части: одна его часть (большая) направлена через якорь и вторая (меньшая) через перемычку направлена в дополнительный полюс (см. рис. 63).

Если начать грузить генератор, то реакция якоря будет стремиться сместить поле в сторону вращения; в то же время нагрузочный ток, проходя через обмотку дополнительных полюсов, создает поле с полярностью одноименной с полюсом, связанным перемычкою. Встречное поле уменьшит величину ответвляемого потока перемычкою и направит его в якорь, тем самым увеличивая поле якоря. Увеличение магнитного потока в якоре вызовет повышение Э. Д. С. в нем настолько, чтобы компенсировать падение напряжения.

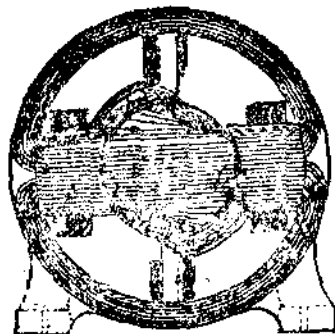


Рис. 63

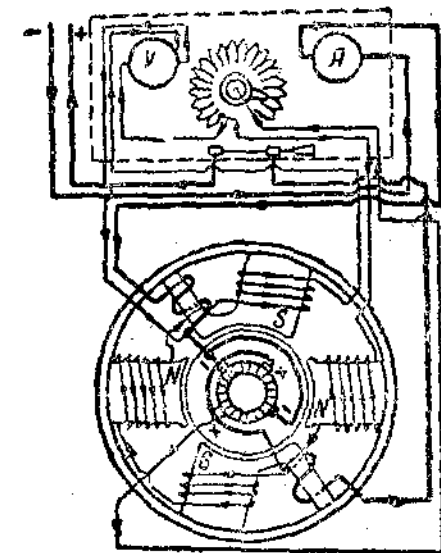


Рис. 64

Выше упоминалось, что подобная конструкция также предохраняет генератор от разноса, в случае работы его в роли двигателя, так как генератор в роли электродвигателя будет иметь поле, смещенное реакцией якоря навстречу вращению, и обратный ток, в обмотках дополнительных полюсов, изменит их полярность, которая допустит ответвление основного потока.

Следовательно, величина основного потока при работе генератора как электродвигателя остается почти такой же, как при ненагруженном генераторе и разнос его не может иметь места. Подобная идея положена в зарядной установке, изготовленной фирмой Хобарт. Монтажная схема зарядной установки фирмы Хобарт представлена на рис. 64.

На схеме изображен четырехполюсный генератор, причем верхний и нижний главные полюсы соединены перемычками с дополнительными полюсами, на которых помещена серийная обмотка. В главных полюсах поле создается шунговой обмоткой возбуждения. На рис. 65 указано распределение магнитных

потоков: а) распределение магнитного потока при холостом ходе генератора, в) при нагруженном. При работе генератора в роли электродвигателя магнитный поток распределяется подобно случаю а). Принцип поддержания постоянства напряжения, борьба с искрением под щетками, а также предупреждение разноса, полностью совпадают с вышеупомянутым объяснением двухполюсной динамомашины. Коэффициент полезного действия подобных установок достигает значений  $\eta \approx 0,5-0,7$ . Зарядные станции могут также оборудоваться и другими преобразователями электрического тока, так называемыми выпрямительными устройствами. Выпрямители тока бывают: а) механические, б) ртутные, в) электролитические, г) купроксные и д) катодные.

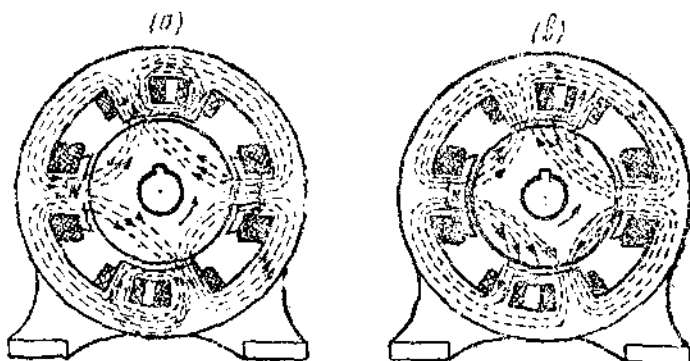


Рис. 65

мительными устройствами. Выпрямители тока бывают: а) механические, б) ртутные, в) электролитические, г) купроксные и д) катодные.

### Механические выпрямители

Механические выпрямители встречаются двух типов: 1) ротативные и 2) вибрационные.

Принцип действия ротативного выпрямителя заключается в следующем: коммутатору дают число оборотов, синхронное с изменением тока в сети, благодаря чему коммутатор включает цепь аккумуляторной батареи только тогда, когда потенциал сети и потенциал батареи одноименны.

Конструктивно выпрямитель выполнен так (см. рис. 66). На вал синхронного двигателя одет коммутатор с двумя полукольцами, изолированными одно от другого. С наружной поверхностью коммутатора соприкасаются четыре щетки, установленные под углом  $90^\circ$ ; две из них, диаметрально противоположные, соединены с сетью переменного тока и две других с аккумуляторной батареей.

На рисунке видно, что такая конструкция коммутатора пе-ключает четыре раза сеть переменного тока при про-ске-ре на  $360^\circ$ ; следовательно, если в сети переменного тока частота  $f = 50$  периодам или 100 переменам в секунду, то необходим

коммутатору произвести 100 переключений в секунду, что достигается при 25 оборотах в секунду коммутатора или

$$n_{\text{ком}} = 25 \cdot 60 = 1500 \text{ об/мин.}$$

Такой коммутатор можно пытать от понижающего трансформатора и выпрямленный ток иметь с низким напряжением. Необходимо помнить, что выпрямленный ток имеет постоянное направление, но переменную величину напряжения и, если выпрямитель, указанный на рис. 66, будет включен в цепь аккумулятора, то в те моменты, когда мгновенное значение напряжения  $e_t = E_m S_a \sin \theta$ , выпрямленного тока окажется меньше Э. Д. С. аккумуляторной батареи — будет происходить разряд последней.

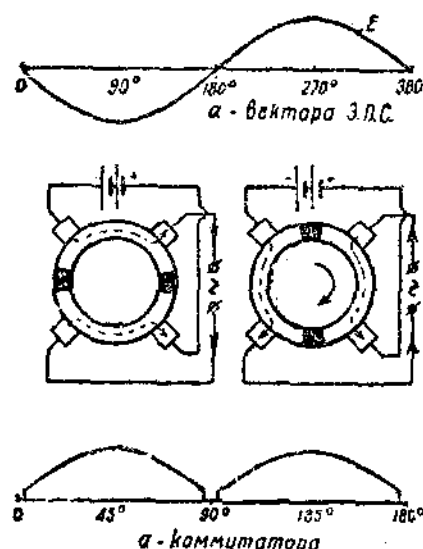


Рис. 66

Для уничтожения этого явления коммутатор делается с большими изолирующими промежутками по дуге между кольцами, а для предупреждения искрения под сбегающей частью щетки, момент прерывания цепи аккумуляторной батареи точно согласуется с моментом разенства Э. Д. С. батареи и мгновенного значения напряжения  $e_t$ .

Выше уже упоминалось, что число оборотов коммутатора должно быть синхронизировано с изменением тока в сети, следствием чего применяется синхронный двигатель, который нуждается в пусковом приспособлении, чтобы довести его число оборотов до синхронизма. Такой двигатель не допускает даже кратковременного прекращения подачи к нему электрической

энергии, так как он быстро выпадает из синхронизма и останавливается. При включении его в сеть, он не может сам притянуть вращательное движение. Эти недостатки препятствуют применению синхронных двигателей, но в последнее время появились комбинированные двигатели, которыепускаются как асинхронные, после чего, благодаря ярко выраженным полюсам ротора и малому тормозному моменту, ротор впадает в синхронизм. Выпрямители с коммутатором, описание которого дано выше, изготавливаются фирмой Крилто (схема их изображена на рис. 67).

В выпрямительную установку входят двигатель с двумя выпрямляющими устройствами, понижающий комбинированный трансформатор и автогенератор; регулировочный реостат, амперметры, вольтметры, контролы для лампа и три магнитно-электрических автомата одностороннего действия. На концах вала дви-

гателя установлены два коммутатора: один обслуживает зарядную установку напряжением 60 вольт, а второй установку напряжением 15-16 вольт и, благодаря имеющемуся выводу от средней точки понижающей вторичной обмотки, можно получить и напряжение в 7,5-8 вольт. Следовательно вторичная обмотка трансформатора обслуживает зарядку параллельно включенных автомобильных батарей, две группы по 6 вольт и одну 12 вольт. Первичная обмотка имеет пять выводов и последовательно с ней включен регулировочный реостат.

Переключатель позволяет производить три переключения в первичной обмотке; более же тонкая регулировка напряжения на зажимах первичной и вторичной обмоток достигается регулирующим реостатом; помимо него еще установлен реостат, роль которого заключается в отдельной регулировке силы

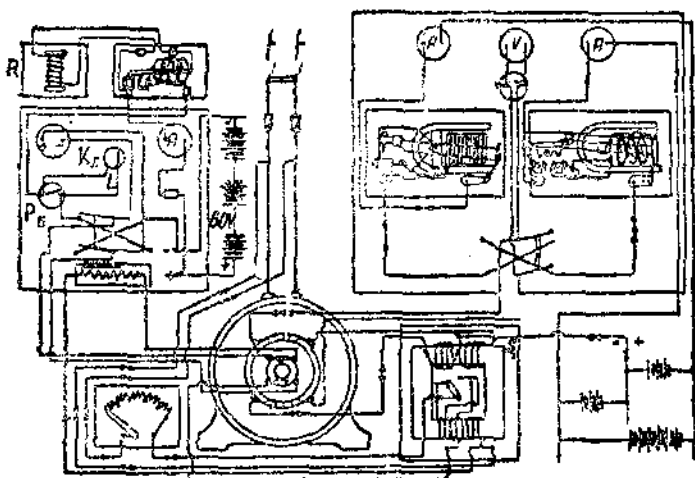


Рис. 67

зарядного тока в высоковольтной (60 вольт) батарее. Регулирование напряжения реостатами сильно влияет на безыскровую работу коммутаторов, почему необходимо регулировку производить до получения безыскровой работы.

В сеть выпрямленного тока введены два магнитно-электрических автомата; принцип действия их заключается в следующем: в поле постоянного магнита помещен железный якорь с тонкой обмоткой, которая при разомкнутых ртутных контактах включена последовательно в цепь толстой обмотки автомата, аккумуляторных батарей и выпрямителя. Если батареи включены на зарядку и выпрямленный ток имеет напряжение ниже Э. Д. С. батарей, то в тонкой обмотке, под действующей разностью Э. Д. С. появится ток, направление которого создаст поле, препятствующее подъему двухплечного рычага.

Повышенное напряжение переключением первичной обмотки трансформатора и реостатом вначале достигается равенство

$E_{ак} = V_b$ , где  $E_{ак}$  — Э. Д. С. аккумуляторной батареи и  $V_b$  — напряжение выпрямленного тока; ток в это время в тонкой обмотке автомата становится равным нулю. При дальнейшем повышении  $V_b$  разность  $V_b$  и  $E_{ак}$  увеличивается и появляется в тонкой обмотке ток, направленный из выпрямителя в батарею. Он намагничивает сердечник автомата и появившееся поле, взаимодействуя с полем постоянного магнита, поднимает правое плечо рычага, тогда левое плечо погружает ножи в ртуть и, по толстой обмотке, проходящий зарядный ток обеспечит замкнутое состояние цепи.

В это время тонкая обмотка замкнута на-коротко и ни каких функций не выполняет. В случае падения зарядной силы тока, магнитное поле, создаваемое толстой обмоткой, ослабевает и под действием собственного веса правое плечо опускается, тем самым размыкая ртутные контакты. На каждом щите установлены двухполюсный перекидной рубильник и указатель значения потенциала (+ или -), пользуясь показаниями которого врубают рубильник в левое или правое гнездо.

На щитке для зарядки батарей с напряжением 60 вольт вольтметр отсутствует; косвенно его роль выполняет контрольная лампа  $K_b$ , которая при выключенном рубильнике  $P_b$  находится в последовательном соединении между выпрямителем, автоматом и батареей. Принцип действия контрольной лампы заключается в следующем: когда  $E_{ак} > V_b$ , ток направлен из батареи в выпрямитель через дополнительное сопротивление  $R$ , тонкую обмотку автомата и контрольную лампу; нить лампы накалена, автомат разомкнут.

Если повысить напряжение  $V_b$  до значения  $V_b = E_{ак}$ , то лампа погаснет, так как ток равен нулю. При дальнейшем повышении напряжения  $V_b$  сила тока будет увеличиваться, нить лампы будет накаливаться все больше и больше, наконец, наступит замыкание автомата; судя по яркости нити, заключают о величине напряжения, после чего замыкают рубильник  $P_b$ , который шунтирует нить накала и, она перестает светиться.

### Вибрационный выпрямитель

Принцип действия его основан на синхронном переключении зажимов сети переменного тока, производимого вибратором. Подобные типы выпрямителей конструктивно очень просты и дешевы, но работа контактов связана с довольно большим искрением, для борьбы с которым вводят параллельно месту разрыва конденсаторы, действие которых ягодно действию конденсаторов в системе зажигания высокого напряжения. Вибрационные выпрямители, у которых постоянный магнит заменен электромагнитом, питаемым от батареи, включенной на заряд, не требуют предварительного определения полюсов, так как аккумуляторная батарея создаст нужную полярность в вибраторе. Такой выпрямитель не может начать работать при разряженной полярностью батареи, что нередко имеет место в щелочных акку-

муляторах. На схеме 68 представлен выпрямитель с постоянным магнитом.

Межу зажимами сети переменного тока и выпрямителем установлен трансформатор с коэффициентом трансформации  $u = \frac{1}{3.2} \div \frac{1}{6.1}$ . Первичная обмотка имеет четыре вывода для включения в сеть переменного тока с напряжением 110 и 220 вольт. Вторичная обмотка имеет три вывода  $a$ ,  $b$ ,  $c$ , причем вывод  $b$  является средней точкой вторичной обмотки. Зажимы  $a$  и  $c$  соединены с электромагнитом, сердечник которого, в целях уменьшения токов Фуко собран из отожженной железной проволоки. Вибратор изготовлен также из мягкого железа и магнитные свойства приобретает от магнитного поля постоянного магнита, укрепленного неподвижно, причем это же поле заставляет вибратор принимать горизонтальное положение.

Принципиально можно было бы вибратор иметь в виде постоянного магнита, но он или обладал бы большой инерционностью (при больших размерах) или же, под действием переменного магнитного поля катушки, быстро терял магнитное свойство (при малых размерах).

На вибраторе расположены контакты 2 и 3. Контакты 1 и 4 укреплены неподвижно. На схеме указан путь тока при одной полуволне синусоиды, причем магнитное поле сердечника, созданное

током, притягивает вибратор, замыкая контакты 1 и 2, тем самым включая аккумуляторную батарею на зарядку. При второй полуволне сердечник выпрямителя перемагничивается; изменяв полярность, вибратор будет отталкиваться, тем самым замыкая контакты 3 и 4, включая батарею вновь на заряд. Выпрямленный ток имеет пульсирующий характер и для сглаживания его рекомендуют вводить реактивную катушку (дронсель), но это сглаживание вызывает большее искрение контактов, так как самоиндукция цепи значительно увеличивается.

На схеме 69 указан вибрационный выпрямитель, у которого вибратор представляет электромагнит, питаемый от батареи. Выше уже указывалось, что подобные выпрямители не требуют предварительного определения полюсов. Рассмотрим пути тока при различных включениях батарей.

Первый случай: к контакту  $d$  присоединен + зажим батареи, а к контакту  $f$  присоединен — зажим.

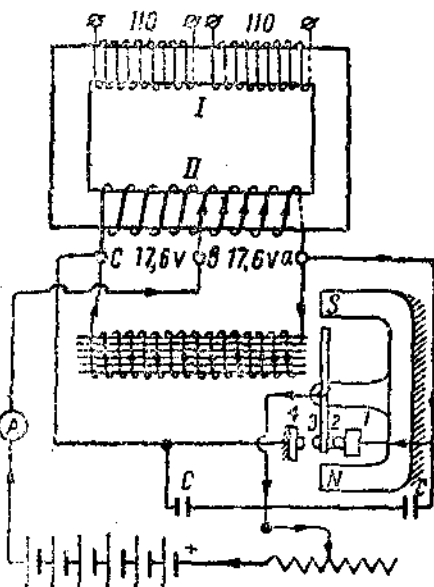


Рис. 68

При этом включении вибратор приобретает полярность, левая часть его  $N$ , а правая  $S$ , если в это время в катушках выпрямителя ток направлен от зажима  $a$  к зажиму  $c$ , то правый сердечник будет иметь снизу  $N$  и левый  $N$ ; разноименные полюсы сердечника и вибратора притянутся, а одноименные оттолкнутся, замкнутся контакты 1 и 2 и в цепи аккумуляторной батареи появится ток, направленный от зажима  $b$  в  $+$  батареи, зажим  $f$  вибратор, контакты 1 и 2 и зажим  $c$ . При следующей полуволне будут замкнуты контакты 3 и 4 и ток примет направление от зажима  $b$  в  $+$  батареи, зажим  $f$ , вибратор контакты 3 и 4 и зажим  $a$ .

Второй случай: к контакту  $d$  присоединен — зажим батареи, а к контакту  $f$  — зажим. При этом включении вибратор приобретает полярность: левая его часть  $S$ , а правая  $N$ . Если в это время в катушках выпрямителя ток направлен от зажима  $a$  к зажиму  $c$ , то правый сердечник будет иметь снизу  $N$  и левый  $N$ . Одноименные полюсы оттолкнутся, а разноименные притянутся, а контакты 3 и 4 замкнутся; в цепи появится ток от зажима  $a$  контакты 3 и 4, вибратор, зажим  $f$  к  $+$  зажим батареи, зажим  $d$  и зажим  $b$ .

Коэффициент полезного действия вибрационных выпрямителей довольно низок и в лучших конструкциях достигает  $\eta = 0,55$ . Подобные выпрямители на большую мощность не строятся и их для зарядных станций автохозяйств не применяют.

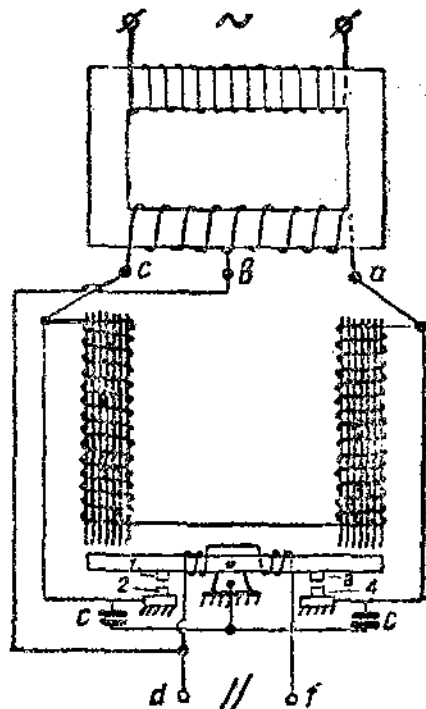


Рис. 69

### Ртутный выпрямитель

Принцип действия ртутного выпрямителя основан на свойстве паров ртути пропускать ток в одном направлении, а именно, от паров ртути к металлу ртути. На рис. 70 указана зарядная установка с ртутным однофазным выпрямителем, состоящая из автотрансформатора  $AT$ , ртутной лампы, дросселя  $DR$ , аккумуляторной батареи и амперметра  $A$ .

Автотрансформатор применяют, когда необходимо иметь напряжение выпрямленного тока или равное напряжению в сети переменного тока или выше его или ниже. В тех случаях, когда заряжаемые батареи включаются не последовательно, а парал-

дельно, применяют понижающий трансформатор с выводом от единой точки вторичной обмотки.

Коэффициент трансформации встречается различный в зависимости от напряжения заряжаемых батарей и способа их включения. Ртутная лампа имеет в стеклянном баллоне два графитовых электрода  $C$  и  $C$  и два ртутных электрода  $e$  и  $f$ , причем зажим  $f$  служит для создания паров ртути. Получение паров ртути в колбе достигается замыканием и размыканием металлической ртути. При наклоне колбы ртуть перетекает от зажима  $f$  к зажиму  $e$ , следствием чего замыкается цепь: зажим  $a$ , сопротивление  $R$ , зажим  $f$ , ртуть, и так как при пуске контакты 1 и 2 разомкнуты, а замкнуты 2 и 3, то пусковой ток пройдет не через батарею аккумуляторов, а через пусковой щунт  $P\ \dot{W}$  и в зажим  $b$ .

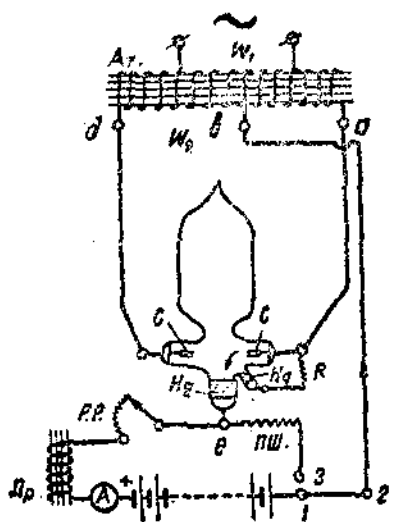


Рис. 70

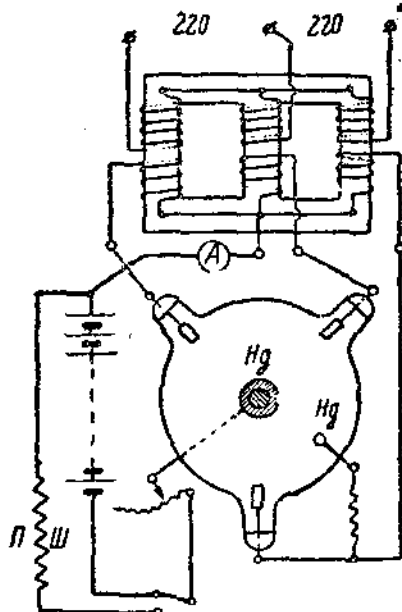


Рис. 71

Во время перетекания ртути струйка ее обрывается, образуется вольтова дуга и ртуть испаряясь наполняет колбу парами, после чего в работу вступают графитовые электроды, которые передают электрический ток через пары, ртуть, зажиму  $e$ . Когда, таким образом, выпрямительпущен, быстрым движением замыкают контакты 1 и 2 и батарея включена на заряд. Дроссель устанавливается в цепь батареи с целью создать свидиг фаз между током и напряжением, присутствие которого (сдвига) необходимо в однофазных ртутных выпрямителях, чтобы не допустить потухания лампы, кроме того дроссель слаживает пульсацию зарядного тока.

На рис. 71 показан ртутный выпрямитель трехфазного тока. Принцип действия его аналогичен вышеописанному, но колба снабжена тремя графитовыми электродами и, так как синусоиды

тока сдвинуты на угол  $120^\circ$ , то потребности в дросселе нет, а также и нет необходимости выпрямления обеих полуволн синусоиды.

Кривая изменения выпрямленного тока в трехфазных ртутных выпрямителях значительно гладче.

Коэффициент полезного действия ртутного выпрямителя в значительной степени зависит от величины напряжения выпрямленного тока (см. табл. 3), которая ярко характеризует его зависимость.

Таблица 3

Напряжение выпрямленного тока в вольтах	10	50	110	125	150	220
К. П. Д. . . . .	0,44	0,67	0,81	0,84	0,86	0,90

На основании вышеизложенного заключаем, что ртутный выпрямитель для зарядных станций менее выгоден в случае параллельного включения батарей на заряд, вследствие низкого коэффициента полезного действия.

### Электролитический выпрямитель

В электролитическом выпрямителе, так называемом содовом, использовано изолирующее свойство окиси алюминия. Устройство его очень просто: в сосуд (большой частью железный или стеклянный) наливают электролит, состоящий из водного раствора двууглекислой соды ( $1 \frac{1}{2} - 3\%$ ) и в него помещают алюминиевую пластинку (химически чистый металл); если сосуд железный или свинцовый, то вторым электродом являются сам сосуд.

Если приготовленный выпрямительный элемент включить последовательно с нагрузкой в сеть переменного тока, то в цепи нагрузки появится постоянный по направлению пульсирующий ток, причем при появлении электрического тока от сосуда к алюминиевой пластинке в электролите, положительные водородные ионы переносятся на поверхность алюминиевой пластинки, вследствие чего верхний слой пластинки, покрытый окисью алюминия, будет раскислен и кислород соединится с водородом. Раскисление поверхности алюминиевой пластинки сделает ее токопроводящей и ток появится во внешней цепи и в электролите.

В тот момент, когда в сети ток изменит направление, на алюминиевой пластинке появится окись алюминия, которая обладает изолирующими свойствами, препятствующими появлению электрического тока. Следовательно такой элемент выпрямляет только полупериод. При желании выпрямить обе полуволны синусоиды схема выпрямителя составляется из четырех элементов (см. рис. 72a), если же имеется понижающий трансформатор со средней точкой, то схема двухполупериодного выпрямления требует два элемента и собирается, как показано на рис. 72b.

Коэффициент полезного действия таких выпрямителей достигает значений 0,35—0,60, причем высший к. п. д. относится к напряжениям 110—220 вольт. Краткое пояснение этого типа выпрямителей дано для знакомства с самым простейшим и легко выполнимым выпрямителем. Данный тип выпрямителей для оборудования зарядных станций автохозяйств не пригоден, так как: 1) во время работы он выделяет большое количество водяного пара, 2) нуждается в циркуляции охлаждающей элементы воды и 3) требует довольно частой замены алюминиевых пластин.

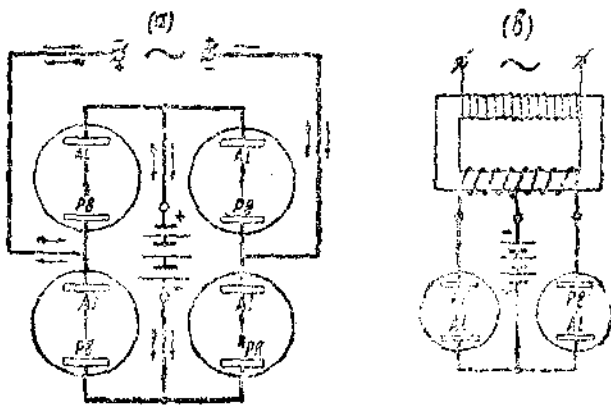


Рис. 72

### Купроксный выпрямитель

За последние три года на рынке (главным образом заграницей, а теперь и у нас в СССР) получают все большее и большее распространение так называемые сухие выпрямители и, по всей вероятности, они получат очень большое распространение. Замечено, что при соприкосновении поверхностей различных металлов получающийся контакт между ними оказывает различное сопротивление прохождению электрического тока, в зависимости от того, какие значения потенциала приложены к этим металлам.

Если взять медную пластинку, предварительно покрытую с одной стороны слоем закиси меди (купрокс) и на слой закиси меди положить свинцовую пластинку, после чего полученный элемент сжать изолированным от пластин болтом или струбциной, и собранный таким образом элемент включить последовательно с нагрузкой в сеть переменного тока, то обнаружим, что такой элемент будет пропускать ток только в одном направлении, а именно от свинца к меди.

В обратном направлении ток имеет незначительную величину. Пользуясь выпрямляющими свойствами этой пары, мы можем получить выпрямленный ток. Практика использования сухих выпрямителей показала, что напряжение, допустимое на один такой элемент, не должно превышать 2—3 вольт и плотность тока 0,05 ампера на см<sup>2</sup>.

Вследствие вышеуказанных причин, число последовательно включенных элементов —  $n$  определяется путем деления необходимого выпрямленного напряжения на два, т. е.  $n = \frac{V_{\text{вт}}}{2}$ . Кроме того необходимо учесть и величину зарядного тока, чтобы не создать чрезмерной плотности его. Для этого, производим следующий подсчет: допустим, что площадь соприкосновения пластин одного элемента —  $s$ , а зарядная сила тока —  $I_s$ , тогда

полная площадь —  $S$  соприкосновения, соединенных параллельно элементов —  $n'$

$$S = \frac{I_s}{0,05} \quad n' = \frac{S}{s}$$

При работе выпрямителя часть электрической энергии расходуется на джоулеево тепло, и допустимое повышение температуры элементов максимум  $+60^\circ\text{C}$ .

К. п. д. выпрямителя зависит от мощности установки, изменяясь от 0,5 до 0,65. На рис. 73 представлена схема питания выпрямителя через понижающий трансформатор и, так как напряжение выпрямленного тока 8 вольт, то в зарядной цепи включено по  $n = 4$  последовательно включенных элементов. Параллельное включение  $n' = 3$  звеньев вызвано необходимостью получить зарядный ток большой силы при элементах с малой площадью.

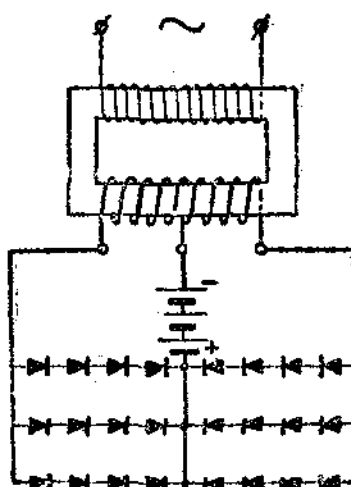


Рис. 73

### Катодные выпрямители

В катодных выпрямителях функции выпрямительного элемента выполняет двухэлектродная лампа, принцип действия которой и рассмотрим.

Катодная двухэлектродная лампа представляет колбу с большим разряжением, в которую заключены нить накала и металлическая пластина (анод) (см. рис. 74).

Из физики известно, что нагретое тело излучает электроны и чем выше температура тела (в данном случае нити), тем большее количество электронов излучается нитью. В том случае когда к пластинке присоединен — аккумуляторной батареи, а к нити накала — зажим ее, количество электронов в пространстве остается постоянным, так как все они имеют одинаковый заряд и действуют отталкивающим образом друг от друга (закон Кулона), тем самым препятствуя дальнейшему излучению электронов нитью накала.

Если к пластинке присоединен + аккумуляторной батареи а к нити накала — аккумуляторной батареи, то электроны,

получаемые нитью под действием электрического поля, будут переноситься на пластинку и в цепи появится ток. Его направление следующее: + аккумуляторной батареи, гальванометр, анод, нить накала и — зажим батареи.

Осию заключаем, что катодная лампа пропускает ток только в одном направлении, а следовательно, подводя к аноду напряжение, переменное по направлению и величине, мы получим в цепи анода постоянный по направлению ток.

Используя выпрямительные свойства этой лампы, мы можем собрать зарядную установку, схема которой показана на рис. 75. На схеме представлена лампа, снабженная двумя анодами, необходимыми для двухполупериодного

Гальванометр

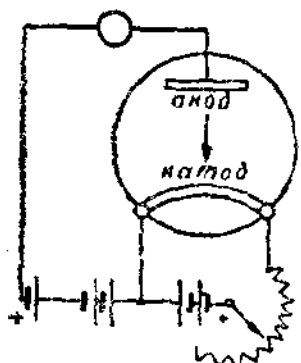


Рис. 74

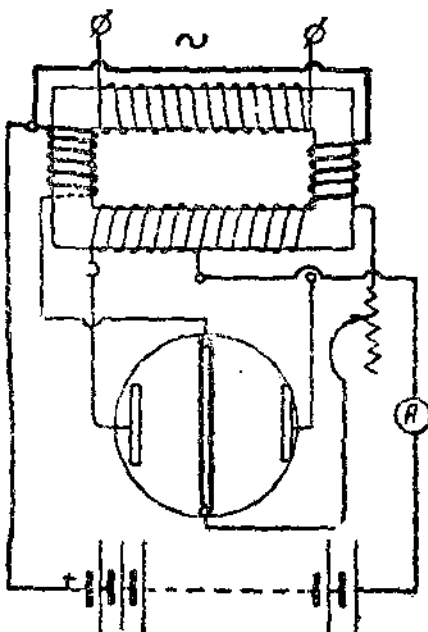


Рис. 75

выпрямления. Коэффициент полезного действия зарядных установок катодными лампами зависит от величины напряжения выпрямленного тока; его значение указано в таблице 4.

Таблица 4

Напряжение выпрямленного тока в вольтах	30	60	90	120	150
К.П.Д. . . . .	0,52	0,64	0,71	0,75	0,77

### РЕЗЮМЕ

После краткого рассмотрения различных типов выпрямителей проведем сравнительные оценки их с точки зрения пригодности для зарядки аккумуляторных батарей. Все выпрямители можно разбить на три группы по пригодности для целей зарядных установок гаражных хозяйств:

1. а) Умформер, б) синхронный, ротативный выпрямитель, в) купроксовые выпрямители.
2. а) Ртутные выпрямители, б) катодные выпрямители.
3. а) Выбрационные выпрямители, б) электролитический выпрямитель.

В первой группе указаны выпрямители, которые позволяют производить зарядку, включая батареи параллельно, и, в то же время, имеют высокий коэффициент полезного действия. В этой группе следует предпочесть купроксовые выпрямители ротативным, так как они не имеют вращающихся деталей, не требуют замены изношенных деталей и не требуют за собой ухода.

Во второй группе указаны выпрямители, применение которых при низких напряжениях выпрямленного тока (то, что имеет место при параллельном включении батареи) дает низкий коэффициент полезного действия. Подобные выпрямители требуют замены ртутных колб и катодных ламп примерно через 500—1000 часов работы. Эксплуатация их дороже выпрямителей первой группы.

В третьей группе указаны выпрямители, которые промышленного указания не имеют и применяются в лабораторных условиях и индивидуальных установках, главным образом любительских.

### Контрольные вопросы

1. Объясните, на основании химического процесса, необходимость полноты заряда аккумуляторных батарей в случае работы их при температурах ниже 0° С.
2. В чем заключается кадмиевый способ испытания кислотных аккумуляторных батарей.
3. Дайте описание требований, предъявляемых к составным частям электролита и правила его приготовления для свинцовой аккумуляторной батареи.
4. Какие признаки являются в первом покачивании по мильного протекания процесса заряда и что характеризует его окончание.
5. Укажите основные требования к выбору места установки аккумуляторной батареи на автомобиле и тракторе.
6. Отчего зависит емкость аккумуляторной батареи и как ее можно определить.
7. В чем отличие стартерных аккумуляторных батарей от осветительных и какие требования предъявляются к конструкции их.
8. Какие основные требования предъявляют к зарядным установкам.
9. Какие способы поддержания состояния напряжения в зажимах генератора применяют на зарядных умформерах.
10. Объясните действие механизма ежесекундного вспомогательного выпрямителя.
11. Объясните действие механического выключателя выпрямителя.
12. Объясните действие ртутного выпрямителя.
13. Объясните действие электролитического выпрямителя.
14. Объясните действие купроксового выпрямителя.
15. Объясните действие катодного выпрямителя.

## ОТДЕЛ ЧЕТВЕРТЫЙ

### ДИНАМОМАШИНЫ, РЕГУЛЯТОРЫ ПОСТОЯНСТВА НАПРЯЖЕНИЯ И ОГРАНИЧИТЕЛИ МАКСИМАЛЬНОЙ СИЛЫ ТОКА

#### УСЛОВИЯ РАБОТЫ ДИНАМОМАШИН НА АВТОТРАНСПОРТЕ

Главной особенностью является непостоянство числа оборотов двигателя, привод от которого получает динамомашину. Предел изменения числа оборотов вала двигателя очень велик и изменяется от минимума, который имеем при движении автомобиля прямой передаче при скорости 25 км в час и максимума при скорости 90—130 км в час.

Изменение напряжения вредно отзывается почти на всех потребителях электрической энергии. Зависимость напряжения от скорости вращения вала двигателя не позволяет применять такие динамомашины и требует введения в их конструкцию редукторов и приспособлений, позволяющих иметь напряжение постоянным. Однако, величина напряжения на зажимах, как уже казывалось в отделе преобразователей, зависит от величины нагрузки динамомашины; следовательно, необходимо снабжать генератор приспособлением, недопускающим изменения напряжения при изменении нагрузки.

Применение приспособлений, описание которых дано ранее, становится невозможным, так как габариты динамомашины должны быть минимальны из условий экономии места и стоимости генератора. Последние два условия заставляют использовать материал на предельных нагрузках, как напр., повысить удельную плотность тока в обмотках.

Условия эксплоатации также требуют полной герметичности генератора, что лишает возможности вентилировать внутреннюю часть его. Все перечисленные условия диктуют нормы нагрева, которые значительно превышают нормы, допускаемые для стационарных генераторов; все это не может не повлиять на коэффициент полезного действия, который очень низок  $\eta \approx 0,35 - 0,45$ , так как мощность динамомашины ничтожно мала по отношению к мощности двигателя, то коэффициент полезного действия большого значения не имеет.

#### МАГНИТНО-ЭЛЕКТРИЧЕСКИЕ МАШИНЫ

Одним из простейших генераторов, применяемых на тракторах, изредка на мотоциклах и часто на велосипедах, является магнитно-электрическая машина, в которой магнитный поток создается постоянными магнитами. Якорь такого генератора имеет всего одну секцию, выполненную из проводника круглого.

или прямоугольного сечения. Подобный генератор коллектором, т. е. выпрямляющим устройством, не снабжается и его обмотка выведена на два зажима, служащие для включения внешней цепи. Обмотка генератора может быть вращающейся и неподвижной.

Причинально подобные типы генераторов переменного тока отличаются от магнето высокого напряжения тем, что отсутствует прерыватель в первичной цепи, отсутствует конденсатор, отсутствует вторичная обмотка с токоприемным и токораспределяющим устройствами высокого напряжения и также первичная обмотка изготовлена из проволоки большего сечения.

Фирма Симмс изготавливает генераторы с вращающейся обмоткой, расположенной на якоре двутаврового сечения; выводы ее соединены с двумя контактными кольцами, которые через

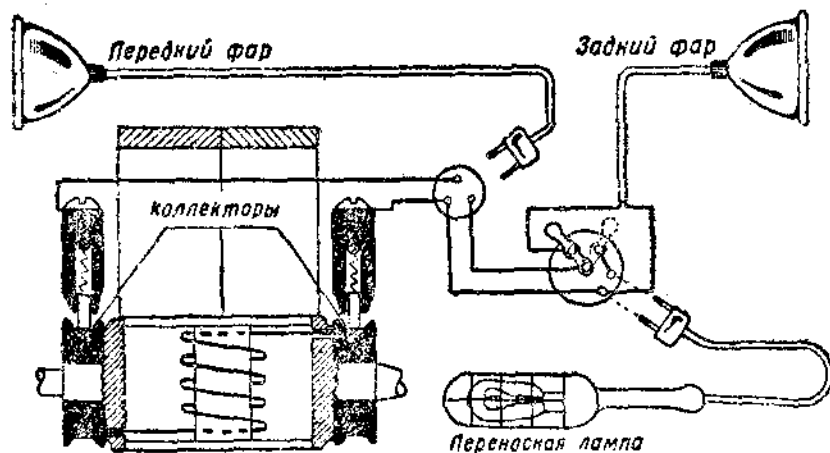


Рис. 76

щетки соединяют обмотку с внешней сетью. Система проводки освещения выполнена двухпроводной с целью иметь минимальное падение напряжения. На рис. 76 изображены генератор и внешняя сеть. Выше указывалось, что подобные генераторы встречаются также с неподвижной обмоткой. Образцом может служить генератор переменного тока фирмы К. В.

### Генератор переменного тока фирмы К. В.

Конструктивно он выполнен так: неподвижная обмотка изготовлена из проводника прямоугольного сечения, который в виде ленты намотан на латунный каркас катушки, через центр которой проходит железный вращающийся сердечник, заканчивающийся двумя симметрично расположенным под углом 90°, железными утолщениями. Цель последних направить магнитный поток, созданный постоянными магнитами, через сердечник катушки.

При вращении ротора величина магнитного потока в сердечнике изменяется, вследствие чего индуцируется Э. Д. С. в об-

мотке неподвижной катушки, соединенной с внешней цепью. На рис. 77а представлен принцип получения переменного магнитного потока в генераторе К. В. Как видно из схематического изображения, величина магнитного потока в сердечнике достиг-

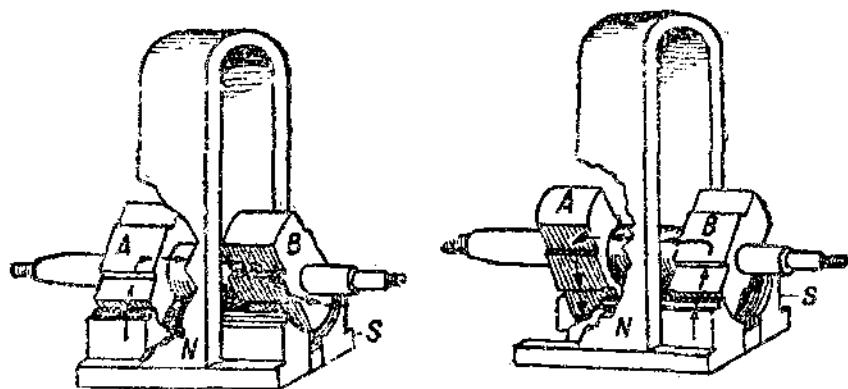


Рис. 77а

тает 4 раза максимального значения за один оборот ротора. Генератор, изготовленный фирмой К. В., представляет использование деталей магнето высокого напряжения, ранее изготавливавшегося этой фирмой и устанавливаемого на тракторе Могул. На рис. 77б представлены ротор и неподвижная катушка.

При рассмотрении генераторов переменного тока нами не обнаружено каких-либо приспособлений для поддержания постоянства напряжения, которое все же в сети остается постоянным. Это можно объяснить следующим: при увеличении числа оборотов ротора частота изменения поля возрастает прямо пропорционально числу оборотов и так как

$$E = CfW\Phi_{\max} 10^{-8} \text{ вольт},$$

где

$E$  — Э. Д. С. в обмотке,

$f$  — частота,

$W$  — число витков,

$\Phi_{\max}$  — максимальный магнитный поток в якоре.

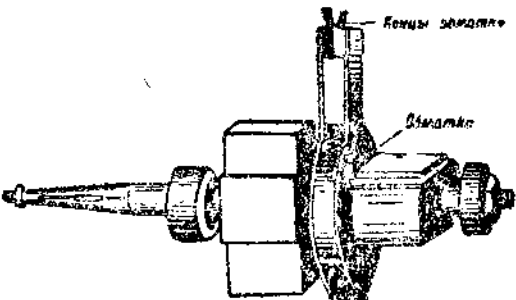


Рис. 77б.

Можно сказать, что индукционная электродвигущая сила также увеличивается пропорционально числу оборотов, но нам известно, что сила тока в цепи зависит не только от приложенного напряжения, но и сопротивления. Считая, что т.к. в цепи вызван Э. Д. С., которая равна сумме падений напряжения

в лампах накаливания, в проводке и в обмотках нашего генератора, то суммарное сопротивление цепи генератора и внешней нагрузки при увеличении числа оборотов ротора не может оставаться постоянным, так индуктивное сопротивление  $X_L = \omega L$  также возрастает, а активное почти не изменяется и представляет очень малую величину по сравнению с индуктивным.

Увеличение индуктированной Э.Д.С. будет прямо пропорционально числу оборотов ротора, а так как и сопротивление цепи возрастает в этой же пропорции, то сила тока в нити ламп останется постоянной при различном числе оборотов в пределах, от определенного минимума до какого-то максимума.

Переход границ этого предела вызывает в обоих случаях уменьшение силы тока; при переходе за минимум в сторону уменьшения числа оборотов, уменьшение силы тока в цепи будет вызвано чрезмерным уменьшением Э.Д.С., величина которой зависит от частоты. При переходе за максимум, уменьшение силы тока вызывается невозможностью восстановления магнитного потока, который будет  $\Phi'_{\max} < \Phi_{\max}$ . Вышеописанные генераторы способны обслуживать световую нагрузку только с лампами определенной мощности.

Применение ламп меньшей мощности вызывает перекал их нитей, а нередко и их разрушение. Применение ламп большей мощности вызывает недокал нитей, а следовательно, и малый световой поток. Объясняется это тем, что реакция якоря уменьшается, при лампах меньшей мощности, напряжение повышается и лампы перегорают.

Подобные генераторы на автомобилях не нашли применения вследствие невозможности использовать их для зарядки аккумулятора, а также и потому, что предел изменения числа оборотов автомобильного двигателя значительно шире, чем тракторного двигателя.

#### ДИНАМОМАШИНЫ ПОСТОЯННОГО ТОКА И СПОСОБ АВТОМАТИЧЕСКОГО ПОДДЕРЖАНИЯ ПОСТОЯНСТВА НАПРЯЖЕНИЯ

Первоначально конструкторская мысль была направлена на то, чтобы приспособить стационарный тип динамомашин к условиям автотранспорта.

1. Это выражено в конструкции фрикционного привода, установка которого преследовала получение такого числа оборотов якоря динамомашины, при котором напряжение на зажимах оставалось бы постоянным при переменном числе оборотов двигателя. Принципиальная схема подобного устройства изображена на рис. 78.

Из схемы видно что фрикционный привод осуществлен соприкосновением шкива с поверхностью маховика, и так как сила сцепления зависит от коэффициента трения (для повышения которого шкив обтягивается кожей) и нормального давления, то можно, изменения величину нормального давления, изменять число обо-

отов якоря. Если эти функции возложить на центробежный регулятор, связанный системой рычагов с пружиной (как указано на схеме), то увеличение оборотов маховика будет вызывать перемещение грузиков регулятора и уменьшение натяжения пружины; это, в свою очередь, вызовет буксование между маховиком и кожанным шкивом и установится какое-то число оборотов, при котором напряжение примет прежнее значение.

Подобная идея поддержания постоянства на ряжения имеет четыре существенных недостатка: 1) Действие центробежного регулятора происходит с некоторым запаздыванием в связи с инерционностью регулятора и, следовательно, изменения напряжения будут иметь место. 2) Наличие шарнирных соединений, подверженных износу, способствует появлению мертвого хода, что значительно ухудшает работу регулятора. 3) Коэффициент трения зависит от состояния поверхностей и попадание на них масла или воды, в самом незначительном количестве, нарушают нормальную работу фрикционного привода. Увеличение нагрузки вызывает увеличение падения напряжения в якоре и напряжение на зажимах уменьшается.

Все дальнейшие стремления конструкторов были направлены к получению постоянства напряжения на зажимах, при различной нагрузке, и различном числе оборотов якоря, имея жесткую связь последнего с двигателем. Появились различные способы регулирования, которые и рассмотрим.

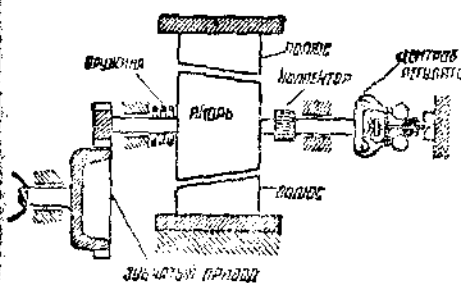


Рис. 79

На рис. 79 указан способ получения постоянства напряжения при различном числе оборотов якоря, но не учитывающий изменения нагрузки. Постоянное напряжение на зажимах генератора достигается действием центробежного регулятора на осевое перемещение якоря, благодаря конической форме якоря и полусных накопечников, при осевом перемещении, увеличивается

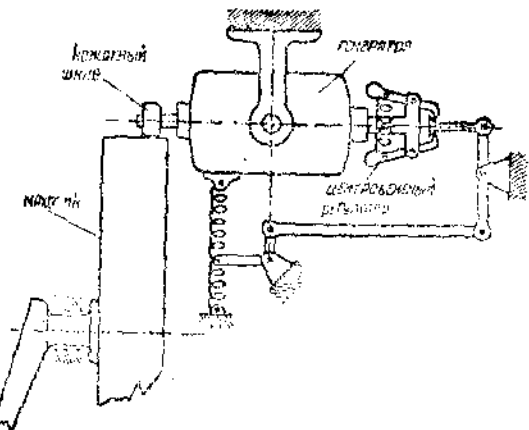


Рис. 78

2. На рис. 79 указан способ получения постоянства напряжения при различном числе оборотов якоря, но не учитывающий изменения нагрузки. Постоянное напряжение на зажимах генератора достигается действием центробежного регулятора на осевое перемещение якоря, благодаря конической форме якоря и полусных накопечников, при осевом перемещении, увеличивается

междужелезное пространство, сопротивление магнитной цепи увеличивается, магнитный поток уменьшается, вызывая уменьшение индуктированной Э. Д. С. в обмотке якоря, а следовательно, и уменьшение напряжения на зажимах. Подобный способ имеет недостатки, связанные с наличием центробежного регулятора и абсолютно не реагирует на изменение нагрузки.

3. На рис. 80 представлен способ регулирования напряжения с помощью магнитного шунта, положение которого изменяется под действием подъемной силы электромагнита. Принцип поддержания постоянства напряжения при помощи магнитного шунта заключается в следующем: когда напряжение на зажимах шунтовой машины повышается, вследствие увеличения числа обо-

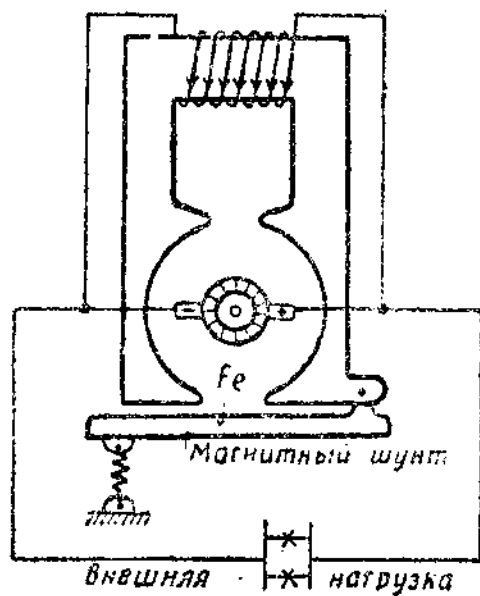


Рис. 80

бания шунтирующей пластинки происходит до момента полного уравновешивания, т. е. когда индуктированная Э. Д. С. в обмотках якоря установит нормальное напряжение на зажимах. Действие подобного регулятора действительно в небольших пределах изменения числа оборотов в якоре.

4. Для поддержания постоянства напряжения применяют противокомпаундную обмотку, через которую проходит ток, поступающий в сеть (см. рис. 81). Принцип действия заключается в следующем: если увеличить число обоготов якоря, то индуктированная Э. Д. С. в обмотках его увеличится и так как суммарное сопротивление внешней и внутренней цепи не изменяет я, то сила тока повысится, размагничивающее действие последовательной обмотки усилятся и магнитный поток в индукторах уменьшится, уменьшится и индуктированная Э. Д. С. в обмотке,

оборотов якоря или вследствие разгрузки генератора, сила тока в шунтовой обмотке возбуждения также возрастает, увеличение магнитного потока вызывает увеличение подъемной силы электромагнита, преодолевая упругость пружины, притягивает железный якорек; часть магнитного потока, поступавшего ранее в якорь из индукторов, отводится через шунт, и так как в якоре величина магнитного потока уменьшилась, то уменьшился индуктированная Э. Д. С. в его обмотках и напряжение на зажимах понизится.

Сила тока возбуждения уменьшится и шунт магнитопровода, под действием пружины, будет удален от индуктора; эти колебания шунтирующей пластинки происходят до момента полного уравновешивания, т. е. когда индуктированная Э. Д. С. в обмотках якоря установит нормальное напряжение на зажимах. Действие подобного регулятора действительно в небольших пределах изменения числа оборотов в якоре.

4. Для поддержания постоянства напряжения применяют противокомпаундную обмотку, через которую проходит ток, поступающий в сеть (см. рис. 81). Принцип действия заключается в следующем: если увеличить число обоготов якоря, то индуктированная Э. Д. С. в обмотках его увеличится и так как суммарное сопротивление внешней и внутренней цепи не изменяет я, то сила тока повысится, размагничивающее действие последовательной обмотки усилятся и магнитный поток в индукторах уменьшится, уменьшится и индуктированная Э. Д. С. в обмотке,

ра и напряжение на зажимах понизится до прежнего значения.

Данный способ регулирования постоянства напряжения применен только при постоянном сопротивлении внешней цепи, т. е.

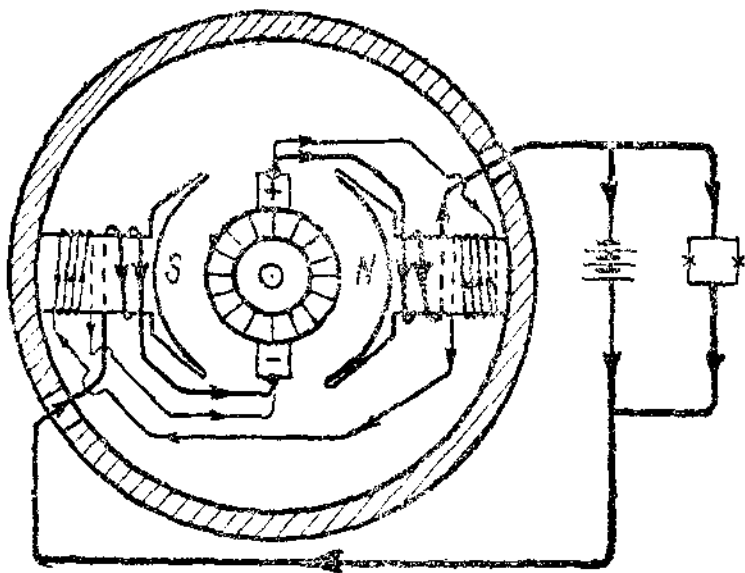


Рис. 81

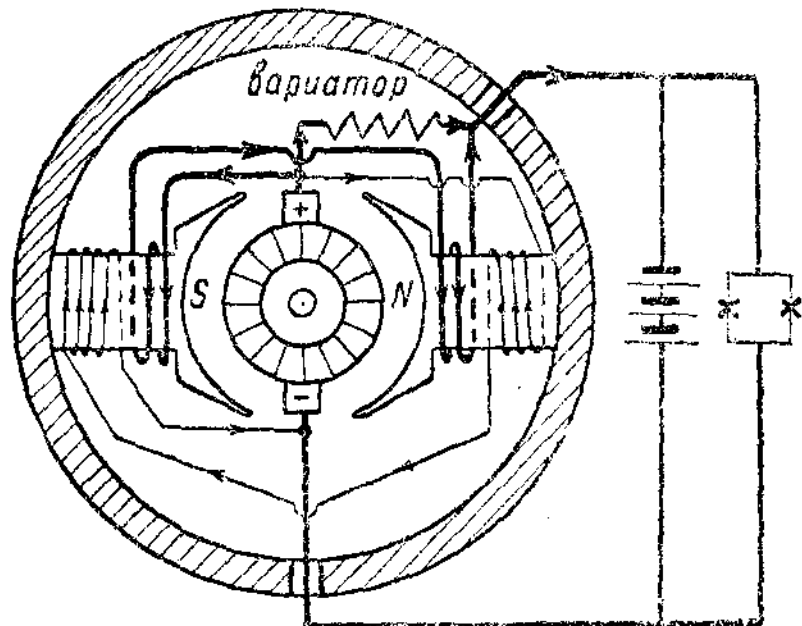


Рис. 82

не изменяющейся нагрузки. В целях получения постоянства напряжения, при переменном числе оборотов, и переменной нагрузки применяют шунтирование последовательной обмотки вариатором, принцип действия которого изложен в отделе "Зажигание"; железное сопротивление отличается тем, что оно помещено в инертный газ (азот) с целью предупредить быстрого окисления.

На рис. 82 указана динамомашинка, снабженная вариатором. При малых нагрузках температура вариатора низкая, проводимость его большая и в последовательной обмотке сила ответвленного тока пачтожна. При большой нагрузке температура вариатора повышается, проводимость его уменьшается и сила тока, ответвленная в последовательную обмотку, увеличивается.

### Электромагнитные вибрационные регуляторы постоянства напряжения

Электромагнитные регуляторы постоянства напряжения можно разделить по способу регулирования на три группы:

Одноступенчатое регулирование;

Двухступенчатое регулирование;

Трехступенчатое регулирование.

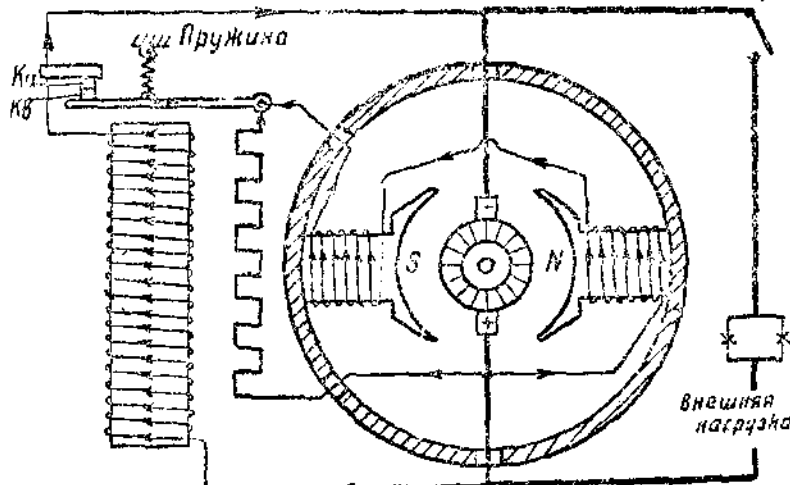


Рис. 83

**Одноступенчатое регулирование (первый тип).** На рис. 83 изображена шунтовая динамомашинка с одноступенным регулятором. Если изменить число оборотов якоря или изменить нагрузку, то регулятор, путем частых включений и выключений обмотки возбуждения, установит в ней силу тока такой величины, при которой напряжение на зажимах генератора будет постоянным. Известно, что сила тока в обмотке, имеющей постоянное сопротивление, зависит от приложенного к ее зажимам напряжения. На рисунке видно, что обмотка регулятора включена параллельно

зажимам генератора и внешней цепи; если повысить число оборотов якоря или разгрузить его от внешней нагрузки, то напряжение на зажимах повысится в первом случае от увеличения Э. С., индуцированной в его обмотке, и во втором случае от уменьшения падения напряжения в ней. Повышение напряжения на зажимах динамомашины, а следовательно, и на зажимах катушки регулятора вызовет увеличение силы тока в обмотке регулятора и увеличение напряженности поля сердечника, а следовательно и подъемной силы электромагнита. Сила преодолеет упругость пружины вибратора, произведет замыкание контактов  $K_a$  и  $K_b$  и отключит цепь возбуждения источника. Сила тока возбуждения будет уменьшаться.

Магнитный поток индукторов также будет уменьшаться при своем изменении индуцирует Э. Д. С. самоиндукции, направленную в ту же сторону, что и убывающий ток. Появление экстратока размыкания, между контактами вибратора, крайне желательно и в целях избежания искры к зажимам обмотки возбуждения приключают сопротивление  $R$  (называемое искровительной обмоткой). В связи с уменьшением магнитного тока, величина Э. Д. С., индуцированная в обмотках, также уменьшится и вызовет уменьшение напряжения на зажимах; на тока в обмотке регулятора уменьшившись, напряженность поля сердечника ослабнет, пружина оттянет вибратор и замкнет контакты  $K_a$  и  $K_b$ .

В цепи индукторов сила тока будет увеличиваться, и увеличивающееся магнитное поле индукторов вновь вызовет ток самоиндукции, но направленный на встречу намагничивающему току. Как видно, при замыкании и размыкании контактов токи самоиндукции препятствуют резким изменениям поля и, если вибратор будет часто прерывать и замыкать цепь, то напряжение на зажимах можно получить достаточно постоянным по величине и его мгновенные изменения могут быть обнаружены только осциллографом.

При дальнейшем увеличении числа оборотов якоря, или разгрузке генератора, число прерываний остается почти тем же, но характер каждого прерывания меняется, т. е. контакты длительнее находятся в разомкнутом состоянии, чем в замкнутом, при этом сила тока возбуждения становится все меньше и меньше. Это хорошо видно на осциллограмме (рис. 84).

Кривая  $a - b$  представляет характер увеличения силы тока возбуждения при замыкании цепи возбуждения, в зависимости от времени  $t$ . Кривая  $c - d$  представляет характер уменьшения силы тока при размыкании цепи возбуждения. Обе кривые имеют логий вид вследствие большого коэффициента самоиндукции, который, как известно, зависит от числа витков  $W^2$ , т. е.

$$L = \frac{0.4 \pi W^2 Q}{l} \mu$$

Ломаная линия  $e - f$ , записанная осциллографом, представляет изменение силы тока возбуждения, при различном числе оборотов якоря, или различной нагрузке.

Линия  $K_1$  представляет осциллограмму напряжения. Видно, что на каждом участке, полученному при определенном числе оборотов, взято среднее значение силы тока возбуждения, то есть убедиться, что с увеличением числа оборотов якоря, или уменьшением нагрузки, среднее значение силы тока возбуждения уменьшается. Характер длительности замыкания и размыкания показан штриховкой: на участке 1 малое число оборотов и на участке 2 большое число оборотов.

Из осциллограммы напряжения видно, что чем больше вибратор совершил колебаний в секунду, тем меньшую амплитуду будет иметь кривая. Увеличение числа колебаний достигается уменьшением веса вибратора, а также помещением искрогасителя.

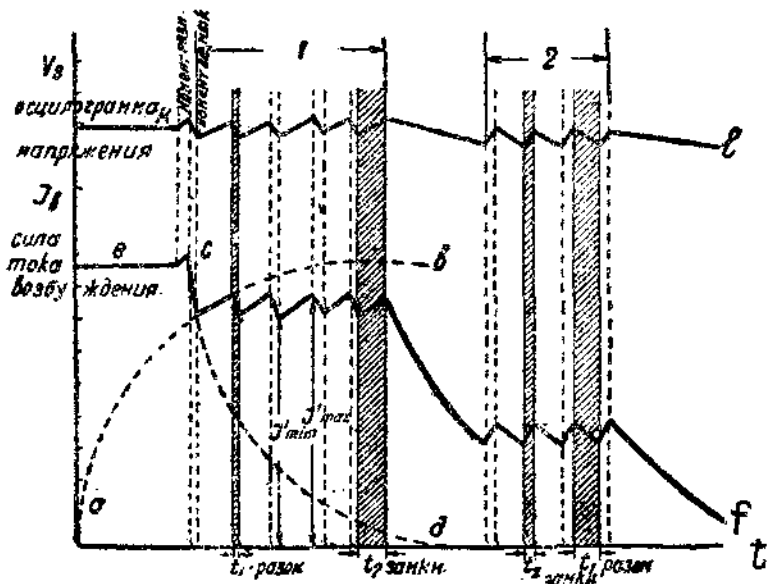


Рис. 84

тельной обмотки на сердечник регулятора, используя экстраток размыкания для размагничивания сердечника. На рис. 85 представлен подобный тип регулятора напряжения. Стрелки на обмотках возбуждения и сопротивления  $R$  показывают направление экстратока размыкания.

Величина сопротивления искрогасительной обмотки не должна быть чрезмерно мала, так как при замкнутом состоянии контактов  $K_a$  и  $K_b$  эта обмотка включена параллельно зажимам динамомашины, и, при малом ее сопротивлении, через нее будет направлен ток большой силы. Это вызовет сильный нагрев ее, а также снизит коэффициент полезного действия динамомашины. Изготовление искрогасительной обмотки с большим сопротивлением также невыгодно, так как она не выполняет основной функции — отводить экстраток размыкания.

торой тип одноступенного регулятора постоянства напряжения. На рис. 86 изображена принципиальная схема одноступенного регулятора постоянства напряжения. Принцип действия базируется на следующем: при увеличении числа оборотов якоря динамомашины, или уменьшении нагрузки, напряжение на зажимах генератора увеличивается, сила тока в обмотке сердечника регулятора увеличивается, и напряженность магнитного поля сердечника настолько возрастает, что вибратор притягивается к контактам  $K_1$ ,  $K_2$ , разомкнутся, вследствие чего в цепь обмотки возбуждения будет включено высокоомное дополнительное сопротивление  $R_g$ .

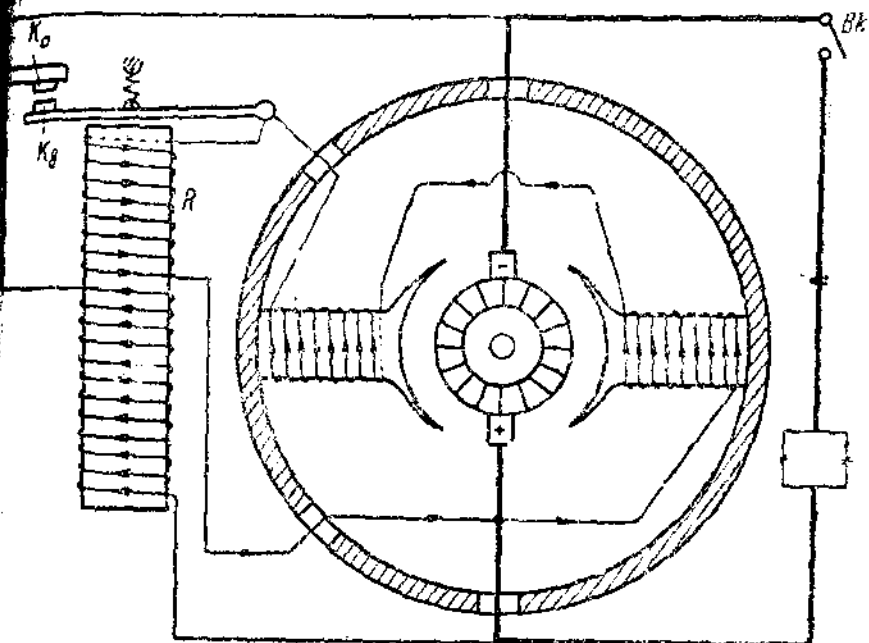


Рис. 85

тальное сопротивление  $R_g$  и сила тока в обмотке индукторов уменьшится в  $10 \div 15$  раз (в зависимости от величины сопротивления).

В связи с уменьшением силы тока возбуждения индукторов уменьшится магнитный поток при изменении величины которого появится Э.Д.С. самоиндукции, под действием которой появится экстраток, напрвленный из обмоток возбуждения в дополнительное сопротивление — щетку, коллектор, обмотку якоря, коллектор, + щетку и обмотку возбуждения. Уменьшение магнитного потока в индукторах вызовет уменьшение Э.Д.С., индуцированной в обмотке якоря и уменьшение напряжения на зажимах динамомашины и обмотке регулятора, отчего сила тока в последней уменьшится; напряженность магнитного поля сердечника понизится и под действием пружины, выбрасывая

замкнет контакты  $K_1$ ,  $K_2$ . При замкнутых контактах сопротивление  $R_g$  будет зашунтировано и сила тока возбуждения вновь увеличится. Весь процесс будет повторяться и вибрация будет колебаться в пределах контакта  $K_1$ .

При данном способе регулирования постоянства напряжения необходимо отметить следующее:

1. Если величина дополнительного сопротивления  $R_g$  мала, диапазон изменения числа оборотов якоря, при котором можно получить напряжение постоянной величины, будет мал и для автомобильной динамомашины такой регулятор окажется неприменимым.

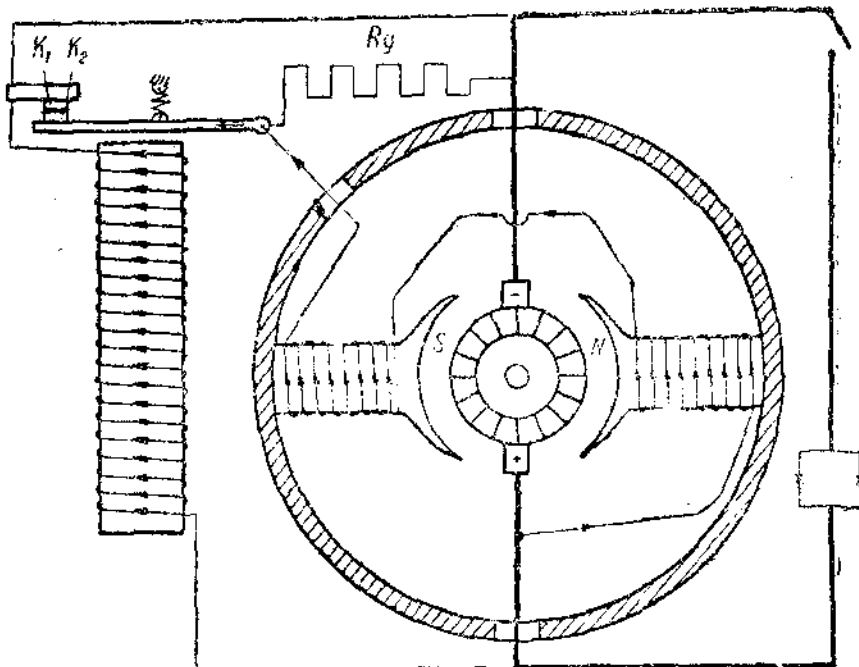


Рис. 86

2. При большой величине дополнительного сопротивления диапазон расширяется, но искрение между контактами становится более значительным и приводит к довольно быстрому разрушению их поверхности.

3. Так как частью пути для экстрактора являются щетки, коллектор и обмотки якоря, то первый тип одноступенного регулятора постоянства напряжения имеет в этом отношении преимущества.

Для уменьшения значения силы тока при размыкании, а следовательно, и большей сохранности контактов, прибегают к двухступенчатому регулятору постоянства напряжения, который позволяет иметь в большом диапазоне изменения числа оборотов почти неизменяющееся напряжение на зажимах.

**Двухступенное регулирование.** На рис. 87 представлена шунтируемая динамомашиной с двухступенным регулятором постоянства напряжения. В отличие от предыдущего регулятора, здесь установлены две пары контактов. Действие такого регулятора заключается в следующем: при малом числе оборотов якоря, при его большой нагрузке, напряжение на зажимах генератора и обмотке регулятора равно или меньше номинального напряжения, сила тока в обмотке регулятора настолько мала, что не может создать достаточной напряженности магнитного поля, способной притянуть вибратор.

Контакты  $K_1$  и  $K_2$  замкнуты, ток возбуждения имеет максимальное значение, равное  $I_n = \frac{V_{\text{заж.}}}{r_{\text{возб.}}}$  и магнитный поток в индук-

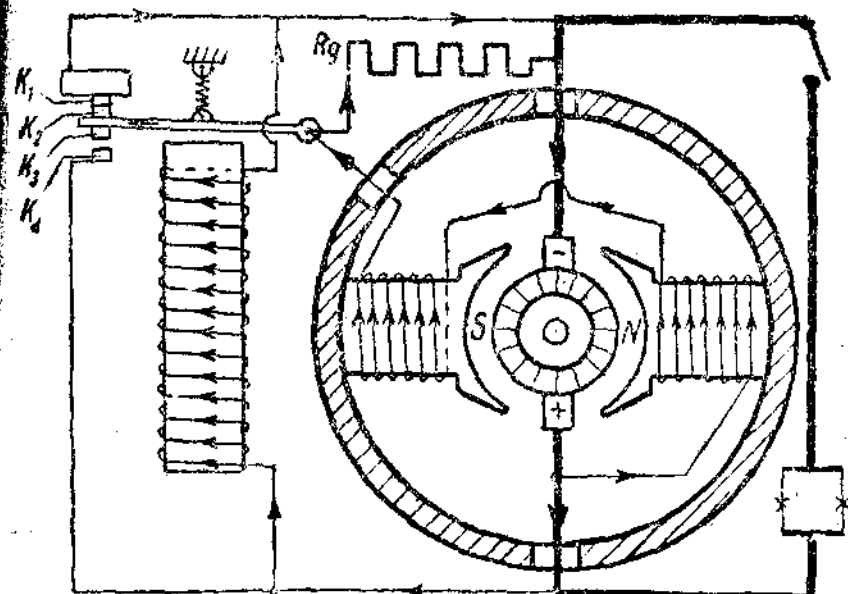


Рис. 87

торах максимальный. При повышении числа оборотов или уменьшении нагрузки напряжение на зажимах возрастет, сила тока в обмотке регулятора увеличивается, напряженность магнитного сердечника также возрастает и вибратор размыкает контакты  $K_1$  и  $K_2$ , при этом в цепь возбуждения вводится дополнительное сопротивление  $R_g$ ; сила тока возбуждения уменьшается, вызывая уменьшение электродвижущей силы в обмотках якоря и напряжение на зажимах падает. Падение напряжения на зажимах обмотки регулятора вызывает уменьшение силы тока в ней и уменьшение напряженности магнитного поля сердечника, вибратор под действием пружины замыкает контакты  $K_1$  и  $K_2$  и дополнительное сопротивление  $R_g$  оказывается зашунтированным; сила тока возбуждения в индукторах увеличивается до

того предела, при котором напряжение вновь повысится и произойдет размыкание контактов.

Процесс замыкания и размыкания повторяется и вибратор колеблется в пределах контакта  $K_1$ .

В том случае, когда число оборотов якоря повысилось настолько, что сила тока возбуждения в цепи индукторов и лоподнительного сопротивления оказалась достаточной для дальнейшего повышения индуцированной Э.Д.С. в якоре и напряжения на зажимах, сила тока в обмотке регулятора также будет увеличиваться; напряженность поля сердечника возрастет и вызовет близкое приближение к нему вибратора, контакты  $K_3$  и  $K_4$  замкнутся. Контакт  $K_3$  представляет конец обмотки возбуждения индукторов, а контакт  $K_4$  начало этой обмотки; замыкание контактов  $K_3$  и  $K_4$  вызовет шунтирование цепи возбуждения. Сила тока распределится пропорционально проводимостям цепей (закон Кирхгофа), т. е. в обмотке возбуждения сила тока будет уменьшаться.

Уменьшение силы тока повлияет на величину магнитного потока в индукторах, Э.Д.С. в якорной обмотке уменьшится, напряжение на зажимах и сила тока в обмотках сердечника уменьшится; напряженность магнитного поля уменьшится и вибратор под действием пружины разомкнет контакты  $K_3$  и  $K_4$ ; в обмотке возбуждения сила тока будет возрастать до того предела, при котором весь процесс вновь повторится. Следовательно, при большом числе оборотов якоря или снятой нагрузки, вибратор колеблется в пределах контакта  $K_4$ .

На рис. 88 показана осциллограмма такого регулятора.

Кривая  $a$  в показывает изменения силы тока возбуждения при замыкании контакта  $K_1$  и  $K_2$  в зависимости от времени  $t$ ,

$$\text{где } I_{\text{в1}} = \frac{V_a}{r_a}.$$

Кривая  $c$  и  $d$  показывает изменения силы тока возбуждения при размыкании контактов  $K_1$  и  $K_2$ , где  $I_{\text{в2}} = \frac{V_a}{r_a + R_g}$ .

Кривая  $e$  и  $f$  показывает изменения силы тока при замыкании контактов  $K_3$  и  $K_4$ .

Ломаная линия  $1-2$  показывает изменения силы тока возбуждения при работе контактов  $K_1$  и  $K_2$ .

Ломаная линия  $3-4$  показывает изменения силы тока возбуждения при работе контактов  $K_3$  и  $K_4$ .

Из осциллограммы видно, что самоиндукция катушек возбуждения влияет на число размыканий, число колебаний при различном режиме работы вибратора меняется, так напр., при работе контактов  $K_1$  и  $K_2$  число колебаний равно 100 в секунду, при работе контактов  $K_3$  и  $K_4$  равно 115 колебаниям в секунду. Это можно объяснить зависимостью числа колебаний от величины самоиндукции, которая при малых значениях магнитного потока и малой силе тока в индукторах очень невелика. Напряжение на зажимах быстрее изменяется при работе контактов  $K_3$  и  $K_4$ , регулятор быстрее реагирует. Число колебаний также

исит от натяжения пружины, которая при большем ее (пружины) растяжении увеличивается. Величина дополнительного сопротивления должна быть невелика, примерно в 2-3 раза больше сопротивления обмотки возбуждения. Если взять большее сопротивление, то появляется возможность искрения между контактами  $K_1$  и  $K_2$ . Если взять меньшее сопротивление, то увеличится расход энергии на нагревание его, что имеет место при большом числе оборотов якоря при разгруженном состоянии генератора, т. е. когда контакты  $K_1$  чаще находятся в замкнутом состоянии.

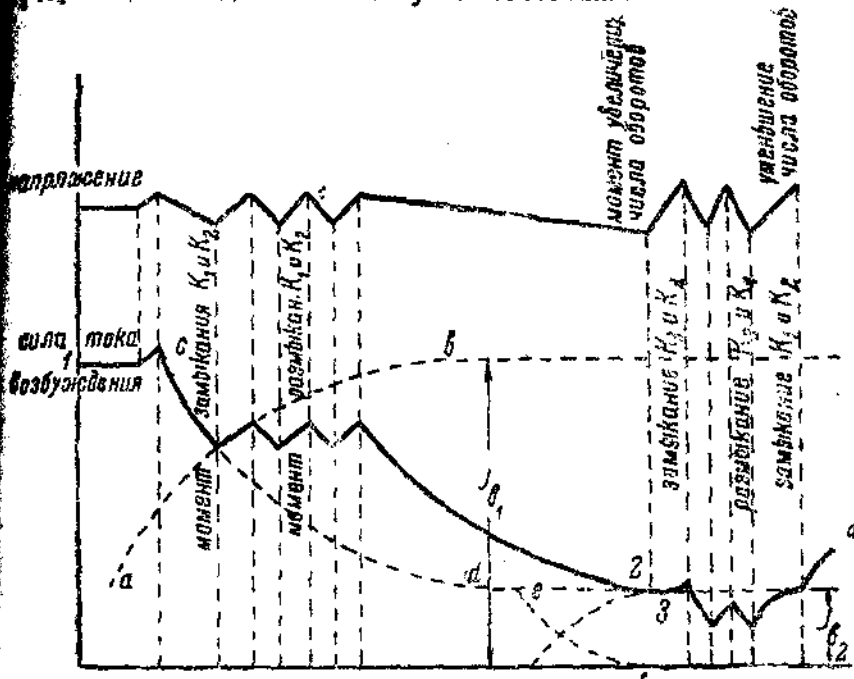


Рис. 88

Регулировка регулятора на различное нагряжение достигается изменением упругости пружины вибратора. Если увеличить упругость пружины, то для ее преодоления необходимо иметь большую напряженность магнитного поля сердечника, что может быть достигнуто увеличением силы тока в обмотке регулятора; повышение силы тока возможно получить повышением напряжения на ее зажимах, а, следовательно, и напряжение в сети окажется выше. Если упругость пружины уменьшить, то напряжение на зажимах генератора, поддерживаемое регулятором, снизится.

Все рассуждения велись без учета изменения сопротивления обмотки регулятора, в зависимости от температуры. Известно, что повышение температуры вызывает повышение сопротивления, а следовательно, сила тока в обмотке регулятора понизится: напряженность поля окажется меньше, вибратор длительнее будет

находиться в оттянутом пружину положении, это вызовет и вышение напряжения на зажимах и только тогда регулятор вступит в действие.

На основании изложенного можно заключить, что повышение температуры обмотки регулятора вызывает повышение напряжения на зажимах динамомашины. Для уменьшения влияния изменения температуры на работу регулятора, обмотку проводят из проволоки, имеющей незначительный температурный коэффициент (напр., никелин), или часть обмотки выполняют из медной проволоки, а часть из проволоки, материал которой имеет незначительный температурный коэффициент и большое удельное сопротивление. Или иногда применяют проволоку, материал которой имеет отрицательный температурный коэффициент (например, константан).

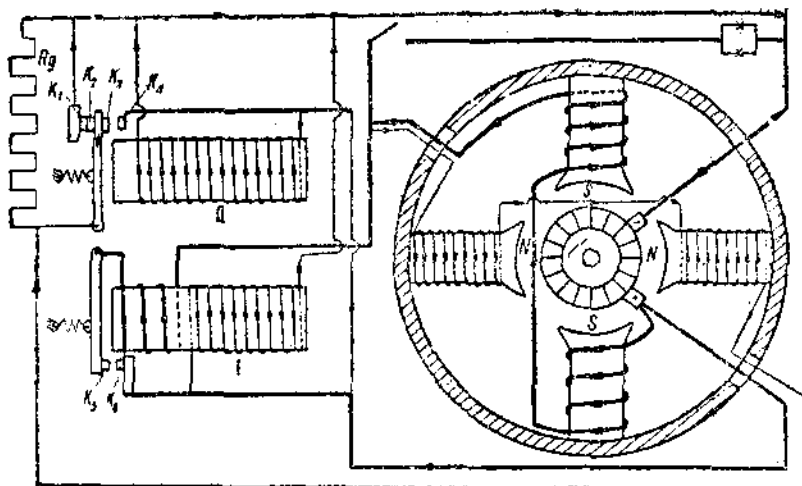


Рис. 89

**Трехступенное регулирование.** В тех случаях, когда требуется получить постоянное напряжение при малом числе оборотов якоря, примерно при 300—500 оборотах в минуту, и в системе электрооборудования трактора аккумуляторная батарея отсутствует, прибегают к использованию компаунд-динамомашины, снабжая ее трехступенным регулятором.

На рис. 89 указан подобный тип регулятора и генератор-компаунд. Принцип трехступенного регулирования заключается в следующем: при малом числе оборотов якоря, для получения определенного напряжения на зажимах, необходимо создать мощный магнитный поток. Известно, что индуцированная Э.Д.С. в якоре выражается  $e = B \cdot v \cdot 10^{-8}$ , откуда при малом числе оборотов скорость проходника —  $v$  мала и необходимо увеличить магнитную индукцию  $B$ , что достигается последовательной толстой обмоткой (на схеме показана толстыми линиями), через которую проходит вся сила тока, пытающая внешнюю нагрузку.

Так только число оборотов вновь сится и напряжение на зажимах катушек регуляторов увеличится, напряженность магнитного поля в сердечниках регуляторов увеличится, а так как пружина пружинки вибратора I меньше, то произойдет замыкание контактов  $K_5$  и  $K_6$ . При замкнутых контактах в толстой обмотке регулятора появится ток, поступающий во внешнюю обмотку, созданное током, усилит напряженность магнитного потока сердечника и контакты  $K_5$  и  $K_6$  будут удерживаться замкнутом состоянии. Так как толстая обмотка регулятора включается параллельно серийной обмотке возбуждения при замкнутых контактах  $K_5$  и  $K_6$ , то в последней сила тока уменьшится, и магнитный поток в индукторах ослабнет; это вызовет уменьшение напряжения на зажимах динамомашины.

Катушка I производит грубую регулировку напряжения, необходимого при минимальном числе оборотов якоря. Тонкую регу-

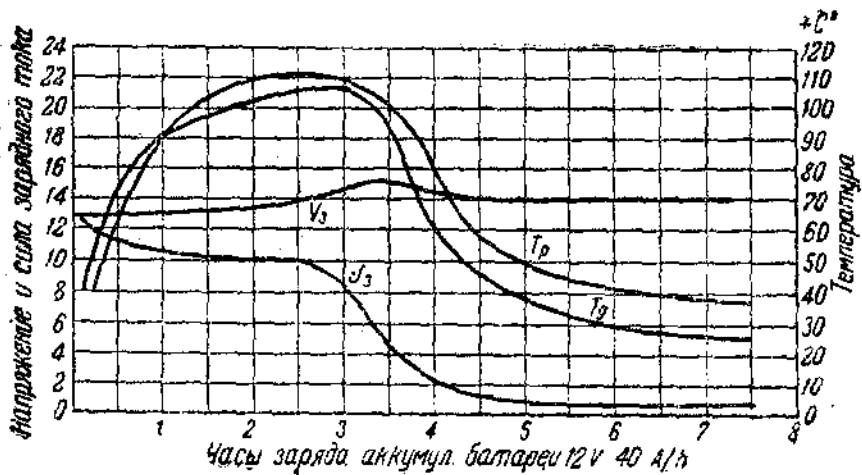


Рис. 90

лировку производит катушка II, которая выполняет функции двухступенчатого регулятора постоянства напряжения, и ничем не отличается от выше рассмотренного регулятора на рис. 87.

Рассмотренные регуляторы постоянства напряжения при обслуживании световой нагрузки, показали полную их пригодность для этой цели. Но, если в цепь динамомашины, снабженной подобным регулятором, включить аккумуляторную батарею и по показаниям амперметра наблюдать изменения зарядной силы тока, в зависимости от времени заряда батареи, то обнаружится что сила зарядного тока изменяется в больших пределах.

На рис. 90 показаны кривые изменения.

$I_z$  — кривая зарядной силы тока,

$V_z$  — кривая зарядного напряжения,

$T_p$  — температура корпуса регулятора,

$T_d$  — температура корпуса динамомашины.

Анализируя кривую зарядной силы тока, легко объяснить характер ее изменения, достаточно вспомнить что  $I_a = \frac{V_g - E_a}{R_a}$

$V_g$  — напряжение на динамомашине,

$E_a$  — Э.Д.С. аккумуляторной батареи,

$R_a$  — внутреннее сопротивление батареи.

При включении на заряд Э.Д.С. аккумуляторной батареи быстро, но не в больших пределах, повышается, а следовательно, сила зарядного тока падает.

Дальнейшая зарядка дает постепенное увеличение Э.Д.С. батареи и разность в числителе  $V_g - E_a$  уменьшается, это вызывает постепенное убывание силы зарядного тока.

При продолжении зарядки в электролите появляются пузырьки газа и внутреннее сопротивление батареи повышается; сила зарядного тока падает очень быстро; это вызвано одновременным повышением сопротивления и уменьшением разности между Э.Д.С. динамомашины и Э.Д.С. батареи. Продолжая зарядку, сила зарядного тока медленно падает, так как Э.Д.С. батареи продолжает увеличиваться. Выше рассмотренный процесс зарядки аккумуляторной батареи не может быть допущен, так как чрезмерное увеличение зарядной силы тока вначале пагубно действует на пластины аккумуляторов, вызывая коробление их и высыпание активной массы.

Чрезмерное падение зарядной силы тока, при появлении пузырьков газа, не обеспечивает полной зарядки аккумуляторной батареи. Чрезмерный нагрев динамомашины в начале зарядки вызывается ее перегрузкой. Все перечисленное говорит не в пользу регулятора постоянства напряжения, и выход из этого затруднения дает применение ограничителя силы тока, включенного в цепь динамомашины и внешней нагрузки.

### Регулятор максимальной силы тока

Регулятор максимальной силы тока служит для ограничения силы тока в цепи нагрузки динамомашины. Конструктивно он отличается от регулятора постоянства напряжения тем, что на сердечнике расположена не тонкая обмотка, включенная параллельно цепи, а толстая обмотка, включенная в цепь последовательно.

На рис. 91 показан одноступенчатый регулятор максимальной силы тока. Как видно из рисунка, в толстой обмотке циркулирует весь ток, поступающий во внешнюю цепь. При увеличении числа оборотов в обмотках якоря повысится индуцированная Э.Д.С. и так как суммарное сопротивление всей цепи остается постоянным (без учета влияния температуры), то сила тока должна увеличиться, и напряженность магнитного поля сердечника возрастает и вибратор притягивается, контакты  $K_a$  и  $K_b$  разомкнутся. Это вызовет уменьшение магнитного потока в индукторах и индуцированная Э.Д.С. уменьшится, сила тока в цепи понизится, и напряженность поля в сердечнике также уменьшится,

братор под действием пружины примет прежнее положение контакты  $K_a$ ,  $K_b$  будут замкнуты. В цепи возбуждения ток останется и весь процесс будет повторяться аналогично действием регулятора напряжения.

На рис. 92 представлен двухступенчатый регулятор максимальной силы тока; принцип действия его подобен действию двухступенного регулятора постоянства напряжения, с той лишь разницей, что обмотка регулятора максимальной силы тока имеет большее сечение и включена последовательно в цепь.

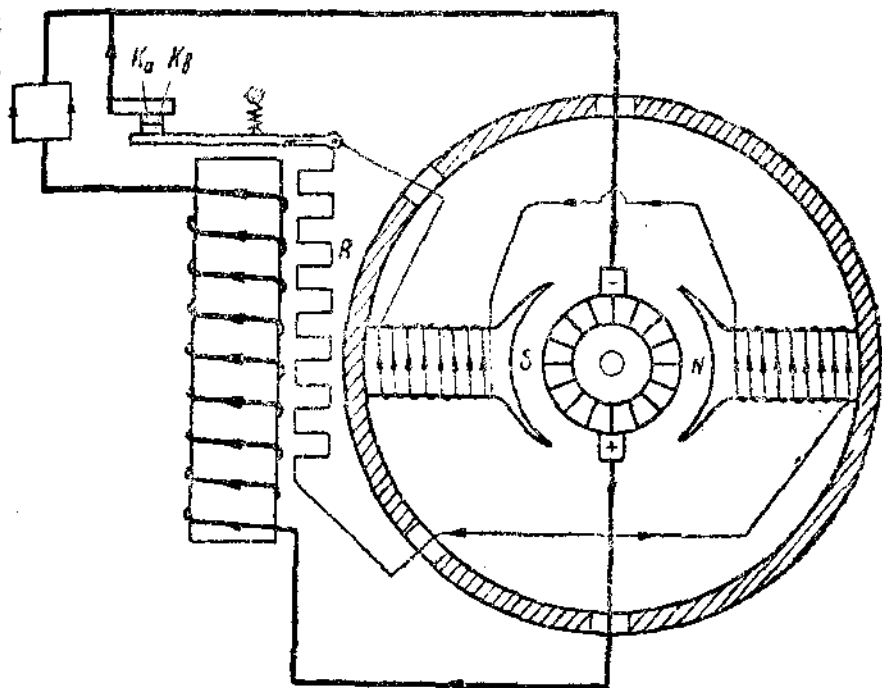


Рис. 91

Применение одного регулятора максимальной силы тока на динамомашине, обслуживающей световую нагрузку без аккумуляторной батареи, недопустимо, так как регулятор, будучи отрегулирован, напр., на силу тока для двух 25-ватт. ламп, не мог бы обслужить одной включенной лампы.

Это объясняется тем, что сопротивление одной лампы больше, чем двух параллельно включенных: сила тока в обмотке регулятора оказалась бы недостаточной, чтобы привести вибратор в действие, а следовательно, индуктированная Э.Д.С. в обмотке якоря повышаясь должна достигнуть такого значения, при котором напряжение на зажимах лампы оказалось достаточным для создания максимальной силы тока, на которую отрегулирован регулятор. Так как лампа не рассчитана на такую силу тока, то нить ее будет расплавлена.

Применение одного регулятора максимальной силы тока на динамомашине, обслуживающей аккумуляторную батарею, допустимо, но зарядная сила тока будет при всем процессе зарядки постоянной и равной максимальному значению (на которую была произведена регулировка), но надо напомнить, что к концу заряда батареи необходимо снижать силу зарядного тока, о чем указывалось в главе об аккумуляторах.

Уменьшение силы зарядного тока регулятор с последовательной обмоткой произвести не сможет, если не изменить регулировки пружины. Изменение регулировки вновь придется произвести при разряженной батарее. Установка регулятора на задан-

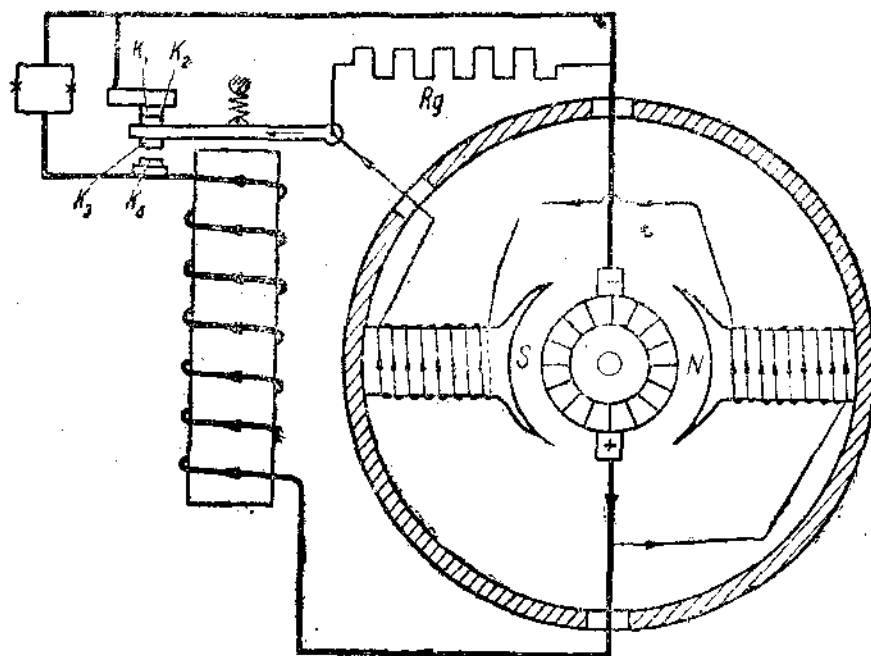


Рис. 92

ную максимальную силу тока производится путем изменения упругости пружины вибратора. Если увеличить упругость пружины, повышается значение максимальной силы тока, так как для размыкания контактов необходимо иметь большую напряженность магнитного поля в сердечнике регулятора.

Следовательно контакты длительнее будут находиться в замкнутом состоянии, ток возбуждения в индукторах будет иметь большую величину, индуцированная Э.Д.С. окажется выше и в цепи установится большая сила тока. При уменьшении упругости пружины вибратора явление будет обратное и максимальное значение силы тока будет меньше.

## Комбинированный регулятор напряжения и максимальной силы тока

Для получения полной автоматичности работы регулятора его необходимо снабжать и параллельной и последовательной обмоткой. На рис. 93 представлен комбинированный регулятор напряжения и максимальной силы тока. На рисунке видно, что две обмотки создают поле одной полярности, т. е. ампер-витки общей обмотки увеличивают напряженность магнитного поля якоря и в начале зарядки разряженной батареи, когда зарядная сила тока могла достигнуть большого значения, поле, созданное последовательной обмоткой регулятора, будет способствовать размыканию контактов  $K_1$  и  $K_2$ , тем самым понижая напряжение на зажимах и уменьшая зарядную силу тока.

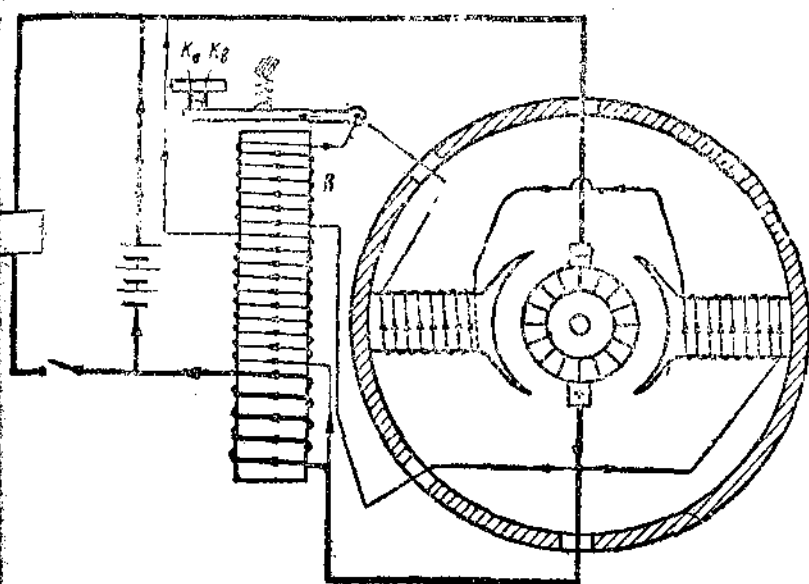


Рис. 93

Когда аккумуляторная батарея вследствие заряда будет иметь повышенную Э. Д. С., сила зарядного тока станет уменьшаться, а поле, созданное последовательной обмоткой, также ослабнет; магнитина вибратора удерживает контакты  $K_1$  и  $K_2$ . Длительное время вибратора удерживает контакты  $K_1$  и  $K_2$  в замкнутом состоянии, что вызывает увеличение напряжения на зажимах динамомашины. Повышение напряжения способствует повышению зарядной силы тока и обеспечивает полноту зарядки батареи. Это повышение все же недопускает зарядной силе тока, при которой заряд батареи, достигнув значения выше 0,5-0,3 первоначальной силы тока и ее уменьшение устраниет возможность протекания процесса заряда. Последовательно, напряжение в сети к концу заряда батареи должно повыситься.

Аналогичное значение имеет последовательная обмотка, подключаемая на двухступенный комбинированный регулятор.

Характеристики, снятые с динамомашины, снабженной комбинированным регулятором, представлены на рис. 94.

$I_3'$  — Кривая значений зарядной силы тока,  
 $V_3$  — зарядно напряжение,  
 $T_p$  — температура корпуса регулятора,  
 $T_S$  — температура корпуса динамомашины.

Сравнивая полученные характеристики с предыдущими, указанными на рис. 92, можно вывести заключение: изменения зарядной силы тока отвечают требованиям аккумуляторной батареи.

Напряжение в сети повышается примерно на 22—28%. Температура корпуса регулятора снижается на 20%. Максимальная температура динамомашины снижается на 24%.

Примечание. За 100% взяты данные характеристик, полученные при отсутствии последовательной обмотки регулятора.

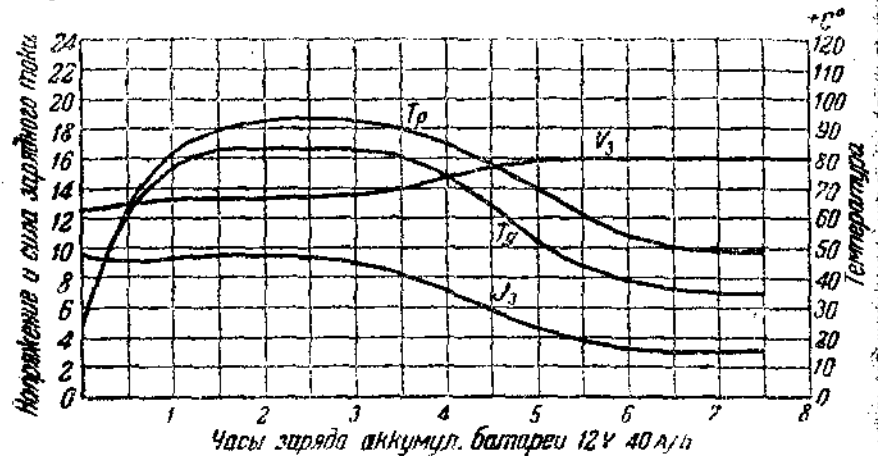


Рис. 94

Последние две схемы показывают, что внешняя нагрузка присоединена непосредственно к аккумуляторной батарее. При таком включении потребителей регулятор максимальной силы тока продолжает поддерживать максимальный ток, на который он отрегулирован. Следовательно, динамомашины посыпают одинаковую силу тока, независимо, включены ли потребители или нет, а значит величина зарядного тока при включенных потребителях должна понизиться или даже может происходить разряд батареи (в случае повышения силы тока потребителя против силы тока динамомашины); это крайне невыгодно.

Производить установку регулятора заранее на большую силу тока из расчета, что при включенных потребителях сила тока посыпаемая генератором в сеть, будет достаточна, но подобная регулировка не может быть допущена, так как при отключении

ных потребителях сила зарядного тока будет настолько велика, что может вызвать разрушение пластин аккумулятора.

Автоматическое реагирование регулятора на включение потребителя и на его отключение возможно получить, если питать через последовательную обмотку, как показано на рис. 95.

Если якорь динамомашины имеет недостаточное число оборотов, при котором включенная нагрузка внешней цепи потребителя требует большую силу тока, чем это вырабатывает генератор, то часть силы тока будет посыпать в цепь аккумуляторной батареи, причем направление силы тока будет из аккумуляторной батареи через обмотку IV в сеть потребителя, вызовет умень-

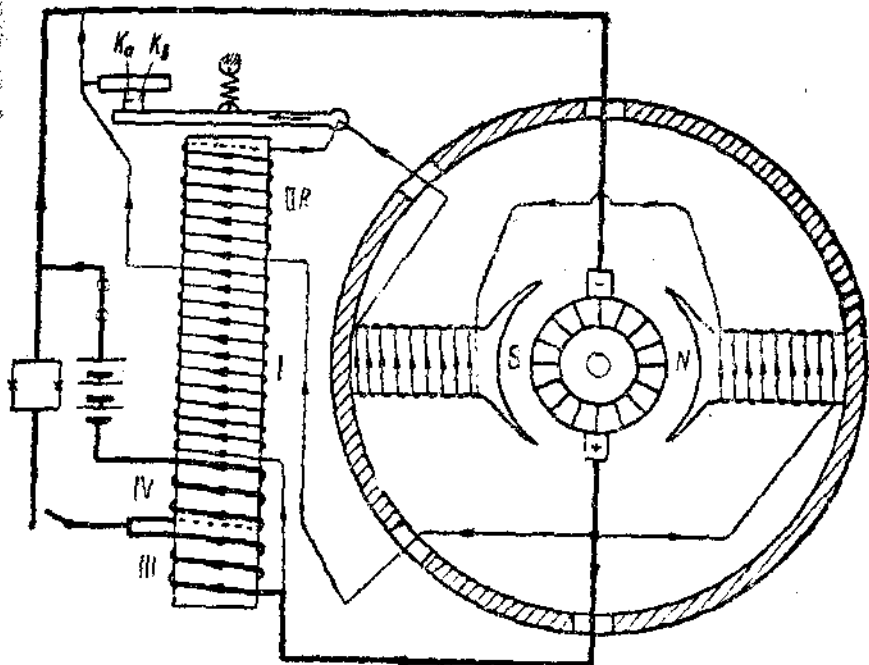


Рис. 95

шение напряженности поля сердечника и контакты  $K_a$  и  $K_b$  будут длительное находиться в замкнутом состоянии; это способствует увеличению Э. Д. С., индуцированной в якорной обмотке, а следовательно, увеличению напряжения на зажимах, и увеличению силы тока в цепи. Как только сила тока, посыпаемая генератором, покроет расход потребителя, в обмотке IV ток будет равен нулю, и если повысить число оборотов якоря, то в обмотке IV появится зарядный ток батареи, который при достижении своего максимального значения будет также действовать на вибратор, не допуская дальнейшего повышения силы зарядного тока.

## Реле

(Автоматический электромагнитный выключатель)

В рассмотренных схемах отсутствовало приспособление, предотвращающее возможность разряда аккумуляторной батареи на цепь динамомашины, когда напряжение на ее зажимах будет меньше напряжения аккумуляторной батареи, или когда напряжение генератора равно нулю (при остановленном двигателе), откуда следует, что необходимо отключение батареи от генератора.

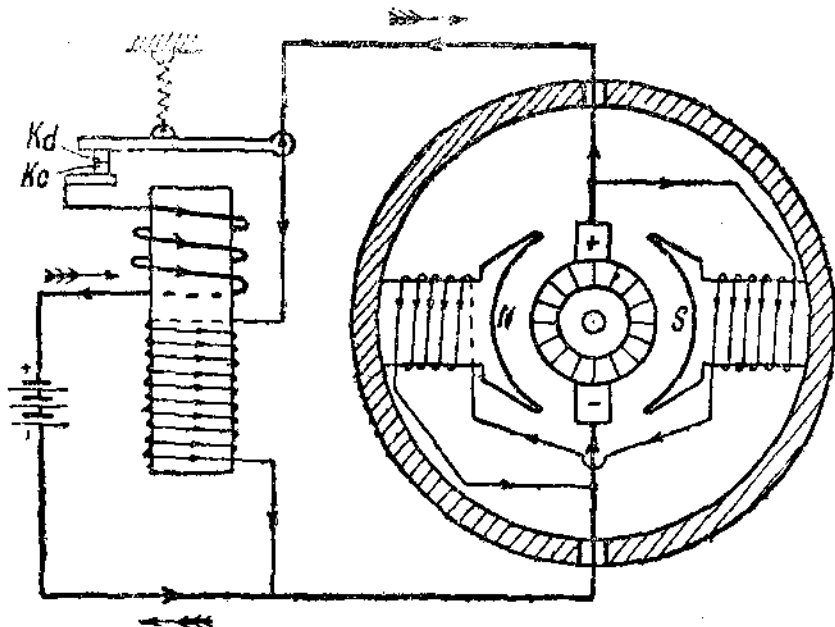


Рис. 96

Конструкция такого автоматического выключателя и его схема представлены на рис. 96. Автоматический электромагнитный выключатель работает на следующем принципе. При повышении числа оборотов якоря сила тока самовозбуждения увеличивается и вызывает увеличение магнитного потока, вследствие чего напряжение на зажимах увеличивается и сила тока в тонкой обмотке реле возрастает, напряженность магнитного поля сердечника становится больше и преодолевает упругость пружины, вызывая притяжение якорька и замыкание контактов  $K_c$  и  $K_d$ .

При замкнутых контактах аккумуляторная батарея оказывается включенной в цепь якоря генератора и зарядный ток в последовательной обмотке реле создает поле, пополняющее поле, вызванное током тонкой обмотки, магнитные свойства сердечника увеличиваются и якорек удерживается силой электромагнита. При уменьшении числа оборотов в якоре, индуциро-

шия Э. Д. С. в якоре уменьшается; это вызовет уменьшение напряжения на зажимах генератора и зарядная сила тока уменьшается достигнет нулевого значения,

Магнитное поле, создаваемое зарядным током, исчезает, уменьшается также и сила тока в тонкой обмотке, так как на ее зажимах уменьшилось напряжение. Если упругость пружины достаточна, то якорек оттянется, разомкнет контакты и отключит аккумуляторную батарею от динамомашины. Размыкание контактов  $K_c$  и  $K_a$  может произойти при различном значении силы тока в последовательной обмотке и различном его направлении. Рассмотрим подробно, от каких причин происходит замыкание и размыкание контактов. Нам известно, что напряженность магнитного поля, необходимая для того, чтобы притянуть якорек, нужна значительно большая, чем та, которая должна его удерживать в притянутом положении.

Большая напряженность поля может быть получена в данном случае только за счет увеличения силы тока в тонкой обмотке реле; это достигается повышением напряжения на ее зажимах на 35-40%. Если динамомашина не снабжена регулятором напряжения, то это достигнуть легко, достаточно повысить число оборотов якоря. Но, если генератор снабжен регулятором, то повышение напряжения возможно максимум на 25-28%, следовательно, приходится ослабить пружину для создания возможности замыкания контактов; но это вызовет невозможность отключить генератор от аккумуляторной батареи при нулевом значении зарядной силы тока, так как поле, создаваемое тонкой обмоткой (напряжение на зажимах которой равно напряжению батареи) будет удерживать якорек в притянутом положении.

В этом случае необходимо ослабить поле, создаваемое тонкой обмоткой, что достигается при обратном движении электрического тока из аккумуляторной батареи в генератор. Якорек еще оттянется пружиной и контакты окажутся разомкнутыми. Резкое повышение упругости пружины, оттягивающей якорек, недопустимо, так как такое реле не может замкнуть цепь, если оно обслуживает динамомашину с регулятором. Если же генератор не имеет регулятора, то замыкание произойдет при довольно большом числе оборотов якоря, и достаточно незначительного уменьшения напряжения на его зажимах, как цель будет вновь прервана с появлением искры в контактах, быстро разрушающей их.

В схеме на главных линейных проводах поставлены стрелки, показывающие направление зарядной силы тока (большие стрелки), показывающие путь силы тока, намагничивающей сердечник малые стрелки); стрелки вле проводов показывают мгновенное направление разрядной силы тока в момент размагничивания сердечника реле.

Из рассмотренных схем динамомашин мы не встретили ни одной, где была показана совместная работа серийс-динамомашин и аккумуляторной батареи, это можно объяснить тем, что при совместной работе динамомашины с аккумуляторной батареей достаточно понизить число оборотов якоря, как

в цепи появится обратный ток, вызванный электродвижущей силой батареи. Если генератор шунтовой, то имеет параллельно включенную обмотку возбуждения, и обратный ток в сети не вызовет изменения направления тока в обмотке возбуждения, полярность индукторов останется прежней, и достаточно вновь повысить число оборотов, как динамомашниа сможет создать зарядный ток.

Если генератор снабжен последовательной обмоткой возбуждения (генератор типа серисес), то изменение направления тока во внешней цепи вызовет перемагничивание индукторов, и при новом повышении числа оборотов не может вызвать появления зарядной силы тока, так как при измененной полярности, для создания индуктированной электродвижущей силы, необходимо изменить вращение якоря, потенциалы на зажимах изменятся и аккумуляторную батарею необходимо переключить. Это—одна из основных причин, препятствующих применению серисес генераторов на автомобилях, тракторах и мотоциклах.

### ДИНАМОМАШИНЫ С ДОПОЛНИТЕЛЬНОЙ ЩЕТКОЙ

Получить постоянство напряжения (в пределах 25% от номинала) можно и без применения регулятора напряжения; для этого достаточно иметь включенную параллельно зажимам динамо-

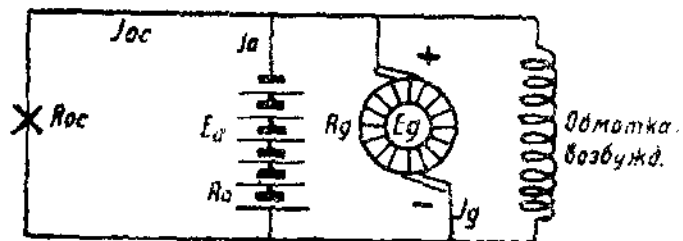


Рис. 97

машины аккумуляторную батарею.

На рис. 97 показана принципиальная схема соединения шунтового генератора, аккумуляторной батареи и внешней нагрузки. Значение букв следующее:

- $E_g$  — Э.Д.С. динамомашины,
- $J_g$  — сила тока в обмотке якоря,
- $R_g$  — сопротивление якоря со щетками,
- $E_{oc}$  — Э.Д.С. аккумуляторной батареи,
- $J_{oc}$  — сила тока в цепи батареи,
- $R_{ac}$  — сопротивление аккумуляторной батареи,
- $J_{oc}$  — сила тока в осветительной установке,
- $R_{oc}$  — сопротивление осветительной установки.

На основании второго закона Кирхгофа, из условия одновременной зарядки аккумуляторной батареи и обслуживания

освещения вытекает:

- (1)  $J_g = J_a + J_{oc}$
- (2)  $E_g - E_a = J_g \cdot R_g + J_a R_a$  или  $E_g = J_g R_g + J_a R_a + E_a$
- (3)  $E_g = J_g \cdot R_g + R_{oc} \cdot J_{oc}$ .

Из второго и третьего уравнений вытекает:

$$E_g = J_g R_g + J_a R_a + E_a = J_g R_g + R_{oc} \cdot J_{oc}$$

если вычесть уравнение второе из уравнения третьего, то

$$R_{oc} J_{oc} = R_g J_a + E_a = V_{сети}$$

то

$$R_a \cdot J_a + E_a = V_{зар.} \text{ и } V_{сети} = V_{зар.}$$

и установившееся напряжение в сети освещения будет равно величине падения напряжения в лампах накаливания. Так как при увеличении числа оборотов якоря, индуцированная Э.Д.С. в нем возрастает, то, считая Э.Д.С. батареи постоянной, должна возрасти величина внутреннего падения напряжения в батареи. Сопротивление же аккумуляторной батареи изменяется, но незначительно, и следовательно, увеличение падения напряжения идет за счет увеличения зарядной силы тока; как видно, напряжение на зажимах динамомашины можно получить довольно постоянной величины, для чего необходимо только не допускать изменений силы тока. Это достигается путем использования явления реакции якоря.

Из курса электротехники известно, что величина магнитного потока, созданного якорной обмоткой, зависит от силы тока и числа витков; так как число витков на якоре постоянно, то магнитный поток якоря  $\Phi_a = F(J_a)$  (без учета влияния магнитной проницаемости).

На рис. 98 а изображено распределение магнитного потока в железе якоря, созданного током, возникшим под действием Э.Д.С. аккумулятора, приключенном к щеткам, причем + зажим аккумулятора присоединен к + щетке динамомашины, якорь которой полностью заторможен. Как видно из рисунка, якорь представляет электромагнит с полярностью, указанной на рис. 98 а.

На рис. 98 б изображено распределение магнитного потока при отсутствии силы тока в якорной обмотке, и только индуктора возбуждены. В этом случае магнитный поток равномерно распределен в между железном пространстве (см. рис. 98 б). На рис. 98 с изображено результирующее поле при одновременном проявлении силы тока в обмотке возбуждения и в обмотке якоря. Как видно из рисунка, все поле повернуто от горизонтали на некоторый угол. На рис. 98 а и б в центре якоря показаны векторы, представляющие величину и направление магнитных потоков, где  $\Phi_{инд}$  — магнитный поток индукторов и  $\Phi_a$  — магнитный поток якоря.

На рис. 98 с изображено геометрическое суммирование векторов, где  $\Phi_R$  — результирующий магнитный поток.

Если якорю динамомашины дать вращение, при котором индуцированная Э.Д.С. в его обмотках будет того направления, какое имела сила тока, посыпаемая аккумулятором, то, при включенной внешней нагрузке, в цепи якоря под действием индуктированной Э.Д.С. появится электрический ток, который совпадет по направлению с последней. Поле, созданное этим током, мы и называем якорным полем. Из векторной диаграммы видно, чем больше  $\Phi_R$ , тем больше угол смещения поля, причем смещение происходит в сторону вращения якоря.

Использование явления реакции осуществлено в трехштаточной динамомашине, принцип действия которой мы и рассмотрим ниже.

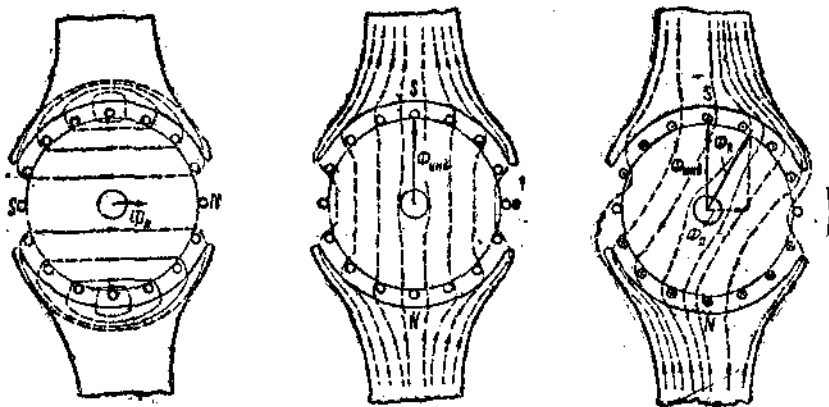


Рис. 98

Рассечем мысленно якорь по образующей, проходящей через точку  $a$  и развернем на плоскость.

На рис. 99 изображена развертка и кривые изменения  $\Phi_{\text{инд}}$ ;  $\Phi_b$ ;  $\Phi_R$  и кривые мгновенных значений Э.Д.С. в обмотке якоря в зависимости от нагрузки.

### Построение кривых и их анализ

Кривая  $\Phi_{\text{инд}}$ . При отсутствии якорного тока величина магнитного потока на нейтральной оси (линия установки щеток I и II) равна нулю.

Считая значение магнитного потока, направленного из полюса  $N$  положительными, откладываем ординаты вверх, относительно оси абсцисс.

Под щеткою I значение  $\Phi_{\text{инд}}$  становится равным нулю, и далее, величины ординат магнитного поля откладываем вниз, относительно оси абсцисс.

Кривая  $\Phi_x$ . Так как якорный магнитный поток смещен на угол  $90^\circ$  относительно магнитного потока индукторов, то его нейтральная линия смещена также на угол  $90^\circ$  и должна проходить от начала координат на расстоянии  $\frac{\pi}{2}$ ; но, так как одноименные полюсы отталкиваются, то ординаты значений  $\Phi_x$  необходимо отложить в противоположном направлении. Там же,

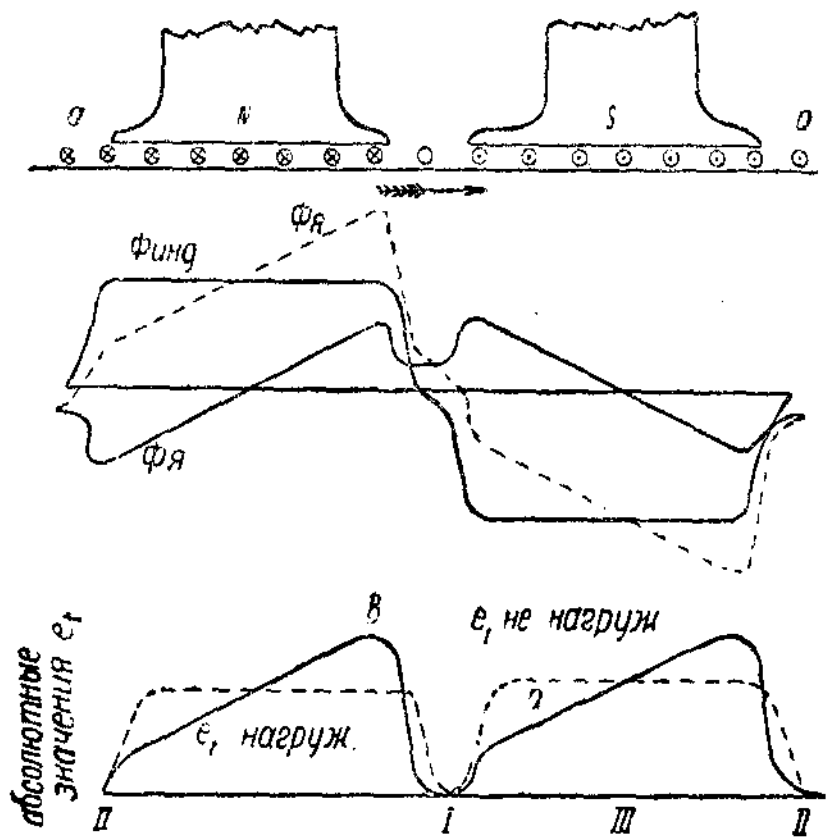


Рис. 99

где полюсы разноименные, ординаты откладываются в том же направлении, как и ординаты  $\Phi_{\text{вид}}$ .

Произведя алгебраическое суммирование ординат двух кривых, находим кривую изменения  $\Phi_R$ . Из кривой значений результирующего магнитного потока видим, что он неравномерно распределен под полюсами, следовательно, и величина индуцированной Э.Д.С. в отдельных проводниках будет также различна, так как число пересекаемых линий проводником в единицу времени различно. Нам известно, что  $B = \frac{\Phi}{Q}$ , т. е. магнитная индукция прямо пропорциональна магнитному потоку  $\Phi$  и обратно

пропорциональна площади  $Q$ , через которую он проходит, если ординаты значений  $\Phi_R$  разделить на площадь, то кривая будет представлять кривую изменения магнитной индукции, но

$$e_t = Blv \cdot 10^{-8}$$

т. е. мгновенное значение индуктированной Э.Д.С. —  $e_t$ , в каждом проводнике при пересечении магнитного поля по нормали (оно в между железном пространстве так и расположено), зависит от магнитной индукции  $B$ , активной длины проводника  $l$  и окружной скорости  $v$ . В нашей формуле величина  $B$  переменна и ее закон изменения известен из кривой, следовательно, эта кривая может быть названа кривой мгновенных значений  $e_t$ .

Установим щетку  $III$ , как показано на абсциссе кривой  $e_t$ , произведя суммирование ординат кривой, полученной при: а) не-нагруженной динамомашине и б) нагруженной динамомашине мы убедимся, что суммарное значение  $\sum_{I}^{III} e_t$  Э.Д.С. между щетками  $I$  и  $III$  при работе без нагрузки больше, чем суммарное значение Э.Д.С. при нагрузке, т. е.

$$\sum_{I}^{III} e_t \text{ хол. зода} > \sum_{I}^{III} e_t \text{ нагр.}$$

Пользуясь этим свойством, достаточно включить обмотку возбуждения индукторов между щетками  $I$  и  $III$ . При увеличении числа оборотов якоря Э.Д.С., индуцированная в его обмотках, увеличится, сила тока в обмотке якоря повысится, но увеличение силы тока создает смещение результирующего поля, вследствие чего уменьшится напряжение на зажимах обмотки возбуждения, уменьшится магнитный поток индукторов и Э.Д.С. в обмотке якоря уменьшится; тем самым уменьшится сила зарядного тока. Но значение силы тока в якоре зависит не только от индуктированной в нем Э.Д.С., но и от сопротивления внешней цепи, и величины Э.Д.С. аккумуляторной батареи.

Рассматривая процесс в динамомашине, допустим, что железо индукторов далеко от магнитного насыщения, тогда повышение сопротивления в цепи аккумуляторной батареи или повышение Э.Д.С. батареи вызовет уменьшение якорной силы тока, следствие чего якорное поле уменьшится; напряжение на зажимах обмотки возбуждения увеличится и индуцированная Э.Д.С. в якоре возрастет и повысит силу тока в цепи. Увеличение нагрузки в сети освещения вызывает уменьшение зарядной силы тока, так как сопротивление внешней цепи уменьшается и сила тока распределяется прямо пропорционально производствам.

Отключение аккумуляторной батареи при работе трехщеточной динамомашины ни в коем случае недопустимо, так как напряжение на зажимах индукторов возрастает до значений, при которых ток в обмотке возбуждения выделит количество тепла, достаточное для разрушения изоляции. При отсутствии аккумуляторной батареи недопустимо включение световой на-

зки в цепь работающей динамомашины, так как это вызовет перегорание нитей ламп. Всех случаях, когда динамомашина отключена от аккумуляторной батареи и привод ее не может быть нарушен, необходимо производить короткое замыкание щеток I и II.

Выше было указано, что смещение поля при нагрузке происходит в сторону вращения, при этом сила тока возбуждения уменьшается; это говорит о возможности регулирования величины тока возбуждения перемещением щетки III рукою, прием, сдвигая ее в сторону вращения, сила тока возбуждения увеличивается, магнитный поток и индуцированная Э.Д.С. в якоре вызываются и сила тока в цепи увеличивается.

При перемещении щетки III против вращения уменьшается сила тока в обмотке возбуждения, уменьшается магнитный поток индуцированная Э.Д.С., а следовательно, величина силы тока в внешней цепи понизится. Пользуясь этим свойством, можно регулировать зарядную силу тока так, чтобы к концу рабочего дня автомашины аккумуляторная батарея имела полный заряд.

### СРАВНИТЕЛЬНАЯ ОЦЕНКА СПОСОБОВ РЕГУЛИРОВАНИЯ НАПРЯЖЕНИЯ И СИЛЫ ТОКА

На рис. 100 изображены кривые изменения зарядной силы тока в зависимости от времени заряда. Кривая показывает, что по мере увеличения заряда батареи, сила зарядного тока увеличивается до такого значения, что разрушение активной массы пластина становится вполне возможно. Сильное "кипение" электролита вызывает быстрое уменьшение его объема и повышается его плотность выше допустимых пределов; чрезмерная плотность электролита способствует образованию сернокислого свинца ( $PbSO_4$ ). При отключении световой нагрузки (при работе автомашины в светлое время суток), все вышеперечисленные дефекты выступают еще сильнее. В целях устранения их в цепь обмотки возбуждения вводят термостат, который действует под влиянием температуры динамомашины.

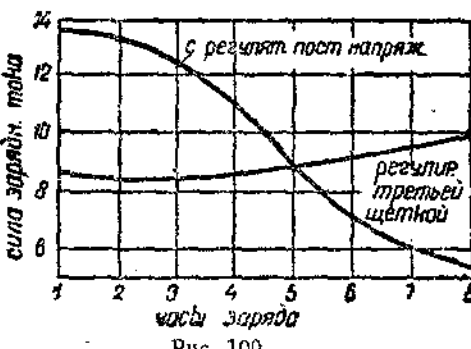


Рис. 100

### ТЕРМОСТАТ

Термостат или биметаллический предохранитель имеет следующее устройство (см. рис. 101). Изогнутая пластинка состоит из двух сваренных или склеенных между собою металлических пластинок с различным коэффициентом температурного расши-

рения, причем внутрь обращена латунная сторона пластины, а наружу пластинка из никелевой стали. При длительной работе динамомашины аккумуляторная батарея заряжается и сила заряда тока повышается, температура внутри динамомашины увеличивается и биметаллическая пластина будет изгибаться в сторону металла, имеющего меньший температурный коэффициент расширения.

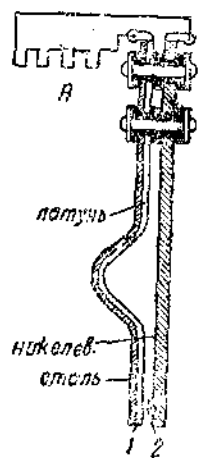


Рис. 101

Контакты 1 и 2 термостата окажутся разомкнутыми и в цепь возбуждения будет введено сопротивление  $R$ . Сила тока в обмотке возбуждения уменьшится и вызовет уменьшение индуктированной Э.Д.С. в якоре, вследствие чего зарядная сила тока понизится. Действие термостата в незначительной степени понижает возможность повреждения пластины аккумулятора в конце заряда и применение батареи с большей емкостью, уменьшает этот недостаток, так как последняя (батарея) менее боится большой зарядной силы тока.

Выше указывалось, что термостат действует под влиянием внутренней температуры, она же в малой степени зависит от внешней; в зимнее время контакты термостата находятся дли-

тельнее в замкнутом состоянии, а следовательно сила зарядного тока в зимнее время продолжительнее; имеет максимальную величину; это дает положительную оценку термостату, так как в зимнее время аккумуляторная батарея требует полноты зарядки, чтобы электролит не мог подвергнуться замерзанию.

Термостат также является предохранителем динамомашины от чрезмерного нагрева, что имеет место не только в случае длительной работы динамомашины под нагрузкой, но и в случае отключения от нее батареи. Размыкание контактов происходит примерно при  $+70^{\circ}\text{C}$ .

При сравнении характеристик изменения зарядной силы тока, в зависимости от времени заряда, видно, что динамомашина, снабженная комбинированным вибрационным регулятором, дает большую зарядную силу тока, чем трехщеточная без термостата в первые часы заряда, чем обеспечивается заряженное состояние аккумуляторной батареи.

Это очень ярко выражено кривыми, полученными при разряженной батарее (см. рис. 102 а), где характеристика трехщеточной динамомашины показывает, что при увеличении числа оборотов якоря, а следовательно при повышении скорости авто-

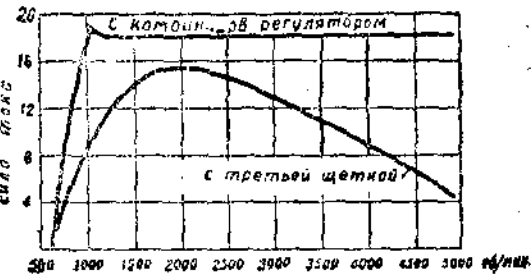


Рис. 102 а

обиля, обеспечить быстрый заряд батареи невозможно, так как при заряда тока понижается.

Характеристика динамомашины, снабженной комбинированным регулятором, показывает постоянство зарядной силы тока независимо от скорости движения автомобиля.

Из характеристик, изображенных на рис. 102б, снятых с этих же генераторов, но работающих с заряженной батареей, можно заключить, насколько трехшеточная динамомашина дает чрезмерно большую зарядную силу тока, которая разлагает воду на  $H_2$  и  $O$ , тем самым вызывает уменьшение объема электролита и повышение его концентрации. Последствия чрезмерной силы тока уже указывались ранее.

Характеристика зарядной силы тока, полученная при совместной работе динамомашины, снабженной комбинированным регулятором с заряженной аккумуляторной батареей, показывает, насколько зарядная сила тока незначительна при заряженной полностью батарее, а следовательно разрушительного действия на пластины батареи оказать не может.

На рис. 103 изображены две секции положительных пластин, где изображенная слева секция вынута из аккумуляторной батареи, которую обслуживала динамомашина с комбинированным регулятором. Справа изображена секция, вынутая из аккумуляторной батареи, которую обслуживала

трехшеточная динамомашина, причем первая секция участвовала в работе примерно в 2,5 раза длительнее второй секции.

Расход дистиллированной воды был различен и в установке с трехшеточной динамомашиной оказался примерно в десять раз больше. Заканчивая сравнительную оценку, надо заметить, что простота конструкции трехщеточной динамомашины является

единственным ее преимуществом. Стоимость ее ниже стоимости динамомашины, снабженной регулятором, но при необходимости иметь аккумуляторную батарею с повышенной емкостью, перво-

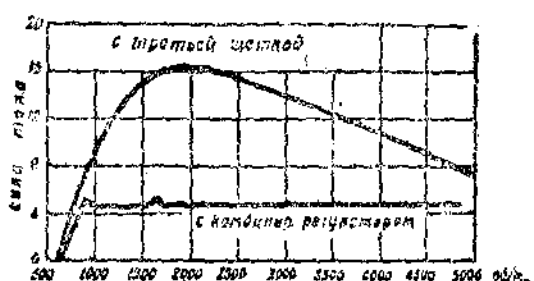


Рис. 102б

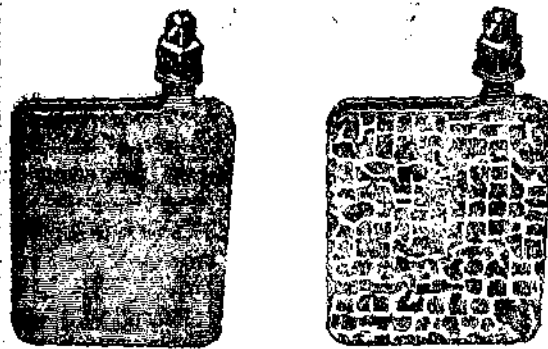


Рис. 103

начальные затраты почти одинаковы, а при дальнейшей эксплуатации установки, с учетом сокращенного срока службы аккумуляторной батареи, стоимость установки с трехщеточной динамомашиной оказывается выше, чем с динамомашиной, снабженной комбинированным регулятором.

## КОНСТРУКТИВНОЕ ВЫПОЛНЕНИЕ ДИНАМОМАШИН, ПРИМЕНЯЕМЫХ НА АВТОТРАНСПОРТЕ

К конструкции динамомашины, обслуживающей автотранспорт, предъявляются следующие требования:

1. При минимальном объеме и минимальном весе иметь возможно большую мощность.
2. Динамомашина должна допускать временные перегрузки в 50—60%.
3. Иметь мощность, достаточную для обслуживания включенных потребителей световой нагрузки без питания их от аккумуляторной батареи, при скорости движения автомобиля 20—25 км в час (на прямой передаче).
4. Обладать достаточной механической прочностью, допускающей повышение числа оборотов якоря при максимальной скорости автомобиля.
5. Обладать максимальной бесшумностью работы.
6. Обладать полной герметичностью.

Для выполнения первого и второго пункта прибегают к возможно полному использованию материалов, и допускаемая плотность тока в проводах значительно выше, чем в стационарных динамомашинах. Корпус динамомашины изготавливают из мягкой стали, допускающей высокое значение магнитной индукции. Корпус представляет или цельнотянутую трубу или он свертывается из листового материала с последующей его сваркой.

Как в первом случае, так и во втором корпуса динамомашин, изготовленные на европейских заводах, имеют не только внутреннюю расточку или пройдены разверткой, а также и внешнюю обточку, причем с внешней стороны часто встречается обточка, произведенная при большой скорости подачи резца, так что поверхность получается в виде неглубокой резьбы; это делается с целью большего отвода тепла от корпуса динамомашины, с этой же целью наружная поверхность корпуса не закрашивается, а никелируется.

Динамомашины, построенные на заводах США, большей частью имеют только обработку внутренней стороны корпуса и большей частью обработаны разверткой.

Для выполнения третьего пункта можно применить два способа или увеличить передаточное число между двигателем и якорем динамомашины с целью повысить число оборотов последнего, или установить большее число полюсов.

Первый способ нежелателен, так как при быстром движении автомобиля число оборотов якоря становится настолько велико, что условия коммутации тока крайне затруднительны, а также и механическая прочность машины может оказаться недостат-

точной. Применение большего числа пар полюсов позволяет снизить число оборотов якоря, оставляя ту же мощность генератора.

Сердечники катушек возбуждения и полюсные наконечники в современных динамомашинках изготавливаются сборными из листового легированного железа, с целью понизить нагрев сердечников токами Фуко, а также иметь большую допустимую магнитную индукцию, величина которой позволяет иметь при малом числе оборотов якоря большой магнитный поток.

Крышки динамомашины штампуют из листовой стали, или одна из них представляет дно цельнотянутого цилиндра, иногда они отливаются из алюминия.

Первые два способа чаще встречаются на генераторах американского происхождения, последний способ более распространен в Европе.

Обмотки индукторов динамомашины выполнены из медной проволоки, покрытой изоляцией (эмалевый лак или бумажная оплетка), сечение проволоки, применяемой для катушек, различно и зависит от мощности динамомашины и способа включения обмоток возбуждения. Наиболее часто применяемая проволока для изготовления щунтовых катушек возбуждения на автомобильных и тракторных динамомашинках имеет диаметр от  $1,2 \pm 0,8$  мм и в мотоциклетных динамомашинках диаметр от  $0,6 \pm 0,4$  мм.

### Якорь динамомашины и его обмотки

Якорь состоит из стального вала, снабженного продольной шпонкой или шлицевой впадиной, на который (вал) одеваются железные диски (один из них изображен на рис. 104), которые, или покрыты с одной стороны лаком или покрыты окалиной, образовавшейся при отжиге. Собранные на вал диски представляют сердечник якоря. Сборным якорь выполняют в целях уменьшения нагрева, возникающего от токов Фуко.

Качество железа, из которого изготовлены отдельные диски, должно быть наивысшим и иметь минимальные коэффициенты, характеризующие величину потерь на гистерезис и токи Фуко. Поля в сердечнике могут встречаться как прямые, так и наклонные под углом  $7 \pm 10^\circ$ .

В целях уменьшения гудения якоря после сборки отдельных дисков, сердечник подвергают прессованию и в спрессованном виде производят закрепление дисков на валу. Для выполнения

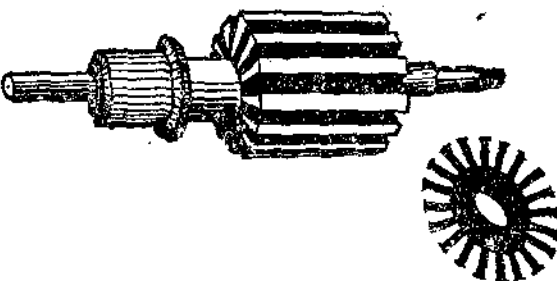


Рис. 104.

пятого пункта вал якоря делают достаточно большого диаметра с целью иметь больший момент сопротивления, а также принимают меры для уменьшения возможности вибрации якоря вызываемой пульсацией магнитного поля.

С этой целью, а также и с целью более бесшумной работы динамомашины, полюсные наконечники снабжаются рассеивающими кромками, или путем увеличения между железного пространства под краями полюсных наконечников (см. рис. 105a) или применением среза кромки полюсного наконечника под углом к образующей якоря (см. рис. 105b), или наклонным расположением пазов. Формы пазов, встречающихся на якорях автодинамомашин, бывает двух видов: 1) полузакрытый паз и 2) открытый паз.

Первый вид пазов имеет ряд преимуществ и недостатков перед вторым видом. К преимуществам надо отнести: а) меньшие пульсации магнитного поля, б) наибольшая площадь для перехода магнитного потока от индуктора к якорю и от якоря в индуктор, в) надежное укрепление обмоток с помощью клиньев и отсутствием необходимости в применении бандажей.

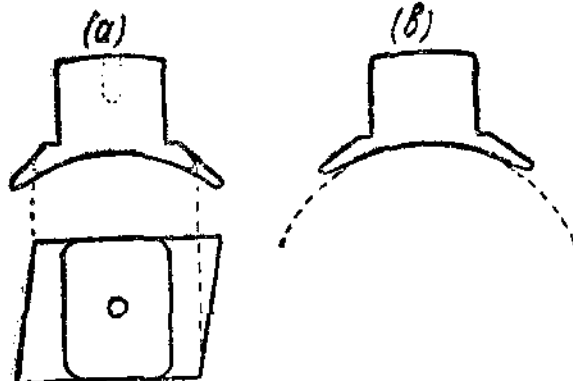


Рис. 105

ками, б) затруднение при укладке готовых секций в пазы (при шаблонной обмотке).

Второй вид пазов допускает производить быструю сборку шаблонных обмоток на якорь, но обязательно требует применения бандажей. Для увеличения бесшумности работы динамомашины желательно иметь как можно большее число пазов, но это удорожает изготовление якоря и усложняет изоляцию отдельных пазов; в целях удешевления и упрощения изготавливают якоря с минимальным числом пазов 8--14, в более же дорогих генераторах встречаются якоря, имеющие 30--40 пазов, причем число пазов делают кратным числу полюсов для устранения возможности нарушения симметрии магнитных полей, могущих вызвать вибрацию якоря.

Обмотки якорей встречаются двух типов: 1) петлевая (параллельная) и 2) волновая (последовательная). Первый тип обмоток применяют чаще в двухполюсных динамомашинах, так как применение ее в многополюсных связано с необходимостью или иметь число щеток, равное числу полюсов, или вводить эквипотенциальные соединения.

Если привести сравнение двух генераторов, имеющих все идентичные данные, кроме типа обмотки, как-то число полюсов одинаковое, но большее двух, диаметр якорей и радиусы расположения обмоток одинаковы, число оборотов якорей одинаково, угол охвата полюсами якоря также одинаков, то величина напряжения на щетках окажется в два раза больше у того генератора, который имеет волновую обмотку (последовательную), сила тока во внешней цепи у генератора с петлевой (параллельной) обмоткой окажется в два раза больше, чем у генератора с волновой обмоткой.

Динамомашины, снабженные регулятором напряжения, чаще строятся четырехполюсными и снабжаются двумя щетками, расположеннымными под углом 90°, вследствие чего на них (генераторах) более распространена волновая обмотка. Динамомашины с дополнительной щеткой большей частью имеют двухполюсный индуктор, но нередко можно встретить четырех и шестиполюсные (фирма Форд, Авто-Лайт), регулирование силы зарядного тока с помощью дополнительной щетки в многополюсных генераторах приходится производить с большой осторожностью, так как незначительное перемещение дополнительной щетки вызывает большие изменения в зарядной силе тока.

За последнее время ярко выражена тенденция перехода к двухполюсным генераторам в случае применения третьей щетки. В двухполюсных генераторах, будет ли обмотка петлевая или волновая, напряжение и сила тока останутся одинаковыми; обмотка якорей двухполюсных динамомашин большей частью выполняется диаметральной, т. е. полусекции одной катушки располагаются или диаметрально противоположно, или близко к этому, в связи с чем шаблонный способ неприменим, так как невозможно произвести укладку секций в пазы. Поэтому подобные якоря наматываются или вручную или на станке и соединение обмоток производят по петлевому способу.

На рис. 106 изображена схема соединения петлевой обмотки с коллектором (потусторонние соединения не показаны) и на рис. 107 приведена развертка на плоскость обмоток этого якоря. На схемах представлена обмотка якорей трехщеточных, двух-

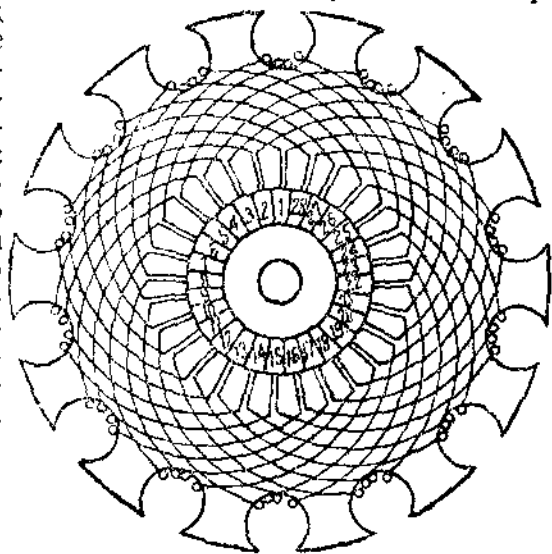


Рис. 106

полюсных динамомашин, изготавливаемых Электрозводом для автомобилей Форд АА, АМОЗ и Яз, а также фирмами Делько.

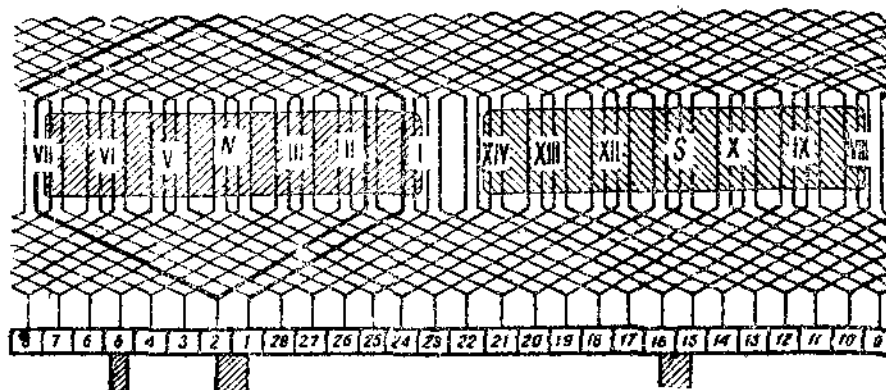


Рис. 107

Реми, Авто-Лайт и Марелли. Монтажные данные некоторых из них приведены в таблице 5.

Таблица 5

Фирма	Делько-Реми	Авто-Лайт	Электрозвод
Мощность в уаттах . . . . .	50	60	100
Напряжение . . . . .	12	6	6
Число полюсов . . . . .	2	2	4
Число пазов . . . . .	14	14	17
Шаг обмотки . . . . .	6	6	5
Число секций . . . . .	28	28	34
Число витков в секции . . . . .	10	5	4
Диаметр проволоки якорной обмотки . . . . .	0,8	1,1	1,1
Вес проволоки якорной, бм ткн . . . . .	300 г	325 г	398
Ч. слоев ламелей на коллекторе . . . . .	28	28	33
Ч. слоев винков на индукторах . . . . .	400	200	142
Диаметр проволоки на индукторах . . . . .	0,9	1,1	—
Вес проволоки обмотки индукторов . . . . .	420 г	400 г	—
Сопротивление обмотки возбуждения в омах . . . . .	1,5-5	0, - 0,7	—

Выше уже указывалось, что якоря четырехполюсных динамомашин чаще снабжаются волновой обмоткой. На рис. 108 изображена схема соединения якорной волновой обмотки с коллектором, часть обмотки, расположенной на торце якоря (в противоположном коллектору), на схеме не указана. На рис. 109 дана развертка на плоскость волновой обмотки динамомашины Роберт-Бш. Из схемы видно, что число ламелей не кратно числу пазов, т. е. ламелей 39, а следовательно и секций 39, но количество пазов равно 20 и число помещенных секций равно 40. Как видно из схемы, одна секция остается невключенной и все же она помещена на якорь (обозначена на рис. 108 в виде черных круж-

и расположена в пятом и двадцатом пазах), ее присутствие необходимо для балансировки якоря. Ее называют балластной

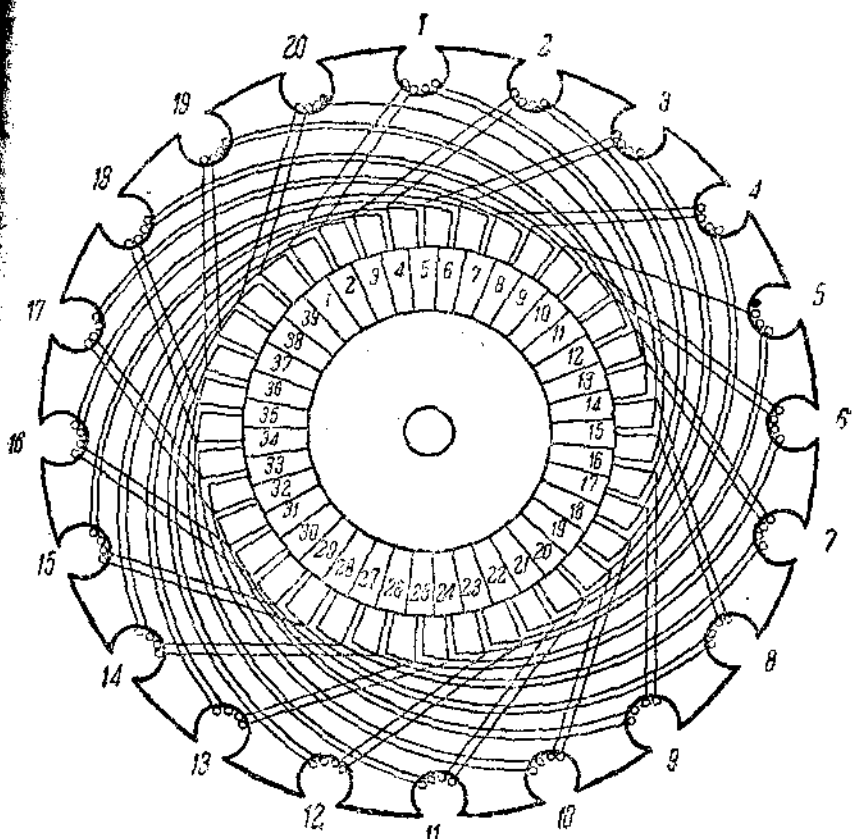


Рис. 108

екцией. Из курса „Электротехники“ известно, что выполнение полновой двухслойной обмотки возможно при соблюдении усло-

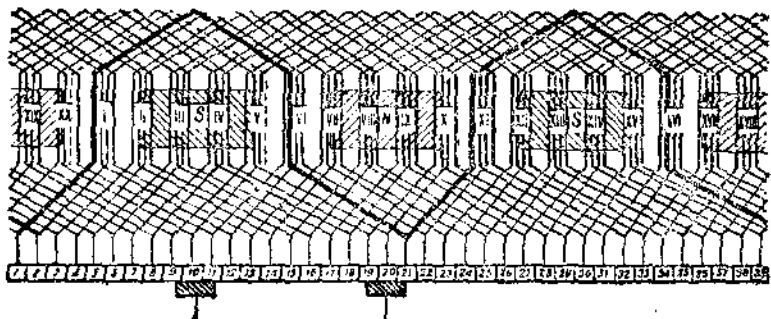


Рис. 109

вия, что шаг обмотки должен быть числом целым и нечетным

$$y_1 + y_2 = \frac{s+2}{4P}; \quad y_1 + y_2 = \frac{78+2}{8} = 10; \quad v_1 = v_2 = 5,$$

где

$y_1$  и  $v_2$  — шаги обмотки,  
 $s$  — число полусекций  
 $P$  — число пар полюсов,

Из условий наименьшей вибрации якоря необходимо иметь число пазов, кратное числу полюсов, выполнить данные условия возможно, но при наличии балластной секции. Применение волновой обмотки ухудшает условия коммутации тока щетками, так как число витков, замыкаемых щеткою, в два раза больше при волновой обмотке, чем при петлевой (считая, что число ламелей одинаково и число полюсов равно 4):

Увеличение числа витков в два раза вызывает увеличение Э.Д.С. самоиндукции в них в четыре раза, так как коэффициент самоиндукции связан квадратной зависимостью с числом витков.

Улучшить процесс коммутации можно различными способами:

1. Увеличением числа ламелей, а следовательно уменьшением числа витков в отдельных секциях.

2. Применением щеток, материал которых имеет большое удельное сопротивление.

3. Применением открытых пазов.

4. Сдвигом щеток в сторону вращения.

5. Установкой дополнительных полюсов.

6. Применением компенсационных обмоток.

Из перечисленных шести способов только первые три нашли применение на генераторах автомашин.

## Коллектор

Коллектор является неотъемлемой частью динамомашины постоянного тока и служит для выпрямления переменного тока, созданного индуктированной Э.Д.С. в обмотках якоря. Процесс выпрямления мы не рассматриваем, так как читающему данную книгу он известен из курса „Электротехники“.

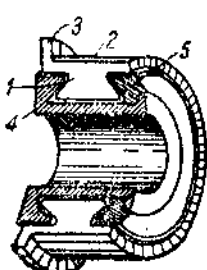


Рис. 110

На рис. 110 представлен разрез коллектора, который собран из пластин (ламелей), изготовленных из электролитической меди. Каждая ламель изолирована микарнитом, как от якоря так и от соседних ламелей. Микарнит подбирают по твердости, близкой к твердости меди, в целях равномерного износа всей трущющейся поверхности, но практика показала, что более верным способом является

углубление микарнитовой изоляции на один миллиметр от внешней поверхности коллектора.

Большую глубину иметь не рекомендуется, так как в глубоких выемках может удерживаться угольно-графитовая пыль от

щеток, которая создаст замыкание между ламелями. Изготовленный коллектор укрепляется на вал якоря гайкой, но чаще всего коллектор одевается на вал при помощи пресса и удерживается трением.

Для предупреждения быстрого износа щеток коллектор после обточки шлифуют и полируют.

Учитывая значительный нагрев коллектора, припайку выводов обмоток производят чистым оловом, но не третником, предварительно произведя очистку и смазку канифолью поверхности, подлежащих пайке. Применять хлористый цинк (травленую соляную кислоту) при пайке обмоток недопустимо, так как самое незначительное присутствие его разрушает изоляцию и материал проводника.

### Щетки и щеткодержатели

Динамомашины, применяемые на автотранспорте, встречаются с рабочим напряжением в 6, 12 и 24 вольт. В связи с тем, что напряжения довольно низкие, необходимо иметь материал щеток большой проводимости. Удельное сопротивление колеблется в пределах  $0,00003 - 0,00009 \text{ ом}/\text{см}^3$ , причем первая цифра относится к щеткам генераторов с напряжением в 6 вольт и вторая к щеткам генераторов с напряжением в 24 вольт. Удельное сопротивление щеток зависит от материала, из которого они изготовлены. По материалу щетки имеют различное название, напр.: 1) медно-графитовые, 2) угольно-графитовые, 3) угольные.

По условиям наименьшего падения напряжения в щетках, желательно иметь минимальное удельное сопротивление их. По условиям коммутации тока щетками желательно иметь большее сопротивление, с целью уменьшить значение силы тока самоиндукции, появляющейся при замыкании щеткою двух рядом лежащих ламелей. Уменьшение величины тока самоиндукции препятствует перераспределению силы тока под щетками и их искрению. При работе динамомашины щетки нагреваются от трех причин: 1) вследствие трения щетки о коллектор, 2) вследствие выделения Джоулева тепла и 3) вследствие искрения щеток.

Для уменьшения нагрева щеток и коллектора, вызванного трением, в состав материала щеток вводят графит, так как он понижает коэффициент трения. Сила трения зависит не только от коэффициента трения, но и величины нормального давления, а значит, не следует чрезмерно повышать упругость пружин, прижимающих щетки к коллектору. Повышение температуры щеток различно влияет на проводимость их в зависимости от материала, из которого щетки изготовлены. Если в состав материала входит большой процент содержания угля, то при нагреве проводимость будет повышаться, так как уголь имеет отрицательный температурный коэффициент. Если в состав материала входит большой процент содержания меди, то проводимость щеток будет понижаться, так как медь имеет положительный температурный коэффициент. Можно подобрать такое соотно-

шение между содержанием угля и меди, что проводимость останется постоянной, независимо от изменения температуры.

В целях понижения возможности нагрева щеток Джоулем теплом желательно иметь большую проводимость материала их, а также не повышать плотность тока более  $4 \div 10$  ампер на  $\text{см}^2$ . Достаточную площадь касания щетки с коллектором возможно получить путем утолщения щетки или путем увеличения ее ширины. Утолщение щетки недопустимо, так как число одновременно замыкаемых ламелей будет больше, чем это предусматривается конструкцией якоря и коллектора.

Увеличение ширины щетки может вызвать неплотное прилегание поверхности щетки к коллектору, а следовательно создается возможность искрения; выход из затруднения дает способ установки двух щеток, расположенных по образующей коллектора, и в этом случае, условия охлаждения щеток так же улучшаются.

Устанавливают щетки в щеткодержатели. Щеткодержатели встречаются двух типов: 1) щетка жестко скреплена со щеткодержателем и 2) щетка имеет полужесткое крепление, позволяющее ей радиально перемещаться в щеткодержателе. Сравнивая эти способы, можно сказать следующее: при полужестком креплении щетки подвижной массой является только масса, заключенная в ней, гибком проводе (соединяющем ее со щеткодержателем) и части пружины. В случае жесткого крепления, помимо вышеуказанной массы движущихся частей, еще прибавляется и масса щеткодержателя. Увеличение подвижной массы создает большую склонность к вибрации щетки, а следовательно и большему искрению под нею.

В целях предупреждения вибрации увеличивают упругость пружины, но это вызывает повышение температуры коллектора. В трехщеточных динамомашинах условия коммутации третьей щеткой крайне затруднены, так как коммутируемая секция находится в большом магнитном потоке. В целях уменьшения искрения под третьей щеткой она выполняется меньшей толщины и перекрывает максимум две ламели. Условия правильной работы коллектора и щеток также зависят от состояния поверхностей касания.

Попадание масла на коллектор вызывает сильное искрение щеток, а иногда невозможность самовозбуждения генератора. Для предупреждения попадания масла на коллектор и сбомотки устанавливают отражательные кольца или в виде диска с острыми кромками, с которых масло сбрасывается центробежной силой в специальный маслоуловитель, или же верхняя часть диска снабжается нарезкой, по которой масло отводится обратно в подшипник.

Первый способ более простой и допускает реверсирование якоря.

Второй же способ действителен только при вращении якоря в определенном направлении, т. е. при вращении якоря вправо (если смотреть с наружной стороны подшипника), нарезка резьбы должна быть правою и наоборот.

## ОДНОСТЬ ДИНАМОМАШИН, ВЫБОР МЕСТА ДЛЯ УСТАНОВКИ ИХ КРЕПЛЕНИЕ

Автомашины имеют различные области применения и различную мощность световой и силовой установки, так например: полупотяжные автомобили, двух- и четырехместные требуют меньшую мощность световой установки, чем автобусы и грузовые автомобили. Автомобили с двигателями быстрого сгорания, требуют меньшую мощность стартера (электродвигателя для пуска), чем автомобили, снабженные двигателями постепенного сгорания (дизелями). Учитывая потребную мощность установки, выбирают генератор соответствующей мощности с таким расчетом, чтобы при скорости движения автомобиля 20—25 км в час (на прямой передаче) развиваемая мощность генератором покрывала всю нагрузку, которая может быть включена в темное время суток (исключая стартера).

Иметь генератор, пригодный для автомобилей различных мощностей, и для различных условий работы, невозможно, и фирмы изготавливают их различной мощности от 25 до 1000 ватт и с различным минимальным числом оборотов.

Число оборотов двигателя внутреннего сгорания, а также возможность получить то или иное передаточное число между валом двигателя и якорем, диктует выбор генератора по минимальному числу оборотов якоря.

Выбор места для установки генератора имеет немаловажную роль. Выше уже указывалось, что нагрев генератора очень высок и для предупреждения возможности перегрева динамомашину устанавливают там, где скорость течения воздуха не менее двух метров в секунду.

На автомобилях это место находится ближе к радиатору, причем если имеется вентилятор, то динамомашину, благодаря капоту, который направляет струю воздуха вдоль двигателя, получает достаточное охлаждение. Крепление динамомашин может быть осуществлено или при помощи фланца (см. рис. III), которым снабжается генератор, или укрепляется стальной лентой к площадке, представляющей часть отливки картера, или выполненную в виде крышки на с болтовым креплением. Привод якоря осуществляется различно на автомобилях и тракторах: 1) при помощи трапециедального ремня, 2) при помощи бесшумной цепи или 3) зубчатым запелением. На мотоциклах иногда встречается фрикционный способ, где шкив генератора изготовлен из кожи.

При передаче цепью или зубчатыми шестернями рекомендуется устанавливать промежуточное звено, выполняющее роль амортизатора. Амортизаторы встречаются различных типов; фирма S. A. Y. ставит ряд стальных пластинок, собранных в виде рессоры (см. рис. 112а), фирма Паллас и фирма Бос применяют

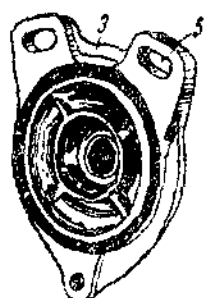


Рис. III

упругую прокладку между ведомой и ведущей частью (см. рис. 112б) и 112с).

Наличие упругого соединения значительно влияет на сохранность генератора, а также и на бесшумность сцепления.

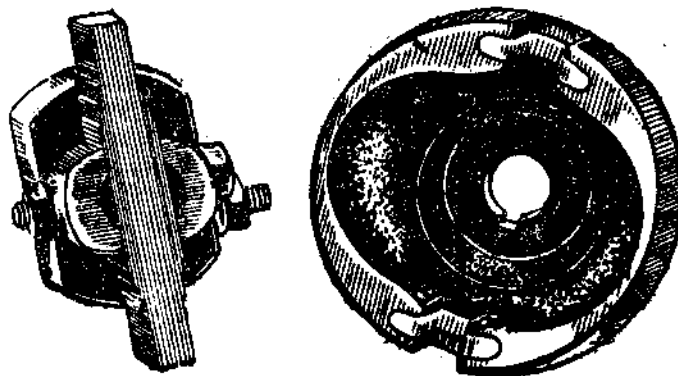


Рис. 112а

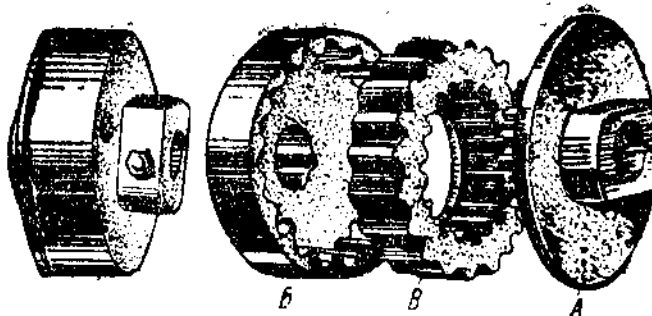


Рис. 112б

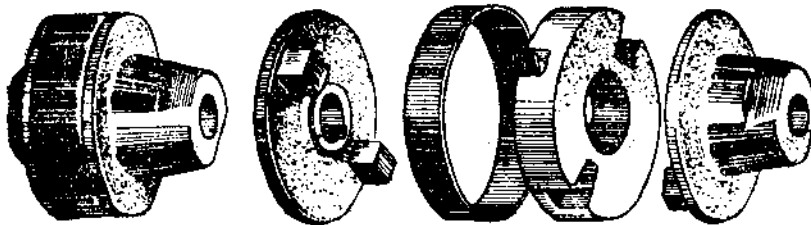


Рис. 112с

## КОНСТРУКТИВНОЕ ОПИСАНИЕ НАИБОЛЕЕ РАСПРОСТРАНЕННЫХ ДИНАМОШАНИЙ В АВТОТРАКТОРНОМ ПАРКЕ СССР

### Динамомашине фирмы Делько-Реми

На рис. 113 представлен общий вид динамомашины фирмы Делько-Реми, устанавливаемой на тракторах фирмы Клетрак 40 и Клетрак 100.

мимальное напряжение 12 вольт.

мимальная мощность 50 ватт, при 900 об./мин.

на рис. 114 изображена схема соединения обмоток возбуждения, термостата и обмоток реле.

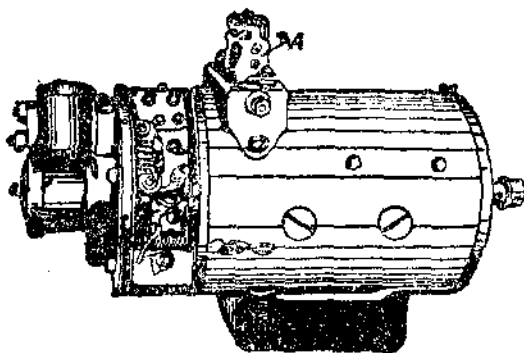


Рис. 113

В таблице 6 приведены монтажные данные реле (данные обмоток якоря и индукторов приведены в таблице 5).

Таблица 6

Проволока с эмалевой изоляцией	Последоват. медная	Параллельн. медная
диаметр с изоляцией . . . . .	1,64 мм	0,17 мм
диаметр без изоляции . . . . .	1,6 мм	0,15 мм
до витков . . . . .	17	1,090
на проволоки . . . . .	1,12 м	46 м
в проволоки . . . . .	20 г	8 г
противление . . . . .	0,014 ом	43,7 ом

### Регулирование реле

Правильно отрегулированное реле должно работать следующим образом: при крайнем положении третьей щетки, сдвинутой против направления вращения якоря, контакты  $K_c$  и  $K_d$  должны замыкаться при 750 об/мин. и размыкаться при 700 об/мин. при условии совместной работы генератора с аккумуляторной батареей).

При крайнем положении третьей щетки, сдвинутой в сторону вращения якоря, контакты  $K_c$  и  $K_d$  должны замыкаться при 0 об/мин. и размыкаться при 600 об/мин. при условии совместной работы. Регулирование момента замыкания и размыкания контактов достигается путем подгибания упора пружины, тягивающей якорек, а также перед регулировкой упругости пружины необходимо установить ограничительный упор ОУ, который не позволяет якорьку реле отходить дальше, чем на

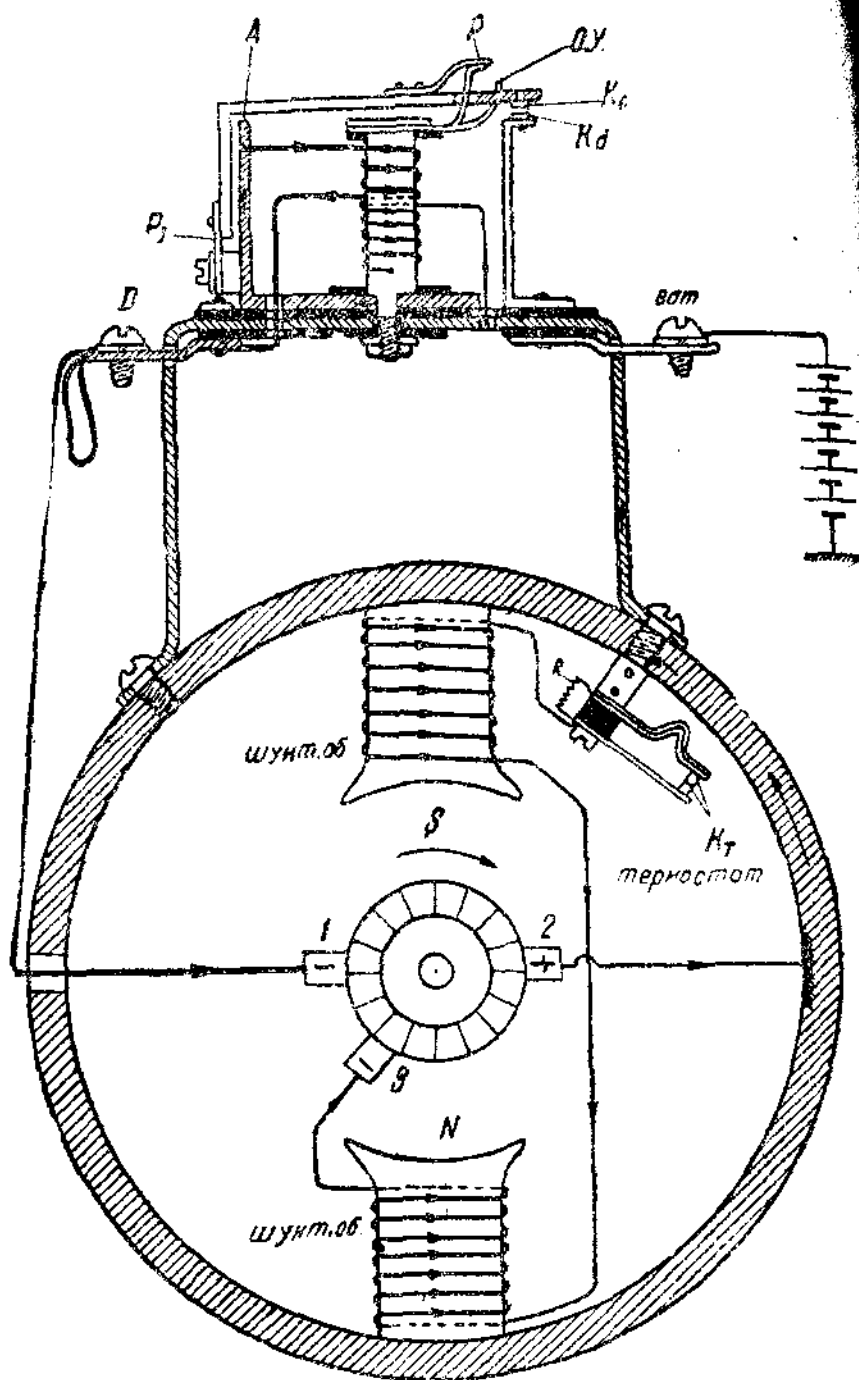


Рис. 114

такое расстояние, при котором зазор между контактами будет в пределах 0,4 - 0,75 мм; если его величина окажется больше, то замыкание контактов будет происходить при большем напряжении и следовательно при большем числе оборотов якоря, если же уменьшить упругость пружины, с тем, чтобы контакты замыкались при прежнем напряжении, то размыкание контактов сможет происходить только при обратном токе в последовательной обмотке.

Уменьшение зазора, а также чрезмерное уменьшение упругости пружины, не рекомендуется, так как замыкание контактов будет происходить при незначительном повышении числа оборотов якоря и как только аккумуляторная батарея окажется включенной, то напряжение на зажимах динамомашины уменьшится за счет величины падения напряжения в обмотках якоря, и появится возможность движения электрического тока из батареи в генератор.

Размагничивающее действие последовательной обмотки немедленно вызывает размыкание контактов, а затем вновь напряжение генератора повысится и весь процесс будет повторяться.

Вибрация якорька реле вызывает появление искры, которая быстро разрушает материал контактов. Материалом для контактов чаще всего служит серебро.

На рис. 114 изогнутая часть магнитопровода  $A$  служит для уменьшения сопротивления магнитной цепи, которая имела бы большее значение в случае пропускания магнитного потока через пружину  $P_1$ , и, следовательно, для создания прежней напряженности магнитного поля пришлось бы увеличить аппарата катушки реле.

Динамомашине снабжена термостатом, контакты  $K_t$ , которого должны размыкаться при температуре +70° С. К термостату приключено сопротивление в 0,4 ома, изготовленное из никелиновой проволоки диаметром 0,4 мм и длиной 0,3 м.

### Динамомашине фирмы Форд, модель АА

Динамомашине автомобиля Форд имеет незначительное отличие в конструкции по сравнению с динамомашиной фирмой Делько-Реми, а именно отсутствует термостат и реле имеет двойную магнитную цепь.

Номинальное напряжение 6 вольт. Номинальная мощность 60 ватт при 900 об/мин.

В таблице 7 сведены монтажные данные реле (данные обмоток генератора см. в таблице 5).

Отрегулированное реле должно работать следующим образом при крайнем положении третьей щетки, сдвинутой против направления вращения якоря, контакты  $K_o$  и  $K_d$  должны замыкаться при 1 200 об/мин. и размыкаться при 1 100 об/мин.

При крайнем положении третьей щетки, сдвинутой в сторону вращения якоря, контакты  $K_o$  и  $K_d$  должны замыкаться при 800 об/мин. и размыкаться при 700 об/мин.

Таблица 7

Проволока с эмалевой изоляцией	Последоват. меди-я	Параллельн. мединая
Диаметр с изоляцией . . . . .	1,64 мм	0,17 мм
Диаметр без изоляции . . . . .	1,6 мм	0,15 мм
Число витков . . . . .	21	1.480
Длина проволоки . . . . .	1,29 м	51,4 м
Вес пр. волокни . . . . .	23 г	10 г
Сопротивление . . . . .	0,019 ом	56,12 ом

Ограничитель якорька *OY* не должен допускать установления величины зазора между контактами, большей 0,4 мм.

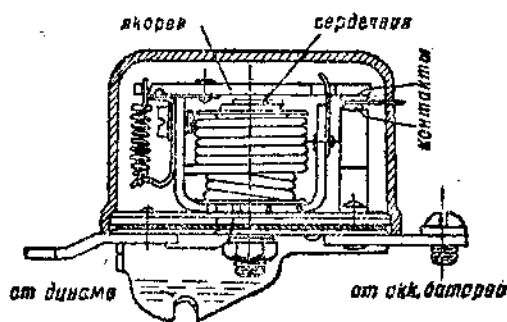


Рис. 115

Регулирование упругости пружины производится путем подгибания упора пружины.

Реле, изготавливаемые фирмой Авто-Лайт и Электрозводом, имеют схему соединения обмоток, полностью совпадающую со схемой реле динамомашины фирмы Делько-Реми.

По конструкции магнитопровода реле Авто-Лайт, реле Электрозводо-

да и реле Форд отличны от реле Делько-Реми, так как имеют разветвленную магнитную цепь.

На схеме 114 изображен магнитопровод реле Делько-Реми.

На схеме 115 изображен магнитопровод реле Авто-Лайт и Электрозводы.

Сравнивая их, можно сказать, что наиболее целесообразна магнитная цепь, изображенная на рис. 115, так как сопротивление магнитной цепи значительно уменьшено.

### Динамомашинка фирмы Сцинтилла с комбинированным одноступенным регулятором напряжения, максимальной силы тока и реле

Номинальное напряжение 12 вольт.

Номинальная мощность 80 ватт, при 900 об/мин.

На рис. 116 представлен разрез комбинированного реле регулятора, римскими цифрами обозначены те обмотки, которые указаны на монтажной схеме (см. рис. 116б). Динамомашинка фирмы Сцинтилла снабжена четырехполюсным индуктором с шунтовой обмоткой и имеет на коллекторе четыре щетки, расположенные под углом 90°.

Комбинированный регулятор — реле фирмы Сцинтилла устанавливается отдельно от динамомашины и имеет электрическую связь с ней при посредстве двух проводов 17—17', 18—18' «массы».

Регулятор — реле имеет железный корпус, который выполняет роль магнитопровода, а также и является защитой для обмоток. Благодаря внутренней железной перегородке, осуществляется возможность иметь две магнитные цепи, причем левая часть выполняет функции реле, а правая — регулятора напряжения и максимальной силы тока.

Рассмотрим действие данного регулятора и пути тока. При подвижном якоре динамомашины и включенном выключателе  $V_k$ , под действием Э.Д.С. аккумуляторной батареи в цепи контрольной лампы появится электрический ток, путь тока следующий:

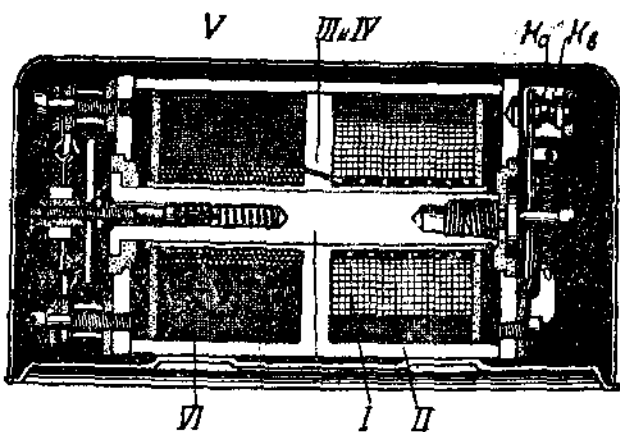


Рис. 116а

дующий: + зажим аккумуляторной батареи, «масса», + щетки, ламели коллектора, обмотки якоря, ламели коллектора, —, щетки, зажим 17, провод 17—17', зажим регулятора 17' металлическая пластика, зажим 5, выключатель  $V_k$ , контрольная лампа, зажим 3 обмотка III зажим 4 провод к батарее и — зажим ее.

**Примечание.** Все другие параллельные пути не рассматриваем.

При увеличении числа оборотов якоря динамомашины в его обмотках индуцируется Э.Д.С., которая будет направлена на встречу Э.Д.С. аккумуляторной батареи. Сила тока в контрольной лампе уменьшаясь пройдет пульсное значение и начнет увеличиваться. Одновременно от + щеток генератора ток поступает в зажим 27 и от него разветвится по трем направлениям: 1) в вибратор, контакты  $K_b$  и  $K_a$ , зажим 18', провод 18'—18, зажим 18, шунтовая обмотка возбуждения, зажим 17 и — щетки; 2) в обмотку I, зажим 17, зажим 17, провод 17'—17 и — щетки; 3) в обмотку VI, обмотку V, обмотку IV, зажим 5, зажим 17, провод 17'—17 и — щетки.

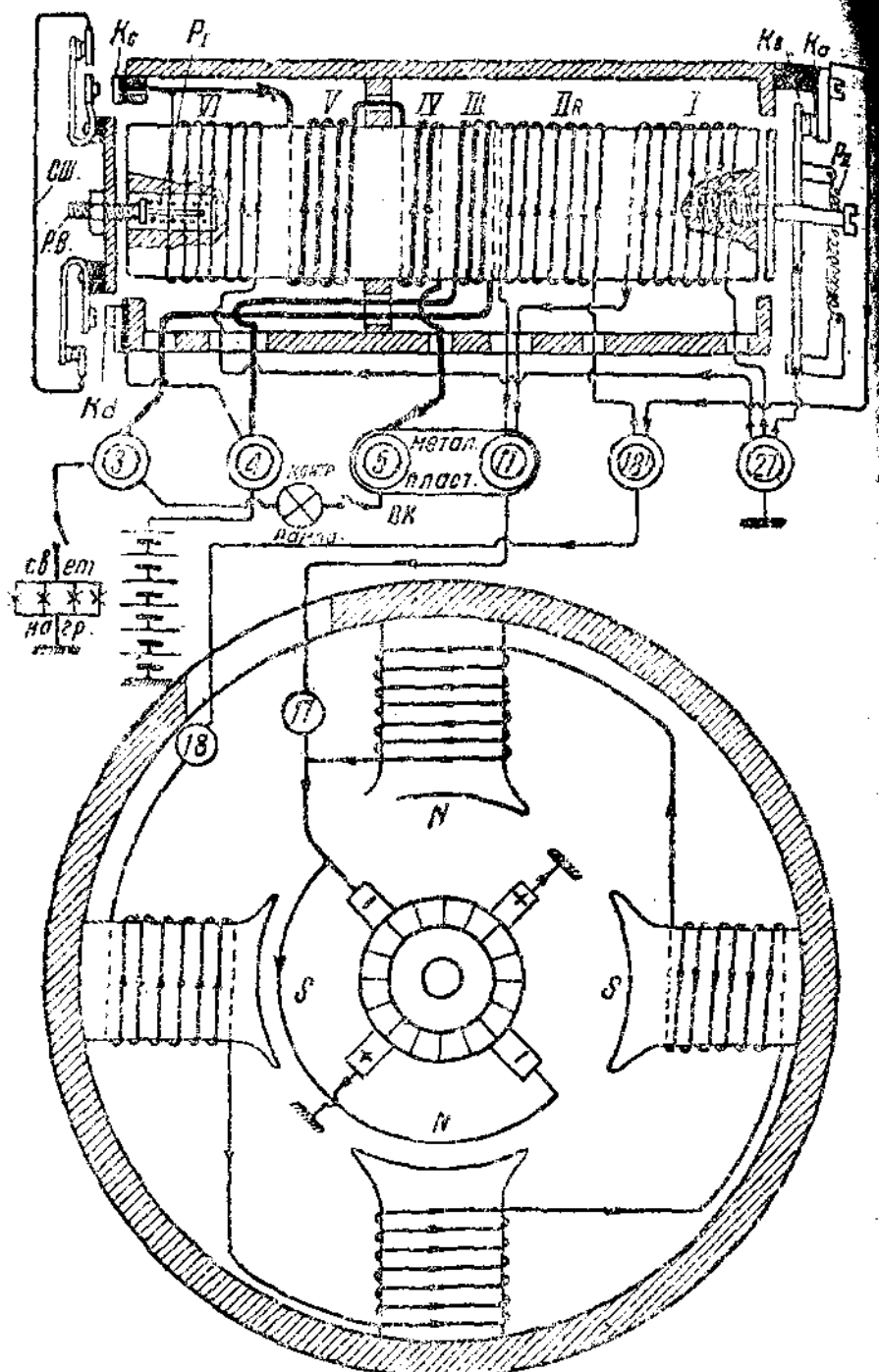


Рис. 1160

одновременно при замкнутых контактах  $K_a$  и  $K_b$  от зажима 18' ток отвечается в обмотку  $II R$  и поле, созданное, имел, поле созданное током в обмотке I. Обмотки I и  $II R$  служат регулятор напряжения, причем, если напряжение в зажимах динамомашины значительно повысится, то суммарное тягнущее поле обмоток I и  $II R$  вызовет притяжение вибратора и контакты  $K_a$  и  $K_b$  разомкнутся.

Размыкание контактов вызывает отключение обмотки возбуждения индукторов от "массы" и обмотка  $II R$  также окажетсяключенной от "массы", вследствие разрыва цепи возбужденияней возникает Э.Д.С самоиндукции и появляется электроток,правленный из шунтовой обмотки возбуждения в зажим 17, провод 17-17', зажим 17, в обмотку  $II R$ , зажим 18' прои 18'-18, зажим 18 и обмотки возбуждения. Ясно, что электроток в обмотке  $II R$  будет обратного направления и создастмагнитное поле, противостоящее полю обмотки I и так как результирующее поле окажется очень малым, то вибратор под действием пружины  $P_H$  замкнет контакты  $K_a$   $K_b$ . Обмотка возбуждения вновь будет приключена к "массе" и ток возбуждения увеличится. Весь процесс будет повторяться и вибратор станет совершать колебательное движение, все время засекая и размыкая контакты  $K_a$   $K_b$ .

Обмотка  $II R$  с одной стороны выполняет искрогасительную роль, а с другой стороны увеличивает число колебаний вибратора.

Примечание. Подробное описание см. в главе "Регуляторы" (одна ступень регулирования, состояния тока напряжения первого типа).

При увеличении числа оборотов якоря в обмотке V увеличивается сила тока и вызывает замыкание контактов  $K_c$  и  $K_d$ , следствие чего в цепь динамомашины оказывается включенной аккумуляторная батарея.

При замкнутых контактах  $K_c$  и  $K_d$  нить контактной лампы шунтируется обмотками V и IV и сила тока в ней настолько уменьшается, что нить перестает светиться.

Направление зарядной силы тока следующее: + щетки; "масса", + зажим аккумуляторной батареи, батарея, — зажим 2, зажим 4, контакт  $K_a$ , контакт  $K_c$ , обмотку V обмотка V, зажим 5 металлическая пластина, зажим 17', провод 17-17' и — щетки.

Поле, созданное обмоткой V, пополнив поле, созданное обмоткой VI и контакты  $K_c$  и  $K_d$  будут удерживаться в замкнутом состоянии. Так как обмотка IV является продолжением обмотки V, то и в четвертой обмотке будет та же зарядная сила тока. Если аккумуляторная батарея разряжена, то зарядный ток может достигнуть большого значения, при котором активная масса листин может вываливаться из них.

Увеличение силы тока в обмотке IV усиливает поле обмотки I и вызывает колебание вибратора, тем самым предупредит возможность повышения зарядной силы тока.

Из схемы видно, что световая нагрузка включена не непосредственно к зажимам батареи, а через обмотку III и в тех случаях, когда развивающаяся мощность динамомашины меньше необходимой мощности для включенной внешней нагрузки, в обмотке I появится сила тока, посылаемая аккумуляторной батареей. В этом случае магнитное поле, созданное обмоткой III, будет встречено полю обмотки I, а следовательно вибратор длительное находится в замкнутом состоянии и мощность динамомашины будет повышенна.

Путь тока при включенной внешней нагрузке и замкнутых контактах  $K_c$  и  $K_a$  при условии, что внешняя нагрузка питается от динамомашины и аккумуляторной батареи, следующий:

1) Цель динамомашины и внешней нагрузки: + щетки, „масса“ — световая нагрузка, зажим 3, обмотка III, зажим 4, контакт  $K_c$ , контакт  $K_a$ , обмотка V, обмотка IV, зажим 5, металлическая пластинка, зажим 17, провод 17—17, зажим 17 и щетки.

2) Цель аккумуляторной батареи и световой нагрузки: + зажим аккумуляторной батареи, „масса“, световая нагрузка, зажим обмотка III, зажим 4 и — батареи).

В том случае, если Э.Д.С. динамомашины окажется меньше Э.Д.С. аккумуляторной батареи, то в обмотке IV и обмотке появится ток обратного направления (разрядный ток), причем путь тока следующий: + зажим батареи, „масса“. + щетки ламели коллектора, обмотки якоря, ламели, — щетки, зажим провод 17—17, зажим 17, металлическая пластинка, зажим обмотка IV, обмотка V, контакты  $K_c$ , контакт  $K_a$ , зажим и — аккум. батареи.

Поле, созданное током в обмотке V, будет противоположено полю, созданному током в обмотке VI и напряженность результирующего поля не сможет удержать контакты  $K_c$  и  $K_a$  в замкнутом состоянии, которые под действием пружины Р разомкнутся и отключат аккумуляторную батарею от динамомашины.

Регулирование реле достигается путем ввинчивания или вывинчивания регулировочного винта РВ, причем если замыкание контактов  $K_c$  и  $K_a$  происходит только при большом числе оборотов якоря (динамомашин в исправном состоянии), то необходимо винт немного вывернуть; если же размыкание контактов происходит при разрядной силе тока большей, чем 2—4 ампера, то винт необходимо подвернуть.

Данные комбинированного регулятора — реле следующие:

I	никелевая	диаметр пров. 0,8 мм;	$W_I = 275$	втт.
II R			0,5	$W_{II} = 240$
III	мединая		1,2	$W_{III} = 1$
IV			1,2	$W_{IV} = 5$
V			1,2	$W_V = 42$
VI			0,2	$W_{VI} = 556,5$

Номинальное напряжение 12 вольт.

Номинальная мощность 225 вт при 800 об/мин.

На рис. 117 представлена монтажная схема соединения обмоток генератора, одноступенного регулятора напряжения, максимальной силы тока и реле.

Конструкция его видна из рисунка, где на общем магнитопроводе установлены два сердечника, левый сердечник снабжен двумя обмотками: параллельной (тонкой) и последовательной (толстой). Параллельная обмотка служит для создания магнитного поля, необходимого для замыкания контактов  $K_c$  и  $K_d$ . Контакт  $K_d$  соединен электрически через Г-образный якорек, пружину и тело магнитопровода с + щеткой. Контакт  $K_c$  изолирован от корпуса реле и через пластинку соединен с последовательной обмоткой. Левая катушка выполняет функции реле.

Сердечник, расположенный справа, снабжен тремя обмотками. Первая обмотка служит для создания магнитного поля в сердечнике и выполняет функции регулятора напряжения. Вторая обмотка служит для увеличения числа колебаний Г-образного якорка, так как при размыкании контактов  $K_1$  и  $K_2$  под действием Э.Д.С. самоиндукции, вызванной изменяющимся полем индукторов, в обмотке II появляется достаточная сила тока, чтобы ослабить поле, созданное обмоткой I. Обмотка III выполняет функции регулятора максимальной силы тока.

Принцип действия и пути тока следующие:

При неподвижном якоре и включенном выключателе  $V_k$  под действием Э.Д.С. аккумуляторной батареи появится ток в нити контрольной лампы и она будет накалена. Путь тока следующий: зажим аккумуляторной батареи, контрольная лампа, выключатель  $V_k$ , зажим  $bI$ , + щетка, ламели коллектора, обмотки якоря, ламели коллектора, — щетка, „масса“ и — зажим аккумуляторной батареи.

При увеличении числа оборотов якоря индуцированная Э.Д.С. его обмотках будет увеличиваться и в цепи контрольной лампы тока вначале уменьшится, дойдя до нулевого значения, затем вновь станет возрастать, но направление силы тока будет обратное, и так как одновременно в параллельной обмотке тока также увеличивается, то в связи с увеличением напряженности поля сердечника Г-образный якорек притягивается и замкнет контакты  $K_c$  и  $K_d$ , в цепь динамомашины будет включена аккумуляторная батарея. При замкнутых контактах  $K_c$  и  $K_d$  контрольная лампа прекратит испускание света, вследствие туннелирования нити последовательными обмотками реле и регулятора максимальной силы тока.

При увеличении числа оборотов якоря, в действие вступает регулятор. Путь тока при работе регулятора следующий: при замкнутых контактах  $K_1$  и  $K_2$  в обмотке II, имеющей сопротивление  $r_2 = 3,3$  ома, сила тока ничтожно мала, так как она

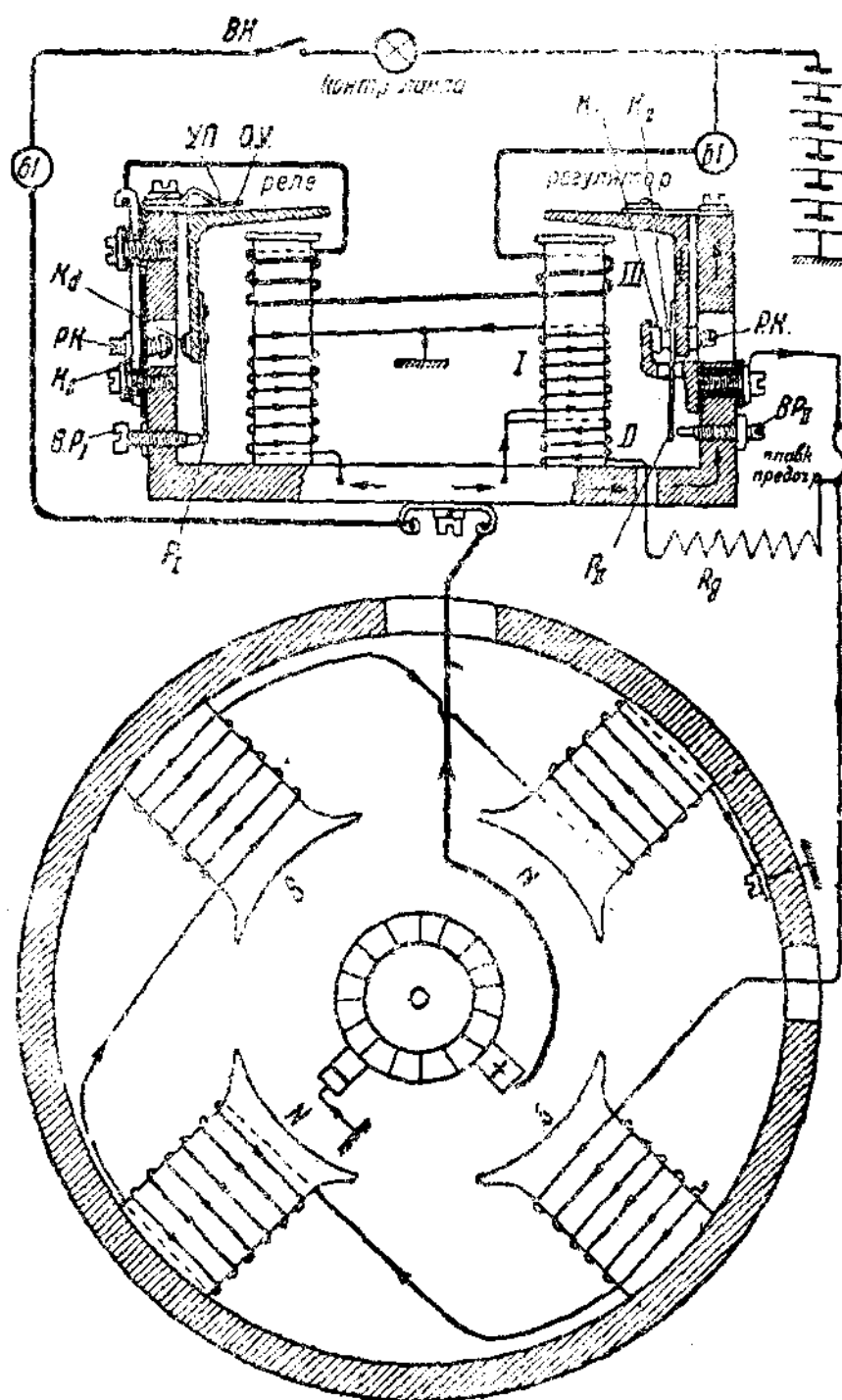


Рис.117

бмотка) включена по ледовательно через дополнительное сопротивление  $R_3 = 100$  ом и при напряжении в 12 вольт достигает значения  $I_{H_3} = 0,16$  ампера. Благодаря малому числу витков и малой силе тока, размагничивающее действие обмотки  $H$  чисто мало и заметного влияния на магнитные свойства сердечника не оказывает.

Когда напряжение на зажимах обмотки увеличится (следствие уменьшения нагрузки или увеличения числа оборотов якоря), образный якорек притягается и вызывает размыкание контактов  $K_1$  и  $K_2$ . Под действием Э.Д.С. самоиндукции появится экстраток размыкания который будет иметь следующее направление: юнтовая обмотка индукторов, "масса", — щетка, ламели коллектора, обмотки якоря, ламели коллектора, щетка, тело магнитопровода, обмотка  $H$ , дополнительное сопротивление  $R_g$ , обмотка индукторов.

Так как Э.Д.С. самоиндукции достигает значения порядка 00—200 вольт, то в обмотке  $H$  и сопротивлении  $R_g$  сила тока будет примерно 1—2 ампера. Поле, созданное током в обмотке  $H$ , окажет размагничивающее действие на сердечник, благодаря ему ускорит замыкание контактов  $K_1$  и  $K_2$  и будет происходить восстановление тока возбуждения.

В данном типе динамомашины в цепь возбуждения введен плавкий предохранитель, который предупреждает возможность перегревания изоляции обмотки возбуждения в случае чрезмерной силы тока в ней, что может иметь место в случае спайки контактов  $K_1$  и  $K_2$ , вызванной появлением искры, которая на данном регуляторе достигает довольно большой величины. Регулирование реле. Момент замыкания контактов  $K_1$  и  $K_2$  зависит от величины зазора между сердечником и Г-образным якорьком, а также от упругости пружины  $P_1$ . Величина зазора регулируется перемещением упорной пластинки  $УП$  или подвижением ограничительного упора  $O^v$  и не должна превышать 2—1,4 мм в месте наибольшего удаления якорька от сердечника. Регулирование упругости пружины  $P_1$  достигается вращением регулирующего винта  $B$ ,  $P_1$  до тех пор, пока не будет происходить замыкание контактов  $K_1$  и  $K_2$  при напряжении на зажимах динамомашины 13,5—14 вольт.

В целях устранения возможности "прилипания" Г-образного якорька к сердечнику необходимо произвести регулирование подвижного контакта  $K_3$  так, чтобы величина зазора между Г-образным якорьком и сердечником была в пределах 0,5—0,8 мм. Регулирование реле считают выполненным, если размыкание контактов  $K_1$  и  $K_2$  происходит при разрядной силе тока 4 ампера. Аккумуляторная батарея, включенная в цепь динамомашины, должна находиться в полузаряженном состоянии, так же Э.Д.С. зависит от состояния заряда. Единица же разрядного тока зависит от разности между Э.Д.С. динамомашины Э.Д.С. аккумуляторной батареи.

**Регулирование регулятора.** Регулирование можно производить двояко: 1) при наличии аккумуляторной батареи и 2) без нее.

1. При наличии аккумуляторной батареи динамомашину устанавливают на станок и последовательно в цепь между батареей и генератором включают амперметр. Затем, изменяя число оборотов якоря от 800 - 3.000 об/мин. путем подвивчивания винта  $BP_{II}$ , добиваются, чтобы сила тока при разряженной батарее не превышала 18 - 19 ампер.

2. Если регулирование производят без батареи, то создают нагрузку нагрузочным реостатом.

Изменяя число оборотов якоря, подбирают сопротивление реостата таким, чтобы сила тока в нем была 15 - 16 ампер при напряжении на зажимах 13 - 13,5 вольта.

Испытания на станке проводят в течении 30 мин. с тем, чтобы нагретый генератор имел нужное напряжение на зажимах.

### **Динамомашина Электрозвода, тип Г. Б. Т., устанавливаемая на тракторах СТЗ**

Номинальное напряжение 6 вольт.

Номинальная мощность 65 ватт при 1000 об/мин.

Данный тип динамомашин снабжен двухступенным регулятором постоянства напряжения и предназначен для электрооборудования тракторов и комбайнов, не имеющих аккумуляторных батарей.

На рис. 118 представлена схема соединения обмоток динамомашины и регулятора постоянства напряжения. На сердечнике регулятора расположены три обмотки: первая  $I$  выполнена из медной проволоки и включена последовательно с обмоткой  $II$ , выполненной из никеляниза. Ток в обмотках  $I$  и  $II$  производит намагничивание сердечника. Так как сопротивление медной обмотки  $I$  меньше сопротивления никелиновой обмотки  $II$  и составляет примерно 20% от суммарного сопротивления, то изменение температуры обмоток не оказывает заметного влияния на величину регулируемого напряжения, так как температурный коэффициент никелянина очень мал.

Обмотка  $III$  выполнена из никелиновой проволоки и включена последовательно с обмоткой  $II$ , она предназначена для увеличения числа колебаний вибратора, так как при размыкании контактов  $K_1$  и  $K_2$  в ней появляется сила тока обратного направления, что способствует размагничиванию сердечника регулятора, а при замыкании контактов  $K_1$  и  $K_2$  она усиливает магнитное свойство сердечника.

При малом числе оборотов якоря при большой нагрузке, контакты  $K_1$  и  $K_2$  замкнуты. При замкнутых контактах  $K_1$  и  $K_2$  ток от + щетки поступает по „массе“ динамомашины в „массу“ регуляторного постамента, откуда в начало обмотки  $II$  и через обмотку  $I$  к — щетки.

Одновременно имеем вторую цепь: от + щетки, по „массе“ регуляторного постамента в стойку регулятора  $CP$  через контакты  $K_1$  и  $K_2$  в вибратор, через латунную пружину  $P_{II}$ , по

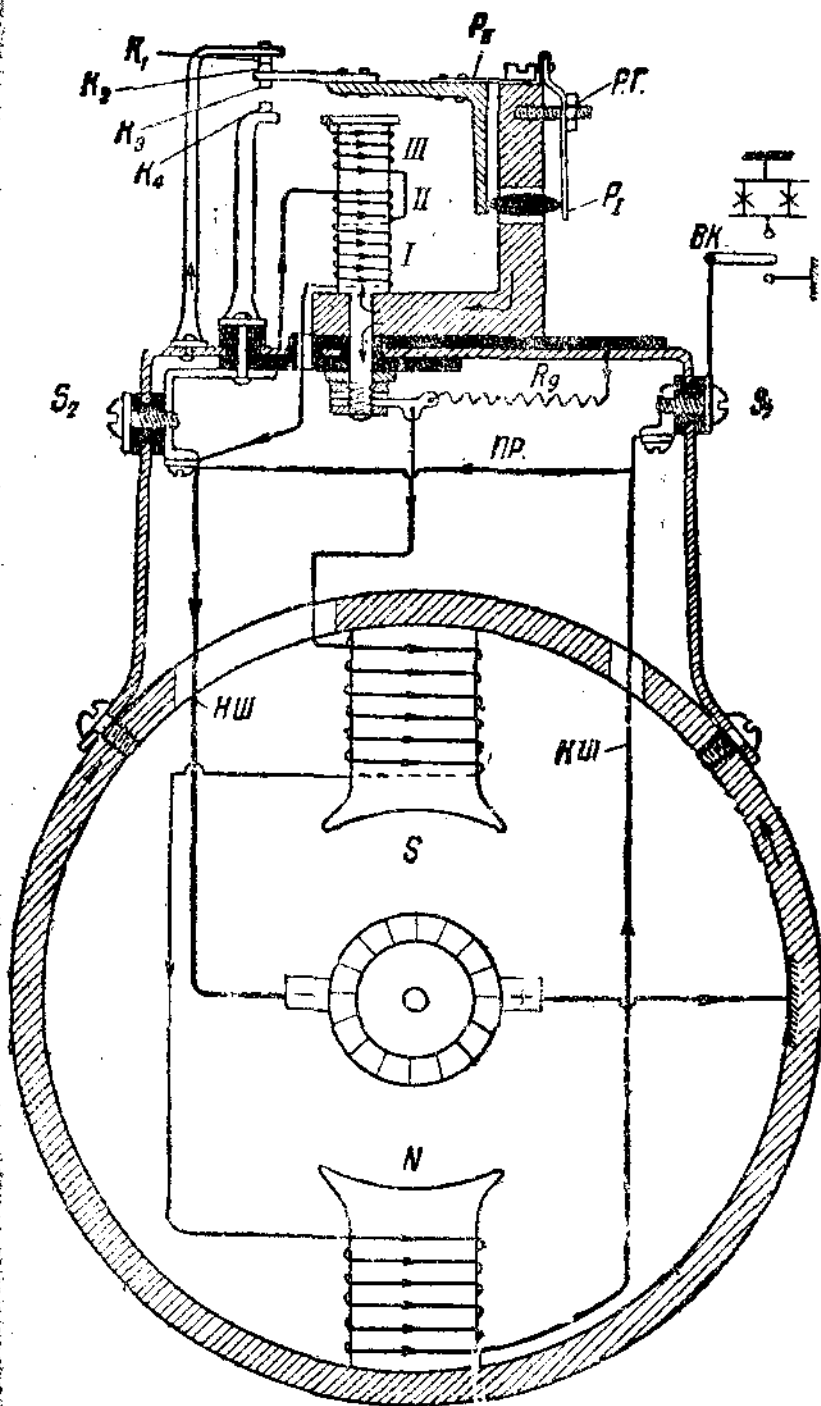


Рис. 118

магнитопроводу в шунтовую обмотку возбуждения и через соединительный провод  $P_p$  к щетке.

Часть тока поступает через контакты  $K_1$  и  $K_2$  в магнитопровод и тем самым отвечается в обмотку III, увеличивая магнитный поток сердечника.

При замкнутых контактах  $K_1$  и  $K_2$  в дополнительном сопротивлении  $R_g$  сила тока ничтожно мала, так как оно (сопротивление) защищировано контактами  $K_1$  и  $K_2$ .

При увеличении числа оборотов якоря или уменьшении нагрузки приходит размыкание контактов  $K_1$  и  $K_2$ .

При разомкнутых контактах  $K_1$  и  $K_2$  дополнительное сопротивление  $R_g = 4,93$  ома включено последовательно в обмотку возбуждения индукторов, а также и обмотка III оказывается включенной через обмотку II в цепь индукторов, вследствие чего направление силы тока в обмотке III окажется противоположным тому, которое было при замкнутых контактах  $K_1$  и  $K_2$ .

При обратном направлении силы тока в обмотке III магнитное поле сердечника окажется ослабленным и в ротор под действием пружины  $P_1$  замкнет контакты  $K_1$  и  $K_2$  и восстановит силу тока возбуждения индукторов динамомашины.

При большом числе оборотов якоря или отсутствии нагрузки происходит замыкание контактов  $K_3$  и  $K_4$ .

При замкнутых контактах  $K_3$  и  $K_4$  происходит шунтирование обмотки возбуждения, так как контакт  $K_3$  представляет начало шунта  $H\bar{W}$ , а контакт  $K_4$  — конец шунта  $K\bar{W}$ .

Регулирование производится путем изменения упругости пружины  $P_1$ , вращая регулировочную гайку  $PG$ .

Латунная пружина  $P_1$  является одновременно проводником тока возбуждения, а также служит для упругой подвески Г-образного якорька.

**Примечание.** Потребное обесечение двухступенчатого регулятора дано в главе „Регуляторы“.

**Монтажные данные регулятора напряжения динамомашин Электрозводства**

Таблица 8.

Проволока с эмалевой изоляцией	I. Обмотка медная	II. Обмотка никелевая	III. Обмотка никелевая
Диаметр проволоки без изоляции . . . . .	0,41 мм	0,23 мм	0,14 мм
Диаметр проволоки с изоляцией . . . . .	0,43 мм	0,25 мм	0,16 мм
Число витков . . . . .	275 в	24 в	35 в
Длина проволоки . . . . .	—	11,92 м	2,81 м
Сопротивление . . . . .	2,8 ом	0 ом	71,8 ом
Вес . . . . .	25 г	3,72 г	0,47 г

## динамомашине Элекророзавода, тип Г. А. У., устанавливаемая на тракторе ЧЗ „Сталинец 60“

Номинальное напряжение 6 вольт.

Номинальная мощность 100 ватт при 900 об./мин.

Этот тип динамомашин снажен двухступенным регулятором постоянства напряжения и представляет полную копию регулятора, устанавливаемого на динамомашине типа Г. Б. Т.

Данные регулятора те же и только между зажимами  $S_1$ ,  $S_3$  отсутствует замыкающий их провод.

Динамомашина типа Г. А. У. (см. рис. 119) отличается от типа Г. Б. Т. тем, что имеет четырехполюсный индуктор, снабженный компаундной обмоткой.

В связи с тем, что компаундмашины боятся короткого замыкания, для защиты их обмоток от взрывной силы токастанавливают плавкий предохранитель.

Якорь динамомашины снажен винтовой обмоткой, что позволяет иметь при четырехполюсном индукторе только две щетки 1, 2, расположенные под углом  $90^\circ$ .

На коллекторе установлена, помимо главных щеток, дополнительная, которая, помимо вибрационного регулятора, с особняком некоторых пределах поддерживать постоянство напряжения, используя реакцию якоря.

Из схемы видно, что третья щетка присоединена к шунтовой обмотке возбуждения и так как напряжение между щеткой 3 и щеткой 2, меньше напряжения между щеткой 1 и щеткой 2, условия работы контактов регулятора улучшены, так как скрение между ними меньше и часть регулирующей работы выполняет третья щетка.

Применение серебряной обмотки позволяет при меньшем числе оборотов якоря иметь нормальное напряжение, так как создаваемый ею магнитный поток усиливает поле, созданное током шунтовой обмотки.

Серебряная обмотка в компаундмашине выполняет регулирующую роль, что также облегчает работу вибрационного регулятора и увеличивает срок службы контактов.

Устройство выключателей освещения Вк в динамомашине типа Г. Б. Т. и Г. А. У. позволяет при выключении освещения отмыкать генератор на-коротко.

Это делается для того, чтобы при отсутствии надобности освещения шунтовые обмотки генератора не имели тока возбуждения.

В генераторе типа Г. А. У. введен специальный провод, соединенный с зажимом  $S_3$ , он служит для того, чтобы короткое замыкание генератора производилось помимо серебряной обмотки.

Следует помнить, что производить короткое замыкание можно или при остановленном двигателе или при минимальном числе оборотов количества вала.

Соблюдение указанного выше правила предупреждает возможность обгорания коллектора, а также и перегорание предохранителя.

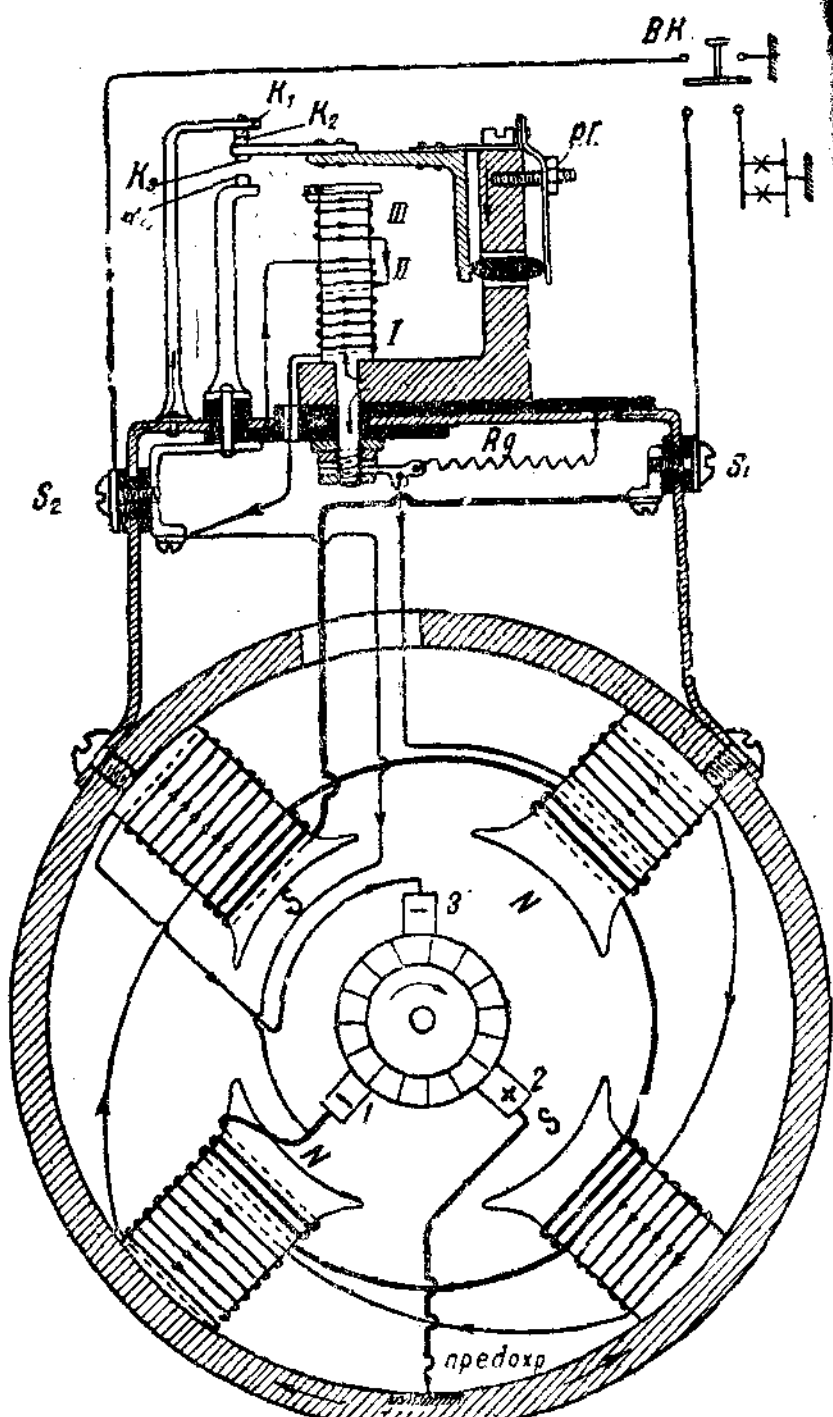


Рис. 119

## Динамомашинка фирмы Р. Бош, тип RK $\frac{100}{32}$ 700

Номинальное напряжение 12 вольт.

Номинальная мощность 100 ватт при 700 об/мин.

Данный тип динамомашинки снабжен комбинированным регулятором напряжения, максимальной силы тока и реле.

На рис. 120 а представлен общий вид динамомашинки с комбинированным регулятором реле.

На рис. 120 б представлена монтажная схема, обозначения контактов и их функции остаются те же, что и при рассмотрении принципов действия двухступенчатых регуляторов. Для удобства изображения регулятор из горизонтальной плоскости повернут в вертикальную. Данный комбинированный регулятор называется регулятором плоского типа и его расположение на автомашине играет большую роль.

Если представить, что он расположен так, как изображено на схеме, то все толчки, получаемые автомашиной от неровности дороги, могут вызвать колебание Г-образного якорька без воздействия на него магнитного поля, это вызовет нарушение его правильной работы и напряжение на зажимах динамомашинки может изменяться в больших пределах.

Для уяснения работы реле-регулятора, не нарушая принципов включения монтажной схемы, можно прибегнуть к упрощенной принципиальной схеме динамомашинки, комбинированного регулятора—реле, контрольной лампы и аккумуляторной батареи (см. рис. 120 с).

При включенном выключателе Вк и неподвижном якоре динамомашинки под действием Э. Д. С. аккумуляторной батареи появится ток в цепи лампы, направленный от + зажима батареи, в нить контрольной лампы, зажим  $bI$ , + щетку, коллектор, обмотку якоря, коллектор — щетку, "массу" и — зажим аккумуляторной батареи.

Наличие тока в лампе вызовет накал нити, и контрольная лампа своим светом сигнализирует о том, что батарея в данное время не заряжается.

При увеличении числа оборотов в якоре динамомашинки в его обмотках индуцированная электродвигущаяся сила действует навстречу Э. Д. С. аккумуляторной батареи, и сила тока в лампе будет уменьшаться. При каком-то числе оборотов якоря сила

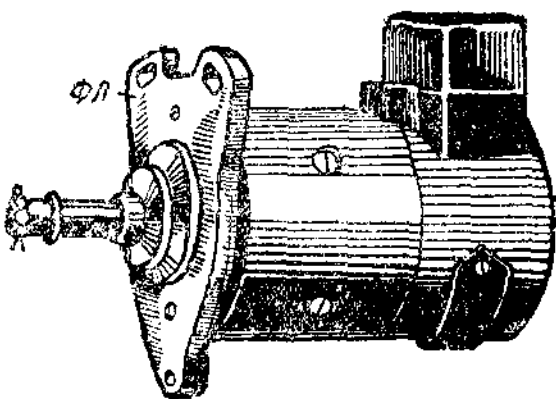


Рис. 120а

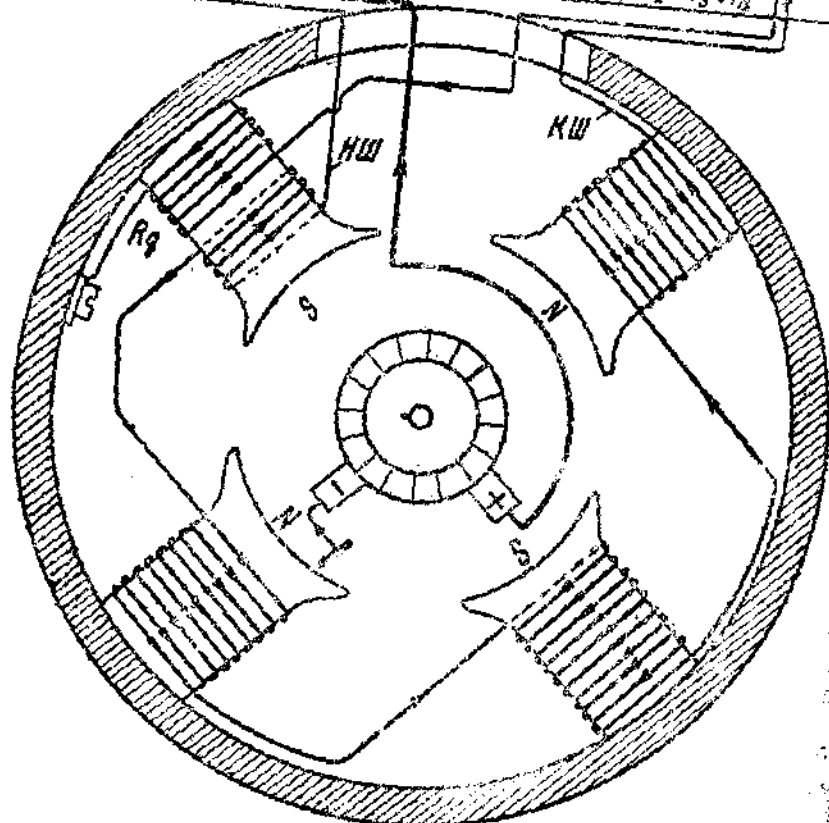
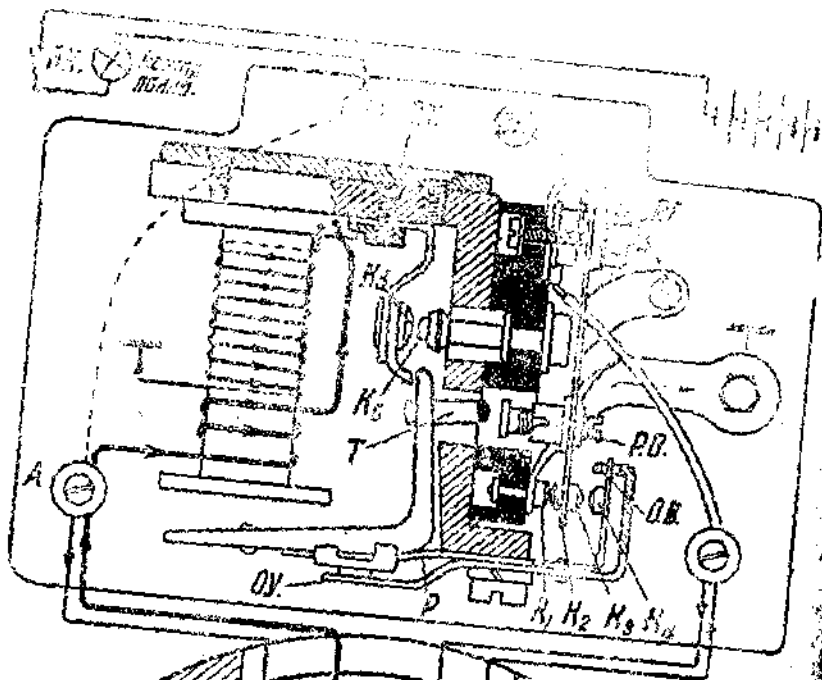


Рис. 120б

ка в лампе станет равной нулю и дальнейшее увеличение числа оборотов якоря вызовет появление силы тока в ней, но обратного направления, нить лампы будет иметь все больший и больший накал.

Но так как одновременно в тонкой обмотке комбинированного регулятора-реле сила тока увеличивается как функция напряжения, то Г-образный якорек будет притянут настолько, что контакт  $K_4$  под действием упругости пластинки (на которой креплен) замкнется к контакту  $K_5$  и аккумуляторная батарея оказывается включенной в цепь динамомашины, причем путь зарядной силы тока будет следующий: + щетка, последовательная обмотка регулятора-реле, контакты  $K_4$  и  $K_5$ , зажим  $b_1$ , + зажим аккумуляторной батареи, батарея, — зажим ее, „масса“, — щетка, коллектор и обмотка якоря.

Так как нить контрольной лампы при замкнутых контактах  $K_4$  и  $K_5$  оказывается замкнутой малым сопротивлением контактов и последовательной обмоткой, то сила тока распределится пропорционально проводимостям цепей, и в нити лампы она будет настолько мала, что окажется недостаточной для накала ее и свечение ее прекратится.

При дальнейшем повышении числа оборотов якоря, Г-образный якорек притягивается ближе к сердечнику и изолированный толкатель  $T$  приводит в действие вибратор с контактами  $K_6$  и  $K_7$ , которые выполняют функции регулятора силы тока в обмотке возбуждения, регулирование которой необходимо для поддержания постоянства напряжения на зажимах динамомашины.

При малом числе оборотов якоря или большой нагрузке генератора контакты  $K_1$  и  $K_2$  замкнуты и конец шунтовой обмотки возбуждения  $K_{17}$  включен на „массу“.

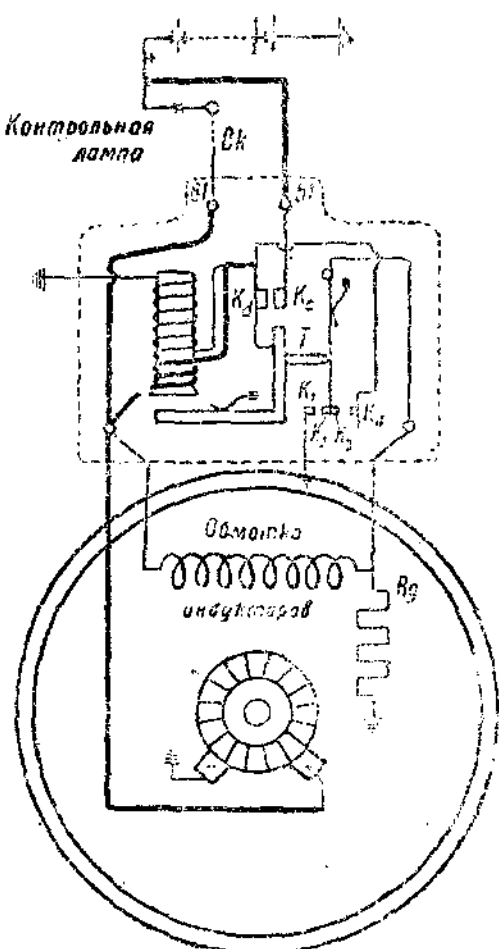


Рис. 120:

При мгновенном положении вибратора, когда контакты  $K_1$  и  $K_2$  разомкнуты, а контакты  $K_3$  и  $K_4$  еще не замкнулись, конец шунтовой обмотки возбуждения соединен через реостат  $R_g$  на „массу“.

При мгновенном положении вибратора, когда контакты  $K_3$  и  $K_4$  замкнуты, происходит шунтирование обмотки возбуждения, так как контакт  $K_3$  соединен с концом ее *КШ*, а контакт  $K_4$  через корпус регулятора (он не имеет непосредственного соединения с „массой“) и последовательную обмотку его соединен с началом шунтовой обмотки *НШ*.

Во время зарядки аккумуляторной батареи в последовательной обмотке циркулирует зарядный ток, величина и направление которого увеличиваются магнитные свойства сердечника, тем самым выполняя функции регулятора максимальной силы тока.

При уменьшении числа оборотов якоря индуктированная Э.Д.С. в его обмотке уменьшается, и когда достигнет значений, меньших Э.Д.С. аккумуляторной батареи, в последовательной обмотке появится разрядный ток ее, который уменьшит магнитное поле, созданное тонкой (параллельной) обмоткой. Г-образный якорек под действием пружины займет первоначальное положение, произведет размыкание контактов  $K_d$  и  $K_e$  и выключит аккумуляторную батарею из цепи динамомашини.

Так как шунтирование контрольной лампы прекращено, то сила тока в нити будет достаточна для ее накала и контрольная лампа своим светом сигнализирует о прекращении зарядки.

Упругая пластинка, на которой укреплен контакт  $K_e$ , изготовлена биметаллическою и в случае чрезмерного увеличения силы тока, проходящий через нее ток вызовет нагрев и так как часть пластиинки, обращенная в сторону контакта  $K_d$ , имеет больший температурный коэффициент расширения, то вся пластиинка получит продольный изгиб и контакты  $K_e$  окажутся разомкнутыми. Динамомашинна будет отключена от внешней цепи.

В целях уменьшения влияния нагрева обмоток регулятора на величину регулируемого напряжения, последовательно с тонкой обмоткой включена обмотка из никеллина, который имеет большое удельное сопротивление и малый температурный коэффициент (подробное изложение этого вопроса дано в главе „Регуляторы“).

Монтажные данные регулятора — реле динамомашинны  $RK \frac{100}{12} 700$  даны в таблице 9.

**Регулирование комбинированного реле-регулятора динамомашинны фирмы Р. Буш, тип  $RK \frac{100}{12} 700$ .** Первоначально рукой нажимают Г-образный якорек, чтобы он прижался к сердечнику регулятора. Если контакт  $K_3$  не замкнется с контактом  $K_4$ , то необходимо регулировочный винт *PB* отверткой вращать вправо, пока не будет достигнуто замыкание контактов  $K_3$  и  $K_4$ . Затем

Таблица 9

Проволока с эмалевой изоляцией	Послед. медиа	Паралл. медиа	Никкелевая
Диаметр с изоляцией . . . . .	1,75 мм	0,34 мм	0,45 мм
Диаметр без изоляции . . . . .	1,7 мм	0,29 мм	0,4 мм
Число витков . . . . .	8	835	94
Длина проволоки . . . . .			
Вес проволоки . . . . .			
Сопротивление . . . . .			

проверяют замыкание контактов  $K_c$  и  $K_d$ , они должны размыкаться раньше, чем упор якорька начнет отводить пластинку вибратора, если контакт  $K_c$  даже при полном нажатии на якорек не замыкается с контактом  $K_d$ , то необходимо биметаллическую пластинку придвигнуть к контакту  $K_d$ , предварительно ослабив винт  $BT$  и после вновь его закрепить. Уменьшая давление руки на якорек, следят, когда контакты  $K_c$  и  $K_d$  замкнутся.

В это время размыкание контактов  $K_c$  и  $K_d$  еще не должно происходить, и только после полного устранения давления руки на якорек они должны разомкнуться. При этом положении якорька величина зазора между контактами  $K_c$  и  $K_d$  не должна превышать  $0,2 \pm 0,25$  мм, а так как контакт  $K_d$  укреплен на амортизирующей пластинке, то она должна упираться в ограничительный выступ  $OB$ . После произведенной регулировки проверяют величину зазора между контактами  $K_c$  и  $K_d$ , она должна быть в пределах  $0,5 \pm 0,3$  мм, если зазор недостаточен, то отгибают латунный упор  $OY$ , если же зазор слишком велик, то необходимо упор подогнать.

Чрезмерная величина отхода якорька от сердечника пажелательна и более 2,5 мм (в месте наибольшего удаления якорька от сердечника) не рекомендуется, так как в противном случае замыкание контактов  $K_c$  и  $K_d$  будет происходить при повышенном числе оборотов якоря.

После произведенной регулировки динамомашину устанавливают на испытательный станд, соединяют  $+$ -зажим аккумуляторной батареи, через амперметр с зажимом  $51$  и  $+$ -зажим аккумуляторной батареи с "массой" динамомашины, после чего медленно вращая гайку регулируют  $PG$ , регулируют зарядную силу тока, величина которой почти не должна изменяться при изменении числа оборотов якоря в диапазоне от минимального (указанного на корпусе динамомашины) до максимального значения (которое превышает минимальное в 4—5 раз). Вращая гайку  $PG$  по часовой стрелке, зарядная сила тока увеличивается и наоборот, вращая против часовой стрелки, уменьшается.

При уменьшении числа оборотов якоря динамомашины, контакты  $K_c$  и  $K_d$  могут разомкнуться только в том случае, если в последовательной обмотке появится разрядная сила тока акку-

муляторной батареи. Вращение динамомашиной (она в роли электродвигателя) вала электродвигателя, который до этого вращал ее, не требует больших усилий и сила тока в последовательной обмотке окажется настолько мала что не сможет размагнитить сердечник и вызвать размыкание контактов  $K_c$  и  $K_d$  и аккумуляторная батарея не будет отключена. Ни автомашине якорь генератора жестко сцеплен с валом двигателя и это явление не может иметь место, так как динамомашине не сможет вращать вал двигателя внутреннего горения и обратный ток в последовательной обмотке обеспечит размыкание контактов  $K_c$  и  $K_d$ .

### Динамомашине фирмы Р. Баш, тип RIB $\frac{75}{6}$ 900

Номинальное напряжение 6 вольт.

Номинальная мощность 75 ватт, при 900 об/мин.

Данный тип устанавливается на тракторах Катерпиллар 39 и 60.

Общий вид и монтажная схема динамомашины ничем не отличаются от выше рассмотренной и только монтажные данные другие (см. таб. 10).

Регулирование реле-регулятора значительно упрощается, так как на тракторах Катерпиллар 60 аккумуляторная батарея отсутствует и контакты  $K_c$  и  $K_d$  являются ненужными.

#### Реле-регулятор

Таблица 10

Проволока с эмалевой изоляцией	Постел. медная	Паралл. медная	Никелиров.
Диаметр с изо. яицей . . . . .	1,83 мм	0,42 мм	0,52 мм
Диаметр без изоляции . . . . .	1,8	0,40 мм	0,50
Ч. сло витков . . . . .	6	500	43
Длина проволоки . . . . .	0,46 м	24,25 м	2,7 м
Вес проволоки . . . . .	8,5 г	26 г	4 г
Сопротивление . . . . .	0,006 ом	4 ом	7 ом

Данные динамомашины (обмотки возбуждения выполнены в виде четырех катушек)

Проволока марки ПБД	1, 2, 3, ка- туш. медная	4 катуш. медная	Дополн. сопротив- ники никел.
Диаметр без изоляции . . . . .	0,03 мм	0,8 мм	П.Б.О 0,65 км
Ч. сло витков . . . . .	110,8	120	13
Длина проволоки . . . . .	25 м	26 м	2,3 м
Вес проволоки . . . . .	155,2 г	155 г	8 г
Сопротивление . . . . .	—	—	—

Регулирование ведется на испытательном станде при включении вольтметре, амперметре и нагрузочном реостате, сопротив-

чение которого определяется в зависимости от мощности генератора и его номинального напряжения, т. е.

$$I = \frac{P}{V}; R = \frac{V}{I}$$

например для данной динамомашины:

$$I = \frac{75}{6} = 12,5 \text{ A}; R = \frac{6}{12,5} = 0,49 \Omega$$

Путем подвертывания или отвертывания регулировочной гайки  $R_f$  добиваются получения постоянного напряжения, равного 6 вольт при изменении числа оборотов от 900 об/мин. до 4000 об/мин. при изменении величины нагрузки напряжение также не должно изменяться.

Данный тип динамомашин изготовлен для совместной работы с аккумуляторной батареей или постоянно включенной нагрузкой, и так как на тракторах в светлое время суток нагрузка световодя отсутствует, то падение напряжения в обмотке якоря чисто мало и контакт регулятора  $K_3$  выбирирует в пределах контакта  $K_2$ , вследствие чего дополнительное сопротивление  $R_g$  не ходится чаще включенным в цепь якоря, это вызывает повышение его температуры и обугливание изоляции не только самого сопротивления, но и катушки возбуждения одного из полюсов, на котором расположено сопротивление.

Для предупреждения подобного явления необходимо до пуска двигателя в ход kontakt  $b1$  соединить с массой, т. е. замкнуть на кратко щетку с — щеткой. С целью предотвратить обугливание изоляции при вращении якоря генератора без нагрузки можно поставить выключатель в обмотку возбуждения индукторов. Его удобнее всего включать последовательно между зажимом  $A$  и началом обмотки возбуждения  $H$ .

В случае совместной работы динамомашины тип  $RIB$  с аккумуляторной батареей необходимо привести регулировку таким способом, как производили регулирование реле-регулятора динамомашины типа  $RK \frac{100}{12} 700$ .

### Динамомашине фирмы Р. Баш, тип $KAB \frac{100}{12} 650$

Номинальное напряжение 12 вольт.

Номинальная мощность 100 ватт, при 650 об/мин.

Конструкция динамомашины ничем не отличается от выше рассмотренных. Комбинированный регулятор — реле хотя и работает на том же принципе (двухступенчатое регулирование), но конструктивно оформлен иначе. В этой конструкции, благодаря подвесу якоря на двух плоских мембранных, значительно снижается влияние на него толчков, получаемых автомобилем от неровности дорог, а также благодаря цилиндрической железной оболочке регулятор защищен от действия постоянных магнитных полей и имеет полную герметичность. Желез-

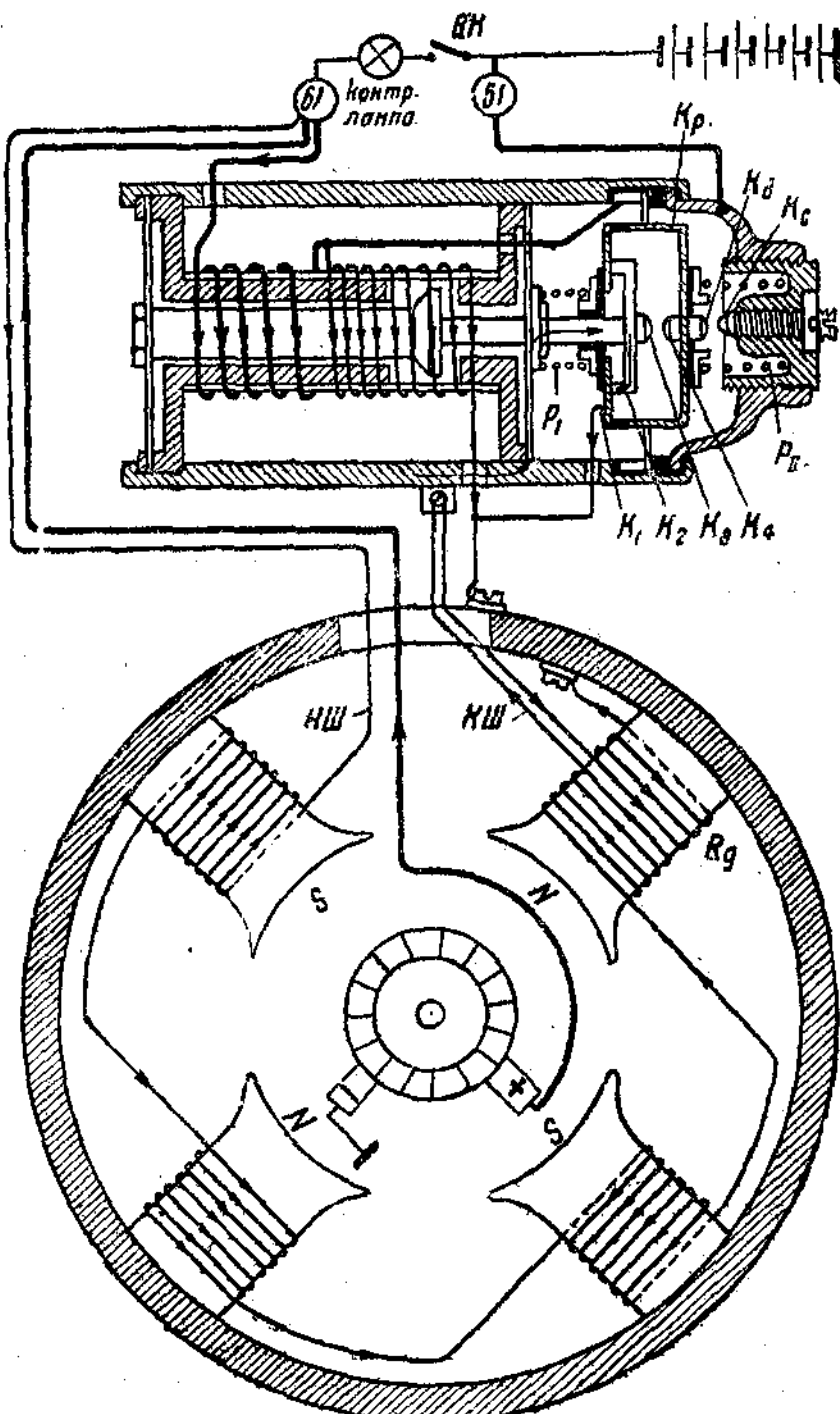


Рис. 121

ый корпус регулятора является хорошим магнитопроводом и величина намагничивающего тока может иметь меньшее значение.

На схеме 121 представлена динамомашинка тип  $KAB\frac{100}{12}650$ , причем обозначения остаются теми же, с которыми мы встречались ранее. Принцип действия заключается в следующем: при неподвижном якоре или при малом числе оборотов его, под действием Э.Д.С. аккумуляторной батареи (при включенном выключателе ВК) появится электрический ток в цепи контрольной лампы и нить ее будет накалена.

При повышении числа оборотов якоря напряженность магнитного поля катушки увеличится и сердечник переместится вправо, так как упругость пружины  $P_1$  больше упругости пружины  $P_{1P}$ , то сократится вначале пружина  $P_{1P}$ , контакты  $K_c$ ,  $K_d$  замкнутся и в цепь динамомашины включится аккумуляторная батарея на заряд. Нить контрольной лампы будет зашунтирована и сила тока в ней окажется недостаточной для того, чтобы вызвать свечение.

При дальнейшем увеличении числа оборотов якоря напряженность магнитного поля катушки регулятора усилится и так, как перемещение коробки  $K_P$  вправо ограничено контактом  $K_c$ , то пружина  $P_1$  сокращаясь позволит сердечнику переместиться вправо и вызвать размыкание контактов  $K_1$  и  $K_2$ , вследствие чего окажется в цепь обмотки возбуждения индукторов введенным дополнительное сопротивление  $R_g$ , расположеннное на одном из полюсов.

Сила тока возбуждения индукторов уменьшится и понизится напряжение на зажимах тонкой обмотки регулятора, контакты  $K_1$  и  $K_2$  замкнутся и процесс вновь и вновь повторится.

При большом числе оборотов величина сопротивления  $R_g$  окажется недостаточной и в работу вступят контакты  $K_3$ ,  $K_4$  дальнейшая работа регулятора полностью совпадает с подробным объяснением работы двухступенчатого регулятора напряжения и максимальной силы тока и абсолютно ничем не отличается от описания, данного к схеме 120.

Для устранения влияния изменения температуры на величину регулируемого напряжения и силы тока часть тонкой обмотки выполнена из никеллина.

### Динамомашинка фирмы Р.Бош, тип $LVA\frac{100}{12}600$

Номинальное напряжение 12 вольт.

Номинальная мощность 100 ватт, при 600 об/мин.

Данный тип динамомашины имеет на якоре полузакрытые пазы, расположенные по образующим. Дополнительное укрепление обмоток на якоре достигается установкой бандажей. В целях уменьшения гудения и вибрации якоря полюсные наконечники снабжаются рассеивателями. Увеличение рассеивания магнитного

штока достигается увеличением между зеленого пространства под сбегающей и набегающей кромками полюсных наконечников.

На рис. схеме 122 видны две катушки  $S_c$  и  $R_d$ , левая катушка представляет реле, а правая катушка  $R_d$  двухступенный регулятор. Каждая катушка имеет наружный цилиндр, который является одновременно не только внешним защитным футляром, но и магнито-проводом. В цилиндр  $C$  вставлены два железных фланца  $\Phi_1$  и  $\Phi_2$ , внутрь одного вставлен железный сердечник  $S_J$  и внутрь другого вставлен латунный сердечник  $S_L$ , являющийся продолжением железного.

Связанные механически оба сердечника установлены на плоские латунные мембранны, которые электрически связаны с внешним цилиндром. Передняя и задняя крышки, в которые ввертываются чашки с контактами, изолированы от внешнего цилиндра прессшпаном и электрически соединяться с сердечником могут только при замыкании какой-либо пары контактов. Между собой корпуса непосредственно электрически не связаны.

Включение и выключение контрольной лампы производится дополнительно установленными контактами  $K_e$  и  $K_r$ . В предыдущих схемах контрольная лампочка прекращала испускание света до того момента, когда контакты  $K_e$  и  $K_d$  замкнутся, т. е. для того, чтобы накал нити был незаметен, достаточно иметь равенство  $V_g = E_a$ , а следовательно отсутствие света контрольной лампочки не значило, что замкнуты контакты  $K_e$  и  $K_d$ . В реле динамомашины тип  $LVA$  замыкание контактов  $K_e$  и  $K_r$  осуществляется под действием пружины и размыкание цепи контрольной лампы происходит под действием магнитного поля, созданного силой тока в тонкой обмотке катушки  $S_c$ , причем расстояние между контактами  $K_e$  и  $K_d$  невелико и как только напряжение на зажимах динамомашины будет достаточно, произойдет размыкание контактов  $K_e$  и  $K_r$  и замыкание контактов  $K_e$  и  $K_d$ . При замкнутых контактах  $K_e$  и  $K_d$  аккумуляторная батарея включена на заряд и путь тока следующий: + щетка, соединяющий провод  $A$  последовательные обмотки реле и регулятора максимальной силы тока, контакт  $K_d$ , контакт  $K_e$ , корпус реле (он изолирован от массы), зажим 51, + зажим аккумуляторной батареи, батарея — зажим ее, „масса“ и — щетка.

При увеличении числа оборотов якоря динамомашины напряжение на ее зажимах, а следовательно и сила зарядного тока, увеличивается, а так как в это время в параллельной и последовательной обмотках регулятора (катушка)  $R_d$  сила тока увеличивается, то напряженность магнитного поля также увеличивается, вследствие чего происходит размыкание контактов  $K_1$  и  $K_2$ , в цепь обмотки возбуждения индукторов вводится сопротивление  $R_g$ , сила тока возбуждения уменьшается, контакты  $K_1$  и  $K_2$  вновь замыкаются и весь процесс повторяется при вибрации контакта  $K_3$  в промежутках контакта  $K_1$ . При дальней-

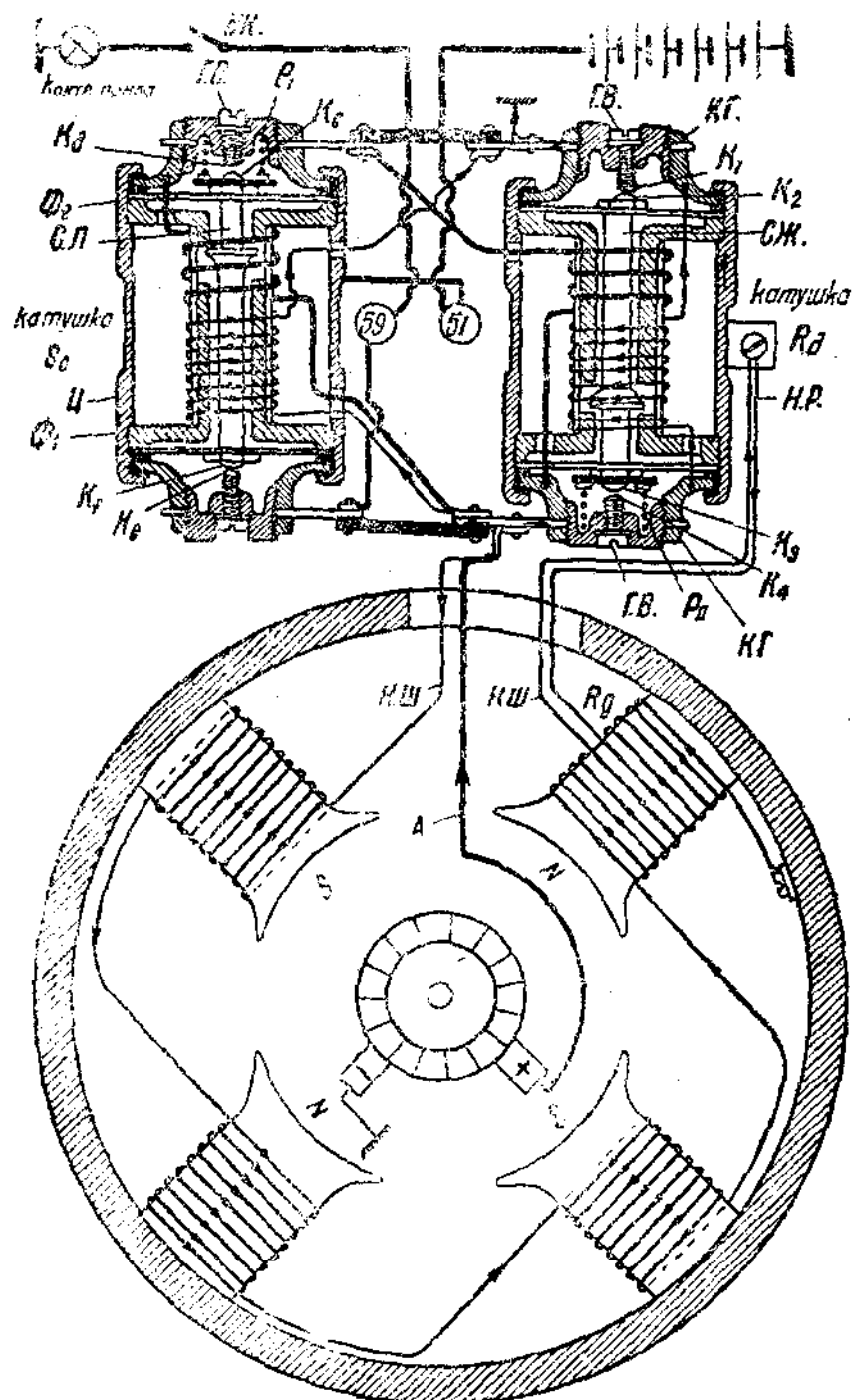


Рис. 122

шем увеличении числа оборотов якоря генератора вступают в работу контакты  $K_2$  и  $K_4$  при замыкании которых происходит шунтирование обмотки возбуждения индукторов.

Корпус катушки  $Rd$  не имеет непосредственного соединения с „массой“ и к нему приключены два провода: 1) провод  $K_{\text{Ш}}$  конец шунтовой обмотки и 2) провод  $H_P$  начало сопротивления. Из схемы видно, что контакт  $K_4$  соединен с началом шунтовой обмотки индукторов  $H_{\text{Ш}}$ , а контакт  $K_3$  соединен через металлические мембранны с корпусом катушки  $Rd$ , а следовательно с концом обмотки возбуждения  $K_{\text{Ш}}$  и при замыкании контактов  $K_3$  и  $K_4$ , начало и конец обмотки возбуждения замкнуты малым сопротивлением, вследствие чего сила тока в обмотке индукторов значительно уменьшится. (Подробное пояснение действия двухступенчатого регулятора изложено в главе „Двухступенчатое регулирование“).

**Регулирование реле и регулятора динамомашины тип LVA.** В данной конструкции измерить непосредственно величину зазоров между контактами невозможно и о величине можно судить только по числу оборотов в контактной чашке и шагу резьбы с достаточной для практики точностью. Шаг резьбы у чашек динамомашин фирмы Р. Буш  $h=1$  мм. На рис. 122 изображена контактная чашка с контактом  $K_1$ , контргайкой, контактным винтом  $GB$  и контргайкой  $KG$  чашки.

**Регулирование катушки регулятора  $Rd$ .** Предварительную регулировку производят так: освобождают гайку  $GB$  и подвертывают контактный винт до тех пор, пока поверхность контакта не совпадет с крайней кромкой чашки. В таком положении гайку  $GB$  закрепляют. После чего заднюю чашку катушки  $Rd$ , т. е. ту, которая обращена к индуктору, завинчивают до отказа, без большого усилия, и затем для получения возможности перемещения сердечника на величину 0,75 мм чашку отвертывают на  $\frac{3}{4}$  оборота и закрепляют гайку  $KI$ .

Перед установкой передней чашки необходимо предварительно поставить изолирующую шайбу, сверху ее укладывается латунная шайба и после этого устанавливается пружина  $P_1$  и ввертывается передняя чашка до упора, а затем, для получения необходимой величины зазора между контактами  $K_3$  и  $K_4$  равного 0,5 мм чашку отвертывают на  $\frac{1}{4}$  оборота и закрепляют контргайку  $KI$ .

**Регулировка катушки реле  $S_c$ .** В катушке  $S_c$  правило установки контактов остается прежнее, но ввертывают первоначально переднюю чашку с контактом  $K_6$  до отказа, а затем для получения возможности двигаться сердечнику отвертывают чашку на  $\frac{3}{4}$  оборота и закрепляют гайку  $K'$ , после чего переходят к установке задней чашки с контактом  $K_4$ , предварительно положив изолирующую и латунную шайбы, а также вложив пружину  $P_1$  ввертывают до отказа чашку с контактом  $K_4$  и отвертывают ее на  $\frac{1}{4}$  оборота, после чего закрепляют контргайку,

Когда реле и регулятор собраны, приступают к электрической

регулировке действия катушки  $Rd$ . Для этого динамомашине устанавливается на станок, с зажимом 51 соединяют + зажим аккумуляторной батареи (собранной из 6 аккумуляторных элементов, включенных последовательно), зажим — батареи через амперметр соединяют с „массой“ динамомашины. К зажиму 59 включают контрольную лампочку, которая одним проводом соединена с массой, после чего подвертыванием или отвертыванием чашки с контактом  $K_4$  достигают постоянства силы зарядного тока при различном числе оборотов якоря. Максимальное значение силы тока при полуразряженной батарее не должно превышать  $I = \frac{P}{V}$ , т. е. для данного типа  $P=100$  ватт и  $V=12$  вольт, тогда  $I = \frac{100}{12} \cong 8,3A$ .

После регулировки катушки  $Rd$  приступают к регулировке реле, путем подвертывания и отвертывания чашек с контактом  $K_a$ , добиваясь того, чтобы размыкание контактов  $K_c$  и  $K_d$  происходило при силе разрядного тока 2 амп. Необходимо помнить, что при регулировке поворот чашек делается из ничтожно малый угол, после чего чашки закрепляются контргайками и пломбируются для того, чтобы не могла нарушиться регулировка. Пломбирование чаще делают целлюлозным kleem (клей-Ранид, клей-Шедевр). Для окончательного заключения о правильности произведенной регулировки необходимо испытание на станке и проводить не менее 30 минут.

### Динамомашине фирмы Р. Бёш, тип $K\frac{50}{6}500$

Номинальное напряжение 6 вольт.

Номинальная мощность 50 ватт, при 500 об/мин.

Данный тип динамомашин предназначен для работы без аккумуляторной батареи и снабжен компаундной обмоткой и трехступенчатым регулятором.

На рис. 123 в представлена монтажная схема. Действительное положение катушек относительно динамомашины отлично от изображенного на схеме на угол  $90^\circ$ , т. е. оси катушек совпадают с осью динамомашины. Из схемы видно, что конструкция катушек трехступенчатого регулятора незначительно отличается от вышерассмотренных. Правая катушка  $R7$  имеет четыре контакта  $K_1$ ,  $K_2$ ,  $K_3$  и  $K_4$  и не имеет последовательной обмотки, т. е. не имеет регулятора максимальной силы тока. Катушка  $R7$  имеет только тонкую обмотку, корпус катушки непосредственно соединения с „массой“ также не имеет и к нему присоединены конец шунтовой обмотки возбуждения и начало дополнительного сопротивления  $R_g$ . Катушка  $S7$  имеет две обмотки, причем начало толстой обмотки соединено с внешним цилиндром, следовательно и с сердечником, на котором расположен контакт  $K_5$ . Как видно из схемы катушки  $S7$ , в ней находится всего два контакта, в верхней же части вместо контакта  $K_f$  поставлен фарфоровый упор, который предупреждает

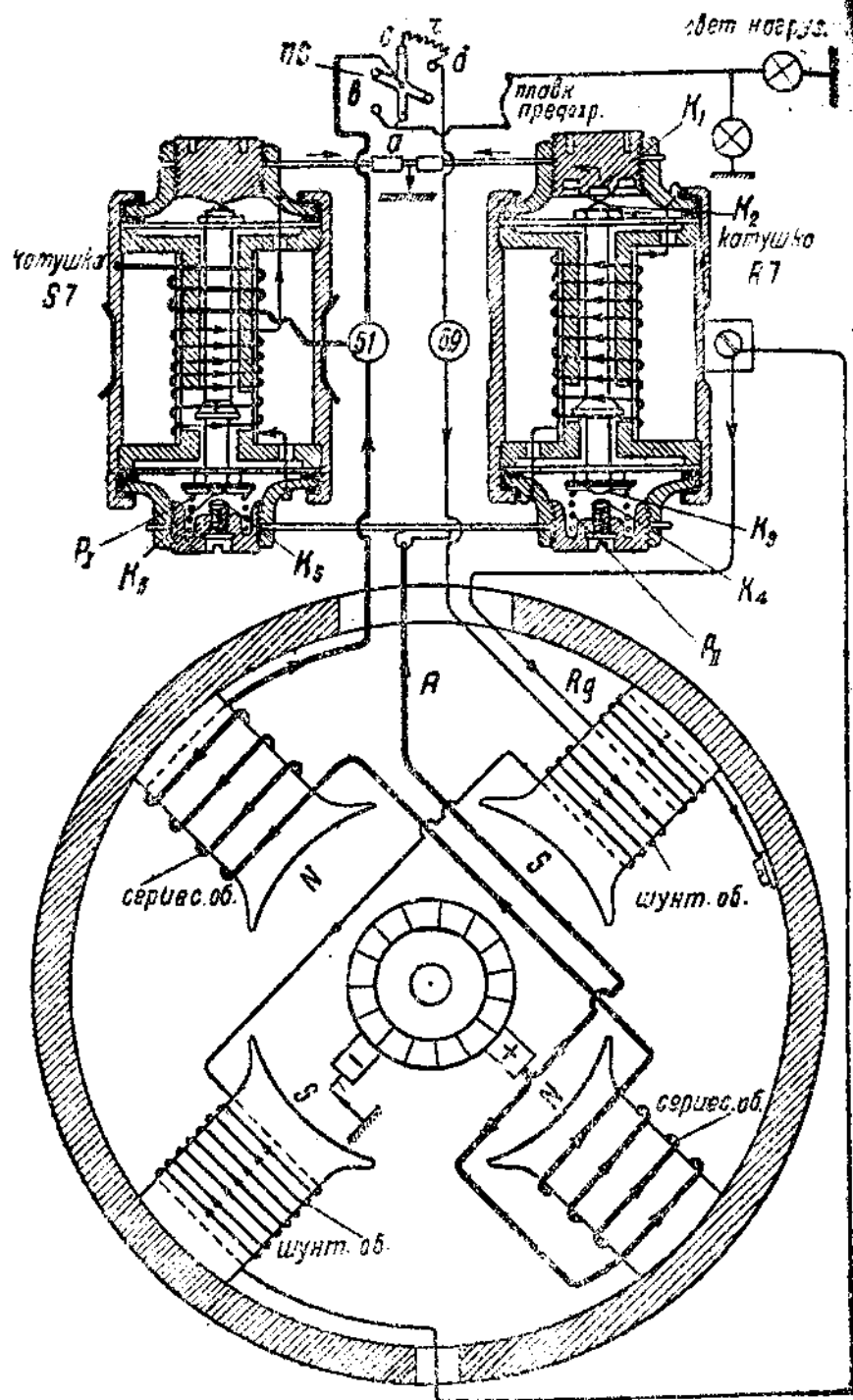


Рис. 123

возможность электрической связи сердечника с „массой“. Назначение пружины  $P_1$  — производить размыкание контактов  $K_1$  и  $K_0$ . С целью лучшего уяснения работы регулятора приведен пример. На схеме (рис. 123) изображен переключатель света  $PS$  при повороте его по часовой стрелке, когда металлическая пластинка  $PS$  замкнет контакт  $c$  и контакт  $a$ . Зажим  $b1$  окажется соединенным с внешней цепью и через сопротивление  $r$  с зажимом  $69$ , а следовательно с шунтовой обмоткой возбуждения индукторов. Это положение переключателя позволяет иметь на зажимах динамомашины пониженное напряжение, так как в цепь возбуждения введено сопротивление  $r$ , благодаря чему накал нити ламп будет понижен и соответствует затеменному состоянию, которое необходимо при встречах с другими автомашинами. На переключателе это положение отмечено  $Dim$ . При положении переключателя, когда металлическая пластинка  $PS$  замкнет контакты  $d$  и  $v$ , шунтовая обмотка возбуждения индукторов окажется включенной непосредственно (помимо реостата  $r$ ) к зажиму  $b1$  и вследствие этого сила тока возбуждения будет максимальна и напряжение на зажимах примет номинальное значение. Нить лампы будет иметь полный накал. Это положение из переключателя отмечено  $Op$ .

Для решения численного примера введены следующие обозначения:

- $V_3$  — напряжение на щетках динамомашины. (Для облегчения расчета принято постоянным),
- $R_A$  — сопротивление внешней нагрузки, получаемое при параллельном включении двух ламп накаливания мощностью 25 ватт каждая и напряжением 6 вольт,
- $R_{sh}$  — сопротивление шунтовой обмотки возбуждения индукторов динамомашины
- $R_c$  — сопротивление серийной обмотки возбуждения,
- $R_{t,0}$  — сопротивление толстой обмотки катушки  $S7$  регулятора.
- $R_g$  — дополнительное сопротивление,
- $J_{sh}$  — сила тока возбуждения в шунтовой обмотке,
- $J_c$  — сила тока возбуждения в серийной обмотке,
- $J_{v,0}$  — сила тока во внешней цепи,
- $J_R$  — сила тока в дополнительном сопротивлении,
- $W_{sh}$  — число витков в шунтовой обмотке,
- $W_c$  — число витков в серийной обмотке.

Данные динамомашины тип  $K \frac{50}{6} 500$  и внешней нагрузки следующие:

$$\begin{array}{lll} V_3 = 6,5 \text{ вольт} & R_A = 0,72 \text{ ом} & R_{sh} = 2,5 \text{ ом} \\ R_c = 0,15 \text{ ом} & R_{t,0} = 0,2 \text{ ом} & R_g = 6 \text{ ом} \\ W_{sh} = 360 \text{ витков} & W_c = 90 \text{ витков} & \end{array}$$

Примечание. При решении все цифры получены при вычислении на логарифмической линейке.

### Первый случай

Контакты  $K_1$  и  $K_2$  замкнуты.  
Контакты  $K_5$  и  $K_6$  разомкнуты.

$$J_m' = \frac{V_3}{R_m + R_c}; \quad J_m' = \frac{6,6}{2,5 + 0,15}$$

$$J_m' = 2,45 \text{ A}$$

$$J_n = \frac{V_3}{R_c + R_n} + J_m'; \quad J_n = \frac{6,6}{0,15 + 0,72} + 2,45$$

$$J_n = 10 \text{ A}$$

### Второй случай

Контакты  $K_1$  и  $K_2$  замкнуты.  
Контакты  $K_5$  и  $K_6$  замкнуты.

$$J_m'' = \frac{V_3}{\frac{1}{R_m + \frac{1}{R_c + R_{n,0}}}}; \quad J_m'' = \frac{6,6}{2,55 + \frac{1}{6,66 + 5}}$$

$$J_m'' = 2,52 \text{ A}$$

$$J_n'' + J_{n,0} = J_m'' + J_{n,0}; \quad \text{где } J_{n,0} = \frac{V_3}{R_n + \frac{1}{R_c + \frac{1}{R_{n,0}}}};$$

$$J_{n,0} = \frac{6,6}{0,8}; \quad J_{n,0} = 8,15 \text{ A.}$$

$$J_n'' + J_{n,0} = 2,52 + 8,15$$

$J_{n,0} = 10,67 - J_n''$  на основании первого закона Кирхгофа.

$$\frac{J_n''}{J_{n,0}} = \frac{R_{n,0}}{R_n}; \quad \frac{0,2}{0,15} = 1,33;$$

$$J_n'' = 1,33 \cdot J_{n,0}$$

подставляя значение  $J_{n,0}$

$$J_n'' = (10,67 - J_n'') \cdot 1,33;$$

$$J_n'' = 6,1 \text{ A}$$

### Третий случай

Контакты  $K_1$  и  $K_2$  разомкнуты.

Контакты  $K_6$  и  $K_5$  замкнуты.

$$J''_{\text{ш}} = \frac{V}{R_{\text{ш}} + R_g + \frac{1}{\frac{1}{R_6} + \frac{1}{R_{\text{т.о}}}}} ; \quad J''_{\text{ш}} = \frac{6,5}{2,5 + 6 + 0,08}$$

$$\boxed{J''_{\text{ш}} = 0,76 \text{ A}}$$

$$J''_{\text{с}} = J_{\text{в.н}} + J''_{\text{ш}} - J_{\text{т.о}};$$

$$J''_{\text{с}} = 8,15 + 0,76 - J_{\text{т.о}};$$

$$\frac{J''_{\text{с}}}{J_{\text{т.о}}} = \frac{R_{\text{т.о}}}{R_6} = 1,33.$$

$$\boxed{J''_{\text{с}} \approx 5,08 \text{ A}}$$

### Четвертый случай

Контакты  $K_3$  и  $K_4$  замкнуты.

Контакты  $K_5$  и  $K_6$  замкнуты.

В данном случае определены значения силы тока возбуждения в шунтовой обмотке при двух возможных комбинациях: а) при выключенной внешней нагрузке: сопротивление провода  $A$ , соединяющего щетку с контактами  $K_6$  и  $K_4$  незначительно и не превышает  $R_A = 0,005 \text{ ом}$ .

Так как сопротивление  $R_A$ , шунтирующее щунтовую и серийные обмотки динамомашины и реле, ничтожно мало, то можно пренебречь увеличением проводимости, вызванной параллельными цепями. Сила тока в дополнительном сопротивлении

$$J_A = \frac{V}{R_g} = 1,08 \text{ A}$$

тогда сила тока щунтовой обмотки возбуждения

$$J'''_{\text{ш}} = J_R - J_A; \quad \text{подставим значение } J_R$$

$$J_A = 1,08 - J'''_{\text{ш}}$$

$$\text{обозначим } R_2 = R_{\text{ш}} + \frac{1}{\frac{1}{R_6} + \frac{1}{R_{\text{т.о}}}}; \quad R_2 = 2,508$$

$$\frac{J'''_{\text{ш}}}{J_A} = \frac{R_A}{R_2}; \quad \frac{0,005}{2,508} = 0,002$$

$$J'''_{\text{ш}} = 0,002 \cdot J_A$$

подставим значение  $J_A$

$$\boxed{J'''_{\text{ш}} = 0,002 \text{ A}}$$

б) при включенной внешней нагрузке. При включенной внешней нагрузке и замкнутых контактах  $K_3$  и  $K_4$  падение напряжения в цепи дополнительного сопротивления больше, чем в шунтовой обмотке и внешней нагрузке, вследствие чего в шунтовой обмотке возбуждения появится сила тока, направленная от контактов  $K_4$  и  $K_8$  в шунтовую обмотку, но в обратном направлении; ее численное значение

$$J_{\text{вн}} = \frac{V_u}{R_a + \frac{1}{R_m + R_c + R_{\text{вн}}}}; J_{\text{вн}} = 8,13 \text{ A}$$

Обозначая

$$\frac{1}{R_m + R_c + R_{\text{вн}}} = R_s$$

находим  $R_s = 0,08 \text{ ома}$ .

Суммарная сила тока в последовательных обмотках динамомашины и регулятора обозначена  $J_n$ , тогда на основании первого закона Кирхгофа

$$J_{\text{вн}} = J'''_u + J_n; J_n = 8,13 - J'''_u$$

$$\frac{J'''_u}{J_n} = \frac{R_u}{R_m}; \frac{0,08}{2,5} = 0,032;$$

подставим значения  $J_n$  и решим

$$J'''_u \approx 0,26 \text{ A}$$

но эта сила тока будет создавать магнитное поле, противоположное тому, которое необходимо для создания Э. Д. С. в обмотках якоря (при данном направлении его вращения) и если бы не ампер-витки серийной обмотки, то произошло бы уничтожение остаточного магнетизма и динамомашине не смогла бы вновь возбудиться. Числовое значение ампер-витков шунтовой обмотки равно

$$W_u \cdot J'''_u = 360 \cdot 0,26; W_u \cdot J'''_u = 93,5 \text{ ам.-витка}$$

Числовое значение ампер-витков серийной обмотки определится предварительно найдя значение  $J'''_c$

$$J_u = J_{\text{вн}} - J'''_u; J_u = 7,87 \text{ A}$$

$$\frac{J_u}{J_{\text{вн}}} = \frac{R_{\text{вн}}}{R_c}; \frac{0,2}{0,15} = 1,33$$

$$J_u = 1,33 \cdot J_{\text{вн}}, \text{ но } J_{\text{вн}} = J_u - J_c$$

$$\text{тогда } J_u = (7,87 - J_c) \cdot 1,33$$

$$J'''_c = 4,5 \quad J'''_u W = 105 \text{ ам.-витков}$$

данные, полученные при подсчете, характеризуют конечные значения силы тока при замкнутом и разомкнутом состояниях контактов. Все же промежуточные значения силы тока возбуждения зависят от вибрации сердечника в пределах того или иного импульса.

Данный подсчет также характеризует изменение величины силы тока в дополнительном сопротивлении  $R_g$ , причем она достигает своего максимального значения в момент замыкания контактов  $K_a$  и  $K_4$ , а следовательно и нагрев сопротивления в этом случае более вероятен. Данный тип динамомашины обладает сериесной обмоткой и включение генератора в цепь из плавкового предохранителя недопустимо, так как, в случае короткого замыкания во внешней цепи, в сериесной обмотке и обмотке якоря, сила тока окажется достаточной, чтобы вызвать пробой изоляции.

**Регулирование трехступенного регулятора динамомашины** фирмы Р. Баш, тип  $K \frac{50}{6} 500$ . Установка контактов в чашках производится точно так же, как в динамомашине тип *LVA*, и только порядок установки контактных чашек изменяется в связи с односторонним действием обеих катушек, т. е. магнитные поля, созданные обмотками катушек  $S7$  и  $R7$ , стремятся переместить сердечники в одном направлении, а именно от крышки динамомашины наружу к зрителю, который смотрит на генератор со стороны коллектора.

**Сборка и регулировка катушки  $S7$ .** Установка чашек в катушке  $S7$  ведется в следующем порядке: первой ввертывают нижнюю чашку до отказа, после чего необходимо отвернуть, врашая в обратную сторону на  $\frac{3}{4}$  оборота и закрепляют контргайку, это делается с целью дать возможность перемещаться сердечнику под действием силы пружины или напряженности магнитного поля. Величина зазора между упором чашки и фарфоровым выступом при этой регулировке будет равна 0,75 мм.

Перед установкой передней чашки катушки  $S7$  вкладывают изолирующую и медную шайбы, затем вставляют пружину  $P_1$  и ввертывают контактную чашку до отказа, после чашку поворачивают  $\frac{1}{2}$  оборота в обратную сторону и закрепляют контргайку. При данной регулировке необходимо помнить, что поверхность контактов  $K_6$  должна находиться на уровне чашки и амплитуда качания сердечника равна 0,5 мм.

**Сборка и регулировка катушки  $R7$ .** Последовательность сборки и регулирование зазоров производится точно и в той же последовательности, как это описано для регулятора динамомашины типа *LVA*. Электрическое регулирование производят на стадне, со включенной через амперметр внешней нагрузкой (роль которой выполняет реостат), включенным параллельно нагрузке вольтметром и замкнутыми между собою зажимами 61 и 69.

Якорю динамомашины дают 350 об/мин. и если при напряжении 4,5 вольта сила тока в реостате равна 3 ампера姆, то следовательно контакты  $K_5$  и  $K_6$  не замкнуты (что и должно

иметь место). Если же напряжение окажется меньше 4,5 вольта то следовательно упругость пружины  $P_1$  недостаточна и необходимо, предварительно освободив контргайку, повернуть наружную чашку в направлении вращения часовой стрелки на  $\frac{1}{8}$  или  $\frac{1}{4}$  оборота.

Регулирование катушки  $R7$  ведется до получения напряжения 6,5 вольт на зажимах и величина которого изменяется максимум  $\pm 0,2$  вольта при силе тока в цепи 7,7 амп. и изменении числа оборотов якоря от 600 об/мин. до 2000 об/мин. Длительность испытания динамомашины под нагрузкой не должна быть менее 30 мин., так как нагрев генератора и регулятора вызывает повышение напряжения на зажимах и приходится уменьшить упругость пружины до получения нужной величины напряжения.

Монтажные данные динамомашины фирмы Р. Бощ тип  $K_6^{50}$  и ее регулятора см. в таблице 11.

Таблица 11  
Катушка  $S7$

Проволока с эмалевой изоляцией	Послед. никкел.	Паралл. медная	Никкелинов.
Диаметр с изоляцией . . . . .	1,35 мм	0,43 мм	0,38 мм
без изоляции . . . . .	1,30	0,40	0,35
Число витков . . . . .	10	645	24
Длина проволоки . . . . .	0,55 м	43 м	2,5 м
Вес проволоки . . . . .	6 г	49 г	2 г
Сопротивление . . . . .	0,2 ом	7,8 ом	14 ом

Катушка  $R7$

Проволока с эмалевой изоляцией	Параллельн. медная	Никкелиновая
Диаметр с изоляцией . . . . .	0,43 мм	0,38 мм
без изоляции . . . . .	0,40	0,35
Число витков . . . . .	817	34
Длина проволоки . . . . .	54,7 м	3,1 м
Вес проволоки . . . . .	60 г	3 г
Сопротивление . . . . .	9 ом	15' ом

Динамомашина четырехполюсная

Проволока марки Н.Б.Д.	1, 3 катуш. шунт. медная	2, 4 катуш. серий. медная	Дополнит. сопротивл. никкелин
Диаметр без изоляции . . . . .	0,82 мм	1,75 мм	0,5 мм
Число витков . . . . .	175 $\pm$ 181	43 $\pm$ 43	8
Длина проволоки . . . . .	40,5 $\pm$ 42,5	10,3 $\pm$ 10,3	2,4
Вес проволоки . . . . .	204 $\pm$ 220 г	22 $\pm$ 222 г	5 г
Сопротивление . . . . .	1,25 $\pm$ 1,3 ом	0,75 $\pm$ 0,76 ом	0 ом

## КОМБИНИРОВАННЫЕ ПРИБОРЫ

Нередко на автомобилях с целью иметь минимальный габарит установки, а также избежнуть необходимости в дополнительном приводе, применяют комбинированный тип генератора с прибором зажигания, причем можно встретить соединенные в один агрегат, динамомашину с установленным на задней крышке механическим прерывателем первичной цепи бобины, распределителем тока высокого напряжения и автоматом опережения.

Изредка на динамомашину укрепляют и бобину. Подобный агрегат устанавливается на автомобилях

Бьюик и изготавливается фирмой Делько-Реми (см. рис. 124). Так же подобный агрегат устанавливается на мотоциклах Хард-Давидсон, у которых распределитель высокого напряжения отсутствует.

Агрегат может быть представлен соединением динамомашины с магнето, которое получает привод от вала генератора. Магнето в таких агрегатах встречается с вращающимися и неподвижными обмотками. Фирма Марелли снабжает свои комбинированные приборы трехщеточным генератором и магнето с вращающимися обмотками (см. рис. 125). Из рисунка видно, что магнето отличается от нормального типа только формой передней крышки, которая выполняет одновременно и роль крышки динамомашины.

Фирма Р. Буш снабжает генератор или прерывателем и распределителем батарейного зажигания (см. рис. 126), или магнето высокого напряжения с неподвижными обмотками и вращающимся магнитом (см. рис. 127).

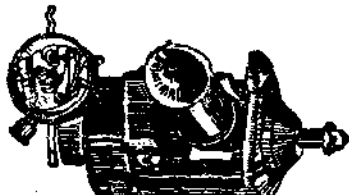


Рис. 124

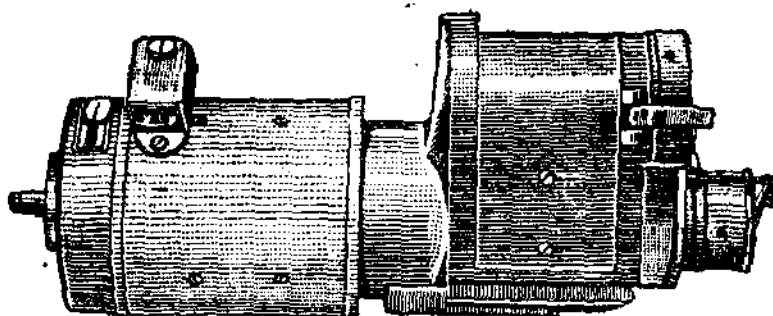


Рис. 125

Выше рассмотренные комбинированные приборы имеют механическую связь и не пользуются общим магнитным потоком и в случае соединения динамомашины с магнето их называют „динамо-магнето“.

На мотоциклах часто в целях получения еще более портативных приборов связывают магнето и генератор общей магнитной

цепью, причем якорь генератора является дополнением к магнету и эти комбинированные приборы называют „магдина или магнетта“.

На рис. 128 представлена магдина фирмы Р. Бош, где изображены магнитные части магнето и динамомашины. Два магнита  $M$  и  $M'$  действуют параллельно и сердечник якоря магнето является общим участком магнитной цепи для двух магнитных потоков. Верхний полюсный наконечник магнитной цепи якоря магнето является одновременно нижним полюсом динамомашины. Верхний полюс ее снабжен шунтовой обмоткой, сила тока в которой регулируется двухступенным регулятором.

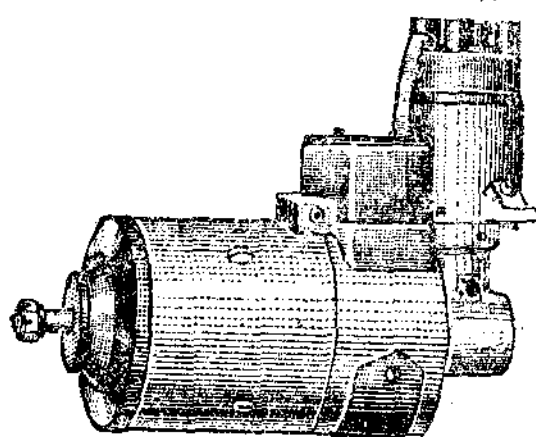


Рис. 128

Магдини фирмы Р. Бош выпускаются с nominalным напряжением в 6 вольт и nominalной мощностью в 15 ватт и 30 вт.тт, для одноцилиндровых и двухцилиндровых двигателей. Магдина

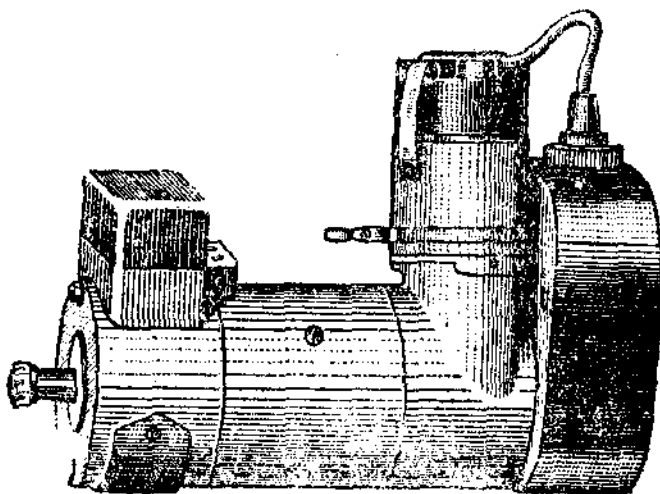


Рис. 127

мощностью в 15 ватт имеет регулятор напряжения, регулятор максимальной силы тока и реле, выполненные цилиндрической формы и конструктивно напоминают конструкцию реле регулятора динамомашины *LVA*.

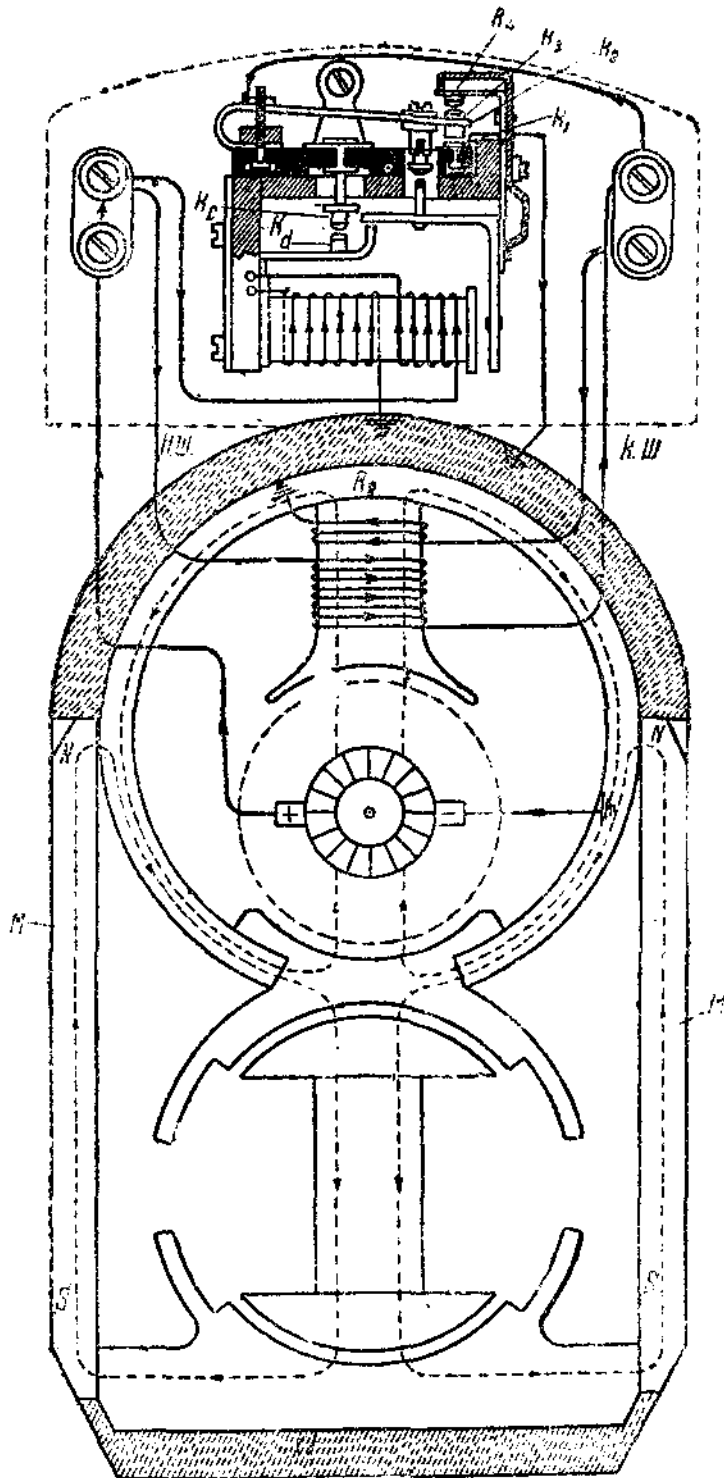


Рис. 128

Реле и регулятор установлены отдельно от магдина и заключены в общий футляр с переключателем и предохранителем. Магдина фирмы Р. Бош мощностью 30 ватт (см. рис. 128) снабжен комбинированным двуступенным регулятором-реле плоского типа и установленным непосредственно на магдину. Конструкция схема соединения обмоток полностью совпадают с описанием динамомашины *RK* и *RJB*, пояснение принципа действия не дается так как принцип действия был объяснен ранее.

Некоторые фирмы объединяют в одном приборе магнето-генератор, имеющие общий магнитопровод и Э.Д.С. индуктируется в обмотках зажигания и освещения от изменяющегося магнитного потока, созданного постоянными магнитами, но генераторы подобных комбинированных приборов маломощны (порядка 5--10 ватт) и часто не имеют коллектора, что не позволяет использовать их для зарядки аккумуляторной батареи. Единственным преимуществом таких приборов является их простота и незначительные размеры.

## НЕИСПРАВНОСТИ, ИХ ОПРЕДЕЛЕНИЕ, УСТРАНЕНИЕ И УХОД ЗА ДИНАМОМАШИНАМИ

В тех случаях, когда динамомашина не дает зарядного тока, необходимо убедиться исправна ли проводка и исправен ли генератор. Если имеется генератор с регулятором напряжения или комбинированным регулятором-реле, то прежде чем снять его (генератор) с двигателя, предварительно отключив проводку от внешней нагрузки, включают лампу между „массой“ и зажимом 51 (динамомашина Р. Бош) или зажимом 5 (динамомашины Сцинтилла) и дают двигателю работать при среднем числе оборотов.

Если вить лампы будет иметь полный накал, то генератор исправен и повреждение необходимо искать в проводке. В противном случае необходимо осмотреть коллектор, не загрязнен ли он и плотно ли прилегают к нему щетки. Если при осмотре окажется, что состояние щеток и коллектора хорошее, то необходимо попытаться возбудить генератор от аккумуляторной батареи. Возбуждение генератора можно произвести следующим образом: при среднем числе оборотов вала работающего двигателя и нормально включенной аккумуляторной батареи открывают крышку реле и пальцем прижимают на 5--10 секунд якорек реле (это возможно проделать в динамомашине Р. Бош тип *RK*, *RJB*, *FQA* и *KAB*, динамомашине Сцинтилла, а так же в динамомашине Делько-Реми и Авто-Лайт) и если реле остается замкнутым, то генератор возбудился и амперметр должен показать зарядный ток аккумуляторной батареи (при наличии контрольной лампы она должна погаснуть).

Можно возбудить динамомашину и не открывая реле-регулятора, для этого достаточно при работающем двигателе на 5--10 секунд замкнуть проводником зажимы 51 и 61 (у генераторов Р. Бош, см. схемы 120, 121, 117), зажимы 4 и 5 (у генератора Сцинтилла) и зажимы D и Bат (у генераторов Делько-

Реми, Форд и Авто-Ляйт). Если возбуждение генератора от аккумуляторной батареи было произведено, но он все же не дал зарядного тока, в таком случае необходимо отключить провод 'а, снять генератор с двигателя и направить в ремонтную мастерскую.

В том случае, когда генератор типа FQA или ГАУ потерял возбуждение, проверить цел ли плавкий предохранитель.

В электроремонтной мастерской производят внешнюю очистку, осматривают коллектор и щетки и предварительно пробуют генератор, как электродвигатель, для чего приключают + зажим батареи к зажиму 61 и — зажим батареи соединяют с корпусом динамомашины. Если генератор исправен, то он должен вращаться с малым числом оборотов в ту сторону, в которую имел привод на двигателе, причем при нажатии на Г-образный якорек в динамомашинах RK и RB или на сердечник реле регулятора (динамомашина) KAB. Число оборотов якоря должно увеличиться и при замыкании контактов  $K_3$  и  $K_4$  якорь генератора должен получить очень большое число оборотов, так как

$$n = \frac{v - J_a R_a}{C\Phi}.$$

Проведенное испытание показывает, что обмотка возбуждения и механизм регулятора исправны. После чего устанавливают генератор на стенд и испытывают при различном числе оборотов якоря. Если нужно, то проводят регулировку регулятора — реле (см. описание конструкций динамомашин, регуляторов-реле и их регулирование).

В том случае, если якорь генератора, при испытании его в роли электродвигателя, вращался в противоположном направлении тому, которое имел от привода на двигателе внутреннего сгорания, то необходимо поменять места присоединения начала шунтовой обмотки возбуждения НШ и конца ее КШI после чего генератор вновь ставят на стенд и проверяют его работу.

Если на стande не удалось достичнуть нормальной работы генератора, его разбирают и удаляют пыль, грязь и т. п., после чего проверяют цела ли обмотка возбуждения.

Проверка обмотки может быть произведена или приключением ее к источнику постоянного тока, или испытанием катушек на специальном трансформаторе, на котором вторичной обмоткой является испытуемая катушка. Последний способ более точный, так как позволяет не только установить обрыв, но и витковое замыкание, что нередко имеет место. Если в катушках не обнаружено дефектов, то переходят к испытанию якоря.

Первоначально испытывают обмотки якоря, проверяя, не имеют ли они соединения с „массой“, для этого один провод источника соединяют непосредственно с валом, а другим через последовательно включенную лампу накаливания или вольтметр касаются ламелей коллектора, причем, если обмотки не замкнуты на массу, то нить лампы не накалится или вольтметр не обнаружит напряжения между точками касания. В тех случаях, когда желают проверить, нет ли виткового соединения в секциях

якорной обмотки, прибегают к проверке якоря на специальном трансформаторе.

Если испытаны обмоток возбуждения и обмоток якоря показано, что они вполне исправны, то переходят к разборке реле-регулятора и, не вскрывая обмоток, обращают внимание главным образом на состояние контактов, поверхность которых должна иметь полусферическую форму и отсутствие слоя окислов.

Если обнаружится, что контакты  $K_1$  и  $K_2$  сильно разрушены, необходимо проверить цело ли дополнительное сопротивление  $R_g$  и не нарушается ли связь между ним и вибратором, или между ним и "массой". В этих случаях когда генератор, с абженным регулятором-реле, не отдаёт полной мощности, необходимо для выявления неисправностей придерживаться той же последовательности.

При эксплуатации трехшеточных динамомашин в случае отказа их в работе необходимо проверить цело ли предохранитель в обмотке возбуждения (динамомашине фирмы Марелли) и в случае пониженной мощности генератора, имеющего термостат (динамомашине фирмы Делько-Реми), следует обратить внимание на контакты термостата, замкнуты ли они при температуре окружающего воздуха.

В случае обнаружения поврежденной поверхности коллектора или ее неровности, вследствие выступания микалитовых прокладок, необходимо произвести его обточку, причем толщина стружки, которую снимает резец при обточке, должна быть минимальна.

Обточку вести до момента полного устранения раковин и ссадин на поверхности ламелей.

До обточки якорь точно выверяют, не доверяясь состоянию центров на валу. После обточки удаляют часть микалита на глубину 0,5 мм, затем поверхность коллектора шлифуется и полируется.

При замене щеток необходимо, чтобы щетка не только подходила по размерам, но и состав ее и твердость были такими, какие имела изношенная или поврежденная щетка. Лучше всего пользоваться теми щетками, которые рекомендует завод, изготавливающий генераторы. Надо помнить, что щетки от высоковольтных коллекторных машин абсолютно непригодны для генераторов, применяемых на авто-тракторо-мотомашинах, так как дают очень большое переходное сопротивление и генератор не может самовозбудиться.

После установки поверхность щетки необходимо тщательно пригнать к поверхности коллектора с помощью стеклянной бумаги.

### УХОД ЗА ГЕНЕРАТОРАМИ

Не следует злоупотреблять смазкой, так как одной из основных причин отказа в работе генератора является попадание масла на коллектор, щеткодержатели, щетки и обмотки. Так как большинство генераторов имеет вал якоря, установленный

на шарикоподшипниках, то смазка их производится тавотом или солидолом один раз в сезон при чистке и разборке динамомашины.

В тех комбинированных приборах, где имеются винтовые шестерни, приходится производить примерно через 3000 км пробега автомашины и на тракторах через 100 часов работы, вспуская по несколько капель масла.

Чрезмерная смазка вызывает прилипание щеток к щеткодержателям и нередко к их застrevанию (в случае полужесткого крепления щетки в щеткодержателе). Излишний смазкой вызывает загрязнение коллектора, искрение щеток, а нередко и полный отказ генератора в работе.

Необходимо следить за коллектором и щетками и через 100 часов работы производить обтирание его поверхности чистой тряпкой, и если поверхность коллектора сильно загрязнена, обтирание делают тряпкой, смоченной бензином. Следует придерживаться правила, что после 300 + 400 часов работы необходимо разобрать генератор (не разбирая регулятора-реле), очистить и просмотреть все детали, и положить необходимое количество смазки и после сборки проверить работу генератора на стande. В случае надобности произвести регулировку с предварительным исправлением и подчисткой контактов реле-регулятора.

Необходимо также помнить, что в случае неправильного соединения аккумуляторной батареи (перепутаны + зажим и — зажим) к генератору, он изменит полярность. Если аккумуляторную батарею включить так, как она должна быть включена по стандартной схеме, то как только генератор возбудится и замкнутся контакты реле, в толстой обмотке появится разрядный ток аккумуляторной батареи. В это время в тонкой намотке сила тока будет близка к нулю, так как в ней Э.Д.С. аккумуляторной батареи будет противоположно направлена индуктированной Э.Д.С. обмоток якоря.

Напряженность поля, созданного толстой обмоткой, окажется недостаточной для того, чтобы удерживать якорек, и он под действием пружины будет оттянут, контакты  $K_d$  и  $K_d$  разомкнутся. Одновременно при замкнутых контактах в обмотках индукторов динамомашины сила тока также будет уменьшаться (по той же причине, что и в тонкой обмотке реле), то после размыкания, за счет остаточного магнетизма, динамомашина вновь возбудится, тонкая обмотка реле вызовет замыкание контактов и весь процесс вновь и вновь будет повторяться.

При наличии контрольной лампы в установке, нить ее окажется под напряжением, равным сумме Э.Д.С. аккумуляторной батареи и динамомашины, вследствие чего сила тока в ней (нити) окажется достаточной для ее перегорания. При наличии амперметра в цепи батареи и динамомашины можно будет наблюдать данный процесс по качанию стрелки. Подобная ошибка при включении аккумуляторной батареи вредно отзывается на состоянии контактов, а также вызывает разряд батареи.

### Контрольные вопросы

1. Какие преимущества имеет двухступенчатый регулятор перед одноступенным, работающим с дополнительным сопротивлением.
2. Чем вызвана необходимость применения последовательной обмотки в комбинированном регуляторе.
3. Оказывает ли влияние на работу регулятора постоянства напряжения степень заряженности аккумуляторной батареи.
4. Почему при трехщеточных генераторах аккумуляторные батареи имеют большую емкость, чем при генераторах, снабженных регуляторами.
5. Чем объяснить невозможность пользования трехщеточным генератором для освещения при отсутствии аккумуляторной батареи.
6. Какие меры применяют для уменьшения влияния нагрева регулятора на величину регулируемого напряжения.
7. Какие меры способствуют улучшению зарядной характеристики в трехщеточных генераторах.
8. Дать оценку одноступенным регуляторам первого и второго типа.
9. Имеет ли значение место включения внешней нагрузки, т. е. непосредственно к аккумуляторной батареи или через обмотку регулятора силы тока.
10. Чем достигается повышенные частоты колебаний вибратора.
11. Обязательно ли появление разрядной силы тока в обмотке реле для размыкания контактов  $K_c$  и  $K_d$ .
12. Как можно повысить величину зарядной силы тока в генераторах, снабженных регулятором, и в генераторах с третьей щеткой.
13. В чем заключаются основные требования к установке и приводу генераторов на автомашине.
14. Как определить, в чем заключается исправность динамомашин, снабженной регулятором, в случае падения напряжения на зажимах.
15. Перечислите основные правила ухода за динамомашинами.

## ОТДЕЛ ПЯТЫЙ

### ЭЛЕКТРИЧЕСКИЙ ПУСК ДВИГАТЕЛЯ ВНУТРЕННЕГО СГОРАНИЯ

За последнее десятилетие все автомобили и некоторые тракторы снабжаются пусковым электродвигателем, при помощи которого осуществляется пуск двигателя внутреннего сгорания. Применение пусковых электродвигателей (в дальнейшем будем их называть стартерами) вызвано не только удобством, но и подчас невозможностью пуска двигателя от руки, вследствие высокой степени сжатия, напр. дизеля.

Распространение стартера также способствовало привлечению женщин в качестве водителей машин. Все преимущества стартера перед ручным пуском настолько очевидны, что не стоит их перечислять.

#### ТРЕБОВАНИЯ, ПРЕДЪЯВЛЯЕМЫЕ К СТАРТЕРУ

Для пуска двигателя внутреннего сгорания необходимо приложить к коленчатому валу врачающий момент (примерно от 5 + 20 кг./метров, величина которого зависит от рабочего объема цилиндра и степени сжатия).

Для получения такого большого врачающего момента от электродвигателя пришлось бы иметь последний больших размеров, что конечно абсолютно не позволило применить его на автомобиле. Получение достаточного врачающего момента можно осуществить, применяя понижающую зубчатую передачу с необходимым точным передаточным числом  $i$ , где

$$i = \frac{Z_m}{Z_c}$$

$Z_m$  — число зубьев на шестерне маховика,

$Z_c$  — число зубьев на шестерне стартера.

В тот момент, когда коленчатый вал двигателя начинает вращаться, приходится преодолеть инерцию масс, трение в двигателе и давление сжимаемой газовой смеси или воздуха.

Все перечисленное требует от электродвигателя, чтобы он при минимальном числе оборотов якоря имел максимальный врачающий момент. Таким требованиям отвечает серийный электродвигатель, т. е. двигатель с последовательным включением обмоток возбуждения в цепь якоря. Из курса „Электротехники“

известно

$$M_a = K I_a \Phi \text{ в к.м} \quad (1)$$

где

$M_a$  — момент якоря,

$I_a$  — сила тока в якорной обмотке.

$\Phi$  — магнитный поток.

$K$  — постянный коэффициент, зависящий от числа пар полюсов ( $P$ ), числа пар параллельных цепей обмотки якоря  $a$ , числа проводников, находящихся на якоре  $W$  и площади сечения полюса  $Q$ .

т. е.

$$K = \frac{P}{a} \frac{W}{200 \cdot 10^6 \cdot 981000}$$

Сила тока в обмотках якоря зависит  $I_a = \frac{V - E_n}{R_a + r_a}$

где

$V$  — напряжение на зажимах электродвигателя,

$E_n$  — противоэлектродвижущая сила,

$R_a$  — сопротивление обмоток якоря, коллектора и щеток,

$r_a$  — сопротивление обмоток возбуждения.

Величина противоэлектродвижущей силы зависит от скорости вращения проводника в магнитном поле, его активной длины и величины магнитной индукции. Откуда следует, что в момент включения стартера сила тока  $I_a$  имеет максимальную величину, а так как обмотки возбуждения включены последовательно с обмотками якоря, то и в них сила тока будет та же, что и в обмотки якоря, а следовательно магнитная индукция будет максимальна, так как она зависит от числа витков.

На основании формулы (1) заключаем, что момент будет максимальен. Как только якорь начнет вращаться, в проводниках появится противоэлектродвижущая сила, и так как разность  $V - E_n$  по мере увеличения числа оборотов будет уменьшаться, то и сила тока в якоре и индукторах также понизится, вызывая уменьшение вращающего момента. Зависимость числа оборотов якоря выражена формулой

$$\pi = \frac{V - I_a (R_a + r_a)}{c \Phi};$$

где

$V$  — напряжение на зажимах электродвигателя,

$c$  — постянный коэффициент, характеризующий двигатель,

$\Phi$  — магнитный поток.

Из формулы видно, что при увеличении реактивного момента величина падения напряжения в якоре  $e = I_a R_a$  увеличивается, и разность  $V - I_a R_a$  уменьшается. Но одновременно с увеличением силы тока в якоре увеличивается и сила тока в обмотке возбуждения и величина магнитного потока повышается. Уменьшение числителя и увеличение знаменателя вызывает быстрое падение числа оборотов  $\pi$ . Если же нагрузка на вал якоря уменьшится, то число оборотов быстро возрастет и при отсут-

ствин тормозного момента может достигнуть такого значения, что механическая прочность якоря и крепление на нем обмоток окажутся недостаточными и двигатель потерпит аварию. На рис. 129 изображены основные характеристики серии двигателей.

В установках, имеющих напряжение 6 вольт, максимальное значение силы тока достигает  $300 \pm 500$  ампер и в установках с напряжением 12 вольт  $150 \pm 300$  ампер.

Время, необходимое для получения пускового числа оборотов коленчатым валом, зависит от врачающего момента стартера,

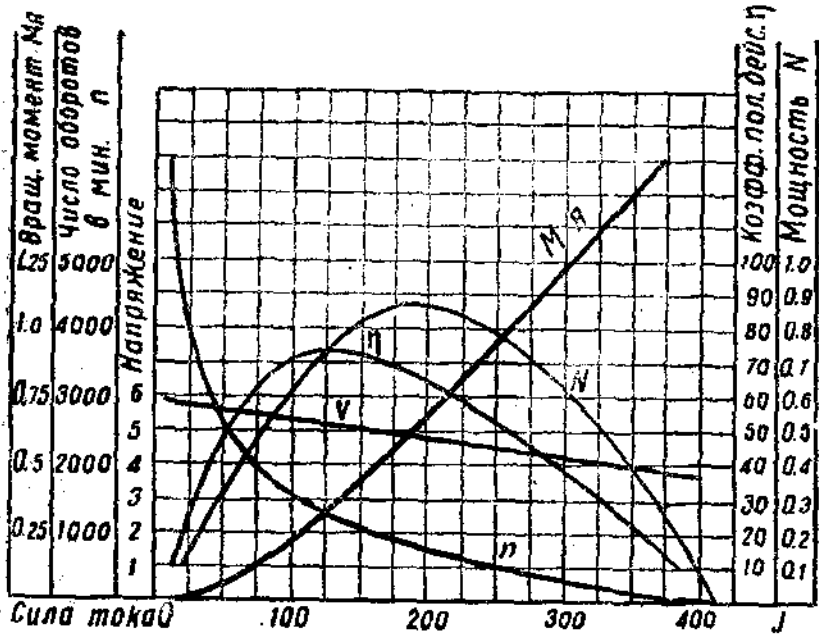


Рис. 129

передаточного числа между ним и двигателем, от затяжки подшипников, от вязкости масла и от напряжения на зажимах стартера.

При батарейном зажигании двигатель пускается при  $60 \pm 80$  об/мин. коленчатого вала.

Во время пуска при одном и том же стартере, той же аккумуляторной батареи, том же состоянии ее заряда и том же передаточном числе, число оборотов якоря стартера, а следовательно и число оборотов коленчатого вала, может изменяться в пределах от  $60 \pm 200$  об/мин. в зависимости от состояния двигателя внутреннего сгорания. Так, напр., при приработавшихся подшипниках и вполне заряженной батарее, но холодном двигателе, максимальное число оборотов коленчатого вала достигает 80 об/мин. В том же двигателе, но в нагретом состоянии максимальное число оборотов коленчатого вала достигает 200 об/мин.

Необходимо отметить, что значение вращающего момента в первом случае будет больше и вал двигателя достигает максимального числа оборотов через большее время, чем во втором случае, когда двигатель в нагретом состоянии. Это говорит, что в холодное время года аккумуляторная батарея, которая имеет пониженную емкость при низких температурах, при пользовании стартером будет быстрее разряжена.

Для экономии электрической энергии запасенной в аккумуляторной батарее, а так же в целях сохранности ее, не рекомендуется производить пуск двигателя путем нескольких чередующихся через малый промежуток времени последующих включений и выключений, так как в момент пуска сила тока имеет значительную величину. Лучше пуск производить следующим образом: когда есть уверенность, что топливо в карбюраторе имеется, приоткрывают дроссель, закрывают доступ воздуха и при выключенном зажигании включают стартер; когда в цилиндры двигателя поступит газовая смесь, не выключая стартера, включают зажигание. Исправный двигатель при соответствующем топливе заведется и тогда открывают воздушную заслонку и выключают стартер. Если пуск двигателя не удался, необходимо сделать паузу в 1—3 мин., прежде чем приступить к следующему пуску. Необходимость в паузе вызвана обильным выделением химически чистой воды в порах активной массы пластин, которая является нетокопроводящим веществом, и значительно повышает внутреннее сопротивление аккумуляторной батареи и уменьшает напряжение на зажимах стартера.

Мощность электрического тока представляет  $P = VI$ . Напряжение  $V$  в автоустановке очень низкое, и необходимо иметь цепи с малым сопротивлением, чтобы в них была большая сила тока при малом падении напряжения в них. С этой целью провод, соединяющий стартер с аккумуляторной батареей, берут большего сечения от 35—95 мм<sup>2</sup>. С этой же целью материал щеток должен иметь малое удельное сопротивление, равное 0,000002—0,000001 ом/см.<sup>3</sup>

В целях уменьшения сопротивления обмоток возбуждения и якоря их делают из медного провода, большей частью прямоугольного сечения. В целях получения минимального сопротивления часто обмотки возбуждения выполняют в виде двух параллельных цепей, последовательно включенных в цепь якоря.

Чтобы иметь максимальный момент при минимальном числе оборотов якоря, применяют многополюсные индукторы, так как

$$M_s = \frac{P}{n} \frac{WB_a}{200 \cdot 10^6 \cdot 981000} \text{ кг} \cdot \text{м}$$

т. е. момент прямо пропорционален числу пар полюсов  $P$  и обратно пропорционален числу пар параллельных цепей  $a$  на якоре. Для выполнения последнего требования применяют волновую обмотку, но число щеток ставят равное числу полюсов, с целью уменьшить плотность тока в них (щетках), которая превышает нормальную, для стационарных электродвигателей примерно в 10 раз.

## Определение необходимой мощности стартера

В тех случаях, когда приходится заменить один тип стартера другим, рекомендуется произвести проверку, пригоден ли данный стартер для пуска двигателя.

Выше уже указывалось влияние температуры двигателя и вязкости масла на потребную мощность и величину вращающего момента стартера, необходимых для надежного пуска двигателя. Произведя подсчет мощности для холодного двигателя, можно обеспечить пуск нагревенного двигателя. Расчет ведется для двигателя, имеющего температуру 0° С и вязкость масла в котором G=8 по Энглеру при температуре +50° С.

Вращающий момент стартера определяется на основании эмпирической формулы

$$M = 1,3 \cdot C \cdot V_h \text{ в кг м,}$$

где

$C$  — коэффициент, зависящий от числа цилиндров и степени сжатия, его значения для четырехцилиндровых двигателей при нормальной степени сжатия  $C = 3$  и повышенной степени сжатия  $C = 3,5$ . Для двигателей с 6-8 цилиндрами при нормальной степени сжатия  $C = 3,5$  и повышенной степени сжатия  $C = 4$ ,

$V_h$  — рабочий объем всех цилиндров, выраженный в кубических дециметрах.

Учитывая минимальное число оборотов коленчатого вала, при котором магнето сможет дать искровой разряд в свече, способный воспламенить газовую смесь, определяют необходимую мощность

$$N = \omega M, \text{ но}$$

$$\omega = \frac{2\pi n_{\min}}{60}$$

делая подстановку, находят

$$N = M \frac{2\pi}{75 \cdot 60} n_{\min} \text{ в л. с.}$$

или

$$N = 0,0014 \cdot n_{\min} M$$

Если характеристика стартера, который собираются установить на двигатель внутреннего сгорания, имеет показатели, равные или большие полученных при подсчете, то установка допустима.

## ПРИВОД ОТ СТАРТЕРА К ДВИГАТЕЛЮ ВНУТРЕННЕГО СГОРАНИЯ

Передача вращающего момента от якоря стартера к коленчатому валу двигателя внутреннего сгорания необходима только на время пуска последнего, и потребности в постоянном сцеплении не имеется.

Выше уже указывалось на необходимость в большом передаточном числе между якорем стартера и коленчатым валом. Наиболее подходящим местом на двигателе для привода в современных автомобилях и тракторах является зубчатая передача через шестерню, укрепленную на маховике, благодаря ее боль-

шому диаметру, относительно диаметра шестерни якоря стартера, имеется возможность получить большое передаточное число, порядка  $i=10+20$ .

Сцепление зуб атой шестерни маховика с шестерней якоря происходит вследствие осевого перемещения последней. Перемещение шестерни якоря происходит или вместе с ним, или же она имеет полужесткое крепление на валу, позволяющее ей перемещаться относительно вала.

Осевое перемещение можно вызвать или воздействием силы, приложенной извне (действием ноги на систему рычагов), или используя ускорение вала якоря и инерцию шестерни (принцип Бендиекса) или же используя втягивающие свойства электромагнита.

Механизм сцепления должен отвечать следующим условиям:

1. Передача вращающего момента должна происходить только после того, как зуб шестерни войдет в полное зацепление.

2. Для предупреждения поломки зубьев венца маховика и зубьев шестерни якоря, необходимо иметь амортизационное устройство, смягчающее удар между зубьями.

3. После того, как двигатель внутреннего сгорания будетпущен, должно произойти плавное расцепление между зубьями венца маховика и шестерней стартера.

4. После пуска двигателя, до момента расцепления, в целях предупреждения чрезмерного увеличения числа оборотов якоря стартера (он из ведущего переходит в ведомый) желательно снабдить передаточный механизм втулкой свободного хода.

Примечание. Этот пункт не относится к механизмам сцепления типа Бендиекс.

5. Желательно в целях уменьшения пусковой силы тока и увеличения мощности стартера (см. рис. 129, кривая изменения мощности как функция числа оборотов якоря) иметь такой механизм сцепления, при котором до передачи вращающего момента коленчатому валу якорь получил бы некоторое ускорение, благодаря чему в обмотках якоря появится противоэлектродвижущая сила, и сила тока в цепи стартера понизится.

## КОНСТРУКТИВНОЕ ВЫПОЛНЕНИЕ СТАРТЕРА, МЕХАНИЗМОВ СЦЕПЛЕНИЯ И ЭЛЕКТРОМАГНИТНЫХ ВКЛЮЧАТЕЛЕЙ

Стартер фирмы Делько-Реми, устанавливаемый на автомобилях Л 1 и Бьюик.

На рис. 130 представлен разрез стартера, изготовленного фирмой Делько-Реми.

Принцип действия заключается в следующем: при нажатии педали усилие ноги передается через систему рычагов вилке  $B_k$  кольцу и через пружину  $P$  втулке, которая находится на шлицах вала якоря. Со втулкой соединена, при помощи фрикционного сцепления, зубчатая шестерня. С торцевой стороны, обращенной к венцу маховика, зуб шестерни стартера имеет склоненные фазки, зуб же венца имеет закругленную форму

с торцевой части, обращенной к стартеру. Это сделано с целью обеспечить попадание зубьев шестерни стартера во впадины зубчатого венца маховика. После того, как произошло полное зацепление, дальнейшее движение вилки будет сжимать пружину и рычаг произведет замыкание контактов *A* и *B*. Обмотки стартера будут включены в цепь аккумуляторной батареи.

Появление силы тока в обмотках создаст большой врашающийся момент, и так как в это время необходимо преодолеть инерцию маховика и других вращающихся масс двигателя, то приложенный момент окажется настолько велик, что сила трения в фрикционном сцеплении окажется недостаточной и произойдет пробуксовывание. Как только маховик получит ускорение, сила трения окажется достаточной чтобы шестерня стартера вращалась с той же угловой скоростью, какую имеет вал якоря.

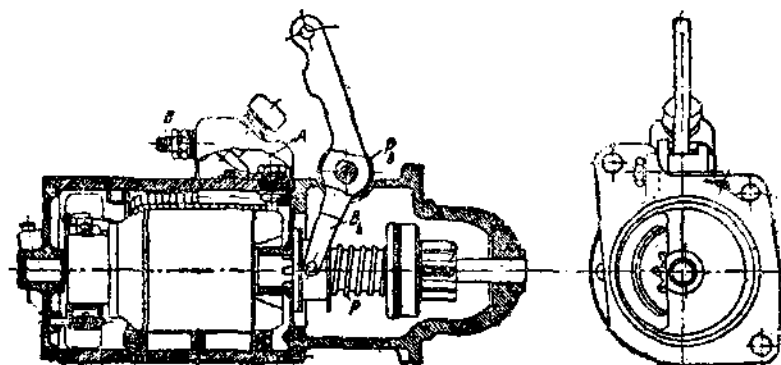


Рис. 130

Применение фрикционной муфты устраниет возможность поломки зубчатых шестерен.

Применение фрикционного сцепления, хотя в крайне незначительной мере, но способствует уменьшению пусковой силы тока и увеличению мощности стартера вследствие повышения числа оборотов в момент пуска двигателя.

В данной конструкции стартера расцепление достигается возвратной пружиной *F*, одновременно с прекращением действия силы на педаль (независимо от того, завелся двигатель или нет).

Такий тип стартера не имеет втулки холостого хода, и в случае зедания шестерни на валу якоря последний приспособляет большее число оборотов, при котором механическая прочность бандажей,держивающих обмотки в открытых пазах якоря, окажется недостаточной и их (обмотки) выкинет центробежной силой.

К большому недостатку надо отнести отсутствие электромагнитного включателя, так как нев возможно отключить стартер от аккумуляторной батареи ключом, выключающим зажигание и предупредить возможность пользования стартером постороннему лицу, не имеющему ключа.

Стартёры с автоматическим сцеплением Бенликс, изготавливаемые Электрозводом и фирмами Делько-Реми, Форд, Альто-Лайт, Р. Баш и др.

На рис. 131 $\alpha$  представлен разрез стартёра, изготавливаемого Электрозводом для автомобилей ГАЗ им. Молотова. Устройство его и принцип действия следующие: вал якоря покоятся на двух подшипниках скользящего типа. На конце вала, противоположном коллектору, при помощи стопора  $C_T$  укреплено кольцо с пружиной  $P$ , которая в свою очередь с помощью болта  $B$  укреплена к трехходовому винту с прямоугольной, нарезкой, свободно одетому на вал якоря.

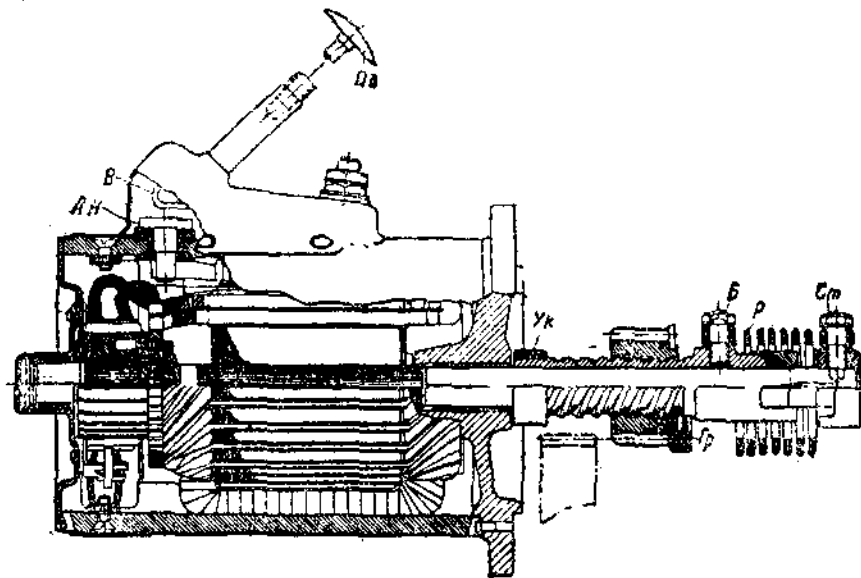


Рис. 131 $\alpha$

Если смотреть на двигатель со стороны радиатора, то стартёр расположен справа и так как вращение маховика происходит по часовой стрелке, то вращение якоря стартёра должно быть левым, т. е. против часовой стрелки. При нажатии пусковой педали  $P_d$  произойдет замыкание контактов  $A$  и  $B$  и ток (см. рис. 131 $\beta$ ) от  $+$  зажима аккумуляторной батареи по „массе“ поступит в щетки  $a$ , ламели коллектора, обмотку якоря, ламели, в щетки  $b$ , откуда в обмотки возбуждения индукторов, в контакт  $A$ , контакт  $B$ , зажим  $B_A$  и по проводу  $v$  — зажим аккумуляторной батареи.

Поле, созданное током в обмотке якоря, взаимодействуя с полем индукторов, создаст вращающий момент и якорь получит ускорение. На трехходовом винте расположена шестерня с внутренней нарезкой, снабженная грузиком  $\Gamma_p$ , в котором установленна пружинка и тормозной штифт.

При ускорении вала якоря момент передастся через пружину к трехходовому винту, который также получит ускорение. так как грузик нарушает симметрию расположения массы шестерни, то реактивный момент, предсказанный при вращении равнодействующей силы грузика на радиус, будет препятствовать вращению шестерни вместе с винтом, вследствие чего она вынуждена перемещаться влево, т. е. ближе к телу стартера, как только зуб шестерни стартера войдет в полное зацепление с венцом, торцевая сторона шестерни получит упор в кольцо УК, которое ограничивает ее осевое перемещение.

В связи с тем, что маховик находится в покое, а якорь имеет довольно большую угловую скорость, удар зубьев оказался бы достаточно велик, что ножку зуба могло срезать, но благодаря пружине Р удар будет смягчен, так как часть энергии будет ею воспринята.

Необходимо помнить, что пружина должна иметь направление витков, при котором происходило бы обвивание вокруг промежуточной муфты при передаче врачающего момента коленчатому валу, т. е она должна работать на закручивание, а не на раскручивание.

После того, как двигатель будет пущен, маховик получит ускорение от коленчатого вала и шестерня стартера перестанет быть ведущей и окажется в роли ведомой. Вал якоря развит такого числа оборотов (его максимальное значение при холостом ходе  $n = 4000$  об/мин.) не сможет, которое получит шестерня стартера от венца маховика, и она, имея большую угловую скорость, чем трехходовой винт, будет перемещаться по резьбе вправо и выйдет из зацепления. Для того чтобы предупредить возможность ее перемещения по винту вследствие тряски автомобиля в грузике установлен тормозок, штифт которого входит в углубление, образованное кольцевой заточкой на трехходовом винте.

Для исправной работы автоматического сцепления не следует нарезку винта покрывать смазкой, имеющей большую вязкость

На рис. 132 представлен стартер фирмы Р. Бощ, который имеет сцепление Бендикс и конструктивно отличается от вышеописанного стартера наличием трех подшипников и отсутствием пускового включателя, устанавливаемого отдельно от стартера.

Стартеры фирмы Делько-Реми, Авто-Лайт и Р. Бощ тип А ничем не отличаются от выше рассмотренных и описание их не дается.

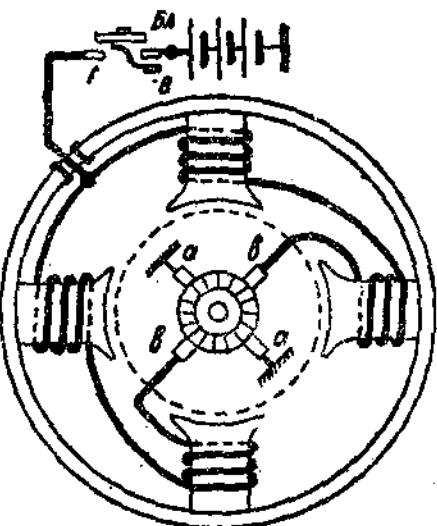


Рис. 131б

## Стартер фирмы Р. Бош, тип BCB, BJC

Данный тип стартера снабжен электромагнитным включателем и перемещение зубчатой шестерни достигается осевым перемещением самого якоря.

На рис. 133а представлена монтажная схема подобного типа стартера и на рис. 133б изображен разрез стартера. Индуктор имеет четыре полюсных наконечника, причем на двух противоположных имеется серийная обмотка мало-о — круглого сечения и на двух других наконечниках имеется серийная обмотка большого — промоугольного сечения.

Соединение обмоток произведено так, чтобы два рядом лежащие полюса имели разноименную полярность. Последовательная обмотка мало-о сечения имеет большое число витков и при небольшом значении силы тока в ней создается мощный магнитный поток.

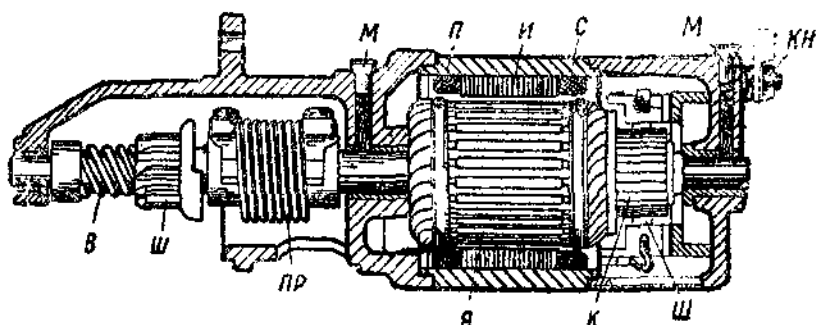
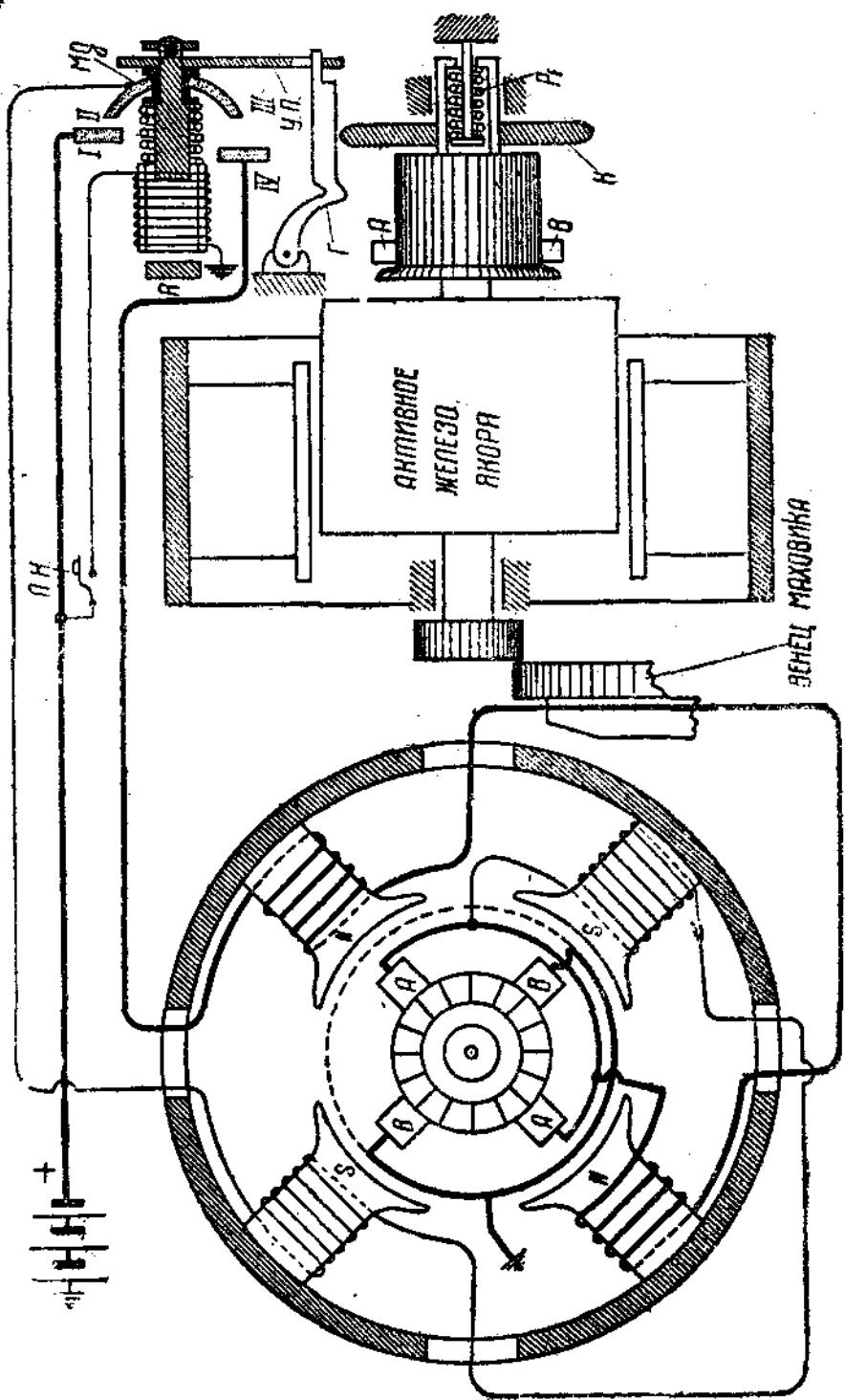


Рис. 133

Принцип действия стартера и электромагнитного включателя заключается в следующем. При нажатии пусковой кнопки ПК под действием Э. Д. С. аккумуляторной батареи в обмотке электромагнитного включателя появится ток и поле, созданное им, втянет железный сердечник. Перемещение сердечника ограничено упорной планкой УИ, которая упирается в гашетку Г и при этом перемещении сердечника произойдет замыкание контактов I и II.

При замкнутых контактах в тонкой последовательной обмотке индукторов, а также и в обмотке якоря появится электрический ток. При этом положении контактов путь его следующий: + зажим аккумуляторной батареи, контакт I, контакт II, тонкая серийная обмотка, щетки A и A', ламели коллектора, обмотки якоря, ламели, щетки B и B', „масса“ и — зажим аккумуляторной батареи. Вследствие большого сопротивления тонкой обмотки возбуждения значение силы тока окажется очень малым.

Из разреза и схемы видно, что активное железо якоря не находится полностью против полюсов, так как пружина Р<sub>1</sub> оттягивает якорь вправо до крайнего положения.



Page 1572

Появившийся ток в тонкой последовательной обмотке индукторов создаст мощный магнитный поток, который втягивает, преодолевая упругость пружины  $P_1$ , якорь, до полного совпадения активного железа с полюсами.

Ранее уже указывалось, что вращающий момент якоря зависит от силы тока в обмотке якоря и величины магнитной индукции, т. е.  $M_a = K I_a B$ .

Значение магнитной индукции велико, но сила тока в обмотках якоря очень мала и при замкнутых контактах  $I$  и  $II$  вращающий момент настолько мал, что его только достаточно для преодоления трения в подшипниках, трения щеток о коллектор и трения поверхностей зуба при зацеплении. С другой стороны

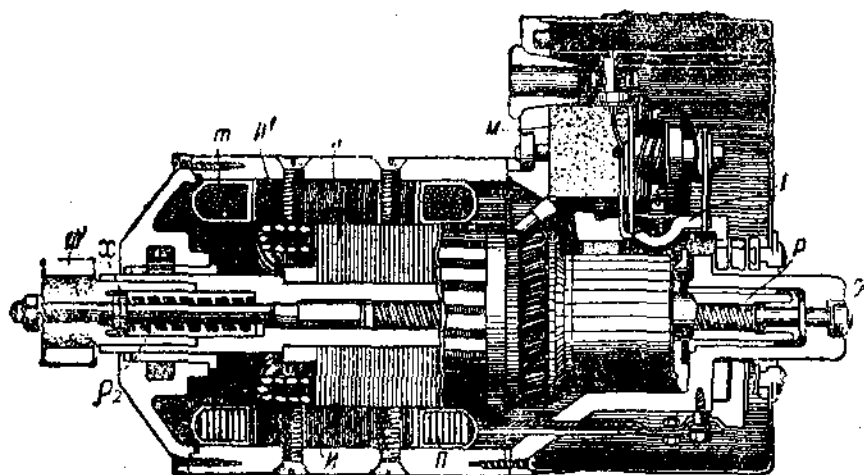


Рис. 133т

известно, что число оборотов якоря обратно пропорционально величине магнитного потока, в данном случае он очень велик, а следовательно число оборотов якоря очень мало и не превышает  $80 \div 100$  об/мин.

Последние два положения, как-то малое число оборотов и малый крутящий момент, обеспечивают попадание зубьев шестерни якоря во впадины между зубьями венца маховика, и гарантируют невозможность повреждения зубчатых шестерен.

Как только зубья войдут в полное зацепление, перемещающееся вместе с якорем кольцо  $K$ , которое жестко закреплено на валу, приподнимет гашетку  $G$  и освободит упорную пластинку. Это позволит соленоиду электромагнитного выключателя глубже втянуть сердечник и замкнуть контакты  $III$  и  $IV$ , вследствие чего толстая последовательная обмотка окажется включенной в цепь аккумуляторной батареи.

При этом положении контактов путь тока следующий: + зажим аккумуляторной батареи, контакт  $I$ , контакт  $II$ , медная

дуга  $Mg$ , контакт  $III$ , контакт  $IV$ , толстая серийная обмотка, щетки  $A A$ , ламели коллектора, обмотки якоря, ламели коллектора, щетки  $B B$ , "масса" и — зажим аккумуляторной батареи.

Сопротивление этой обмотки (толстой) незначительно и сила тока в ней и обмотке якоря примет большое значение. Появление тока большой силы в обмотке якоря, при наличии мощного магнитного потока индукторов, позволяет иметь большой крутящий момент, от собственного приводить все сопротивления в двигателе внутреннего сгорания и дать необходимое для пуска двигателя число оборотов коленчатому валу.

В целях смягчения возможного удара зубьев, вследствие броха тока при замыкании контактов  $III$  и  $IV$ , шестерня соединяется с валом якоря через амортизационную пружину  $P_2$  или многодисковую фрикционную муфту (подобное устройство имеется у стартеров тип  $BNE$  и  $BPA$ ).

Пружина  $P_2$  установлена внутри вала якоря и связана с шестерней через храповик с "волчьим" зубом.

Если к пружине приложить крутящий момент, который будет стремиться ее раскручивать, то пружина при увеличении диаметра витков упрется в стенки втулки, в которую она вставлена, и сила трения окажется достаточной, чтобы передать крутящий момент втулке. В данном случае втулкою является выточка в шестерне. Если же приложить крутящий момент к самой шестерне от венца маховика, то пружина будет завиваться, диаметр витков уменьшится и будет иметь место холостой ход этой шестерни, т. е. шестерня не сможет вращать якоря.

Храповик поставлен на случай заедания пружины во втулке, и если двигатель завелся, а сцепление не произошло, то храповик предупредит возможность передачи момента от венца маховика к валу якоря.

Выше был рассмотрен вопрос о сцеплении, необходимо рассмотреть, благодаря чему достигается автоматическое расцепление. Как только двигатель заведется, якорь перестает передавать крутящий момент венцу, а следовательно, реактивный момент равен нулю (пренебрегая трением в самом стартере) и число оборотов якоря увеличится, вследствие чего противовоздействующая сила увеличится и сила тока в последовательных обмотках возбуждения уменьшится.

Магнитный поток индукторов настолько ослабнет, что напряженность поля не сможет преодолевать упругости пружины  $P_1$ , которая втянет якорь в исходное положение.

Если пусковая кнопка не выключена, то якорь будет продолжать вращаться, не имея сцепления с венцом маховика. Необходимо помнить, что повторное нажатие пусковой кнопки допустимо только после того, когда есть полная уверенность в том, что двигатель не работает.

Если пусковая кнопка будет нажата при работающем двигателе, то поломка зубчатого венца, шестерни, якоря и амортизационной пружины неизбежны, нередко и вал якоря и крышка стартера приходят в полную негодность.

Фирмою Р. Бош предусмотрено использование стартера и в случае необходимости обратной стороны вращения якоря. Для этого необходимо заменить амортизационную пружину  $P_2$  и храповик  $X$ . Изменение направления вращения якоря достигается без всяких переделок, для этого достаточно отвернуть две гайки и два винта, крепящих перемычку щеткодержателей и, повернув ее на угол  $180^\circ$  вокруг центра фигуры, вновь укрепить теми же гайками и теми же винтами.

При повороте планки на  $180^\circ$  происходит замыкание щеток  $A$  и  $A'$  на "массу" вместо щеток  $B$  и  $B'$ . Следовательно направление тока в обмотках якоря будет обратное и направление вращения будет противоположно тому, которое было до переключения.

Фирмою Р. Бош выпускаются стартеры мощностью от 0,4 л. с. до 6 л. с., причем стартеры типа *BNE* и *BPA*, т. е. мощные

стартеры, снабжающиеся многодисковой фрикционной муфтой, цель которой уменьшить возможность срезывания зуба шестерен в момент замыкания контактов  $III$  и  $IV$ , так как амортизационной пружины не имеется. На рис. 134 представлен разрез передней крышки стартера, вала якоря, шестерни и фрикционного амортизатора.

На каждом стартере имеется буквенный и дробный показатель. Числитель дроби показывает мощность в лошадиных

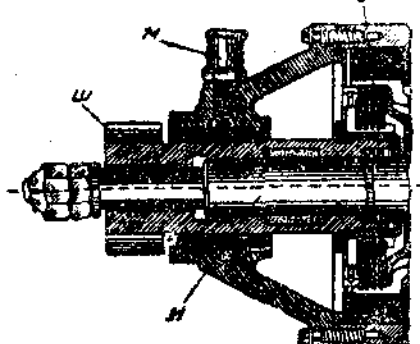


Рис. 134

силах, а знаменатель номинальное напряжение аккумуляторной батареи, от которой стартер получает энергию.

### Стартер фирмы Синтилла с электромагнитным включателем

Фирмою Синтилла выпускаются стартеры мощность от 0,6 л. с. до 3 л. с., снабженные электромагнитным включателем и реверсивным переключателем.

Реверсивный переключатель позволяет якорю иметь правое и левое вращение в зависимости от того, произошло зацепление шестерни якоря с шестерней маховика или нет. На рис. 135 представлен разрез реверсивного стартера тип *HP - 9*.

Однотипные стартеры работают по одному принципу и отличаются между собою только конструктивным выполнением. Реверсивные стартеры фирмы Синтилла являются самыми сложными по конструкции и для уяснения принципов их работы приведена схема стартера *VC - 9*, с некоторым упрощением конструкции (см. рис. 136).

При нажатии пусковой кнопки *ПК* замыкается цепь электромагнитного включателя и поле, созданное током (путь кото-

рого: + — зажим аккумуляторной батареи, „масса“, обмотка электромагнитного включателя, зажим 14, пусковая кнопка 11К, и — зажим аккумуляторной батареи), притянет железное кольцо вследствие чего пружинный контакт *a* замкнется с полукольцом *I*, пружинный контакт *b* будет соединен с полукольцом *II*, пружинный контакт *c* будет замкнут с полукольцом *IV* и пружинный контакт *d* замкнется полукольцом *VI*.

При этом положении контактов путь тока следующий: + — зажим аккумуляторной батареи, „масса“, щетки *A A*, ламели коллектора, обмотки якоря, ламели коллектора, щетки *B B*, полукоццо *V*, контакт *c*, по латунной пружине, контакт *d*, полукоццо *VI*, обмотки индукторов, полукоццо *I*, контакт *a*, латунная пластинка, контакт *b*, полукоццо *II*, зажим 16 и — зажим аккумуляторной батареи.

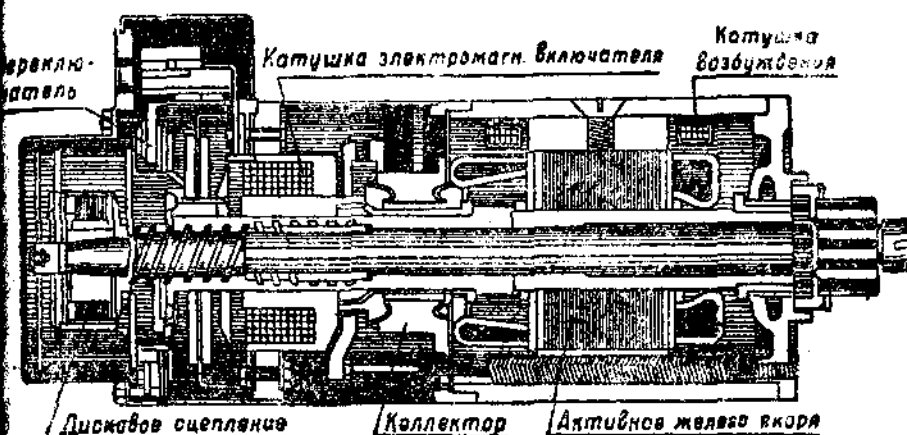


Рис. 135

При этом пути тока, полярность полюсов *1—N*, *2—S*, *3—N*, и *4—S*. Вращение якоря будет против часовой стрелки, если смотреть со стороны коллектора. Крутящий момент от якоря передается через шлицы ведущим дискам, и от них через ведомые диски гайке, которая заставит перемещаться винт с шестерней вправо.

Если зуб шестерни якоря не совпал со впадиной зуба венца, то дальнейшее перемещение ее вправо прекратится и дисковое сцепление будет перемещаться по шлицам влево и передаст движение толкателю, который передвинет железное кольцо влево и переключит ко такты.

При крайнем левом положении железного кольца будут замкнуты: контакт *a* с полукоццом *II*, контакт *b* с полукоццом *III*, контакт *c* с полукоццом *IV* и контакт *d* с полукоццом *V*.

При этом положении контактов путь тока следующий: + — зажим аккумуляторной батареи, „масса“, щетки *A A*, ламели коллектора, обмотки якоря (ток направлен в них в прежнем

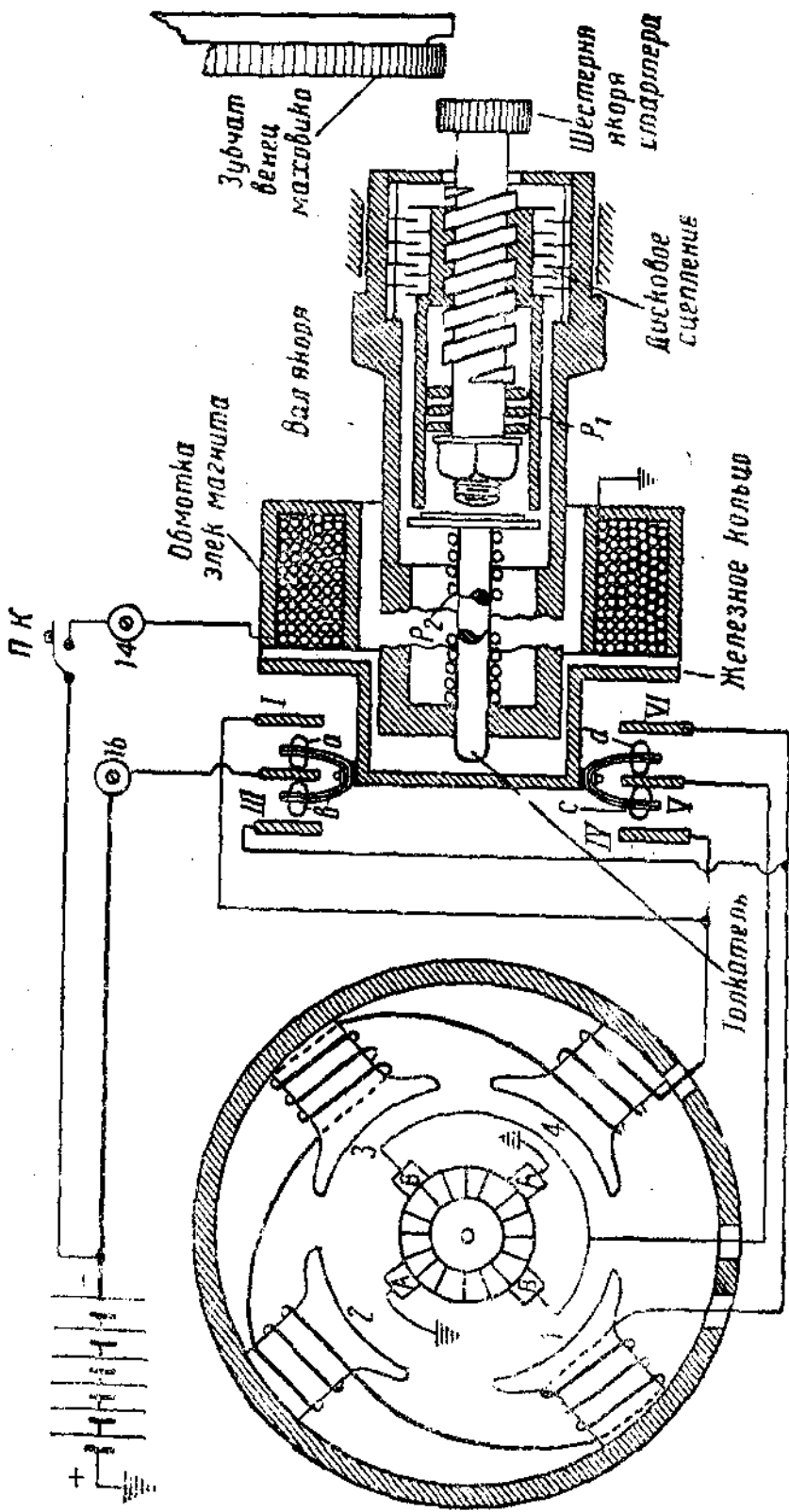


Рис. 136

правлении), ламелк коллектора, щетки *B* *B*, полукоильо *V*, контакт *d*, контакт *c*, полукоильо *IV* обмотки возбуждения индукторов (направление тока в них противоположно первоначальному), полукоильо *III*, контакт *b*, контакт *a*, полукоильо зажим *16* и — зажим аккумуляторной батареи.

При переключенном положении контактов полярность полюсов будет обратная той, которая была до переключения, т. е. *1—S*, *—N*, *3—S* и *4—N*, так как в обмотках индукторов сила тока имеет обратное направление.

Известно из курса „Электротехники“, что при изменении полярности индукторов двигателя и прежнем направлении силы тока обмотках якоря вызывается обратное вращение якоря, а следовательно гайка будет навинчиваться и вначале *св.а* переместится вправо, дойдя до упора, а затем вынудит двигающуюся винт влево шестерня займет исходное положение.

Но так как действие силы на толкатель прекратилось, то влезное кольцо вновь переместится вправо и весь процесс автоматически повторится, если зубчатка якоря не придет в защеление.

Если зацепление произошло, то гайка получает упор в амортизационную пружину *P<sub>1</sub>*, роль которой — смягчить удар. Помимо ружинного амортизатора имеется и многодисковая фрикционная муфта сцепления, которая в значительной степени способствует сохранности стартера.

После того как двигатель будет пущен, шестерня якоря получит ускорение от зубчатого венца и будет при помощи гайки оставлена в исходное положение.

Этим и достигается автоматическое расцепление, действующее в принципе Бендиекса.

### УСТАНОВКА СТАРТЕРА

В большинстве случаев привод стартером коленчатого вала осуществлен через шестерню, устанавливаемую на маховике. Для правильного зацепления зубчатых колес необходимо после установки зубчатого венца на маховик проверить его концентричность. Опустимая величина отклонения не должна превышать 0,2 мм. Для бесшумности передачи необходимо также иметь зазор между зубьями шестерен, величина которого находится в пределах 0,5—0,7 мм.

В случае замены одного стартера другим, но отличающимся от первого типа, необходимо проверить расстояние между центрами *H*, величину которого можно определить на основании следующей формулы, которая учитывает величину необходимого зазора, равного 0,7 мм.

$$H = \frac{\pi}{2} (Z_{\text{вн.}} + Z_{\text{ст}}) + 2 \text{ в } \text{мм},$$

де

*m* — модуль,

*Z<sub>вн.</sub>* — число зубьев на венце маховика,

*Z<sub>ст</sub>* — число зубьев на шестерне якоря.

Наиболее распространен в стартерных передачах модуль  $m = 3$  и  $m = 3,175$ , а так как  $m = \frac{t}{\pi}$ , то при  $m = 3, t = 9,42$  откуда толщина зуба —  $S$  (по начальной окружности)

$$S = \frac{t}{2} = 4,712$$

Практически встречается толщина зуба меньше на 0,08—0,1 мм, так как зуб фрезеруется глубже.

Крепление стартера встречается фланцевое (на автомобилях Г.А.З. и З.И.С., тракторах Клерик и др.) и затяжными хомутами, причем сила трения между хомутами и станиной стартера должна быть достаточной, чтобы предотвратить возможность проворачивания при передаче крутящего момента маховику.

### НЕИСПРАВНОСТИ, ИХ ОПРЕДЕЛЕНИЕ И УСТРАНЕНИЕ

Неисправная работа стартера может быть вызвана не только повреждением в самом стартере, но и повреждениями в проводке, а также неисправном состоянии аккумуляторной батареи.

Во всех случаях отказа в работе стартера необходимо прежде всего установить, имеет ли достаточный заряд аккумуляторная батарея. Для определения этого необходимо контрольным вольтметром (который зашунтирован сопротивлением, позволяющим пропустить силу тока порядка 40·80 ампер) убедиться, что напряжение не падает ниже 1,8 вольт на один аккумуляторный элемент. После того как есть уверенность в том, что батарея имеет заряд, проверяют, плотно ли присоединены зажимы и не окислены ли они. Затем проверяют соединение с „массой“ в хорошем ли оно состоянии.

Если стартер все же не работает, т. е. якорь не вращается, то проверяют состояние контактов выключателя и, не найдя в них неисправности, переходят к осмотру щеток и коллектора (см. „Уход за динамомашинами“).

Несколько можно наблюдать следующее явление: после нажатия пусковой кнопки якорь стартера вращается до момента сцепления с венцом маховика, после чего останавливается. В этом случае причины те же самые, что и выше рассмотренные, но необходимо еще проверить достаточно ли давление пружин на щетки, а также не слишком ли густо ложасло в двигателе внутреннего горения, что часто имеет место зимой; при пользовании маслом Автол Т.

В тех случаях, когда обнаружено, что пуск стартером невозможен, вследствие сильно разряженной батареи, и загустевшей смазки, рекомендуется произвести пуск за заводную ручку.

Стarterы, снабженные сцеплением Бендикус, имеют помимо указанных неисправностей следующие: при нажатии пусковой кнопки якорь получил ускорение, но шестерня не переместилась по винту и не вошла в зацепление. Это может иметь место: 1) при употреблении густой смазки винта, 2) при загрязнении винта, 3) слишком упруга пружина тормозка, 4) слишком туго двигается шестерня по винту.

Если при вращении якоря шестерни с винтом остаются неподвижны, то следовательно амортизационная пружина повреждена.

В случае, когда после пуска двигателя шестерня стартера не расцепляется (это обнаруживается по сильному гудению при увеличении подачи газовой смеси), необходимо немедленно заглушить двигатель и снять стартер.

Возможная неисправность — это заедание шестерни на винтовой нарезке.

Вообще надо помнить, что пользоваться стартером следует тогда, когда, когда, двигатель так отрегулирован, что легко заводится от руки.<sup>1</sup> В целях сохранности аккумуляторной батареи необходимо перед пуском холодного двигателя (зимой) предварительно провернуть коленчатый вал от руки. С этой же целью (сохранность батареи) пуск двигателя производят следующим образом: при выключенном зажигании и закрытой воздушной заслонке включается стартер, и после того как в цилиндр поступит газовая смесь, не отпуская выключателя стартера выключают зажигание. Как только двигатель будетпущен, открывают воздушную заслонку и выключают стартер. Длительность такого пуска не должна превышать 10—15 сек.

Если стартер после всех вышеуказанных проверок отказывается работать, его необходимо направить в ремонтную мастерскую.

После произведенной перемотки обмоток якоря или обмоток индукторов, а также и после замены изношенных и поврежденных щеток, необходимо произвести испытание стартера на величину вращающего момента, который должен иметь стартер при неподвижном состоянии коленчатого вала.

Для испытания необходимы следующее оборудование: 1) пружинный динамометр (безмен) до 16 кг с делениями, позволяющими измерять десятые доли килограмма, 2) рычаг с хомутовым креплением с плечем  $L = 0,5$  м, между точкой прикрепления динамометра и центром вала, 3) амперметр постоянного тока до 600 ампер, 4) стартерный выключатель, 5) стартерную аккумуляторную батарею, 6) зажим для крепления стартера (можно тиски), 7) вольтметр для определения напряжения батареи до 12 в.

Схема испытательной установки дана на рис. 137. Данное испытание позволяет определить качество произведенного ремонта, причем данные, полученные при испытании, не должны иметь отклонения выше 0,1 кгм против заводских данных.

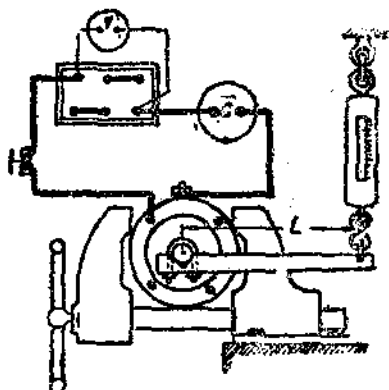


Рис. 137

<sup>1</sup> Исключая дизельмоторов.

Если при испытании окажется, что сила тока в цепи стартера равна или больше указанной заводом, а величина момента меньше той, которую должен иметь стартер, то на этом опыте выявляется неисправное состояние обмоток якоря или индукторов, выраженное витковым замыканием в них. Если окажется, что сила тока ниже нормальной, указанной в таблице, то необходимо обратить внимание на места припайки обмоток к петушкам ламелей, а также на плотность прилегания щеток к коллектору, давление пружин на них.

Если окажется все это в надлежащем состоянии, то остается заменить щетки, поставив щетки, изготовленные из материала с большей проводимостью. Следует однако помнить, что длина и сечение соединяющих проводов стартера с аккумуляторной батареей должны быть такими, какие были на данной автомашине (считая длину их и сечение по заводским данным).

При данном испытании следует помнить, что батарея должна иметь минимум  $\frac{3}{4}$  заряда и испытание проводить не длительнее 3–5 сек., так как в противном случае может пострадать изоляция обмоток, а большая разрядная сила тока разрушительно действует на пластины аккумуляторных батарей.

Для сравнения стартера различных фирм, а также обслуживающих их аккумуляторных батарей снимают характеристики, получить которые возможно в лаборатории. На рис. 129 даны характеристики стартера, получающего энергию от аккумуляторной батареи напряжением 6 вольт.

### УХОД ЗА СТАРТЕРНОЙ УСТАНОВКОЙ

Большинство стартеров имеет якорь, установленный на подшипниках скользящего типа и редко на шарикоподшипниках, в последних не имеется большой необходимости, так как работа стартера очень кратковременна.

Потребности в частной смазки не имеется, так как в большинстве своем подшипники снабжены фитильной подачей масла. Фитиль раз в сезон напитывается маслом. Если имеются специальные масленки, то они заполняются маслом раз в три месяца.

Злоупотребление смазкой вызывает загрязнение коллектора, его обгорание и отказ в работе стартера.

В тех случаях когда имеется сцепление Бендикс, следует нарезку винта покрывать раз в месяц жидким маслом с предварительным промыванием его (винта) в бензине. Но это относится главным образом к открытым маховикам, зубчатый венец которых так же приходится не реже одного раза в месяц очищать от грязи.

В целях получения хорошего контакта в месте присоединения кабеля стартерной проводки к зажиму аккумуляторной батареи, желательно иметь освинцованные хомуты с целью предотвратить их окисление, с этой же целью поверхность их надлежит смазывать вазелином.

Лудить оловом медные хомуты бесполезно, так как полуда быстро разрушается под действием серной кислоты и если прибегают

полуде, то в целях лучшего приставания свинца, который осеняет слоем при погружении луженых хомутиков в расплавленный свинец. Обыкновенно покрытие свинцом делают гальваническим способом.

### КОМБИНИРОВАННЫЕ ПРИБОРЫ

На автомашинах иногда встречаются комбинированные приборы, совмещающие в себе динамомашину и стартер. Такие приборы получили название диностарта и выпускались фирмами S. A. V., Пари-Рон, Рено, Делько, Норд-Ист и др.

Так как для совместной работы генератора с аккумуляторной батареей необходимо иметь параллельное возбуждение, то такой генератор в роли электродвигателя будет иметь очень малый начальный вращающий момент, вследствие чего такой электродвигатель для целей пуска двигателя внутреннего сгорания не пригоден. Необходимо снабдить индуктор помимо параллельной обмотки и последовательной.

Для того, чтобы иметь возможность пропустить большую силу тока для создания большего вращающего момента, необходимо иметь минимальное сопротивление якоря. С этой целью сечение проволоки якорной обмотки надо увеличить, не уменьшая активной длины проводника, так как в противном случае генератор будет иметь низкое напряжение. Увеличение сечения вызовет и увеличение габаритов якоря, что нежелательно, так как в значительной мере уменьшаются преимущества одноагрегатной установки. Правда на ее стороне остается преимущество, а именно отпадает необходимость иметь два привода (что имеет место при двухагрегатной установке). Но это приобретается дорогой ценой, так как появляется необходимость в редуктировании числа оборотов.

Для генератора передаточное число между коленчатым валом и якорем бывает от 1:1 до 1:2, т. е. максимум якорь генератора имеет удвоенное число оборотов против коленчатого вала.

Для передачи крутящего момента от якоря стартера к валу двигателя применяют передачи 1:10 и даже 1:18. Редуктирование числа оборотов достигается применением планетарной передачи (эпипарастический механизм), снабженной втулкой холостого хода и тормозным барабаном, который затормаживается при пусковом положении и позволяет иметь большое передаточное число.

В некоторых конструкциях диностартов прибегают, для получения большого пускового момента, к многополюсным индукторам, причем иногда якорь снабжается двумя обмотками и двумя коллекторами. Одна обмотка работает при пуске, а другая при работе диностарта в качестве генератора. В этих случаях можно иметь меньшее передаточное число. Иногда в диностартах последовательную обмотку возбуждения используют как противоводействующую и для поддержания силы зарядного тока применяют способ трехщеточной динамомашины.

Иногда диностарт имеет вибрационный регулятор, как например диностарт фирмы S. A. V.

Вышеперечисленные причины в значительной мере препятствуют широкому применению комбинированных приборов и за последние 8 лет, т. е. за период с 1925 г., применение одноагрегатных установок значительно сократилось, и если можно встретить диностарт, то на малолитражных моделях и в самом ограниченном количестве.

На рис. 138 представлена схема диностарта, изготавливаемого фирмой Пари-Рон. Диностарт имеет шестиполюсный индуктор (число полюсов взято большим, чтобы при минимальном числе оборотов иметь максимальный момент), снабженный противокомпаундной обмоткой. Регулирование силы зарядного тока

достигается помощью "третьей" щетки и противокомпаундной обмоткой. Из схемы видно, что число щеток равно пяти, где щетки 1—1 и щетка 3 являются положительными, а щетки 2—2 отрицательными (при работе диностарта в качестве генератора). Подобное расположение щеток и их количество, неравное числу полюсов, требуют или применения петлевой обмотки с эквипотенциальными соединениями или волновой обмотки.

В целях получения минимального сопротивления якоря желательно иметь петлевую обмотку, но так как величина вращающего момента обрат-

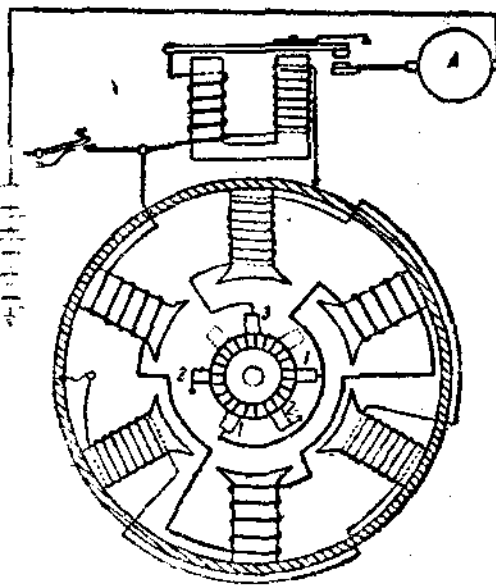


Рис. 138

но пропорциональна числу параллельных цепей обмоток якоря, то более желательна волновая обмотка. При пользовании диностартом в роли генератора также желательно иметь волновую обмотку, так как при меньшем числе оборотов якоря можно получить ту же величину индуктированной Э.Д.С.

Применение петлевой обмотки без эквипотенциальных соединений вызывает необходимость в дополнительной установке двух щеток (места указаны пунктиром), и это увеличило бы нагрев коллектора, так как сила трения возросла бы (считая, что давление пружин на ранее установленные щетки осталось прежним).

В данном диностарте якорь имеет волновую обмотку, но уменьшение сопротивления достигнуто за счет увеличения сечения проволоки. В целях повышения силы тока в якоре, когда он работает стартером, питание его происходит от аккумуляторной батареи, имеющей напряжение 12 вольт.

**Применение в установке напряжения, равного 12 вольт, предполагает две цели:** 1) стартер развивает полную мощность при силе тока в два раза меньшей, чем в установке с напряжением 6 вольт и 2) иметь возможность заряжать аккумуляторную батарею при силе тока в два раза меньшей, так как аккумуляторная батарея при напряжении 12 вольт берется меньшей емкости (в ампер-часах), чем при напряжении в 6 вольт.

Иногда подобные диностарты имеют привод цепной, и передаточное число, равное  $2 + 4$ , но в этих случаях холодный двигатель (в зимнее время) пускается стартером, но с большим трудом, а иногда приходится предварительно за заводную ручку повернуть вал двигателя, прежде чем стартер сможет провернуть коленчатый вал.

### Контрольные вопросы

1. Что влияет на выбор мощности и величины крутящего момента стартера.
2. Какие преимущества имеет электромагнитный выключатель стартера перед непосредственным линейным выключателем.
3. Дайте объяснение принципа сцепления и расцепления зубчаток в стартерах, снабженных механизмом Бензикса.
4. Чем объяснить, что при отсутствии зубчатого венца после нажатия пусковой кнопки якорь выдвигается вперед и, продолжая вращаться, возвратится в исходное положение.
5. Перечислите применяемые в стартерах амортизационные устройства и дайте оценку им.
6. Объясните действие реверсивного стартера и допускает ли он включение его под напряжение при работающем двигателе внутреннего горения.
7. Какие детали подлежат замене в случае необходимости и менять направление вращения якоря в стартерах: 1) снабженных сцеплением Бензикса, 2) с передвижной шестерней, 3) с передвижным якорем и 4) реверсивного стартера Спингила.
8. Укажите какие причины препятствуют широкому применению диностарта.
9. В какой последовательности следует разыскивать причины, вызывающие отказ в работе стартера.
10. Какие правила необходимо соблюдать при использовании стартером и уходу за стартерной установкой.

## ОТДЕЛ ШЕСТОЙ

### ИСТОЧНИКИ СВЕТА И ПРОЧИЕ ДЕТАЛИ ЭЛЕКТРООБОРУДОВАНИЯ

Условия работы тракторов, автомобилей и мотоциклов в темное время суток требуют наличия на них осветительной установки, которая должна не только обеспечить освещение самой машины, но и дать хорошее освещение пути, по которому она следует.

Все большее и большее увеличение скорости механического транспорта ставит жесткие требования к конструкции источника света.

Использование тракторов на пахоте и других полевых работах требует также хорошего освещения, так как от состояния осветительной установки в значительной степени зависит качество обработки почвы.

#### СВЕТОВЫЕ ЕДИНИЦЫ

##### Световой поток

Глаз человека воспринимает часть лучистой энергии, испускаемой светящимся телом. Видимую часть лучистой энергии называют световым потоком  $F$ .

Лучистая энергия может излучаться источником и может отражаться телом, воспринявшим эту энергию. Для того, чтобы можно было сравнить величины светового потока, введена единица его измерения, называемая люменом. Если поместить в центр сферы точечный, одинаково светящийся по всем направлениям источник света силою в одну международную свечу, то световой поток, заключенный в телесный угол, равный стерадиану, будет равен одному люмену.

Примечание. Стерадиан есть единица телесного угла. Он равен телесному углу, образуемому внутри конуса с вершиной, упирающейся в центр шара, а основание лежит на поверхности шара с площадью, равной квадрату радиуса.

Сфера, окружающая источник света, заключает в себе  $4\pi$  стерadianов и световой поток источника света силою в одну международную свечу равен  $4\pi = 12,56$  люмена.

Чтобы иметь представление о силе света в одну международную свечу, достаточно помнить, что шестериковая стеариновая свеча (т. е. таких свечей изготавливались из одного фунта стеарина шесть штук) имеет силу света в горизонтальной плоскости 1,3 международных свечи. Но световой поток может падать на

большую или меньшую площадь, в связи с чем освещенность ее будет различна, т. е.  $E = \frac{F}{S}$ .

Если световой поток, равномерно распределенный на поверхности в 1 кв. м., равен одному люмену, то освещенность этой поверхности принимают за единицу и она имеет название люкс. Если световой поток в один люмен падает на поверхность в 1 кв. см, то освещенность данной поверхности принимают за единицу называемую фот.

Светящаяся поверхность различных источников различна, в зависимости от силы света, излучаемой одним кв. см поверхности. За единицу яркости принимается яркость равномерно светящейся поверхности в один кв. см при силе света в одну международную свечу. Единица яркости называется стильб. Для представления яркости различных источников приводим таблицу:

Таблица 12

Название источника	Стильб
Пламя стеариновой свечи . . . . .	0,7
керосиновой лампы . . . . .	1,1
Угольная нить лампы накаливания . . . . .	40 - 75
Вольфрамовая нить пустотной лампы . . . . .	140 - 200
газом заполненной лампы . . . . .	800 - 1 200
Кратер вольтовой дуги (угольные электроды) . . . . .	18 000
Солнце в зените . . . . .	100 000 - 150 000

### НОРМИРОВАНИЕ СВЕТА<sup>1</sup>

Освещение пути перед движущимся автомобилем или мотоциклом должно быть таким, чтобы водитель машины хорошо мог различать состояние дороги, причем резких теней не должно быть, так как контрастное освещение быстро утомляет зрение. Необходимо также применять такую арматуру светильников, которая устраивает возможность ослепления пешеходов и водителей встречного транспорта.

Нормирование света в Швейцарии, Бельгии, Финляндии, Швеции и некоторых других странах еще не проведено, но в некоторых странах имеются твердые нормы для освещения авто-мототранспорта. Например:

Во Франции при загородной езде на расстоянии 100 м перед автомобилем должна быть освещенность  $E \geq 0,5$  люкса. При городской езде на расстоянии 25 метров на высоте 1,4 м освещенность  $E = 0,8$  люкса.

В Голландии при загородной езде на расстоянии 100 метров перед автомобилем освещенность  $E \geq 0,2$  люкса. При городской

<sup>1</sup> В СССР требования к фарам следующие: хорошо освещать на расстоянии 30 м перед машиной и что бы луч света не поднимался выше 1,4 м над дорогой.

езде на расстоянии 30 м и высоте 1,5 м над поверхностью земли освещенность  $E \geq 3$  люкса и на 2 м в сторону от машины  $E \leq 1$  люкс.

### ТРЕБОВАНИЯ К ОСВЕТИТЕЛЬНОЙ АРМАТУРЕ

Из вышеизложенного видно, что светильные приборы должны удовлетворять следующим требованиям:

1. Изменять силу света или направление светового потока при эксплуатации авто-мототранспорта в черте города и за городом.
2. При быстрой езде за городом освещенность пути должна быть достаточна, чтобы видеть состояние дороги.
3. Освещенность пути должна быть как можно равномернее, не вызывая контрастов.
4. При минимальной затрате электроэнергии иметь максимальный световой поток (допустимый по нормам). Всем этим требованиям (почти полностью) отвечает современный фар, снабженный газонаполненной лампой.

### АВТОМОБИЛЬНЫЕ ЛАМПЫ НАКАЛИВАНИЯ

Мощность ламп, применяемых на автомобиле и мотоцикле, различна в зависимости от и значения светильника. Данные об автомобильных лампах помещены в таблице 13.

Таблица 13

Форма исполнения	Номинальное напряжение в вольтах	Номинальная мощность в ваттах	Средняя сферическая сила света в свечах	Световой поток в люкках	Удельное потребление мощности в ваттах на свечу
Шарообразная	6	5	3,3	41,5	1,52
	6	10	7,6	94,5	1,33
	6	25	25,0	314	1,00
	12	5	3,5	44	1,43
	12	10	8,0	100	1,25
	12	25	28,0	354	0,89
Пальцеворазная	12	35	40,0	502	0,87
	6	5	2,5	31,5	2,00
	6	10	5,0	63,0	2,00
	12	5	2,5	31,5	2,00
Плафонная	12	10	5,0	63,0	2,00
	6	10	5,0	63,0	2,00

Лампы мощностью в 5 ватт устанавливаются для следующих целей:

1. Контрольные лампы заряда батареи и системы смазки.
2. Инструментальные лампы.

3. Задний фар (красный сигнал и номерной).
  4. Габаритные или контурные лампы.
  5. Освещение при стоянке ночью.
- Лампы мощностью 10 ватт устанавливаются для следующих целей:
1. Подфарки и малый свет при городской езде.
  2. Внутреннее освещение автомобиля в 2, 4 и 6-местных машинах.
  3. Указатели (семафоры) направления движения автомобиля.
  4. Сигнал „Стоп“.
  5. Освещение инструментального щитка.
  6. Переносная лампа (при ремонте автомашины).
- Лампы мощностью 25 ватт устанавливаются для следующих целей:

1. Главные фары (при загородной езде).
  2. Прожектор.
  3. Внутреннее освещение в автобусах (чаще 10 ватт).
- Лампы мощностью 35 ватт устанавливаются для следующих целей:
1. Главные фары (при загородной езде).
  2. Прожектор.

Лампы изготавливают для напряжений сети 6 вольт и 12 вольт. Лампы, работающие в установке с напряжением в 6 вольт, имеют нить в два раза большего сечения и меньше подвержены повреждениям при сотрясении (что имеет место на автомашине). Это говорит в пользу 6-вольтовых установок. Лампы изготавливаются пустотные и газонаполненные. Наполнение баллона производят инертным газом, чаще всего азотом, это позволяет до больших температур нагревать нить, не допуская испарения металла ее.

Нить изготавливают из осмия или вольфрама. Температура плавления осмия  $2500^{\circ}$  С и температура нити в газонаполненных лампах не должна превышать  $1900^{\circ}$  С. Температура плавления вольфрама  $3350^{\circ}$  С и температура нити в газонаполненных лампах не должна превышать  $2500^{\circ}$  С. Наполнение баллона инертным газом увеличивает потери тепла нитью, способствуя передаче его окружающей среде, благодаря повышенной теплопроводности газов. В газонаполненных лампах применяют нить в виде спирали с диаметром витков 1 мм, что уменьшает теплоотдачу. Газонаполненные лампы имеют меньший расход энергии на свечу.

Стеклянный баллон с нитью укрепляется к цоколю, который служит для укрепления лампы в арматуре. Цоколя ламп, применяемых на транспорте, не имеют винтовой нарезки, так как от тряски лампы могут вывернуться. Цоколь имеет штыковое соединение с патроном и снабжается одним или двумя контактами. Стандарт цоколей в СССР следующий:

1. Свай малый одноконтактный и двухконтактный,
2. Тип Б (Бош),
3. Тип Р (Рено),
4. Тип Ф (Фиат),
5. Тип плафонный.

За последние пять лет, как в Америке, так и в Европе появились лампы с двумя витями, заключенными в один баллон. Американская лампа фирмы *Мазда* называется „Дубльфилямен“ и европейская лампа фирмы *Срам* называется „Билюкс“. Цель установки двух нитей в одном баллоне преследует возможность изменения силы света и направления светового потока, что достигается смещенным расположением нити малой мощности относительно фокуса рефлектора (подробно см. ниже).

### ОСВЕТИТЕЛЬНАЯ АРМАТУРА

Осветительная арматура автомашины применяется следующая:  
1) главные фары, 2) боковые фары, 3) подфарки, 4) прожектор,  
5) задний фар, 6) габаритные фары, 7) плафон, 8) патрон для  
контрольной лампы, 9) патроны для ламп, освещающих инстру-  
ментальную доску, 10) переносная лампа.

Наиболее ответственную работу несут главные фары, кон-  
струкция и оптика которых следующая. Для того, чтобы свето-  
вой поток падал на дорогу в нужном направлении, применяют  
рефлектор.

Форма рефлектора редко встречается сферическая, чаще параболическая.

Рефлектор изготавливают реже из стекла с зеркальной павод-  
кой и чаще из меди, придавая нужную форму листу меди на  
давильном станке. Применение меди объясняется легкостью об-  
работки как на давильном станке, так и на полировочном. Лег-  
кая окисляемость полированной поверхности меди, а также пло-  
хая способность отражать синие лучи, заставляет прибегнуть  
к покрытию ее серебром, никелем или хромом. Серебро имеет  
максимальную отражательную способность, процент отраже-  
ния = 93. Никель имеет меньшую, а именно процент отраже-  
ния = 60 и хром еще меньшую, т. е. 55% (при длине световой  
волны 500 миллимикрон).

Серебро легко полируется и имеет наилучшую отражатель-  
ную способность, этим и объясняется широкое применение се-  
ребрения рефлекторов. Но оно требует полной герметичности  
фара, предупреждающей доступ к рефлектору не только пыли,  
но и серо-углерода, который вызывает потускнение полирован-  
ной поверхности. Фары, изготавливаемые в СССР, чаще имеют  
рефлектор, покрытый никелем и в последнее время появляются  
хромированные рефлекторы.

Хромированные поверхности обладают большой механиче-  
ской и химической стойкостью и на них действуют только  
хлористые соединения.

Конструкция фара должна допускать извне регулирование  
положения лампы в рефлекторе, с тем чтобы нить лампы по-  
мешалась в фокусе параболической поверхности. Правильное  
положение нити позволяет направить световой поток на боль-  
шое расстояние, не допуская большого рассеивания (при заго-  
родной езде). Но рефлектор не может дать удовлетворитель-  
ного освещения пути перед автомашиной, направляя световой

поток в даль. Это вызывает необходимость применения рифленых стекол, которые дают нужное рассеивание и дают равномерную освещенность пути. Рифление стекла заключается в том, что его поверхность представляет ряд призм, которые получаются при горячей прессовке стекол, иногда с последующей шлифовкой их. Рифление иногда делают не только с целью рассеивания, но и с целью искривления лучей света, направляя их на дорогу.

Выше указывалось на недопустимость применения мощных ламп при городской езде, ослепляющих водителей встречного транспорта и пешеходов.

Выполнение этого требования разрешается различными способами:

1. Установкой дополнительных фар включаемых при городской езде (главные фары выключаются).

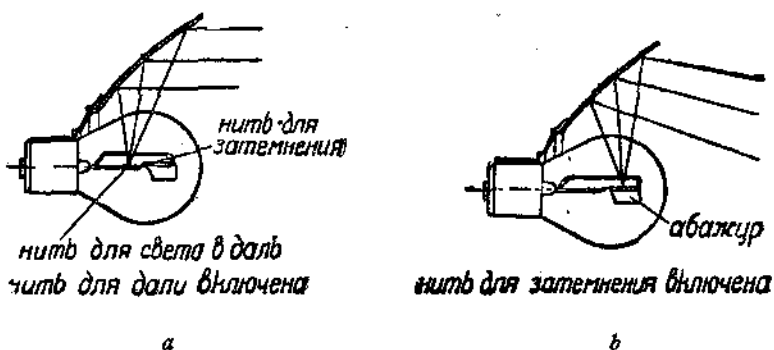


Рис. 139

2. Установка светофильтров в главные фары, которые (светофильтры) надвигаются на лампу в виде затемняющего абажура.

3. Наклоном главные фары при встрече.

4. Введением дополнительного сопротивления последовательно в цепь с лампами.

5. Переключение двух ламп (вместо параллельного) на последовательное соединение.

6. Установкой дополнительных ламп в главные фары, располагая нить меньшей мощности вне фокуса рефлектора.

7. Установкой ламп с двумя нитями.

В настоящее время чаще применяют седьмой способ, реже первый и еще реже шестой.

На рис. 139а представлена лампа Билюкс и часть параболического рефлектора, причем включена нить для загородной езды, нить расположена в фокусе и выполнена из проволоки большего сечения, чем нить для городского движения. Сила света помимо всех других параметров лампы находится в квадратичной зависимости от силы тока и так как нить для загородной езды имеет большую проводимость, то и сила тока и сила света будут больше. Расположение первой нити в фокусе рефлектора позволяет иметь параллельные лучи, хорошо

освещдающие даль. На рис. 139б показано направление светового потока при включенной второй нити (для городского движения). Нить расположена вне фокуса, благодаря чему лучи теряют параллельность и рассеиваются, причем нить закрыта снизу от рефлектора абажуром, тем самым предупреждая отражение лучей вверх, могущих ослеплять.

Рефлектер с лампой устанавливается в корпус фара, изготавливаемый цельнотянутым из железа и имеющий внешнюю поверхность эмалированную, никелированную или хромированную. Корпус имеет приспособление для укрепления фара на автомашине, крепящее приспособление должно допускать регулирование положения фара при его установке.

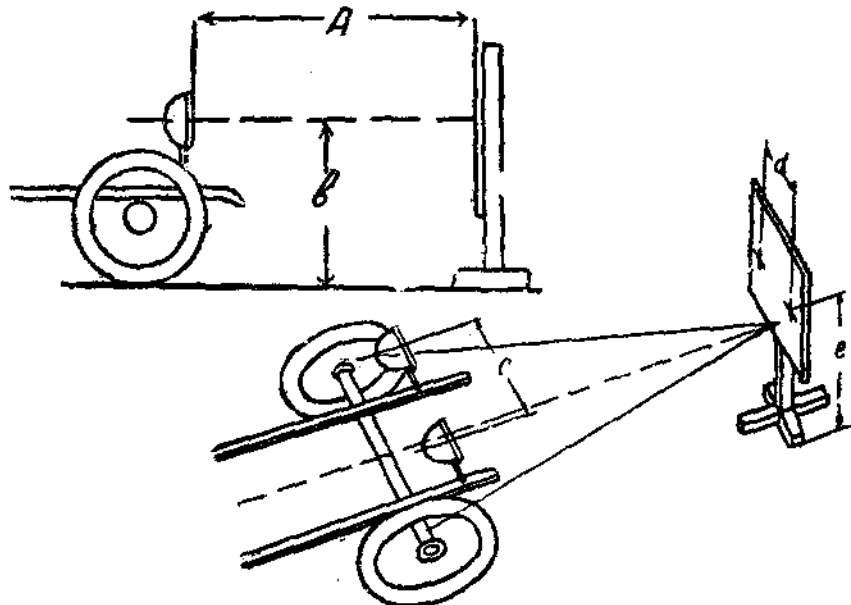


Рис. 140

лирование положения фара при его установке. Установка фара производится следующим образом: на площади длиною 10 м и шириной 3 м устанавливают автомашину. Если машина легковая, то на каждое сиденье кладут груз 50—60 кг, и если грузовая, то она должна иметь 0, 75% нормальной нагрузки.

Перед машиной устанавливают экран на расстоянии  $A = 5$  м, считая от стекла фара до экрана (экран имеет размеры: длину 2 м. и ширину 1,5 м). Центр экрана должен находиться от земли на высоте 1 м. На экране располагаются горизонтальная полоска и две вертикальных, каждая шириной 15 мм и длиною 300 мм. Экран должен быть перпендикулярен к оси движения машины и вертикальная линия экрана, проходящая через его центр, должна пересекаться с осевой линией машины.

На рис. 140 представлена установка экрана. Если расстояние между центрами фар обозначить через  $c$ , то расстояние  $d$  между вертикальными полосками экрана будет равно  $d = c + f$ .

Где

$f$  — опытный коэффициент, зависящий от диаметра стекла фара (фирмы Р. Баш).  
Его значение следующее:  $D = 150$  мм  $f = 180$  мм,

$$\begin{aligned} D &= 200 \text{ мм } f = 10 \text{ мм,} \\ D &= 240 \text{ мм } f = 150 \text{ мм.} \end{aligned}$$

Каждая вертикальная полоска отстоит от центра на расстоянии  $\frac{d}{2}$ , горизонтальные полоски на экране устанавливаются на высоте  $e$ , которая меньше расстояния  $b$  от земли до центра фара на 20 мм, т. е.  $e = b - 20$  мм.

Затем включают свет для загородной езды и регулируют фары относительно автомашины, добиваясь чтобы центры световых лучей приходились в точках пересечения вертикальных и горизонтальных полос экрана. Правый фар наводят на правый крест, а левый фар на левый крест крана.

На автомашине устанавливают помимо фар прожектор, который располагают сбоку машины, слева при левом рулевом управлении и справа при правом управлении. Прожектор снабжается стеклом без рифления, так как он должен давать концентрированный луч. Корпус прожектора снабжается выключателем света и поворотным шарниром, позволяющим направлять свет в нужном направлении. Часто на выключатель укрепляется зеркало, позволяющее следить за состоянием дороги позади автомашины.

С целью предупреждения наезда сзади едущих машин при торможении передней машины, устанавливают стоп-сигнал, включающийся автоматически при торможении.

С целью уменьшить аварийность при встрече машин устанавливают на крылья машины контурные или габаритные лампы. Они также служат для освещения автомобиля на стоянках и при движении по хорошо освещенным улицам.

Иногда в главных фарах устанавливаются лампочки мощностью в 5 ватт каждая, которые включаются при стоянке автомобиля ночью.

На рис. 141 представлена осветительная арматура  $a$  —  $a$  передний фар автомобиля Форд А: 1) стекло 2) двухнитевая лампа, 3) параболический рефлектор, 4) прокладка, 5) оправа стекла, 6) пружина, отодвигающая патрон с лампой, 7) винт для установки нити лампы в фокусе рефлектора, 8) патрон, 9) тело кронштейна, для укрепления фара, 10) болт для закрепления фара, 11) пружинная шайба, 12) гайка, 13) передняя крышка фара, 14) замок передней крышки.

$\theta$  — прожектор,  $K$  — кронштейн, допускающий поворот прожектора в горизонтальной плоскости,  $O$  — ось вращения прожектора в вертикальной плоскости,  $c$  — плафон для внутреннего освещения кабины автомобиля,  $d$  — инструментальная лампа: л) лампа, к) металлический корпус, п) постамент, укрепленный к инструментальной доске,  $e$  — переносная лампа: в) выключатель, ш) штекерель.

## ЭЛЕКТРИЧЕСКИЕ ЗВУКОВЫЕ СИГНАЛЫ

Применение электрической установки на авто-мотомашинах вытеснило звуковые сигналы, действующие сжатым воздухом и только на специальных машинах: напр., скорой помощи, аварийных и милиции поставлены звуковые сигналы Габриэля,

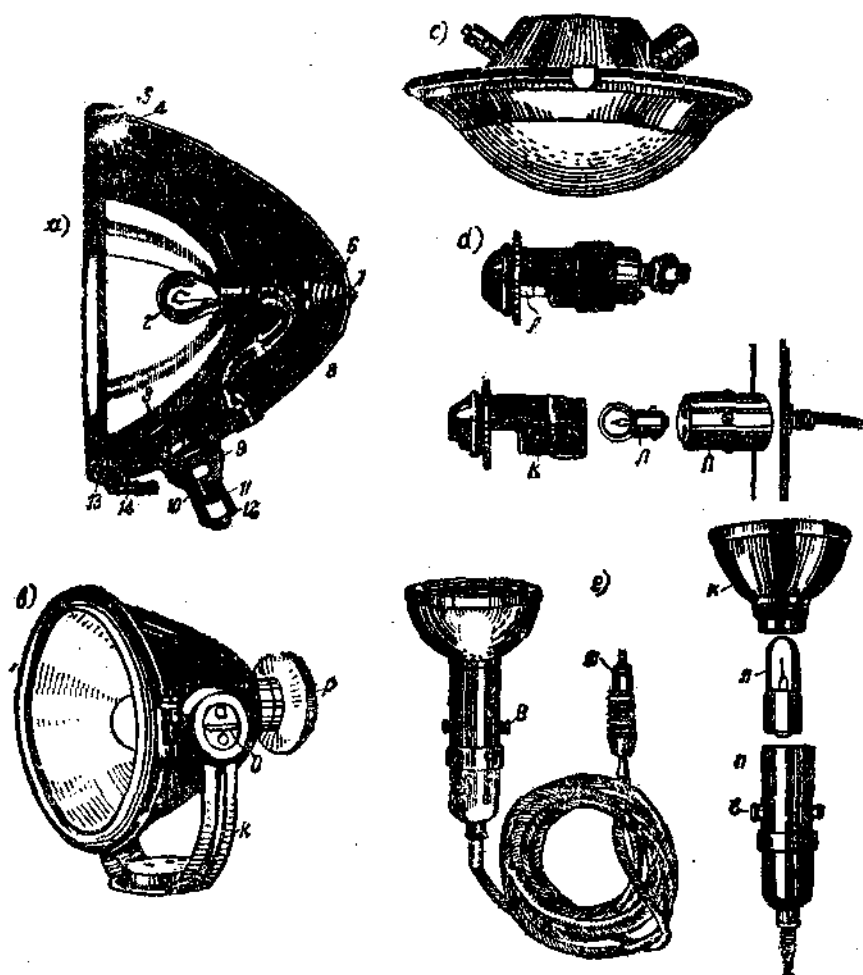


Рис. 141

действующие отработанным газом или сигналы, устанавливаемые на цилиндр двигателя и действующие рабочей газовой смесью (на пожарных машинах).

Электрические звуковые сигналы встречаются двух типов: 1) вибрационные и 2) моторные. Вибрационные гудки в свою очередь делятся на зуммерные и барабанные.

## Вибрационные гудки

На рис. 142 представлен вибрационный гудок зуммерного типа. Принцип действия гудка заключается в следующем. При нажатии кнопки сигнала, под действием Э.Д.С. аккумуляторной батареи в цепи появится ток, имеющий направление от + зажима батареи, по «массе» через контакты сигнальной кнопки, контакты 1,2 в обмотку Ш-образного электромагнита и к — аккумуляторной батарее. Поле, созданное током в обмотке, будет иметь достаточную напряженность, чтобы, преодолевая упругость пружины  $P$  и упругость стальной мембранны, при-

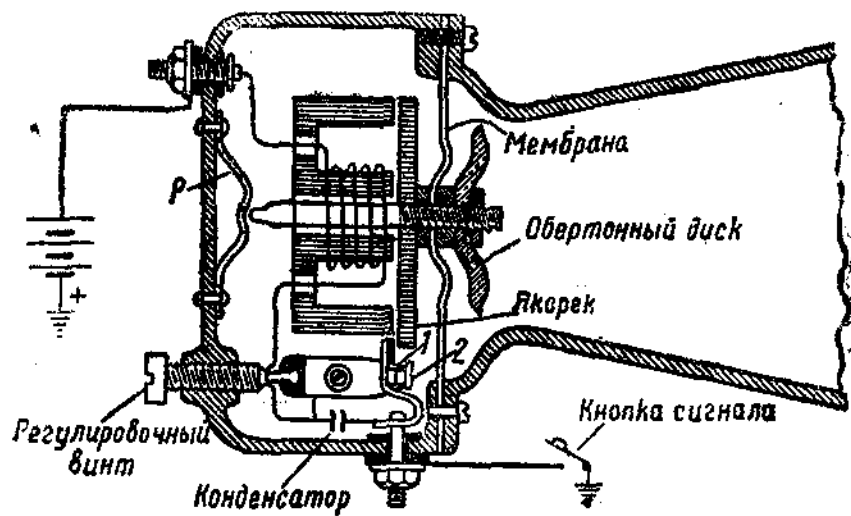


Рис. 142

тянуть якорек, который при своем перемещении нажмет на пластинку с укрепленным к ней контактом 1 и разомкнет цепь электромагнита. Напряженность поля уменьшится и якорек под действием энергии, запасенной пружиной и мембранны, не только займет исходное положение, но переместится за его пределы. Электрическая цепь электромагнита восстановится и весь процесс вновь повторится.

Мембрана будет совершать колебательные движения, вызывая колебание воздуха, тем самым создавая звук высокого или низкого тона. Для получения большей силы звука желательно иметь большую амплитуду колебаний, и с этой точки зрения желательно иметь в гудке больший размах мембранны. Это необходимо для того, чтобы гудок автомобиля выделялся из других шумов улицы. Так как он должен обладать помимо силы звука и музыкальным тоном, то необходимо увеличить число колебаний для получения большой высоты звука. В современных зуммерных гудках число колебаний в секунду бывает в пределах 600—300. Повышение числа колебаний достигается следующим:

1. Якорек и сердечник электромагнита собирают из пластинок железа, благодаря чему уменьшаются токи Фуко и это способствует быстрому намагничиванию и размагничиванию железа.

2. Стремятся по возможности уменьшить вес колеблющейся системы (уменьшают живую силу).

3. Шунтируют контакты прерывателя емкостью, т. е. включают конденсатор. Его назначение то же, что и в приборах зажигания, т. е. он способствует быстрому убыванию тока в обмотке и большей скорости убывания магнитного потока в электромагните, а также способствует сохранности контактов 1, 2.

4. Мембрану и пружину ставят с большой упругостью. В целях придания нужного тембра звучанию гудка, к мемbrane укрепляется алюминиевый диск (обертонный диск). При наличии этого диска помимо основной ноты, издаваемой мембраною, присо-

иняются дополнительные дочеты, более слабые, но большей высоты называемые, обертонами. Обертоны вызваны собственными колебаниями алюминиевого диска. Пружина Р одновременно является и центрирующим приспособлением для оси якорька.

Регулировочный винт  
Якорек  
Мембрана

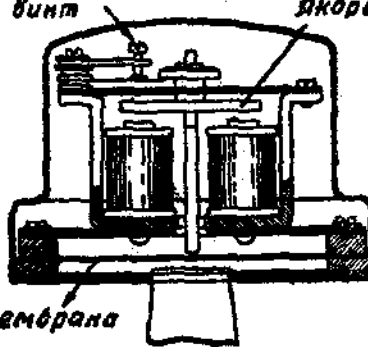


Рис. 143

Регулирование зуммерного гудка на нужную высоту звука и его силу требует большого навыка. Вращая регулировочный винт (на доли оборота) мы можем достигнуть различной час-

тоты колебаний мембранны, и одновременно сила звука будет изменяться, так как при той же упругости пружины и мембранны, с увеличением числа колебаний, амплитуда будет уменьшаться.

Для получения высокого тона и большой силы звучания требуется увеличить упругость пружины и мембранны. Это достигается вращением стержня якорька, предварительно ослабив контргайки. Вращая стержень по часовой стрелке, увеличивают силу давления между мембранны и пружиной, что вызывает удаление якорька от электромагнита. Увеличение упругости и удаление якорька требуют больший намагничивающий ток в обмотке, необходимый для притяжения якорька и размыкания вибратора, и расход электрической энергии увеличивается.

В целях направления звуковой волны и придания нужной акустики на мембранны одевается рупор той или иной формы. В целях экономии электрической энергии иногда применяют гудки барабанного типа.

На рис. 143 представлен разрез вибрационного гудка барабанного типа. В данном типе, в отличие от вышерассмотренного, мембранны не имеет жесткой связи с якорьком, который приво-

дится в движение так же, как и в предыдущем случае. Мембрана получает колебательные движения вследствие ударов по ней производимых стержнем якорька. Звук, издаваемый мемброй, очень резкий и слышен на большом расстоянии, но высота тона, в этих гудках значительно ниже и издаваемый звук мемброй не обладает музыкальностью тона.

Потребная сила звука, издаваемая сигналом, зависит не только от величины окружающего шума, но и скорости движения механического транспорта.

Так, напр., при загородной езде, где скорость авто-моторной машины значительно повышена, желательно иметь сильно звучащий гудок, чтобы впереди движущийся транспорт освободил путь и был предупрежден о предстоящем обгоне его. Применение сильно звучащих гудков в черте города недопустимо, так как они повышают шум улицы и нередко вызывают испуг у пешеходов, что не только уменьшает количество несчастных случаев, а даже увеличивает их.

С целью иметь один гудок, отвечающий тем и другим требованиям, применяют переключатель силы звука. Он представляет небольшой реостат, который вводят при городской езде и выводят при загородной езде. В вышерассмотренных гудках сила звука при введенном сопротивлении уменьшается за счет уменьшения амплитуды.

На рис. 144 представлен двухмембранный гудок фирмы Р. Баш. Конструкция его отличается от обыкновенного зуммерного гудка тем, что у него имеется вторая мембрана, снабженная отверстиями. При нажатии кнопки сигнала при введенном дополнительном сопротивлении мембрана, связанная жестко с якорьком, колеблется и вызывает колебание второй мембраны, воздействуя на нее через воздух.

Звук, издаваемый гудком в этом случае, не имеет большой силы и вполне достаточен для городского движения автомашины. При выведенном дополнительном сопротивлении амплитуда мембрены, связанной с якорьком, настолько велика, что мембра ударяет по второй мемbrane, через посредство стальных закаленных винтов, установленных в центре. Звук, издаваемый гудком, в этом случае имеет большую силу и слышен

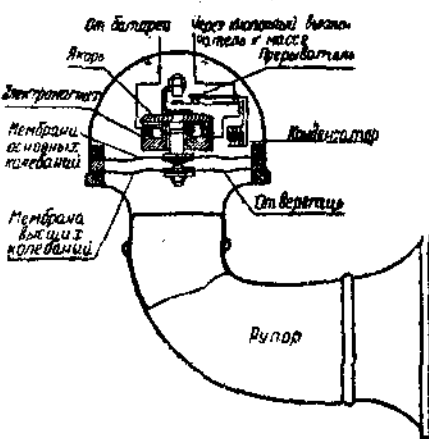


Рис. 144

на большое расстояние, что используется при быстрой загородной езде. Такое устройство гудка позволяет его назвать зуммерно-барабанным. Большое влияние оказывает на звучание гудка способ его крепления к авто-мотомашине.

Необходимо помнить, что крепление должно быть такое, при котором колебания самого гудка не передавались бы машине. Это достигается или установкой гудка на рессорной пластинке или на резиновых амортизаторах.

### Моторные гудки

В моторных гудках звук издает также мембрана, но ее колебания вызываются ударной шайбой (напоминающей торцевую шарошку), приводимой в движение валом серийного электродвигателя. Нам известно, что серийные двигатели имеют большой начальный вращающийся момент, это благоприятно для быстрого увеличения угловой скорости якоря и звучание мем-

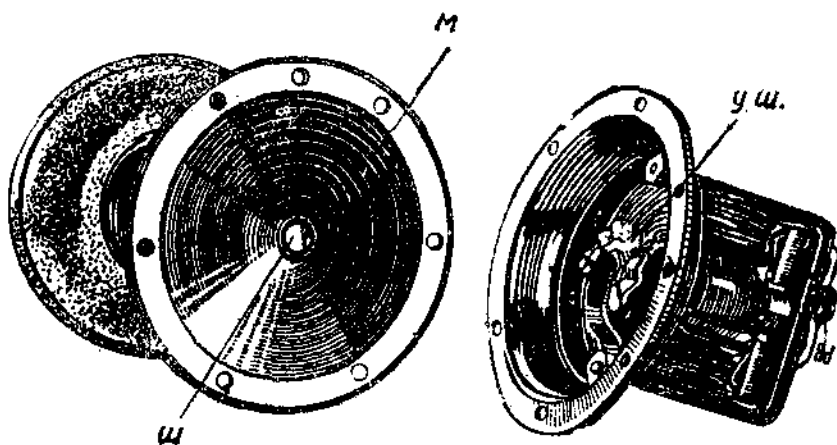


Рис. 145

бранны наступает почти одновременно с нажатием кнопки сигнала, но так как число оборотов якоря изменяется от 0 до какого-то определенного значения (в момент включения) и от этого значения до нуля (при выключении), то и высота звука изменяется в этой же зависимости и установившийся тон будет зависеть от числа оборотов якоря и числа выступов на ударной шайбе.

На рис. 145 представлен гудок моторного типа. Обозначения следующие: мембрана *M* имеет стальной штифт *Ш*, по которому ударяют зубья ударной шайбы *УШ*. Якорь висит на подшипниках скользящего типа и задний подшипник имеет регулировочный винт *PВ*, который снабжен упорным шариком. Вращая регулировочный винт в направлении вращения часовой стрелки, приближают якорь к мембране. Это вызывает увели-

чение амплитуды ее колебания и звук приобретает большую силу.

Для большей деформации мембранны необходима большая сила, которая создает реактивный момент, приложенный к якорю. Сила тока вследствие этого в обмотках якоря индукторов увеличивается и число оборотов уменьшается. Это вызывает уменьшение числа колебаний мембранны и звук будет иметь более низкий тон. Известно, что число оборотов серийного двигателя зависит не только от реактивного момента, но и от приложенного напряжения к зажимам двигателя.

При работе сигнала на авто-мотомашине напряжение в установке изменяется от 5,4 до 7,2 вольта или от 10,8 до 14,4 вольта в зависимости от степени заряда аккумуляторной батареи. Такие колебания напряжения в значительной мере отзываются на тональности моторного гудка и за последние годы применение его значительно сократилось. Применение же вибрационных гудков увеличилось.

Вибрационный гудок требует меньшее время от момента включения до момента звучания на отрегулированную высоту тона.

### ИЗМЕРИТЕЛЬНЫЕ ПРИБОРЫ НА АВТОМАШИНАХ

В современном электрооборудовании авто-мотомашин применяются следующие измерительные приборы, использующие действие электрического тока.

#### Вольтметры

Вольтметры очень редко устанавливаются на инструментальную доску автомашин и если ими пользуются, то для целей проверки заряженности аккумуляторной батареи.

#### Амперметры

Амперметр является неотъемлемой частью электрооборудования авто-мотомашины. Хотя некоторые фирмы, устанавливая контрольную лампу для зарядки аккумуляторной батареи, и уверяют в том, что ее установка исключает необходимость в амперметре, но надо помнить, что по контрольной лампе судить о силе зарядного тока невозможно и она только фиксирует факт, заряжается или нет аккумуляторная батарея.

Применяемые амперметры на авто-мотомашинах конструктивно очень просты и очень дешевы. Построены они на принципе магнитно-электрической системы, т. е. имеют постоянный магнит и проводник, по которому пропускают ток. На рис. 146 представлен такой амперметр. Железный якорек намагничивается от постоянного магнита, расположенного неподвижно на корпусе.

Магнитное поле магнита устанавливает стрелку в вертикальное положение, в связи с чем никаких пружин не требуется.

Пропуская ток по проводнику от *a* к *c*, магнитное поле, созданное током, стремится повернуть железный якорек в положение, перпендикулярное проводнику. В данном случае стрелка амперметра будет отклоняться влево. При пропускании тока по шине в обратном направлении, т. е. от *c* к *a* стрела амперметра будет отклоняться вправо. Таким образом амперметр не только показывает величину силы тока, но и его направление. Зная направление тока, легко определить, идет ли заряд или разряд аккумуляторной батареи.

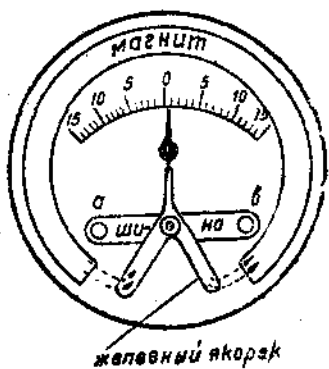


Рис. 146

Обыкновенно на амперметре пишут справа Charge (заряд) и слева Discharge (разряд). Иногда на автомашине устанавливают указатель заряда и разряда аккумуляторной батареи. Принципиального отличия в конструкции такого прибора от амперметра нет и только в специальном окошечке появляется та или иная надпись Charge или Discharge и на таком приборе отсутствует шкала с делениями.

### Указатели скорости, движения авто-мотомашины и числа оборотов вала двигателя

В указателях скорости движения авто-мотомашины, а также в указателях числа оборотов двигателя используется диск Араго, в котором использованы токи Фуко для передачи вращающего момента.

В этих приборах вращающейся частью является магнит приводимый во вращение через посредство гибкого вала от двигателя или трансмиссии авто-мотомашины. Над полюсами магнита располагается на оси алюминиевый диск и цилиндр, на котором непосредственно наносят шкалу в километрах или числе об/мин., укрепляя неподвижно стрелку против вращающейся шкалы.

Иногда к алюминиевому диску прикрепляют стрелку, движущуюся против неподвижно укрепленной шкалы. Как в том, так и в другом случае повороту диска препятствует спиральная пружина, которая заводится при увеличении вращающегося момента, вызванного токами Фуко и при уменьшении его пружина возвращает диск в исходное положение. Одновременно вместе с показателями скорости движения автомобиля (называемых спидометрами), в корпус спидометра устанавливают счетчик прошедшего пути в километрах, который получает привод от этого же гибкого вала.

Бывают спидометры, работающие на принципе центробежного регулятора, но объяснение их не входит в курс изучения электрооборудования.

## Указатели уровня топлива

Указатели уровня топлива работают на различных принципах. Они встречаются: 1) поплавковые, 2) пневматические, 3) гидравлические и 4) электрические. Требования, предъявляемые к электрическому указателю уровня топлива, таковы:

1. Чтобы показания количества горючего в баке не зависели от изменения напряжения в сеть автомобильной электроустановки.

2. Электроуказатель должен иметь конструкцию, дающую полную гарантию невозможности воспламенения паров бензина в баке, что может иметь место при появлении искры в регулирующем приборе указателя.

3. Минимальный расход электрической энергии на обслуживание электроуказателя уровня топлива. Всем этим требованиям отвечает указатель, изготавливаемый фирмой Делько-Реми, устанавливаемый на автомобили Л. И и Бьюик.

На рис. 147 изображен данный тип указателя. Устройство его следующее: на инструментальной доске устанавливается прибор, внешне напоминающий амперметр или вольтметр. Его внутреннее устройство следующее: два железных сердечника снабжены обмотками,ключенными последовательно между собой. Направления намотки и тока в обмотке позволяют иметь постоянно одну и ту же полярность, причем одноименные, т. е. внизу оба полюса  $S$ . Сердечник, расположенный справа, имеет железную планку  $P$ , которая на конце, обращенном к якорьку стрелки, имеет полярность  $N$ . Левый сердечник укреплен на биметаллической пластинке  $BL$ , которая корректирует показание прибора при изменении его температуры. Реостат  $R$  устанавливается на топливном баке и все изменения уровня топлива вызывают перемещение ползунка реостата.

На рис. 147 $a$  представлено распределение магнитного поля в сердечнике указателя, при отсутствии топлива в баке. В этом случае ток поступает от  $+$  зажима аккумуляторной батареи в ползунок реостата, и так как сопротивление его выведено полностью, то в обмотке правого сердечника сила тока ничтожно мала, вследствие шунтирования ее ползунком, и магнитный поток в нем также мал. В левом же сердечнике сила тока имеет максимальное значение и якорек стрелки притянут к нему.

На рис. 147 $b$  представлено распределение магнитного потока при наполненном баке топливом. В этом случае сила тока по-

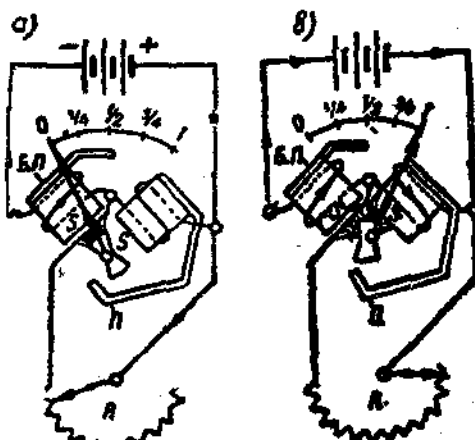


Рис. 147.

ступает и в обмотку правого сердечника, в котором магнитный поток будет значительно больше, чем в левом сердечнике, так как сопротивление магнитной цепи у него меньше. В этом случае якорек со стрелкой будет притянут к правому сердечнику и стрелка займет правое крайнее положение. Все промежуточные положения ползунка реостата будут способствовать установке стрелки на промежуточных делениях шкалы.

Вследствие последовательного включения обмоток обоих сердечников и выводом к реостату от их средней точки напряжение в сети не вызывает погрешности в показаниях измерителя уровня топлива.

## ПРОЧИЕ ДЕТАЛИ ЭЛЕКТРООБОРУДОВАНИЯ АВТОМАШИНЫ

### Контрольные лампы

На современных автомобилях широкое применение получили контрольные лампы. Их применяют не только для контроля зарядки и разрядки аккумуляторных батарей, а также и для контроля минимального давления масла в системе смазки, а иногда для контроля максимальной температуры охлаждающей воды в двигателе. Действие контрольной лампы заряда и разряда аккумуляторной батареи при ее совместной работе с динамомашиной описывалось в отделе „Динамомашины и регуляторы“. Контрольная лампа в системе смазки включается движением плунжера в случае уменьшения давления масла в трубках.

Уменьшение давления может быть вызвано: 1) пониженной вязкостью масла, 2) чрезмерным зазором между шейками вала и телом подшипника (при износе или выплавлении бабита), 3) повреждением маслопроводов и 4) в случае повреждения масляного насоса. При включении контрольной лампочки (красный или синий свет) водитель невольно обращает на нее внимание, несмотря на то, что он увлечен состоянием пути, по которому следует машина.

Контрольная лампа в системе охлаждения включается ртутным контактом термометра при повышении охлаждающей воды выше допускаемой температуры.

Независимо от назначения контрольной лампы она не может заменить амперметр, манометр или термометр, так как она сигнализирует только о критическом состоянии той системы, которую она обслуживает. Но контрольная лампа имеет то преимущество, что заставляет обратить внимание водителя на неисправность той или иной системы.

### Стеклоочиститель

Все автомашины снабжаются передним стеклом, защищающим водителя от встречного ветра, пыли и атмосферных осадков. Видимость пути зависит от состояния переднего стекла, которое покрывается снаружи пылью, водой или снегом в зависимости от времени года, погоды и состояния пути. Установка стеклоочистителя или стекловытирателя позволяет во время движения

автомобиля производить очистку стекла. Стеклоочистители встречаются трех типов: 1) механический, приводимый в действие рукою водителя, 2) пневматический, действующий разрежением, создаваемым во всасывающей трубе двигателя, и 3) электрический.

Электрический стеклоочиститель получает привод от серийного электродвигателя. Устройство передачи от вала якоря стеклоочистительной щетке осуществляется различно, одна из таких передач представлена на рис. 148: шестерня I укреплена на валуке серийного двигателя, она изготовлена из стали и имеет число зубьев  $Z_1 = 9$ ; шестерня II изготовлена из папье-маше (прессованный картон) и имеет число зубьев  $Z_{II} = 81$ , к ней прикреплена бронзовая шестерня III с числом зубьев  $Z_{III} = 9$ , которая зацепляется с шестерней IV, изготовленной также из папье-маше, имеющей число зубьев  $Z_{IV} = 81$ . Зубчатая передача в две пары позволяет уменьшить число оборотов шестерни IV в 81 раз.

На шестерне IV эксцентрично расположен палец, на который одет шатун, заканчивающийся кремальерой (гребенкой), которая заставляет шестерню V вращаться то вправо, то влево. К шестерне V прикреплен держатель резиновой щетки, удаляющей со стекла пыль, воду и снег. Щетка совершает качание вокруг центра шестерни V, очищая поверхность стекла в виде полукруга. На некоторых стеклоочистителях щетка снабжается регулировочным винтом, который изменяет величину давления щетки на стекло. Из курса „Электротехники“ известно, что серийные двигатели не обладают постоянством числа оборотов якоря при изменяющейся нагрузке, а так как при увеличении давления щетки на стекло нагрузка на двигатель увеличивается, то число качаний ее уменьшается. Таким образом мы можем отрегулировать работу стеклоочистителя так, чтобы качание щетки не вызывало утомление зрения водителя.

Электромотор и передача очень миниатюрны и габариты не превышают  $0,3 - 0,5$  дюймов, что позволяет устанавливать его на рамку стекла. Иногда устанавливают на переднем стекле и второй стеклоочиститель, оторванный получает движение от первого. Существует и другой тип передачи от электромотора к щетке, в котором также вращательное движение преобразуется в качательное при помощи двух секторов.

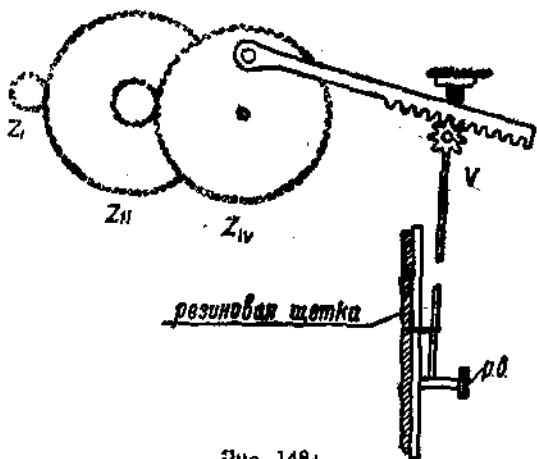


Рис. 148

## Указатель поворотов автомашины (семафор)

Прежде чем произвести кругой поворот автомашины вправо или влево, водитель обязан предупредить об этом движущийся сзади транспорт во избежание наезда. В открытых машинах водитель может сигнализировать рукой, но этот способ крайне неудобен и в закрытых машинах совершенно невозможен. Этой целью применяют световую сигнализацию.

На задних крыльях автомашины устанавливают два фара, в каждом из них находятся две лампочки. Нижние лампы малой

мощности каждая по 5 ватт освещают номерной знак и имеют два темнокрасных стекла (задние защитные световые сигналы). При кругом повороте машины водитель включает или верхнюю левую лампочку или верхнюю правую закрытые желтым или белым стеклом. Включение той или другой лампы делается в зависимости от того, куда делается поворот. Эти же лампы связаны с выключателем сигнала "стоп", который действует при торможении, включая одновременно обе лампы. Иногда лампы, сигнализирующие о повороте машины, устанавливаются в отдельные фары (малых размеров), которые укрепляются к кузову автомашины. На современных автомобилях часто устанавливаются семафоры, которые преследуют вышеуказанные цели. Такой семафор изображен на рис. 149, его устройство следующее: внутри футляра установлен соленоид, в который втягивается железный сердечник, в случае пропускания тока по обмотке.

Железный сердечник шарнирно связан с двухплечным рычагом к которому прикреплено крыло семафора. В алю-

миниевый каркас крыла устанавливается лампочка плафонного типа, которая закрыта снаружи прозрачными целлюлоидными крышками, окрашенными в красный цвет. Устройство шарнирной связи между двухплечным рычагом и железным сердечником соленоида имеет запорный механизм, который не позволяет крылу семафора выдвинуться из корпуса, если к нему будет приложена сила извне (напр., центробежная сила, при повороте).

Если же в обмотку соленоида поступит ток при включенном выключателе *Vk*, то железный сердечник будет перемещаться по шлицевому вырезу в двухплечном рычаге, преодолевая пружину *P*. Этим устраняется возможность упора в выступ *BC*.

и сердечник, втягиваясь в соленоид, повернет двухплечий рычаг. Крылья семафора быстро выставится за пределы корпуса машины и вызовет замыкание контактов  $a$ , тем самым включив нить лампы, которая красным цветом предупредит не только сзади двигающийся транспорт, но и регулировщика движения, сигнализируя ему о направлении, в котором водитель желает вести автомашину.

### Электрический насос для подачи горючего в карбюратор

На современных автомашинах все реже встречается подача топлива самотеком. Ее вытесняет подача топлива насосом механическим или электрическим.

Компания С. Ю. изготавливает электрический насос, называемый бензино-подъемник Морриската.

На рис. 150 представлен насос этой фирмы, принцип действия его заключается в следующем: при включении зажигания ток от аккумуляторной батареи поступает по двум цепям: 1) прибор зажигания и 2) электрический насос. При отсутствии топлива в насосе пробковый поплавок  $P$  находится на дне резервуара  $R$ , в это время железный якорек  $Я$  шунтирует магнитную цепь двух постоянных магнитов  $M$ , в связи с чем напряженность поля магнитов недостаточна чтобы притянуть контактную пластинку  $KP$  и контакты в этом случае замкнуты.

Ток от аккумуляторной батареи поступает в соленоид  $C$  и железный сердечник (в данном случае поршень  $P_p$ ) будет втянут внутрь соленоида. Поршень при своем подъеме создаст разряжение в нижней камере и топливо из бака через отверстие  $O$  и фильтр  $\Phi$  заполнит пространство, освобожденное поршнем.

При подъеме поршня поднимается и толкающее кольцо  $TK$ , которое переместит якорек  $Я$  и нарушит шунтироование цепи постоянных магнитов. Это вызовет увеличение напряженности поля у конактной пластинки и электрическая цепь соленоида прервется, вследствие чего магнитные свойства соленоида исчезнут и железный поршень, опускаясь вниз, будет давить на топливо, которое заполнило часть цилиндра, освобожденную поршнем при

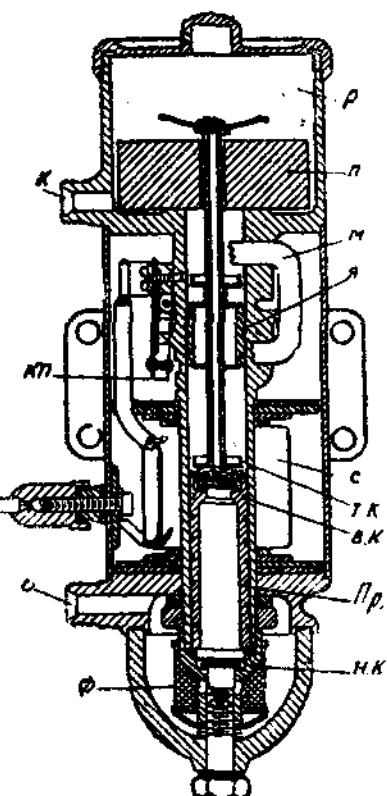


Рис. 150

его подъеме. В это время нижний дисковый клапан НК будет закрыт, а верхний откроется и топливо поступит в резервуар Р, откуда самотеком через отверстие К в поплавковую камеру карбюратора.

Примечание. Действие поршня и клапанов то же, что в ливерах, применяемых при перекачке топлива из бочек.

Когда железный поршень опустится, то верхнее толкающее кольцо вновь вызовет шунтирование постоянных магнитов и весь процесс повторится. Эти движения поршня будут до тех пор, пока пробковый поплавок в резервуаре не всплынет и тогда контакты будут в разомкнутом состоянии, и действие поршня прекратится. Как только запас топлива в резервуаре будет иссякать, насос автоматически вступит в работу.

Расход энергии таким насосом не превышает 8 ватт в час при непрерывной его работе. Производительность такого насоса 47 литров в час. Конструкция насоса предусматривает полную невозможность воспламенения топлива искровым разрядом, который возникает при размыкании цепи соленоида. Это достигнуто благодаря тому, что между бензинопроводом насоса и соленоидом имеется полная герметичность.

### Центральные переключатели

Желание сконцентрировать управление всей системой электрооборудования на автомашине вызвало появление центральных переключателей. Центральный переключатель позволяет одним ключом выводить из действия всю электроустановку и без ключа никто не может пользоваться автомашиной. Центральный переключатель заключает в себе:

1. Выключатель прибора зажигания.
2. Выключатель стартера (при наличии на нем электромагнитного включения).
3. Выключатель ламп для стоянки машины ночью.
4. Выключатель света для городской езды,
5. Выключатель света для загородной езды.
6. Контрольную лампу заряда аккумуляторной батареи.
7. Предохранители для осветительной нагрузки (устанавливаются некоторыми фирмами).

При включенном переднем свете (независимо — стоянка ночью, городская езда или загородная езда) включается задний красный свет и номерной свет, причем устройство переключателя предусматривает, что при выключенном зажигании и гудок также выключен.

Конструкции центральных переключателей настолько разнообразны и многочисленны, а также и возможные комбинации переключений различны, что подробно останавливаться на их описании не позволяет объем книги.

### Предохранительные коробки

В некоторых схемах электрооборудования устанавливают плавкие предохранители для каждого потребителя отдельно.

В этих случаях предохранители устанавливаются в специальных предохранительных коробках.

Иногда вместо плавких предохранителей устанавливаются реле максимальной силы тока, которые в случае короткого замыкания в проводке производят включение и выключение этой цепи и лампы сигнализируют о неисправном состоянии проводки тем, что начинают вспыхивать и гаснуть.

### Переходные коробки

В целях удобства монтажа проводки, как-то отсутствие необходимости в зачистке изоляции посреди проводника, пайки и покрытий изоляцией места соединения, применяют переходные или соединительные коробки. Количество выведенных контактов в них зависит от сложности схемы, которая устанавливается на данной машине.

### Закуриватель

Для предупреждения ослепляющего действия, производимого спичкою во время закуривания водителем машины, устанавливают электрический закуриватель, который представляет никромовую спираль, накаливаемую проходящим током от аккумуляторной батареи. Спираль укрепляется в специальные розетки, соединяется гибким проводом с источником электрической энергии. Включение закуривателя происходит автоматически, для чего достаточно розетку со спиралью приблизить к папиросе и ватянутый провод произведет замыкание цепи. Встречаются и другие типы электрических закуривателей, в которых отсутствует автоматическое включение а иногда отсутствует гибкий провод и спираль с розеткой, после того как накалится, подносят для закуривания.

Примечание. В СССР водителям механического транспорта курить на машинах строго запрещено.

## ОТДЕЛ СЕДЬМОЙ

# ПОЛНЫЕ СХЕМЫ ЭЛЕКТРООБОРУДОВАНИЯ АВТОМАШИН, ТРАКТОРОВ И МОТОЦИКЛОВ

### СХЕМА ЭЛЕКТРООБОРУДОВАНИЯ ТРАКТОРА СТЗ

На тракторах Сталинградского Тракторного завода устанавливается электрооборудование, изготавливаемое Электрозводом. На рис. 151 представлена схема электрооборудования трактора СТЗ. Динамомашинка типа Г.Б.Т.  $\frac{60}{6}$  900 (см. стр. 166) снабжена двухступенным регулятором постоянства напряжения и обслу-

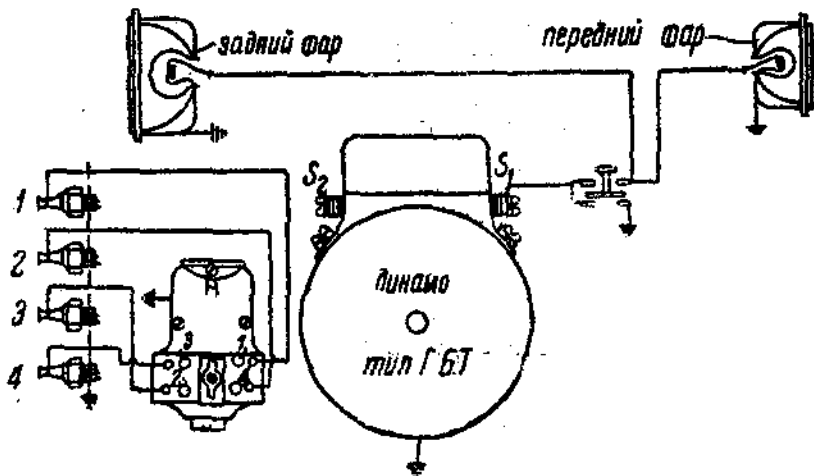


Рис. 151

живает передний и задний фар. Мощность генератора достаточна, чтобы обслужить две лампочки одновременно по 25 ватт каждая и одну лампочку 10 ватт или три лампочки по 20 ватт каждая. Напряжение на зажигание генератора 6—7 вольт и лампы включаются параллельно. Устройство выключателя ВК позволяет одновременно с выключением фар замкнуть генератор на коф отко. При кратковременном замыкании шунтового генератора ток в обмотке возбуждения будет близок к нулю. Это способствует сохранности генератора и регулятора в том случае, когда невозможно разобщить привод (при снятой внешней нагрузке).

Выключение световой нагрузки следует производить при малом числе оборотов коленчатого вала или при остановленном двигателе. В противном случае при коротком замыкании на коллекторе под щетками появляется искрение, которое разрушительно действует на поверхность коллектора.

### СХЕМА ЭЛЕКТРООБОРУДОВАНИЯ ТРАКТОРА ФП

На тракторах и тягачах ФП для целей освещения используют электрическую энергию генератора переменного тока, который обслуживает четыре бобины прибора зажигания. Гене-

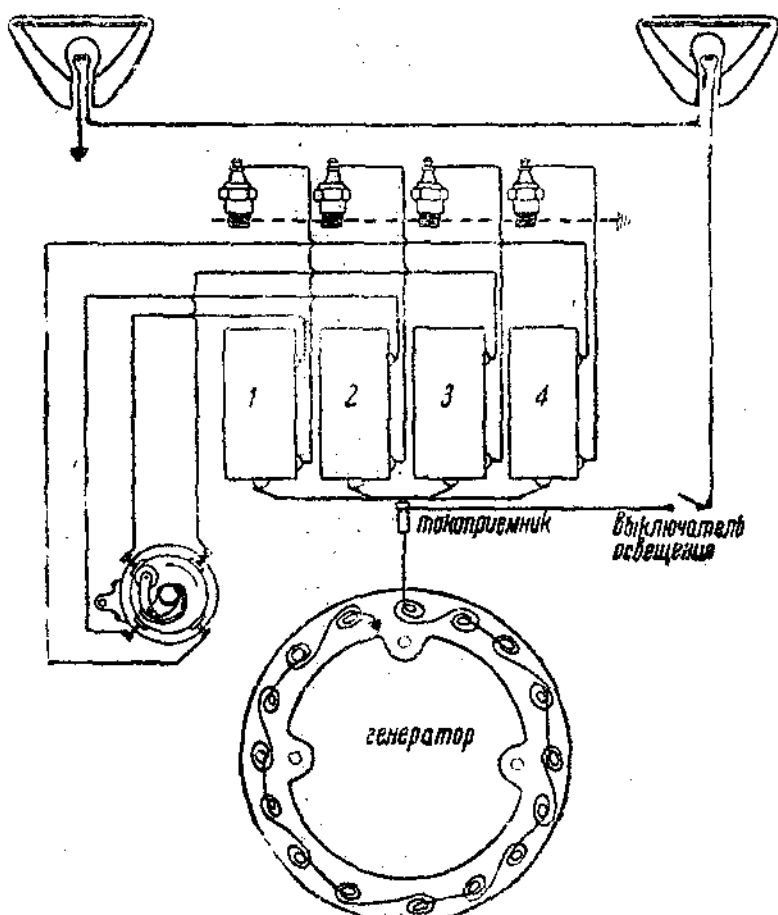


Рис. 352

ратор ФП имеет напряжение на зажимах 20 вольт при 1000 об/мин., и максимальная мощность его при этом числе оборотов не превышает 60 ватт. Так как для обслуживания 4 обин требуется не больше 10 ватт, то 50 ватт можно использовать для освещения.

Лампы, применяемые для авто-транспорта, стандартизованы на напряжение 6 вольт и 12 вольт, а так как напряжение на зажимах генератора 20 вольт, то необходимо лампы включать последовательно, если лампы рассчитаны на напряжение 6 вольт, то следует включить последовательно три лампы и если лампы для напряжения 12 вольт, то включают последовательно две. В первом случае лампы будут работать в более нормальных условиях, т. е. нити будут иметь полный накал (нити этих ламп рассчитаны для напряжения 6—8 вольт) и во втором случае будет недоказан накал. Конечно срок службы ламп будет больше во втором случае, но сила света значительно понизится.

Последовательное включение ламп имеет большой недостаток в том отношении, что перегорание одной лампы оставляет машину совершенно без освещения. Использование для освещения понижающего трансформатора с коэффициентом трансформации  $n = 3$ , позволяет параллельно включать лампы, предназначенные для напряжения 6 вольт, и перегорание одной лампы не нарушает цепи другой лампы.

Использование генератора для осветительных целей допустимо при наличии регулятора числа оборотов коленчатого вала, так как в противном случае вследствие чрезмерного увеличения числа оборотов напряжение может повыситься настолько, что нить лампы будет сожжена.

Необходимо помнить, что при включенном освещении пуск двигателя крайне затруднителен, а иногда и совершенно невозможен. Так как вращение заводной ручки недостаточно, чтобы дать магнитам скорость, при которой выработанная энергия окажется достаточной, чтобы обслужить лампы и бобины. Схема электрооборудования трактора ФП представлена на рис. 152.

#### СХЕМА ЭЛЕКТРООБОРУДОВАНИЯ ТРАКТОРОВ „ИНТЕРНАЦИОНАЛ“ И „КЕЙС“

На тракторах „Интернационал“ и „Кейс“ устанавливается электрооборудование, изготавливаемое фирмой Р. Буш (см. рис. 153). Динамомашин — с компаундной обмоткой, тип  $K \frac{50}{6} 500$ , снабженная трехступенным регулятором постоянства напряжения. Как указывалось ранее, компаунд-машине нуждается в защитном предохранителе, который плавился бы в случае короткого замыкания во внешней цепи или в случае перегрузки. Предохранитель должен плавиться при силе тока в цели якоря, равной  $12 \div 15$  ампер (для данного типа динамомашины).

Центральный переключатель, устанавливаемый в данной схеме электрооборудования, позволяет иметь три положения:

1. Выключено освещение *Off*.
2. Затемненный свет *Dim*,
3. Яркий свет *On*.

При первом положении шунтовая обмотка выключена и динамомашине не возбуждается. Это позволяет не затрачивать напрасно энергию и освобождает регулятор напряжения от необ-

ходимости работать, удлиняя срок службы его. Мощность динамомашины, как уже указывалось ранее, равна 50 ватт при 500 об/мин. и допускает установку в фары двух ламп по 25 ватт каждая.

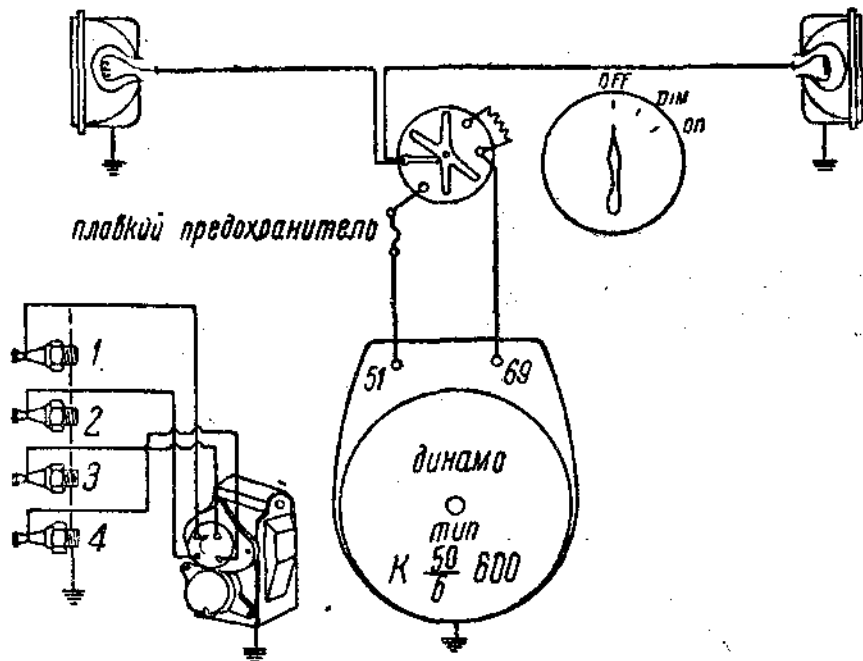


Рис. 153

### СХЕМА ЭЛЕКТРООБОРУДОВАНИЯ ТРАКТОРОВ КЛЕТРАК 40

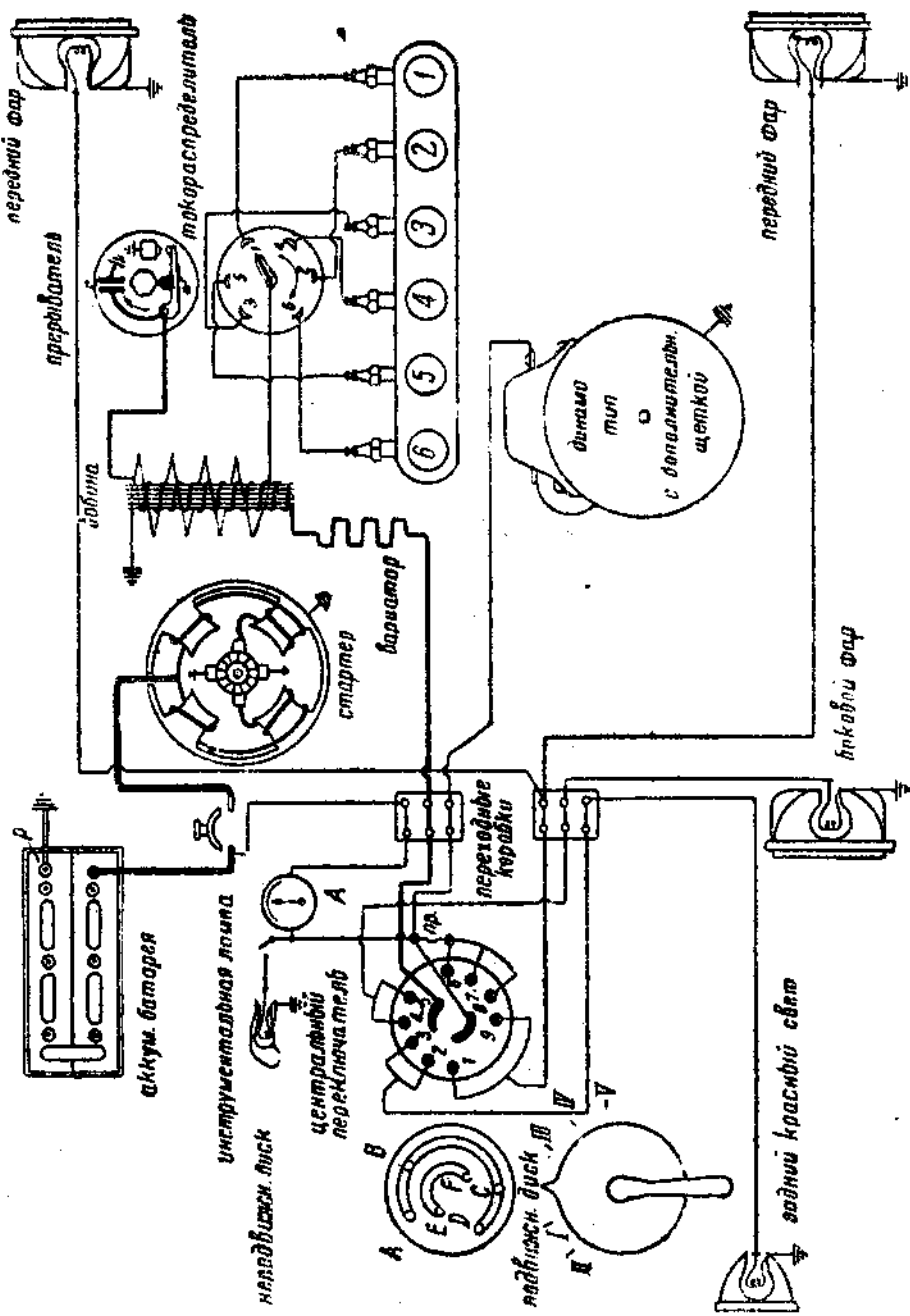
На рис. 154 представлена схема электрооборудования трактора Клетрак. Электрооборудование изготавливается фирмой Делько-Реми. Динамомашине снабжена третьей щеткой и термостатом. Рабочее напряжение в установке 12 вольт. Мощность динамомашины 120 ватт при 900 об/мин. Аккумуляторная батарея фирмы Виллард емкостью 120 ампер·часов.

Осветительная арматура представлена: 1) двумя передними фарами, 2) задним красным фаром, 3) боковым фаром и инструментальной лампой. Все нужные переключения достигаются поворотом ручки центрального переключателя. Для того, чтобы уяснить работу переключателя, подвижной диск представлен в зеркальном отображении. На нем расположены по окружности пружинные контакты *A*, *B*, *C*, *D*, соединенные между собою общевойшиной, и контакты *E*, *F*, также соединенные между собою.

На неподвижном диске расположены на большей окружности контакт *1*, *2*, *3*, *4*, *5*, *6*, *7*, *8*, *9*, и на меньшей окружности два сегмента *10*, *11*.

Контакты *2*, *3* обслуживают задний красный свет.

Контакты *4* и *5* обслуживают боковой фар.



Контакты 6, 7 и 8 соединены с источником электрической энергии через плавкий предохранитель *ПР*.

Контакты 9 и 1 обслуживают передние фары,

Сегмент 10 соединен с источником электрической энергии и сегмент 11 с первичной обмоткой бобины через вариатор.

Рассмотрим возможные комбинации переключений.

#### Положение переключателя 0

Контакт *A* находится на контакте 3.

Контакт *B* находится на контакте 5.

Контакт *C* находится на контакте 9.

Контакт *D* находится на изоляторе.

Контакт *E* находится на изоляторе.

Контакт *F* находится на изоляторе.

При этом положении переключателя все потребители энергии отключены от источника.

#### Положение переключателя I:

Контакт *A* находится на контакте 2.

Контакт *B* находится на контакте 4.

Контакт *C* находится на контакте 8.

Контакт *D* находится на изоляторе.

Контакт *E* находится на изоляторе.

Контакт *F* находится на изоляторе.

При этом положении переключателя включены задний красный свет и боковой фар.

#### Положение переключателя II:

Контакт *A* находится на контакте 1.

Контакт *B* находится на контакте 3.

Контакт *C* находится на контакте 7.

Контакт *D* находится на контакте 9.

Контакт *E* находится на контакте 10.

Контакт *F* находится на изоляторе.

При этом положении переключателя включены задний красный свет и передние фары.

#### Положение переключателя III:

Контакт *A* находится на контакте 4.

Контакт *B* находится на изоляторе.

Контакт *C* находится на изоляторе.

Контакт *D* находится на контакте 1.

Контакт *E* находится на сегменте 11.

Контакт *F* находится на сегменте 10.

При этом положении переключателя включено зажигание. Осветительная нагрузка выключена, так как шина *A*, *B*, *C* не имеет соединения с источником, т. е. не соединена с контактами 6, 7 и 8.

#### Положение переключателя IV:

Контакт *A* находится на контакте 5.

Контакт *B* находится на контакте 6.

Контакт *C* находится на изоляторе.

Контакт *D* находится на контакте 2.

Контакт *E* находится на сегменте *II*.  
Контакт *F* находится на сегменте *IO*.

При этом положении переключателя включено зажигание, боковой фар и задний красный свет.

Положение переключателя *V*:

Контакт *A* находится на изоляторе.  
Контакт *B* находится на контакте *7*.  
Контакт *C* находится на контакте *1*.  
Контакт *D* находится на контакте *3*.  
Контакт *E* находится на сегменте *II*.  
Контакт *F* находится на сегменте *IO*.

При этом положении переключателя включено зажигание, задний красный свет и передние фары.

Плавкий предохранитель включен только в осветительную сеть. Все остальные детали электрооборудования подробно рассматривались в соответствующих разделах

## СХЕМА ЭЛЕКТРООБОРУДОВАНИЯ ТРАКТОРА ЛИНКЕ-ГОФМАН С ДИЗЕЛЬ-МОТОРОМ

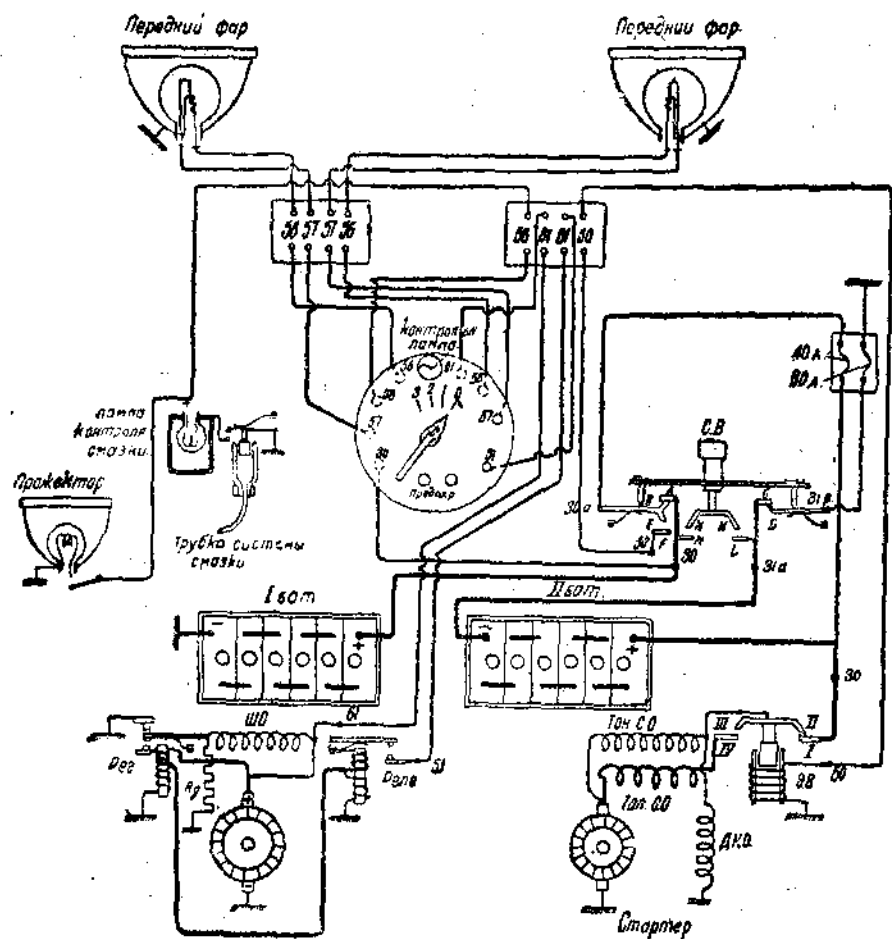
На тракторах Линке-Гофман устанавливается электрооборудование, изготовленное фирмой Р. Бош. Схема представлена на рис. 155. Для пуска дизельмотора требуется большой крутящий момент, и мощность стартера, устанавливаемого на двигатель, необходимо иметь довольно большую при малом числе оборотов якоря. Стартер, обслуживающий дизельмотор этого трактора, имеет мощность 6 л. с. и питается от двух последовательно включенных аккумуляторных батарей, каждая напряжением 12 вольт и емкостью 120 ампер-часов.

Необходимость иметь напряжение, равное 24 вольта на зажимах стартера, вызвана стремлением уменьшить пусковую силу тока, не вызывая уменьшения крутящего момента (активная длина проводника в этом случае в два раза больше).

Стартер снабжен электромагнитным включателем и имеет передвижной якорь, подробное описание его устройства дано на стр. 208.

Динамомашинка имеет мощность 225 ватт при напряжении 12 вольт и снабжена комбинированным регулятором напряжения силы тока и реле (см. стр. 180). Для зарядки аккумуляторных батарей от данной динамомашинки требуется включить батареи параллельно. Переключение их происходит автоматически. При вставленном ключе в центральный переключатель и при нажатии стартерного включателя *СВ* происходит размыкание контактов *AB* и *CD* и замыкание контактов *EF*, *MN* и *KL*. В этом случае ток от + зажима аккумуляторной батареи *I* поступит в контакт *M*, контакт *N*, по пластинке в контакт *K*, контакт *L* в — зажим аккумуляторной батареи *II* и из + зажима батареи через предохранитель 40 А в контакт *E* контакт *F*, зажим стартера 50, обмотка электромагнитного включателя *ЭВ* „масса” и — зажим аккумуляторной батареи *I*.

Под действием поля, созданного током в обмотке электромагнитного выключателя, сердечник втягивается и замкнет контакты *I* и *II*. Ток поступит от + зажима двух последовательно включенных батарей в тонкую серебряную обмотку  $T_{\text{об}} \text{ CO}$  и в дополнительную намагничивающую обмотку *D.H.O.* Поле, созданное этими двумя обмотками, втягивает якорь и произведет сцепление шестерен, после чего автоматически замкнутся контакты



в + зажим батареи II, откуда через контакт С контакт D, плавкий предохранитель на "массу". В этом случае обе аккумуляторные батареи включены параллельно к зажимам динамомашины.

Для контроля за состоянием системы смазки в дизельмоторе установлена специальная лампа с автоматическим включателем, действующим подобно манометру, но только без шкалы, который соединен посредством трубы с системой смазки.

Центральный переключатель снабжен ключом и позволяет включать яркий свет и затемненный. В переключателе установлена контрольная лампа, заряда и разряда аккумуляторных батарей, а также установлены два плавких предохранителя каждый на максимальную силу тока 40 А.

### СХЕМА ЭЛЕКТРООБОРУДОВАНИЯ АВТОМОБИЛЯ ФОРД, МОДЕЛЬ АА

На рис. 156 представлена схема электрооборудования автомобиля Г.А.З. им. Молотова и автомобиля Форд.

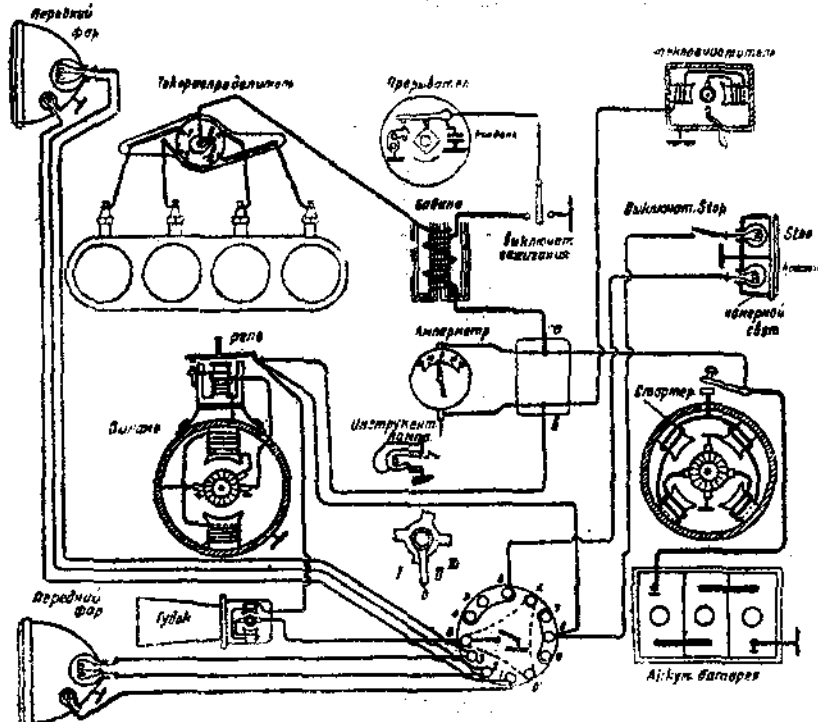


Рис. 156

Электрооборудование для автомобиля Г.А.З. изготавливается Электрозводом. Напряжение в установке 6 вольт. Динамомашине с третьей щеткой. Мощность в 60 ватт при 900 об/мин. Емкость аккумуляторной батареи 80 ампер-часов. Амперметр фиксирует

заряд и разряд аккумуляторной батареи на осветительную установку и стеклоочиститель.

Разряд аккумуляторной батареи на зажигание амперметр не фиксирует и при остановленном двигателе нельзя определить замкнута или нет цепь первичной обмотки бобины. Невозможность определить наличие тока в первичной обмотке нередко является причиной обугливания ее изоляции и причиной полного разряда аккумуляторной батареи.

Это имеет место в том случае, когда мотор остановлен путем прекращения подачи топлива и контакты прерывателя находятся в замкнутом состоянии, при включенном выключателе зажигания. Чтобы устранить этот недостаток, т. е. создать возможность наблюдения за наличием силы тока в первичной обмотке, достаточно провод, соединяющий бобину, переключить к винту в переходной коробки.

При пуске двигателя также желательно видеть, есть ли ток в первичной обмотке и прерывается ли он, когда коленчатый вал провертывается стартером. Вышеупомянутое переключение позволяет также и за этим наблюдать.

Центральный переключатель имеет неподвижный диск с контактами 1, 2, 3, 4, 5, 6, 7, 8, 9.

Контакт 1 обслуживает лампы для освещения автомобиля при стоянке его ночью.

Контакт 2 обслуживает нить ламп для загородной езды.

Контакт 3 обслуживает нить ламп для городской езды.

Контакты 4, 5 и 6 обслуживают задний красный фар и номерной свет, они все вместе соединены общей шиной.

Контакты 7, 8 и 9 соединены шиной и обслуживают световой переключатель. К ним подводится электрическая энергия от источника (генератора или аккумуляторной батареи).

По контактам скользят подвижные контакты А, В, С, соединенные между собою электрически. Световой переключатель позволяет иметь четыре положения.

Положение 0:

Осветительная установка выключена, за исключением инструментальной лампы и „стоп“-сигнала.

Положение I:

Контакт С находится на контакте 1.

Контакт В находится на контакте 4.

Контакт А находится на контакте 7.

При этом положении переключателя включены малые лампы для стоянки автомобиля ночью и включен задний красный свет.

Положение II:

Контакт С находится на контакте 9.

Контакт В находится на контакте 3.

Контакт А находится на контакте 6.

При этом положении переключателя включены нити ламп для городского движения автомобиля и задний красный свет.

### Положение III:

Контакт С находится на контакте 8.

Контакт В находится на контакте 2.

Контакт А находится на контакте 5.

При этом положении переключателя включены нити для загородной езды автомобиля и задний красный свет.

### СХЕМА ЭЛЕКТРООБОРУДОВАНИЯ АВТОМОБИЛЯ АМО-3

На рис. 157 представлена схема электрооборудования, изготовленного фирмой Р. Бощ. Система зажигания от аккумуляторной батареи и бобины. Бобина снабжена вариатором, ко-

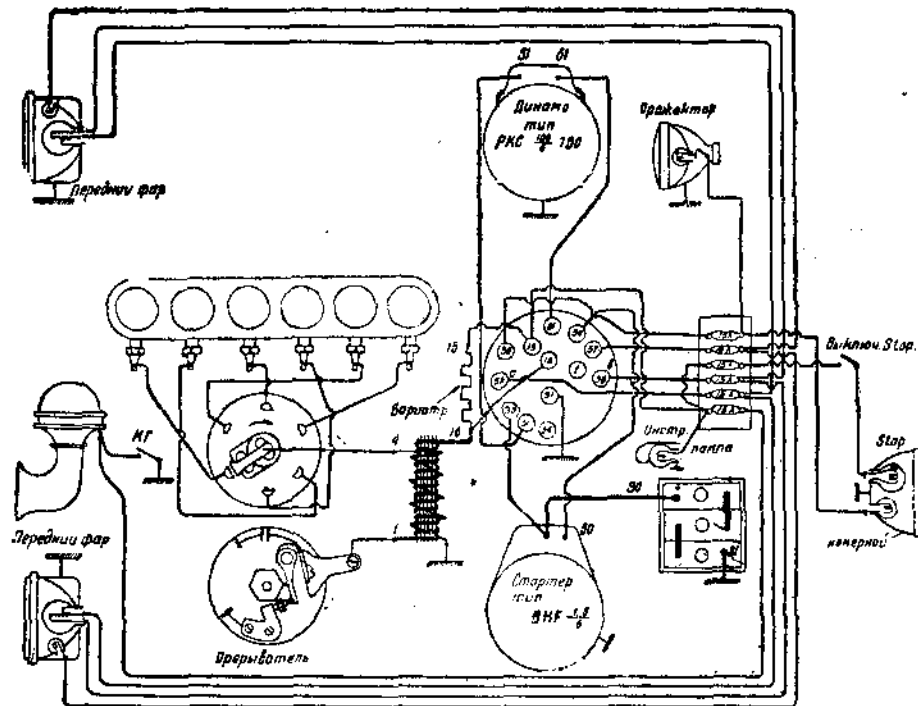


Рис. 157

торый все время включен в цепь первичной обмотки при работе двигателя. Бобина имеет дополнительную клемму 16, которая соединяется с центральным переключателем проводником, имеющим большое сопротивление, т. е. 1,5 ома, сопротивление этого проводника значительно меньше сопротивления вариатора. Этот провод необходим в тех случаях, когда двигатель туго запускается.

Включение бобины через клемму 16 происходит автоматически при нажатии пусковой кнопки стартера. Стартер снабжен передвижным якорем и электромагнитным включателем. При-

менение последнего позволяет установить пусковую кнопку на центральный переключатель. Пусковой кнопкой является оправа, в которую заключено красное стекло контрольной лампы.

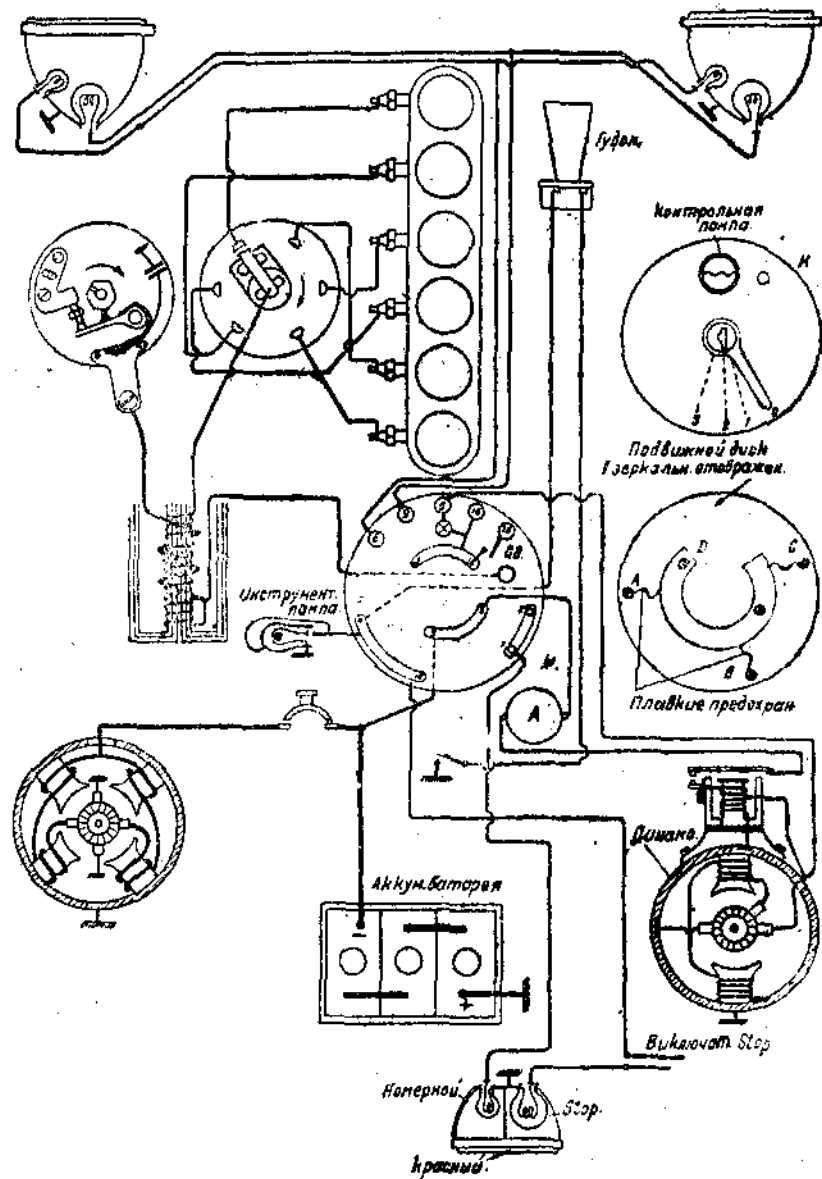


Рис. 158

Токораспределитель искрового типа и обслуживает цилиндр двигателя в следующем порядке 1, 5, 3, 6, 2, 4. Дизеломашина снабжена комбинированным двухступенчатым регулятором-реле.

На автомобилях АМО-3 устанавливается электрооборудование, изготовленное Электрозводом и артелью Зет (З). На рис. 158 представлена схема электрооборудования. Дистрибутор, бобина, динамомашинка и стартер изготовлены Электрозводом. Центральный переключатель и гудок изготовлены артелью Зет.

Центральный переключатель позволяет иметь четыре положения.

#### Положение 0:

Все потребители выключены.

Контакты *A, B, C, D, E* находятся на изоляторе.

#### Положение I:

Контакт *A* и *C* находится на изоляторе.

Контакт *B* находится на пластинке 10—11.

Контакт *D* находится на пластинке 5—15.

Контакт *E* находится на пластинке 3—3.

При этом положении переключателя включены следующие потребители: зажигание, контрольная лампа, провод „стоп“-сигнала и гудок.

#### Положение II:

Контакт *A* находится на клемме 6.

Контакт *B* находится на пластинке 10—11.

Контакт *C* находится на клемме 8.

Контакт *D* находится на пластинке 5—15.

Контакт *E* находится на пластинке 3—3.

При этом положении переключателя включены следующие потребители: зажигание, гудок, контрольная лампа, провод „стоп“-сигнала, малые лампы фар и задний красный свет.

#### Положение III:

Контакт *A* находится на клемме 9.

Контакт *B* находится на пластинке 10—11.

Контакт *C* находится на клемме 7.

Контакт *D* находится на пластинке 5—15.

Контакт *E* находится на пластинке 3—3.

При этом положении переключателя включены следующие потребители: зажигание, гудок, центральные лампы фар, провод „стоп“-сигнала, задний красный свет и контрольная лампа.

Электрооборудование на автомобилях АМО встречается с установленным магнето вместо бобины. Магнето, устанавливаемое на АМО, выпускается Электрозводом или же фирмой Сингилла. В том случае, когда установлено магнето, к клемме 2 центрального переключателя присоединяется провод от магнето, который служит для выключения зажигания. Аккумуляторная батарея состоит из трех аккумуляторов и имеет напряжение 6 вольт и емкость 105 ампер-часов.

Центральный переключатель, выпускаемый артелью Зет, снабжен стартерной пусковой кнопкой *СВ* на случай установки стартера с электромагнитным включателем, провод от которого соединяют с клеммой 14. В центральном переключателе имеются три плавких предохранителя, которые включены в осветительную сеть.

## СХЕМА ЭЛЕКТРООБОРУДОВАНИЯ АВТОМОБИЛЯ БЬЮИК МОДЕЛЬ 1932 Г.

Электрооборудование изготовлено фирмой Делько-Реми. Его схема представлена на рис. 159. Система зажигания от аккумуляторной батареи и бобины. На динамомашине установлен дистрибутор и бобина. В целях улучшения восстановления тока в первичной обмотке бобины, прерыватель обслуживает квадратная размыкающая шайба, которая производит размыкание двух молоточков. Действие такого прерывателя объяснено в разделе „Зажигание“ с той лишь разницей, что на рис. 11 представлен прерыватель для шестицилиндрового двигателя, а не восьмицилиндрового.

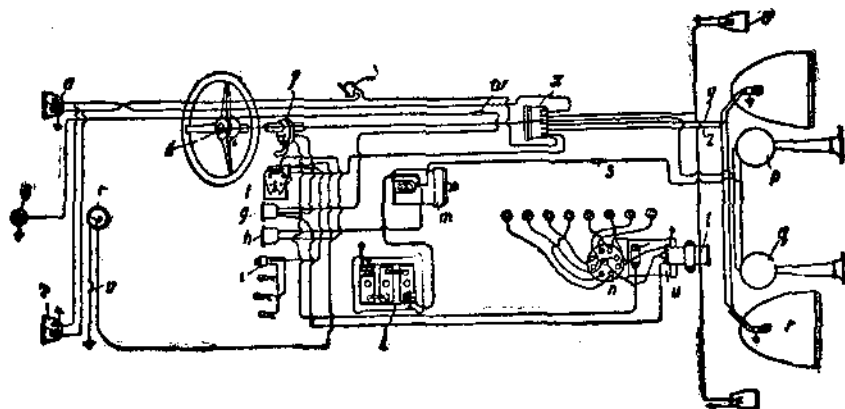


Рис. 159

Выключатель зажигания установлен на рулевой колонке, при повороте ключа одновременно выключается зажигание и запирается рулевая колонка, после чего повернуть штурвал невозможно. Осветительная арматура представлена двумя главными фарами с двухнитевыми лампами, двумя задними фарами с красным номерным светом и „стоп“-сигналом, двумя габаритными фарами, тремя лампами инструментальной доски и лампами внутреннего освещения. Вся осветительная установка защищена автоматическим максимальным реле на случай чрезмерного повышения напряжения в сети, что имеет место при случайном отключении аккумуляторной батареи от динамомашины. Реле является также ограничителем силы тока, предохраняя аккумуляторную батарею от разряда, в случае короткого замыкания в осветительной проводке.

Точно такую же схему электрооборудования имеет автомобиль „Красного Путеводителя“, тип Л1.

На данных автомашинах устанавливаются два звуковых сигнала, один высокого тона и другой низкого тона. Включены они параллельно и действуют одновременно. Установлен также и электрический указатель уровня топлива.

## СХЕМА ЭЛЕКТРООБОРУДОВАНИЯ АВТОМОБИЛЯ ЛИНКОЛЬН

На рис. 160 представлена схема электрооборудования автомобиля Линкольн. Оборудование изготавливается фирмой Авто-Лайт. Установка имеет трехщеточную динамомашину и аккумуляторную батарею с номинальным напряжением в 6 вольт. В целях улучшения восстановления силы тока в первичной обмотке бобины при большом числе оборотов коленчатого вала устанавливают две бобины, причем каждая обслуживает четыре цилиндра и имеет свой прерыватель. Это позволяет уменьшить в два раза число прерываний, приходящихся на бобину, против того, что имело бы место при обслуживании одной бобиной всех восьми цилиндров. Оба прерывателя заключены в общий кожух дистрибутора и обслуживаются квадратной размыкающей шайбой.

Токораспределителей два, но они скомбинированы в одном приборе. Крышка токораспределителей общая и на ней расположены восемь борнов по окружности, один центральный борн от бобины I и второй в виде кольца соединен с бобиной II. Ротор токораспределителя имеет два борна, изолированные друг от друга и сдвинутые один относительно другого на 45°. Один борн ротора имеет соединение с центральным проводом бобины I, а другой борн ротора при помощи скользящего контакта соединен с кольцом и бобиной II. Порядок работы цилиндров двигателя следующий: I п—3 л—3 п—4 л—4 п—2 л—2 п—I л. Буквенные обозначения „п“ и „л“ соответствуют правым и левым цилиндрам V-образного двигателя.

Включение и выключение зажигания производится выключателем, установленным на рулевой колонке. При повороте ключа происходит выключение зажигания и одновременно запирается рулевое управление. Система зажигания получает электрическую энергию непосредственно от аккумуляторной батареи или динамомашины. Осветительная же установка имеет три защитных реле, которые снабжены тонкими параллельными обмотками и толстыми последовательными.

Принцип действия их следующий: в случае повышения напряжения в установке (отключилась аккумуляторная батарея при работе динамомашины) сила тока в параллельной обмотке увеличится и вызовет увеличение напряженности поля соленоида, сердечник втянется и разомкнет цепь освещения, тем самым предупредит перегорание нитей ламп. В том случае, когда происходит короткое замыкание в осветительной проводке, сила тока в последовательной обмотке реле увеличится и вызовет размыкание контактов. Таким образом прервется цепь, сила тока в толстой обмотке уменьшится, контакты вновь замкнутся и т. д. Следовательно такое реле будет являться ограничителем силы тока.

Световой переключатель позволяет иметь четыре положения:

1. Свет выключен.
2. Включены габаритные лампы, установленные на передних крыльях.
3. Включен свет для городского движения.
4. Включен свет для загородного движения.

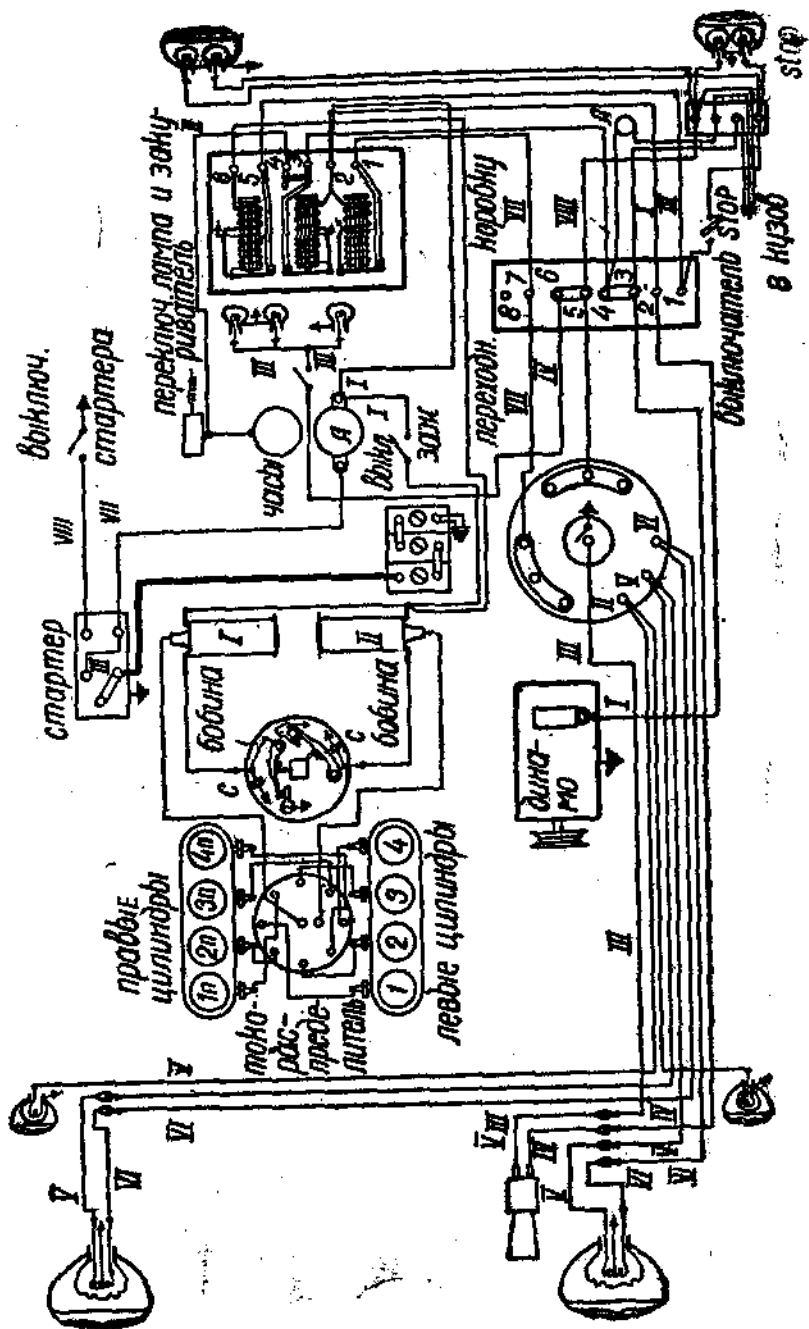


Рис. 160

Независимо от положения светового переключателя при включенном зажигании также включен провод "стоп"-сигнала. Инstrumentальная доска освещается тремя лампами, которые имеют свой выключатель. На инstrumentальной доске также расположены закуриватель и часы.

Стартер снабжен электромагнитным включателем, что позволяет иметь все преимущества, которые присущи данному типу включения (подробное описание см. стр. 208). В системе электрооборудования установлен автофон, позволяющий пассажирам сообщать шофферу о своем желании изменить путь следования автомашины. Провода, соединяющие фары и гудок, имеют штепельные соединения, а также вся проводка соединена через переходную коробку, что представляет удобства при съемке кузова с шасси.

Для облегчения монтажа провода имеют оплетку различного цвета, цвет проводов следующий:

- I. Зеленый с двумя черными нитками.
- II. Зеленый.
- III. Чёрный.
- IV. Желтый с двумя черными нитками.
- V. Желтый с двумя красными нитками.
- VI. Розовый с двумя желтыми нитками.
- VII. Желтый.
- VIII. Красный.
- IX. Розовый.
- X. Желтый с чёрной ниткой

#### СХЕМА ЭЛЕКТРООБОРУДОВАНИЯ МОТОЦИКЛА ФИРМЫ ХАРЛЕЙ ДЕВИДСОН, МОДЕЛЬ 1931 г.

На мотоциклах фирмы Харлей Девидсон установлено электрооборудование, в системе которого имеется батарейное зажигание. Особенностью данного зажигания является следующее: двигатель двухцилиндровый с V-образным расположением цилиндров. В связи с таким расположением цилиндров воспламенение рабочей смеси в них должно происходить не через равные промежутки времени, а после воспламенения смеси в первом цилиндре (считая по ходу вращения), воспламенение во втором цилиндре должно произойти после поворота кривошипа на угол  $360^\circ + \gamma$ , где  $\gamma$  — угол наклона цилиндров. Это вызвало необходимость в установке кулачковой шайбы с несимметричным очертанием.

На мотоциклах фирмы Харлей Девидсон модели с 1925 г. до 1929 г. на кулачковой шайбе устанавливался ротор искрового токораспределителя и бобина имела один вывод провода высокого напряжения, который соединялся с центральным электродом токораспределителя. На мотоциклах модель 1930 г. и позже токораспределитель отсутствует и бобина имеет выводы начала и конца вторичной обмотки, идущие к свечам.

При размыкании контактов в прерывателе одновременно в двух свечах появляется искровой разряд. Причем в первом цилиндре искровой разряд воспламеняет рабочую смесь, а во втором в это время происходит выхлоп отработанных газов

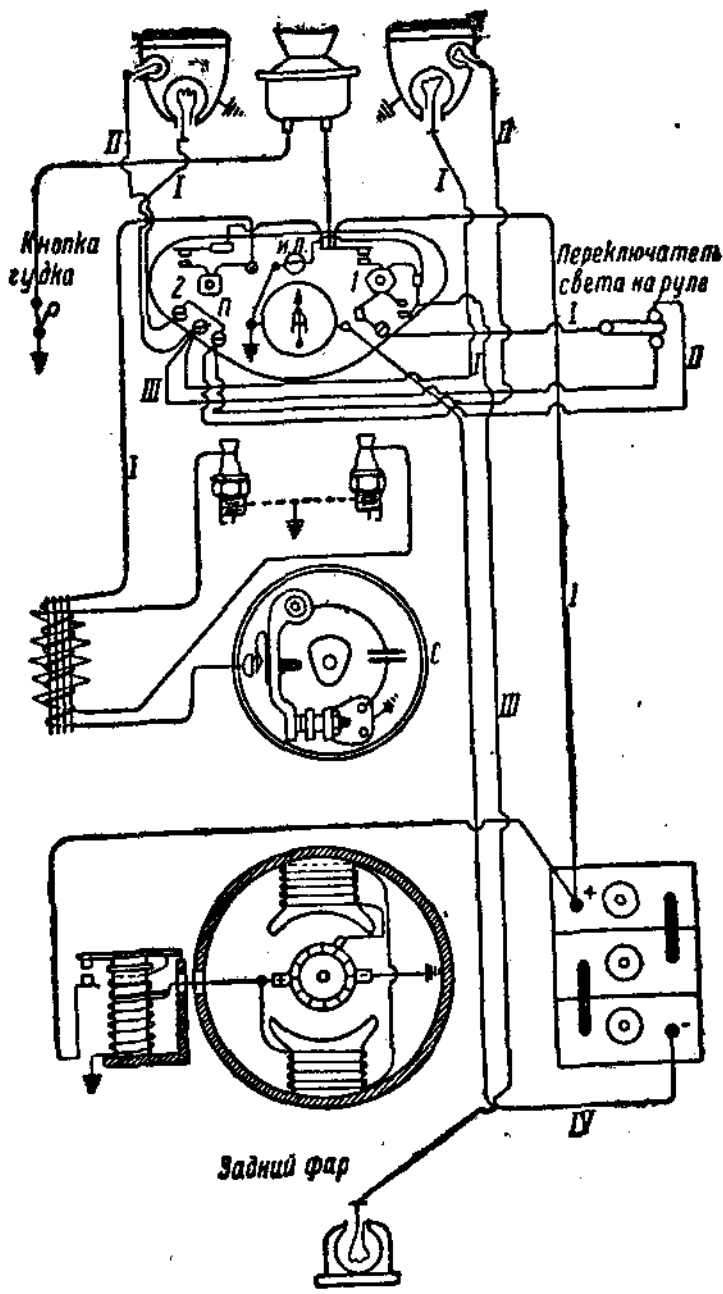


Рис. 161

и появление искры в этом цилиндре не может нарушить этого процесса. При следующем размыкании контактов произойдет воспламенение во втором цилиндре, а в первом в это время идет выхлоп.

Включение и выключение зажигания достигается поворотом выключателя 2. При включенном выключателе ток поступает от + аккумуляторной батареи на выключатель 2 по проводу в первичную обмотку бобины, на прерыватель "массу", в амперметр и к — зажиму аккумуляторной батареи.

Осветительную установку обслуживает выключатель 1 и переключатель света, установленный на руле. При повороте выключателя 1 включается инструментальная лампочка ИЛ и переключатель на руле. В зависимости от его положения будет включен главный или затемненный свет. Иногда включают только малую лампу левого фара и перемычки П между винтами не имеются.

Динамомашинка трехщеточная, снабжена реле, которое укрепляется к аккумуляторному футляру. Аккумуляторная батарея составлена из трех элементов свинцового аккумулятора имеет напряжение 6 вольт и емкость 30 ампер-часов.

Амперметр, установленный на щитке переключателя света и зажигания фиксирует заряд и разряд аккумуляторной батареи. При заряде ток от + щетки динамомашинки поступает через замкнутые контакты реле в + зажим аккумуляторной батареи и из ее — зажима в амперметр, на "массу" и к — щетке динамомашинки. При разряде аккумуляторной батареи ток поступает от + зажима аккумуляторной батареи на щиток и оттуда, в зависимости от включенной нагрузки, в ту или иную цепь, попадая на "массу", ток проходит в амперметр и к — зажиму аккумуляторной батареи.

Для удобства монтажа проводки электрооборудования провода имеют цветную оплетку. Римскими цифрами обозначены провода, которые имеют цветную оплетку, значение цифр следующее:

- I — красный,
  - II — зеленый
  - III — черный
  - V — синий.
-

## ОГЛАВЛЕНИЕ

### ОТДЕЛ ПЕРВЫЙ

#### Процессы электрического зажигания

Физические процессы электрического зажигания рабочей смеси в двигателях внутреннего горения 3. Общие требования к приборам зажигания 5.

### ОТДЕЛ ВТОРОЙ

#### Приборы зажигания высокого напряжения

Получение высокого напряжения и теория искры 8. Процесс получения высокого напряжения при батарейном зажигании 9. Процесс получения высокого напряжения при зажигании от магнето 18. Требования, предъявляемые к конструкциям отдельных деталей и их материалу 31. Приспособления, облегчающие пуск двигателя внутреннего горения 45. Автоматы, регулирующие момент воспламенения газовой смеси 48. Конструктивное выполнение прибора зажигания от бобин и магнето низкого напряжения 50. Конструктивное выполнение приборов батарейного зажигания 52. Конструктивное выполнение магнето высокого напряжения различными фирмами 54. Сравнительная оценка приборов зажигания 69. Двухискровое магнето 69. Запальные свечи 71. Установка приборов зажигания на двигатель 77. Неисправности их определение и устранение 78. Контрольные вопросы 80.

### ОТДЕЛ ТРЕТИЙ

#### Аккумуляторы и зарядные установки

Свинцовый или кислотный аккумулятор 81. Химические процессы свинцового аккумулятора 81. Емкость аккумулятора 83. Заряд аккумулятора 84. Разряд аккумулятора 85. Работа и коэффициент полезного действия свинцового аккумулятора 85. Конструкция свинцовых аккумуляторов 87. Выбор аккумуляторной батареи 89. Установка, уход и ремонт аккумуляторных батареи 90. Испытание аккумуляторной батареи с помощью кадмия 90. Щелочные аккумуляторы 92. Химический процесс щелочного аккумулятора 93. Качественная оценка кислотных и щелочных аккумуляторов 95. Зарядные установки 95. Уинформер 95. Требования, предъявляемые к генераторам постоянного тока 96. Механические выпрямители 99. Вибрационный выпрямитель 102. Ртутный выпрямитель 104. Электролитический выпрямитель 106. Купроксный выпрямитель 107. Катодные выпрямители 108. Резюме 109. Контрольные вопросы 110.

### ОТДЕЛ ЧЕТВЕРТЫЙ

#### Динамомашины, регуляторы постоянства напряжения и ограничители максимальной силы тока

Условия работы динамомашин на автотранспорте 111. Магнито-электрические машины 111. Генератор переменного тока фирмы К. В. 112. Динамомашины постоянного тока и способ автоматического поддержания постоянства напряжения 114. Одноступенчатое регулирование 118. Второй тип одноступенчатого регулятора постоянства напряжения 121. Двухступенчатое регулирование 123. Трехступенчатое регулирование 126. Регулятор максимальной силы тока 129. Комбинированный регулятор напряжения и максимальной силы тока 131. Реле 134. Динамо-

машины с дополнительной щеткой 136. Построение кривых и их анализ 138. Сравнительная оценка способов регулирования, напряжения и силы тока 141. Термостат 141. Конструктивное выполнение динамомашин, применяемых на автомобильном транспорте 144. Якорь динамомашины и его обмотки 145. Коллектор 150. Щетка и щеткодержатели 151. Мощность динамомашины, выбор места для установки в их крепление 153. Динамомашина фирмы Делько-Реми 154. Динамомашина фирмы Форд модель АА 157. Динамомашина Сциентилла с комбинированным одноступенным регулятором напряжения максимальной силы тока и реле 158. Динамомашина фирмы Р. Бош тип FQA  $\frac{225}{12}$  800 163. Динамомашина Электрозвавода тип ГБТ 166. Динамомашина Электрозвавода тип ГАУ 169. Динамомашина фирмы Р. Бош тип RK  $\frac{100}{12}$  700 171. Динамомашина фирмы Р. Бош тип RJB  $\frac{75}{6}$  900 176. Динамомашина фирмы Р. Бош тип KAB  $\frac{100}{12}$  650 177. Динамомашина фирмы Р. Бош тип LVA  $\frac{100}{12}$  600 179. Динамомашина фирмы Р. Бош тип K  $\frac{50}{6}$  500 183. Комбинированные приборы 191. Неисправности, их определение, устранение и уход за динамомашинами 194. Уход за генераторами 196. Контрольные вопросы 198.

## ОТДЕЛ ПЯТЫЙ

### Электрический пуск двигателя внутреннего сгорания

Требования, предъявляемые к стартеру 199. Определение необходимой мощности стартера 203. Привод от стартера к двигателю внутреннего сгорания 203. Стартер фирмы Делько-Реми 204. Стартеры с автоматическим сцеплением Бен дикс 206. Стартер фирмы Р. Бош тип VGB, BIG 208. Стартер фирмы Сциентилла с электромагнитным включателем 212. Установка стартера 215. Неисправности, их определение и устранение 216. Уход за стартерной установкой 218. Комбинированные приборы 219. Контрольные вопросы 221.

## ОТДЕЛ ШЕСТОЙ

### Источники света и прочие детали электрооборудования

Световые единицы 222. Нормирование света 223. Требования к осветительной арматуре 224. Осветительная арматура 226. Электрические звуковые сигналы 230. Вибрационные гудки 231. Моторные гудки 234. Измерительные приборы на автомашине 236. Прочие детали электрооборудования автомашин 238.

## ОТДЕЛ СЕДЬМОЙ

### Подные схемы электрооборудования автомашин, тракторов и мотоциклов

Схемы электрооборудования тракторов СТЗ 244. Интернационал и Кейс 246. Клетрак 247. Линке-Гофман с дизельмотором 250. Схемы электрооборудования автомобилей Форд модель АА 252. АМО-3 254. Бьюик модель 1932 г. 257. Ливикольн 258. Схема электрооборудования мотоцикла фирмы Харлей Дэвидсон модель 1931 г. 260.

**Замеченные опечатки в книге „Электрооборудование тракторов и автомобилей“**

Страница	Строка	Напечатано	Следует читать	По чьей вине
10	14 сверху	$\int \frac{dt}{E_a - iR}$	$\int \frac{dt}{E_a - iR}$	корр.
93	18 сверху	$2Ni(OH)_2 + 2OH +$ Анод Катод $+ Fe(OH)_2 + H_2$	$2Ni(OH)_2 + 2OH +$ Анод Катод $+ Fe(OH)_2 + H_2$	типогр.
100	10 ,	$e_t = E_m S_n \alpha t$	$e_t = E Sn \alpha t$	авт.
168	2 снизу	0 ом	10 ом	типогр.
175	11 ,	и + зажим	и — зажим	авт.
200	2 сверху	в кг/м	в кгм	типогр.
229	8 ,	$f = 10 \text{ мм}$	$f = 140 \text{ мм}$	типогр.

Цена 3 р. 75 к.

RLST



0000000041013

282045

9/27 ✓

## КНИГА-ПОЧТОЙ 1934

Высылает по заказам  
имеющиеся в продаже  
книги по всем отраслям  
знания наложенным пла-  
тежом без задатка.

Заказы направляйте  
по адресу:

Москва, Москва  
„Книга-почтой“  
и Ленинград  
„Универкинига-почтой“  
Пр. 25 Октября, 28